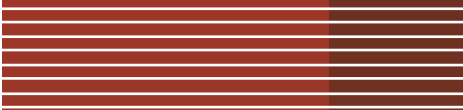


ISSN 2079-0392



# Вестник

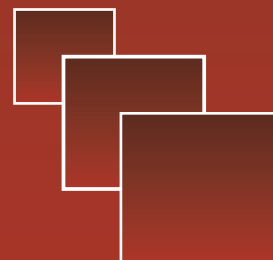
Уральского  
государственного  
университета  
путей сообщения

Научный журнал

**Herald**  
of the Ural State University  
of Railway Transport

Scientific journal

№ 2 (14) 2012



Научный журнал  
«Вестник Уральского государственного  
университета путей сообщения»  
№ 2 (14), 2012 год

**Главный редактор,  
научный редактор**  
Василий Михайлович Сай

**Литературный и выпускающий редактор**  
Людмила Станиславовна Барышникова

**Техническое редактирование и верстка**  
Андрей Викторович Трубин

**Дизайн обложки**  
Ольга Петровна Игнатьева

**Переводчики**  
Елена Владимировна Ершова  
Анна Викторовна Бочкарева

**Учредитель и издатель:**  
Уральский государственный  
университет путей сообщения  
(УрГУПС)

**Адрес для корреспонденции:**  
620034, Екатеринбург,  
ул. Колмогорова, 66, УрГУПС,  
редакция журнала  
«Вестник УрГУПС»

**Телефон редакции:** (342) 367-41-11.  
**Веб-сайт:** [www.vestnik.usurt.ru](http://www.vestnik.usurt.ru);  
**e-mail:** [vestnik@usurt.ru](mailto:vestnik@usurt.ru).

Журнал издается по решению  
ученого совета университета  
©УрГУПС

Свидетельство о регистрации  
средства массовой информации  
Роскомнадзора ПИ № ФС77–38188  
от 30 ноября 2009 г.

Отпечатано в издательстве  
Уральского государственного  
университета путей сообщения,  
620034, Екатеринбург,  
ул. Колмогорова, 66.

Подписано в печать 30.06.2012.

Тираж 300. 1-й з-д.: 1–100.  
Формат 70×100/16.  
Заказ № 208.

Scientific journal «Herald of the  
Ural State University  
of Railway Transport»  
№ 2 (14), 2012

**Editor-in-chief,  
Science editor**  
Vasily M. Say

**Script and copy editor**  
Lyudmila S. Baryshnikova

**Technical editing and make-up**  
Andrey V. Trubin

**Cover design**  
Olga P. Ignatjeva

**Translators:**  
Elena V. Ershova  
Anna V. Bochkareva

**Founder and publisher:**  
The Ural State University  
of Railway Transport  
(USURT)

**Correspondence address:**  
«Herald of USURT» editorial office  
The Ural State University of  
Railway Transport»  
66 Kolmogorov Street,  
620034, Ekaterinburg,

**Telephone:** +7 (342) 367-41-11.  
**Web-site:** [www.vestnik.usurt.ru](http://www.vestnik.usurt.ru);  
**e-mail:** [vestnik@usurt.ru](mailto:vestnik@usurt.ru).

The journal is published by the decision of  
University Academic Board  
©USURT

Certificate of registration of mass media  
by the Federal Service for Supervision  
in the sphere of communications,  
information technology and mass communications  
(Roskomnadzor) PI № FS77–38188  
of November 30, 2009.

Printed in the Publishing house  
of the Ural State University of  
Railway Transport  
66 Kolmogorov Street,  
620034, Ekaterinburg.

Passed for printing 30.06.2012.

Circulation 300. 1-й з-д.: 1–100.  
Format 70×100/16.  
Order № 208.

### **Международный редакционный совет**

**Кейт Бурнхам**, профессор, Университет г. Ковентри, факультет машиностроения и вычислительной техники, Великобритания

**Владимир Анциферов**, д-р техн. наук, профессор академик РАН, Пермь, Россия

**Петер Копачек**, профессор, Венский технологический университет, Венский институт транспорта и робототехники, интеллектуальный транспорт и робототехника, Вена, Австрия

**Владимир Цыганов**, д-р техн. наук, профессор, Институт проблем управления Российской академии наук, Москва, Россия

**Марек Ситаж**, профессор, Силезский технический университет, транспортный факультет, кафедра «Железнодорожный транспорт», Польша

**Клаус Беккер**, профессор, Университет прикладных наук г. Кельна, Институт автомобильной техники, лаборатория NVH, Германия

**Василий Сай**, д-р техн. наук, профессор, Уральский государственный университет путей сообщения, Екатеринбург, Россия

### **Редколлегия**

**Вовк Алексей Александрович**, д-р экон. наук, профессор, МГУПС, Москва

**Воскресенская Тамара Петровна**, д-р техн. наук, профессор, СибГИУ, Новокузнецк

**Воробьев Александр Алексеевич**, д-р техн. наук, профессор, МГУПС, Москва

**Ефимов Александр Васильевич**, канд. техн. наук, профессор, УрГУПС, Екатеринбург

**Корнилов Сергей Николаевич**, д-р техн. наук, профессор, МГТУ, Магнитогорск

**Нестеров Валерий Леонидович**, д-р техн. наук, профессор, УрГУПС, Екатеринбург

**Сапожников Валерий Владимирович**, д-р техн. наук, профессор, С.-ПГУПС, Санкт-Петербург

**Черемисин Василий Титович**, д-р техн. наук, профессор, ОмГУПС, Омск

**Щурин Константин Владимирович**, д-р техн. наук, профессор, ОГУ, Оренбург

**Тимофеева Галина Адольфовна**, д-р физ.-мат. наук, профессор, УрГУПС, Екатеринбург

### **International editorial board**

**Keith Burnham**, professor, Coventry University, Faculty of Engineering and Computing, Great Britain

**Vladimir Antsiferov**, DSc, professor, academician of Russian Academy of Sciences, Perm, Russia

**Peter Kopachek**, professor, Vienna University of Technology, Vienna Institute of Transportation and Robotics, Intelligent Transportation and Robotics, Vienna, Austria

**Vladimir Tsyganov**, DSc, professor, Russian Academy of Sciences, Institute of Control Sciences, Moscow, Russia

**Marek Sitarz**, professor, Silesian University of Technology, Faculty of Transport, Railway Engineering Department, Poland

**Klaus Becker**, professor, Cologne University of Applied Science, Institute of Automotive Engineering, NVH Laboratory, Germany

**Vasily Say**, DSc, professor, The Ural State University of Railway Transport, Ekaterinburg, Russia

### **Editorial board**

**Vovk Alexei Aleksandrovich**, DSc, professor, Moscow State University of Railway Transport, Moscow

**Voskresenskaya Tamara Petrovna**, DSc, professor, Siberian State Industrial University, Novokuznetsk

**Vorobjev Alexander Alexeevich**, DSc, professor, Moscow State University of Railway Transport, Moscow

**Efimov Alexander Vasilievich**, DSc, professor, The Ural State University of Railway Transport, Ekaterinburg

**Kornilov Sergey Nikolaevich**, DSc, professor, Magnitogorsk State Technical University, Magnitogorsk

**Nesterov Valery Leonidovich**, DSc, professor, The Ural State University of Railway Transport, Ekaterinburg

**Sapozhnikov Valery Vladimirovich**, DSc, professor, Saint-Petersburg State University of Railway Transport, Saint-Petersburg

**Cheremisn Vasily Titovich**, DSc, professor, Omsk State University of Railway Transport, Omsk

**Shchurin Konstantin Vladimirovich**, DSc, professor, Orenburg State University, Orenburg

**Timofeeva Galina Adolfovna**, DSc, professor, The Ural State University of Railway Transport, Ekaterinburg

# Содержание

## МАТЕМАТИЧЕСКИЕ МОДЕЛИ ТЕХНОЛОГИЧЕСКИХ ПРОЦЕССОВ

- 4 С. Л. Дерябин, Н. П. Чуев. Построение трехмерных течений самогравитирующего идеального газа, непрерывно примыкающих к вакууму
- 14 И. А. Добычин, М. Ю. Градинаров. Кинематический анализ тележки грузового вагона как изменяемого твердого тела с внутренними степенями свободы

## МЕХАНИКА МАШИН И РОБОТОВ

- 34 Х. Т. Туранов, О. В. Молчанова. Устойчивость вагона с наливным грузом при движении по кривому участку пути
- 46 А. П. Буйносов, В. А. Тихонов. Выбор профиля поверхности катания бандажей колесных пар электровозов ВЛ11
- 61 А. А. Шапран. Проблема устойчивости системы двухканального управления электрическим приводом

## ОРГАНИЗАЦИЯ И ЛОГИСТИКА

- 67 З. С. Акманова, С. Н. Корнилов, А. Н. Рахмангулов, О. В. Фридрихсон. Механизм оптимизации времени продвижения контейнерного потока

## ОРГАНИЗАЦИЯ ОБРАЗОВАТЕЛЬНОГО ПРОЦЕССА

- 75 С. Л. Усольцева. Оптимизация учебного процесса как основа повышения физической подготовленности студентов

## БЕЗОПАСНОСТЬ ЖИЗНЕДЕЯТЕЛЬНОСТИ

- 85 Д. С. Крупенин, О. Р. Ильясов. Исследование влияния водного баланса организма и ряда физиологических реакций на электрическое сопротивление тела человека

## ДИСКУССИОННАЯ ТРИБУНА

- 95 Е. П. Пьяных. Религия и церковь в истории России
- 108 И. А. Никулин. Православие в истории России. Отзыв на статью Е. П. Пьяных «Религия и церковь в истории России»

# Contents

## MATHEMATIC MODELS OF TECHNOLOGICAL PROCESSES

- 4 S. L. Deryabin, N. P. Chuev. Three dimensional flows' modelling of self-gravitating ideal gas effluence into vacuum
- 14 I. A. Dobychin, M. Yu. Gradinarov. Kinematic analysis of a freight car's bogie

## MECHANICS OF MACHINES AND ROBOTS

- 34 Kh. T. Turanov, O. V. Molchanova. The stability of the car with liquid bulk cargo when driving on uneven division way
- 46 A. P. Buinosov, V. A. Tikhonov. Choice of wheel pairs tires' roll surface profile of electric locomotives VL11
- 61 A. A. Shapran. Problem of stability of electric drive two-channel control system

## ORGANIZATION AND LOGISTICS

- 67 Z. S. Akmanova, S. N. Kornilov, A. N. Rakhmangulov, O. V. Fridrikhson. Container flow progressing time optimization mechanism

## STUDY PROCESS ORGANIZATION

- 75 S. L. Usoltseva. Study process optimization as the basis of students' physical training improvement

## PERSONAL AND SOCIAL SAFETY

- 85 D. S. Krupenin, O. R. Ilyasov. Investigation of an influence of body water balance and number of physiological reactions on electrical resistance of a human body

## DISCUSSION FORUM

- 95 E. P. Pjanykh. Religion and church in the history of Russia
- 108 I. A. Nikulin. Orthodoxy in the history of Russia. Review on the article «Religion and church in the history of Russia» by E. P. Pjanykh

# МАТЕМАТИЧЕСКИЕ МОДЕЛИ ТЕХНОЛОГИЧЕСКИХ ПРОЦЕССОВ

УДК 517.95+533.6

*С. Л. Дерябин, Н. П. Чуев*

## Построение трехмерных течений самогравитирующего идеального газа, непрерывно примыкающих к вакууму

UDC 517.95+533.6

*S. L. Deryabin, N. P. Chuev*

## Three dimensional flows' modelling of self-gravitating ideal gas effluence into vacuum

### Аннотация

Рассматриваются трехмерные течения идеального политропного газа, непрерывно примыкающие к вакууму. Предполагается, что на массу газа действует ньютоновское тяготение. В качестве объекта исследования используется трехмерная эволюционная модель самогравитирующего газа. Сложность исследования связана с тем, что система уравнений не является аналитической. С помощью нескольких замен переменных система приводится к аналитическому виду и для нее доказывается теорема существования и единственности решения задачи Коши.

Далее исследуется задача о непрерывном примыкании газа к вакууму. В виде степенных рядов строятся закон движения границы «газ-вакуум», значения параметров на ней и значения гравитационной силы. Формулируется новая начально-краевая задача и доказывается теорема существования и единственности решения в окрестности свободной поверхности «газ-вакуум». В виде степенных рядов строится решение поставленной задачи.

Построенные решения могут быть использованы при численном моделировании задач астрофизики: столкновения галактик; разлет звезды; взрыв сверхновой.

### Ключевые слова:

гравитация по Ньютону; эволюционная дифференциальная система уравнений с частными производными; начально-краевая задача; теорема существования и единственности; степенные ряды.

### Abstract

Three dimensional gas flows of ideal polytropic gas effluence into vacuum are described. It is supposed that Newton's law of gravitation influences on gas mass. Three dimensional evolutionary model of self-gravitating gas is researched. The complexity of research is connected with the fact that system of equations is not analytical one. By change of several variables the system is transformed into analytical one and the theorem of existence and uniqueness for Cauchy problem is proved.

The gas effluence into vacuum is also analyzed. Motion law of «gas-vacuum» border, quantity values on it and gravity force value are modeled in form of power series. New initial-boundary problem is formulated and the theorem of existence and uniqueness is proved in free surface «gas-vacuum». The solution is presented in form of power series.

The solutions can be used for numerical simulation of astrophysics problems: galactic collision, star spread, supernova explosion.

### Key words:

Newton's law of gravitation, evolutionary hybrid set of equations with partial derivatives, initial-boundary problem, theorem of existence and uniqueness, power series.

**Сергей Львович Дерябин** — д-р физ.-мат. наук, профессор; кафедра «Высшая и прикладная математика» Уральского государственного университета путей сообщения, Екатеринбург, Россия. E-mail: SDeryabin@math.usurt.ru.

**Николай Павлович Чуев** — канд. физ.-мат. наук, доцент; кафедра «Высшая и прикладная математика» Уральского государственного университета путей сообщения. Екатеринбург, Россия. E-mail: n\_chuev@mail.ru.

**Sergey L. Deryabin** — DSc, prof., «Higher and Applied Mathematics» Department, The Ural State University of Railway Transport, Yekaterinburg, Russia. E-mail: SDeryabin@math.usurt.ru.

**Nikolay P. Chuev** — PhD, associate professor, «Higher and Applied Mathematics» Department, The Ural State University of Railway Transport, Yekaterinburg, Russia. E-mail: n\_chuev@mail.ru.

В работах [1, 2] движение гравитирующего газового тела рассматривалось как решение системы интегро-дифференциальных уравнений. Исследование этой системы позволило решить задачу о равновесной форме гравитирующей жидкой массы, вращающейся вокруг своей оси. При описании движения газовых масс, описывающих звезду, в работах [3, 4] использовалась одномерная система дифференциальных уравнений. В работе [5] рассмотрена динамика адиабатических движений гравитирующего идеального газа, заполняющего некоторый эллипсоид, когда скорости являются линейными функциями координат, а плотность газа постоянна.

Кроме того, ранее рассматривались задачи об истечении газа в вакуум. Подробный обзор можно найти в [6]. В работах [7, 8] рассмотрены сферически-симметричные истечения самогравитирующего идеального газа в вакуум. Получена эволюционная система дифференциальных уравнений и построены в виде сходящихся степенных рядов решения начально-краевых задач, описывающие течения, примыкающие к вакууму. В работе [9] получена в виде эволюционной системы дифференциальных уравнений с частными производными трехмерная нестационарная газодинамическая модель движения самогравитирующего газового облака.

В данной статье, которая является развитием работ [7, 8], для пространственного случая рассматривается задача о непрерывном примыкании газа к вакууму.

### 1. Постановка задачи о непрерывном примыкании газа к вакууму

Пусть в момент  $t = t_0$  замкнутая поверхность  $\Gamma$  отделяет область  $\Omega$ , заполненную идеальным политропным, гравитирующим по Ньютону газом, от вакуума. При этом в момент  $t = t_0$  известны распределения параметров

газа:  $U = U_0(\mathbf{x}) = \{u, v, w\}$  — скорости газа;  $S = S_0(\mathbf{x})$  — энтропии;  $\rho = \rho_0(\mathbf{x})$  — плотности газа, где  $\mathbf{x} = (x, y, z)$  — точка области  $\Omega$ . Функции  $U_0(\mathbf{x})$ ,  $S_0(\mathbf{x})$ ,  $\rho_0(\mathbf{x})$ , а также функция, задающая поверхность  $\Gamma(z = f(x, y))$ , предполагаются аналитическими. Будет также предполагаться, что в начальный и во все последующие моменты времени  $t > t_0$  функция  $\rho_0(t, \mathbf{x})|_{\Gamma_0} = 0$ , то есть газ, непрерывно примыкает к вакууму.

Необходимо построить решение задачи о непрерывном примыкании газа к вакууму в окрестности свободной поверхности  $\Gamma_0$ , найти закон ее движения и моменты времени, когда возникают бесконечные производные на свободной поверхности.

Трехмерные течения газа, гравитирующего по Ньютону описываются системой [9]

$$\begin{aligned} \rho_t + \operatorname{div}(\rho U) &= 0, \\ U_t + (UV)U + \frac{1}{\rho} \nabla p &= F(t, \mathbf{x}), \quad (1.1) \\ S_t + UVS &= 0, \\ F_t + \operatorname{rot}(F \times U) &= 4\pi G \rho U. \end{aligned}$$

Здесь  $p = \frac{S^2 \rho^\gamma}{\gamma}$ ,  $\gamma = \operatorname{const} > 1$  —

уравнение состояния политропного газа,  $p$  — давление,  $G$  — гравитационная постоянная. Сила гравитации вычисляется по формуле

$$F = G \nabla \iiint_{\Omega_t} \frac{\rho(x', t)}{|x - x'|} dx'; \quad (1.2)$$

$\Omega_t$  — область, занимаемая газом в момент времени  $t$ ;  $\Gamma_t$  — граница этой области.

Используя формулы векторного анализа [10] и уравнение состояния, перепишем систему (1.1) в виде

$$\rho_t + \operatorname{div}(\rho U) = 0,$$

$$U_t + (UV)U + S^2 \rho^{\gamma-2} \nabla \rho + \frac{2}{\gamma} \rho^{\gamma-1} S \nabla S = F(t, \mathbf{x}), \quad (1.3)$$

$$S_t + UV S = 0,$$

$$F_t + (UV)F - (FV)U + F \operatorname{div} U - U \operatorname{div} F = 4\pi G \rho U.$$

В качестве неизвестной функции в системе (1.2) вместо  $\rho$  удобно взять  $\sigma = \rho^{\frac{\gamma-1}{2}}$  [6]. Получим систему

$$\sigma_t + UV \sigma + \frac{\gamma-1}{2} \sigma \operatorname{div} U = 0,$$

$$U_t + (UV)U + \frac{2}{\gamma-1} S^2 \sigma \nabla \sigma + \frac{2}{\gamma} \sigma^2 S \nabla S = F(t, \mathbf{x}), \quad (1.4)$$

$$S_t + UV S = 0,$$

$$F_t + (UV)F - (FV)U + F \operatorname{div} U - U \operatorname{div} F = 4\pi G \sigma^{\frac{2}{\gamma-1}} U.$$

Построение аналитического решения задачи о непрерывном примыкании газа к вакууму проведем для показателей  $\gamma$ , при которых

$$\frac{2}{\gamma-1} = \frac{m}{l},$$

где  $m, l$  — натуральные числа ( $l > 1$ ).

В этом случае  $\gamma = 1 + \frac{2l}{m}$ .

Введем новую неизвестную функцию  $C = \sigma^{\frac{1}{l}}$ . Система (1.3) перейдет в аналитическую систему

$$C_t + UV C + \frac{1}{m} C \operatorname{div} U = 0,$$

$$U_t + (UV)U + m S^2 C^{2l-1} \nabla C + \frac{2m}{m+2l} C^{2l} S \nabla S = F(t, \mathbf{x}), \quad (1.5)$$

$$S_t + UV S = 0,$$

$$F_t + (UV)F - (FV)U + F \operatorname{div} U - U \operatorname{div} F = 4\pi G C^m U.$$

Для системы (1.4) поставим задачу Коши:

$$C(t_0, \mathbf{x}) = C_0(\mathbf{x}), \quad U(t_0, \mathbf{x}) = U_0(\mathbf{x}),$$

$$S(t_0, \mathbf{x}) = S_0(\mathbf{x}), \quad F(t_0, \mathbf{x}) = F_0(\mathbf{x}). \quad (1.6)$$

## 2. Построение решения задачи о непрерывном примыкании газа к вакууму

### Теорема 2.1.

Если функции  $C_0(\mathbf{x}), U_0(\mathbf{x}), S_0(\mathbf{x})$  — аналитические, то задача Коши (1.5), (1.6) имеет единственное аналитическое решение.

Поскольку система (1.5) — аналитическая, а задача (1.5), (1.6) является задачей типа Ковалевской, то при наличии аналитических начальных условий теорема выполняется. Функции  $C_0(\mathbf{x}), U_0(\mathbf{x}), S_0(\mathbf{x})$  по условию теоремы являются аналитическими функциями. Следовательно, если мы докажем, что  $F_0(\mathbf{x})$  является аналитической функцией, то теорема будет доказана. Функция  $F_0(\mathbf{x})$  будет иметь вид

$$F_0(\mathbf{x}) = \iiint_{\Omega} \frac{\rho_0(t, \mathbf{x}')(\mathbf{x} - \mathbf{x}')}{|\mathbf{x} - \mathbf{x}'|^3} d\mathbf{x}' = \iiint_{\Omega} \frac{C_0^m(t, \mathbf{x}')(\mathbf{x} - \mathbf{x}')}{|\mathbf{x} - \mathbf{x}'|^3} d\mathbf{x}'.$$

Вводя сферические переменные  $x - x' = R \sin \theta \cos \epsilon, y - y' = R \sin \theta \sin \epsilon, z - z' = R \cos \theta$ , имеем

$$F_{10}(\mathbf{x}) = \iint_{\Omega} C_0^m(t, x + R \sin \theta \cos \epsilon, y + R \sin \theta \sin \epsilon, z + R \cos \theta) \cdot \sin^2 \theta \cos \epsilon dR d\theta d\epsilon,$$

$$F_{20}(\mathbf{x}) = \iiint_{\Omega} C_0^m(t, x + R \sin \theta \cos \epsilon, y + R \sin \theta \sin \epsilon, z + R \cos \theta) \cdot \sin^2 \theta \sin \epsilon dR d\theta d\epsilon,$$

$$F_{30}(\mathbf{x}) = \iiint_{\Omega} C_0^m(t, x + R \sin \theta \cos \varepsilon, y + R \sin \theta \sin \varepsilon, z + R \cos \theta) \cdot \sin \theta \cos \theta dR d\theta d\varepsilon.$$

Поскольку интегралы особенностей не имеют, а функции, задающие начальную поверхность  $\Gamma$  и  $C_0^m(\mathbf{x})$ , — аналитические, то  $F_0(x)$  есть аналитическая функция, не имеющая особенностей. Теорема доказана.

Теперь приступим к исследованию течений в окрестности свободной границы «газ-вакуум»  $\Gamma_0$ . Кроме начальных условий (1.6) необходимо задать условие на  $\Gamma_0$

$$C(t, \mathbf{x})|_{\Gamma_0} = 0, \quad C_0(\mathbf{x})|_{\Gamma} = 0. \quad (2.1)$$

Перепишем систему (1.5) в координатной форме:

$$\begin{aligned} & C_t + uC_x + vC_y + wC_z + \\ & + \frac{1}{m} C(u_x + v_y + w_z) = 0, \\ & u_t + uu_x + vv_y + ww_z + \\ & + mS \wedge 2C \wedge (2l-1)C_x + \\ & + \frac{2m}{m-2l} C^{2l} SS_x = F_1, \\ & v_t + uv_x + vv_y + wv_z + \\ & + mS^2 C^{2l-1} C_y + \\ & + \frac{2m}{m-2l} C^{2l} SS_y = F_2, \\ & w_t + uw_x + vw_y + ww_z + \\ & + mS^2 C^{2l-1} C_z + \\ & + \frac{2m}{m-2l} C^{2l} SS_z = F_3, \end{aligned} \quad (2.2)$$

$$S_t + uS_x + vS_y + wS_z = 0,$$

$$F_{1t} + vF_{1y} + wF_{1z} - F_2 u_y - F_3 u_z + u(F_{2y} + F_{2z}) - F_1(v_y + w_z) = 4\pi G C_0^m u,$$

$$F_{2t} + uF_{2x} + wF_{2z} - F_1 v_x - F_3 v_z + v(F_{1x} + F_{2z}) - F_2(u_x + w_z) = 4\pi G C_0^m v,$$

$$F_{3t} + uF_{3x} + vF_{3y} - F_1 w_x - F_2 w_y + w(F_{1x} + F_{2y}) - F_3(u_x + v_y) = 4\pi G C_0^m w.$$

Как показано выше, задача (2.2), (1.6) имеет единственное аналитическое решение

$$C = C(t, \mathbf{x}), \quad U = U(t, \mathbf{x}),$$

$$S = S(t, \mathbf{x}), \quad F = F(t, \mathbf{x}). \quad (2.3)$$

Построим решение задачи (2.2), (1.6) в виде ряда по степеням  $t - t_0$

$$V(t, x, y, z) = \sum_{k=0}^{\infty} V_k(x, y, z) \frac{(t - t_0)^k}{k!},$$

$$V = \{C, u, v, w, S, F_1, F_2, F_3\}. \quad (2.4)$$

В системе (2.2) положим  $t = t_0$ , учитывая (1.6), будем иметь

$$\begin{aligned} C_1 &= -u_0 C_{0x} - v_0 C_{0y} + w_0 C_{0z} - \\ & - \frac{1}{m} C_0(u_{0x} + v_{0y} + w_{0z}), \\ u_1 &= -u_0 u_{0x} - v_0 u_{0y} - w_0 u_{0z} - \\ & - m S_0^2 C_0^{2l-1} C_{0x} - \frac{2m}{m-2l} C_0^{2l} S_0 S_{0x} + F_{10}, \\ v_1 &= -u_0 v_{0x} - v_0 v_{0y} - w_0 v_{0z} - \\ & - m S_0^2 C_0^{2l-1} C_{0y} - \frac{2m}{m-2l} C_0^{2l} S_0 S_{0y} + F_{20}, \\ w_1 &= -u_0 w_{0x} - v_0 w_{0y} - w_0 w_{0z} - \\ & - m S_0^2 C_0^{2l-1} C_{0z} - \frac{2m}{m-2l} C_0^{2l} S_0 S_{0z} + F_{30}, \end{aligned}$$

$$S_1 = -u_0 S_{0x} - v_0 S_{0y} - w_0 S_{0z},$$

$$\begin{aligned} F_{11} &= -v_0 F_{11y} - w_0 F_{11z} + F_{20} u_{0y} + \\ & + F_{30} u_{0z} - u_0 (F_{20y} + F_{20z}) + \\ & + F_{10} (v_{0y} + w_{0z}) + 4\pi G C_0^m u_0, \end{aligned}$$

$$\begin{aligned} F_{21} &= -u_0 F_{21x} - w_0 F_{21z} + F_{10} v_{0x} + \\ & + F_{30} v_{0z} - v_0 (F_{10x} + F_{20z}) + \\ & + F_{20} (u_{0x} + w_{0z}) + 4\pi G C_0^m v_0, \end{aligned}$$

$$\begin{aligned} F_{31} &= -u_0 F_{31x} - v_0 F_{31y} + F_{10} w_{0x} + \\ & + F_{20} w_{0y} - w_0 (F_{10x} + F_{20y}) + \\ & + F_{30} (u_{0x} + v_{0y}) + 4\pi G C_0^m w_0. \end{aligned}$$

Продифференцируем систему (2.2) по  $t$   $k$  раз, положим  $t = t_0$ , получим

$$\begin{aligned}
 C_{k+1} &= -\sum_{n=1}^k C_k^n [u_n C_{(k-n)x} + v_n C_{(k-n)y} + \\
 &+ w_n C_{(k-n)z} + \frac{1}{m} C_n \cdot \\
 &\cdot (u_{(k-n)x} + v_{(k-n)y} + w_{(k-n)z})], \\
 u_{k+1} &= -\sum_{n=1}^k C_k^n [u_n u_{(k-n)x} + v_n u_{(k-n)y} + \\
 &+ w_n u_{(k-n)z} + m(S^2 C^{2l-1})_0^{(k)} C_{(k-n)x} + \\
 &+ \frac{2m}{m-2l} (C^{2l} S)_0^{(k)} S_{(k-n)x}] + F_{1k0}, \\
 v_{k+1} &= -\sum_{n=1}^k C_k^n [u_n v_{(k-n)x} + v_n v_{(k-n)y} + \\
 &+ w_n v_{(k-n)z} + m(S^2 C^{2l-1})_0^{(k)} C_{(k-n)y} + \\
 &+ \frac{2m}{m-2l} (C^{2l} S)_0^{(k)} S_{(k-n)y}] + F_{2k0}, \\
 w_{k+1} &= -\sum_{n=1}^k C_k^n [u_n w_{(k-n)x} + v_n w_{(k-n)y} + \\
 &+ w_n w_{(k-n)z} + m(S^2 C^{2l-1})_0^{(k)} C_{(k-n)z} + \\
 &+ \frac{2m}{m-2l} (C^{2l} S)_0^{(k)} S_{(k-n)z}] + F_{3k0}, \\
 S_{k+1} &= -\sum_{n=1}^k C_k^n [u_n S_{(k-n)x} + \\
 &+ v_n S_{(k-n)y} + w_n S_{(k-n)z}], \\
 F_{1(k+1)} &= -\sum_{n=1}^k C_k^n [v_n F_{1(k-n)y} + \\
 &+ w_n F_{1(k-n)z} - F_{2n} u_{(k-n)y} - F_{3n} u_{(k-n)z} + \\
 &+ u_n (F_{2(k-n)y} + F_{2(k-n)z}) - \\
 &- F_{1n} (v_{(k-n)y} + w_{(k-n)z})] + 4\pi G (C^m)_0^{(n)} u_{(k-n)}, \\
 F_{2(k+1)} &= -\sum_{n=1}^k C_k^n [u_n F_{2(k-n)x} + w_n F_{2(k-n)z} - \\
 &- F_{1n} v_{(k-n)x} - F_{3n} v_{(k-n)z} + \\
 &+ v_n (F_{1(k-n)x} + F_{2(k-n)z}) - \\
 &- F_{2n} (u_{(k-n)x} + w_{(k-n)z})] + 4\pi G (C^m)_0^{(n)} v_{(k-n)}, \\
 F_{3(k+1)} &= -\sum_{n=1}^k C_k^n [u_n F_{3(k-n)x} + v_n F_{3(k-n)y} - \\
 &- F_{1n} w_{(k-n)x} - F_{2n} w_{(k-n)y} + \\
 &+ w_n (F_{1(k-n)x} + F_{2(k-n)y}) - \\
 &- F_{3n} (u_{(k-n)x} + v_{(k-n)y})] + 4\pi G (C^m)_0^{(n)} w_{(k-n)}.
 \end{aligned}$$

Пусть  $z = z_0(t, x, y)$  — неизвестный закон движения свободной границы  $\Gamma_0$ . Подставим его в первое соотношение (2.3), получим  $C = C(t, x, y, z_0(t, x, y))$  — закон движения свободной границы в неявной форме.

Зная решение (2.4), перепишем последнее равенство в виде

$$\begin{aligned}
 C(t, x, y, z_0(t, x, y)) &= \\
 &= C_0(t, x, y, z_0(t, x, y)) + \\
 &+ C_1(t, x, y, z_0(t, x, y))(t - t_0) + \\
 &+ C_k(t, x, y, z_0(t, x, y)) \frac{(t - t_0)^k}{k!} + \dots = 0. \quad (2.5)
 \end{aligned}$$

Пусть в начальный момент времени  $C_{0z}(x, y, z)|_{\Gamma} \neq 0$ , тогда по теореме о неявной функции существует единственная функция  $z = z_0(t, x, y)$ , совпадающая в начальный момент времени с  $\Gamma$  и удовлетворяющая условию (2.1). Таким образом, закон движения свободной границы в неявной форме построен.

Конструктивно построим закон движения свободной поверхности в виде ряда по степеням  $t - t_0$

$$\begin{aligned}
 z_0(t, x, y) &= z_{00}(x, y) + \\
 &+ z_{01}(x, y)(t - t_0) + \\
 &+ z_{02}(x, y) \frac{(t - t_0)^2}{2!} + \\
 &+ \dots + z_{0k}(x, y) \frac{(t - t_0)^k}{k!} + \dots \quad (2.6)
 \end{aligned}$$

Заметим, что  $z_{00}(x, y) = f(x, y)$ .

Продифференцируем равенство (2.5) по  $t$ , получим

$$\begin{aligned}
 \frac{dC}{dt} &= C_{0z}(t, x, y, z_0(t, x, y)) z_{0t}(t, x, y) + \\
 &+ C_1(t, x, y, z_0(t, x, y)) + \\
 &+ C_{1z}(t, x, y, z_0(t, x, y)) z_{0t}(t, x, y)(t - t_0) + \\
 &+ C_2(t, x, y, z_0(t, x, y))(t - t_0) + \\
 &+ C_{2z}(t, x, y, z_0(t, x, y)) z_{0t}(t, x, y) \times \\
 &\times \frac{(t - t_0)^2}{2!} + \dots + C_k(t, x, y, z_0(t, x, y)) +
 \end{aligned}$$

$$+C_{kz}(t, x, y, z_0(t, x, y))z_{0t}(t, x, y) \times \\ \times \frac{(t-t_0)^k}{k!} + \dots = 0. \quad (2.7)$$

Положив в соотношении (2.7)  $t = t_0$ , будем иметь

$$C_{0z}(x, y, z_{00})z_{01}(x, y) + C_{10}(x, y, z_{00}) = 0.$$

Из последнего равенства находим

$$z_{01}(x, y) = \frac{C_{10}(x, y, z_{00})}{C_{0z}(x, y, z_{00})}.$$

Продифференцируем равенство (2.7) по  $t$ , положим  $t = t_0$  и после несложных преобразований получим

$$C_{20}(x, y, z_{00}) + \\ + 2C_{1z}(x, y, z_{00})z_{01} + \\ z_{01}(x, y) = \frac{C_{0zz}(x, y, z_{00})z_{01}^2}{C_{0z}(x, y, z_{00})}.$$

Для нахождения остальных коэффициентов ряда (2.6) продифференцируем равенство (2.7)  $k$  раз ( $k > 1$ ) по  $t$ , положим  $t = t_0$  и в результате будем иметь

$$z_{0k}(x, y) = \frac{C_{k0}(x, y, z_{00}) + Q_k(x, y, z_{00})}{C_{0z}(x, y, z_{00})}.$$

Здесь  $Q_k$  — функции, известным образом зависящие от  $C_{p0}(x, y, z_{00})$  и  $z_{0q}(x, y)$  ( $1 < p < k-1$ ), ( $1 < q < k$ ); их вид не приводится ввиду громоздкости.

Подставляя построенный ряд (2.6) в решение (2.3), получим значение всех неизвестных функций на границе «газ-вакуум»

$$u|_{z=z_0(t, x, y)} = u(t, x, y, z_0(t, x, y)) \equiv \\ \equiv u^0(t, x, y), \\ v|_{z=z_0(t, x, y)} = v(t, x, y, z_0(t, x, y)) \equiv \\ \equiv v^0(t, x, y), \\ w|_{z=z_0(t, x, y)} = w(t, x, y, z_0(t, x, y)) \equiv \\ \equiv w^0(t, x, y),$$

$$S|_{z=z_0(t, x, y)} = S(t, x, y, z_0(t, x, y)) \equiv \\ \equiv S^0(t, x, y), \quad (2.8)$$

$$F_1|_{z=z_0(t, x, y)} = F_1(t, x, y, z_0(t, x, y)) \equiv \\ \equiv F_1^0(t, x, y),$$

$$F_2|_{z=z_0(t, x, y)} = F_2(t, x, y, z_0(t, x, y)) \equiv \\ \equiv F_2^0(t, x, y),$$

$$F_3|_{z=z_0(t, x, y)} = F_3(t, x, y, z_0(t, x, y)) \equiv \\ \equiv F_3^0(t, x, y).$$

В системе (2.2) введем новую переменную  $\eta = z - z_0(t, x, y)$ , получим

$$C_t + uC_x + vC_y + \\ + (w - z_{0t} - z_{0x}u - z_{0y}v)C_\eta + \\ + \frac{1}{m}C(u_x + v_y + w_\eta - \\ - z_{0x}u_\eta - z_{0y}v_\eta) = 0, \\ u_t + uu_x + vv_y + \\ + (w - z_{0t} - z_{0x}u - z_{0y}v)u_\eta + \\ + mS^2C^{2l-1}(C_x - z_{0x}C_\eta) + \\ + \frac{2m}{m-2l}C^{2l}S(S_x - z_{0x}S_\eta) = F_1, \\ v_t + uv_x + vv_y + \\ + (w - z_{0t} - z_{0x}u - z_{0y}v)v_\eta + \\ + mS^2C^{2l-1}(C_y - z_{0y}C_\eta) + \\ + \frac{2m}{m-2l}C^{2l}S(S_y - z_{0y}S_\eta) = F_2, \\ u_t + uv_x + vv_y + \\ + (w - z_{0t} - z_{0x}u - z_{0y}v)w_\eta + \\ + mS^2C^{2l-1}C_\eta + \\ + \frac{2m}{m-2l}C^{2l}SS_\eta = F_3, \quad (2.9) \\ S_t + uS_x + vS_y + \\ + (w - z_{0t} - z_{0x}u - z_{0y}v)S_\eta = 0, \\ F_{1t} + vF_{1y} + (w - z_{0t} - z_{0y}v)F_{1\eta} - \\ - F_2u_y - (F_3 - z_{0y}F_{2\eta})u_\eta + \\ + u(F_{2y} + F_{3\eta} - z_{0y}F_{2\eta}) - \\ - F_1(v_y + w_\eta - z_{0y}v_\eta) = 4\pi GC^m u,$$

$$\begin{aligned}
 & F_{2t} + uF_{2x} + (w - z_{0t} - z_{0x}u)F_{2\eta} - \\
 & - F_1v_x - (F_3 - z_{0x}F_{1\eta})v_\eta + \\
 & + v(F_{1x} + F_{3\eta} - z_{0x}F_{1\eta}) - \\
 & - F_2(u_x + w_\eta - z_{0x}u_\eta) = 4\pi GC^mv, \\
 & F_{3t} + uF_{3x} + vF_{3y} - (z_{0t} + z_{0x}u + z_{0y}v)F_{3\eta} - \\
 & - F_1w_x - F_2w_y + (z_{0x}F_1 + z_{0y}F_2)w_\eta + \\
 & + w(F_{1x} + F_{2y} - z_{0x}F_{1\eta} - z_{0y}F_{2\eta}) - \\
 & - F_3(u_x + v_y - z_{0x}u_\eta - z_{0y}v_\eta) = 4\pi GC^mw.
 \end{aligned}$$

Для системы (2.9) начальные условия (1.6) переписутся в виде

$$\begin{aligned}
 C(t_0, x, y, \eta) &= C_0(x, y, \eta + f(x, y)), \\
 U(t_0, x, y, \eta) &= U_0(x, y, \eta + f(x, y)), \quad (2.10) \\
 S(t_0, x, y, \eta) &= S_0(x, y, \eta + f(x, y)), \\
 F(t_0, x, y, \eta) &= F_0(x, y, \eta + f(x, y)).
 \end{aligned}$$

Представим решение (2.3) в виде ряда по степеням  $\eta$

$$\begin{aligned}
 V(t, x, y, \eta) &= \sum_{k=0}^{\infty} V_k(t, x, y) \frac{\eta^k}{k!}, \\
 V &= \{C, u, v, w, S, F_1, F_2, F_3\}. \quad (2.11)
 \end{aligned}$$

Если положить в системе (2.9)  $\eta = 0$  и учесть условия (2.8), то первые пять уравнений этой системы выполняются тождественно.

$$\begin{aligned}
 z_{0t} + z_{0x}u_0 + z_{0y}v_0 &= w_0, \\
 z_0(t_0, x, y) &= f(x, y), \quad (2.12) \\
 u_{0t} + u_{0x}u_0 + u_{0y}v_0 &= F_{10}, \\
 u_0(t_0, x, y) &= u_0(x, y, f(x, y)), \\
 v_{0t} + v_{0x}u_0 + v_{0y}v_0 &= F_{20}, \\
 v_0(t_0, x, y) &= v_0(x, y, f(x, y)), \\
 w_{0t} + w_{0x}u_0 + w_{0y}v_0 &= F_{30}, \\
 w_0(t_0, x, y) &= w_0(x, y, f(x, y)),
 \end{aligned}$$

$$\begin{aligned}
 S_{0t} + S_{0x}u_0 + S_{0y}v_0 &= 0, \\
 S_0(t_0, x, y) &= S_0(x, y, f(x, y)).
 \end{aligned}$$

Поскольку построенное решение (2.8) единственно, то оно и является решением задачи (2.12). А последние три уравнения системы (2.9) зададут функциональные связи между выводящими со свободной границы производными  $U_\eta|_{\Gamma_0}, F_\eta|_{\Gamma_0}$ .

$$\begin{aligned}
 & F_{10t} + v_0F_{10y} + (w_0 - z_{0t} - z_{0y}v_0)F_{11} - \\
 & - F_{20}u_{0y} - (F_{30} - z_{0y}F_{20})u_1 + \\
 & + u_0(F_{20y} + F_{31} - z_{0y}F_{21}) - \\
 & - F_{10}(v_{0y} + w_1 - z_{0y}v_1) = 0, \\
 & F_{20t} + u_0F_{20x} + (w_0 - z_{0t} - z_{0x}u_0)F_{21} - \\
 & - F_{10}v_{0x} - (F_{30} - z_{0x}F_{11})v_1 + \\
 & + v_0(F_{10x} + F_{31} - z_{0x}F_{11}) - \\
 & - F_{20}(u_{0x} + w_1 - z_{0x}u_1) = 0, \quad (2.13)
 \end{aligned}$$

$$\begin{aligned}
 & F_{31t} + u_0F_{31x} + v_0F_{31y} - \\
 & - (z_{0t} + z_{0x}u_0 + z_{0y}v_0)F_{31} - F_{10}w_{0x} - \\
 & - F_{20}w_{0y} + (z_{0x}F_{10} + z_{0y}F_{20})w_1 + \\
 & + w_0(F_{10x} + F_{20y} - z_{0x}F_{11} - z_{0y}F_{21}) - \\
 & - F_{30}(u_{0x} + v_{0y} - z_{0x}u_1 - z_{0y}v_1) = 0.
 \end{aligned}$$

В системе (2.13) выразим явно  $F_{11}, F_{21}, F_{31}$ . Для этого перепишем ее, учитывая первое уравнение (2.12):

$$\begin{aligned}
 & z_{0x}u_0F_{11} - z_{0y}u_0F_{21} + u_0F_{31} = \\
 & = (F_{30} - z_{0y}F_{20})u_1 + \\
 & + F_{10}(w_1 - z_{0y}v_1) + P_{11}, \\
 & -z_{0x}v_0F_{11} + z_{0y}v_0F_{21} + v_0F_{31} = \\
 & = (F_{30} - z_{0x}F_{10})v_1 + \\
 & + F_{20}(w_1 - z_{0x}u_1) + P_{21}, \\
 & z_{0x}w_0F_{11} + z_{0y}w_0F_{21} - w_0F_{31} = \\
 & = (z_{0x}F_{10} + z_{0y}F_{20})w_1 + \\
 & + F_{30}(z_{0x}u_1 + z_{0y}v_1) + P_{31}. \quad (2.14)
 \end{aligned}$$

Здесь

$$\begin{aligned}
 P_{11} &= F_{10}v_{0y} + F_{20}u_{0y} - \\
 & - F_{10t} - v_0F_{10y} - u_0F_{20y},
 \end{aligned}$$

$$\begin{aligned}
 P_{21} &= F_{10}v_{0x} + F_{20}u_{0x} - \\
 &- F_{20t} - u_0F_{20x} - v_0F_{10x}, \\
 P_{31} &= -F_{10}w_{0x} - F_{20}w_{0x} + F_{30t} + \\
 &+ u_0F_{30x} + v_0F_{30y} + w_0(F_{10x} + F_{20y}) - \\
 &- F_{30}(u_{0x} + v_{0y}).
 \end{aligned}$$

Умножая первое уравнение системы (2.14) на  $v$ , а второе на  $u$  и складывая их, получим

$$\begin{aligned}
 2u_0v_0F_{31} &= u_0[(F_{30} - z_{0x}F_{10})v_1 + \\
 &+ F_{20}(w_1 - z_{0x}u_1) + P_{21}] + \\
 &+ v_0[(F_{30} - z_{0y}F_{20})u_1 + \\
 &+ F_{10}(w_1 - z_{0y}v_1) + P_{11}].
 \end{aligned}$$

Аналогично получаем формулы для  $F_{11}$  и  $F_{21}$ .

Окончательно имеем

$$\begin{aligned}
 F_{11} &= \frac{1}{2z_{0x}u_0} [(F_{30} - z_{0y}F_{10})u_1 + \\
 &+ F_{10}(w_1 - z_{0y}v_1) + P_{21}] + \\
 &+ \frac{1}{2z_{0x}w_0} [(z_{0x}F_{10} + z_{0y}F_{20})w_1 + \\
 &+ F_{30}(z_{0x}u_1 + z_{0y}v_1) + P_{31}], \\
 F_{21} &= \frac{1}{2z_{0y}v_0} [(F_{30} - z_{0x}F_{10})v_1 + \\
 &+ F_{20}(w_1 - z_{0x}u_1) + P_{21}] + \\
 &+ \frac{1}{2z_{0y}w_0} [(z_{0x}F_{10} + z_{0y}F_{20})w_1 + \\
 &+ F_{30}(z_{0x}u_1 + z_{0y}v_1) + P_{31}], \quad (2.15)
 \end{aligned}$$

$$\begin{aligned}
 F_{31} &= \frac{1}{2u_0} [(F_{30} - z_{0y}F_{20})u_1 + \\
 &+ F_{10}(w_1 - z_{0y}v_1) + P_{11}] + \\
 &+ \frac{1}{2v_0} [(F_{30} - z_{0x}F_{10})v_1 + \\
 &+ F_{20}(w_1 - z_{0x}u_1) + P_{21}].
 \end{aligned}$$

Теперь продифференцируем первые пять уравнений в системе (2.9) по  $\eta$ , положим  $\eta = 0$ , получим

если  $l = 1, m > 1$ ,

$$\begin{aligned}
 &C_{1t} + u_0C_{1x} + v_0C_{1y} + \left(1 + \frac{1}{m}\right) \cdot \\
 &\cdot (w_1 - z_{0x}u_1 - z_{0y}v_1)C_1 + \\
 &+ \frac{1}{m}C_1(u_{0x} + v_{0y}) = 0, \quad (2.16)
 \end{aligned}$$

$$\begin{aligned}
 &u_{1t} + u_0u_{1x} + v_0u_{1y} + u_1u_{0x} + \\
 &+ v_1u_{0y} + (w_1 - z_{0x}u_1 - z_{0y}v_1)u_1 - \\
 &- mz_{0x}S_0^2C_1^2 = F_{11},
 \end{aligned}$$

$$\begin{aligned}
 &v_{1t} + u_0v_{1x} + v_0v_{1y} + u_1v_{0x} + \\
 &+ v_1v_{0y} + (w_1 - z_{0x}u_1 - z_{0y}v_1)v_1 - \\
 &- mz_{0y}S_0^2C_1^2 = F_{21},
 \end{aligned}$$

$$\begin{aligned}
 &w_{1t} + u_0w_{1x} + v_0w_{1y} + u_1w_{0x} + \\
 &+ v_1w_{0y} + (w_1 - z_{0x}u_1 - z_{0y}v_1)w_1 + \\
 &+ mz_{0y}S_0^2C_1^2 = F_{31},
 \end{aligned}$$

$$\begin{aligned}
 &S_{1t} + u_0S_{1x} + v_0S_{1y} + u_1S_{0x} + \\
 &+ v_1S_{0y} + (w_1 - z_{0x}u_1 - z_{0y}v_1)S_1 = 0;
 \end{aligned}$$

если  $l > 1, m > 1$ ,

$$\begin{aligned}
 &C_{1t} + u_0C_{1x} + v_0C_{1y} + \left(1 + \frac{1}{m}\right) \cdot \\
 &\cdot (w_1 - z_{0x}u_1 - z_{0y}v_1)C_1 + \\
 &+ \frac{1}{m}C_1(u_{0x} + v_{0y}) = 0, \quad (2.17)
 \end{aligned}$$

$$\begin{aligned}
 &u_{1t} + u_0u_{1x} + v_0u_{1y} + u_1u_{0x} + v_1u_{0y} + \\
 &+ (w_1 - z_{0x}u_1 - z_{0y}v_1)u_1 = F_{11},
 \end{aligned}$$

$$\begin{aligned}
 &v_{1t} + u_0v_{1x} + v_0v_{1y} + u_1v_{0x} + v_1v_{0y} + \\
 &+ (w_1 - z_{0x}u_1 - z_{0y}v_1)v_1 = F_{21},
 \end{aligned}$$

$$\begin{aligned}
 &w_{1t} + u_0w_{1x} + v_0w_{1y} + u_1w_{0x} + \\
 &+ v_1w_{0y} + (w_1 - z_{0x}u_1 - z_{0y}v_1)w_1 = F_{31},
 \end{aligned}$$

$$\begin{aligned}
 &S_{1t} + u_0S_{1x} + v_0S_{1y} + u_1S_{0x} + \\
 &+ v_1S_{0y} + (w_1 - z_{0x}u_1 - z_{0y}v_1)S_1 = 0.
 \end{aligned}$$

Случаи ( $l = 1, m = 1$ ) и ( $n > 1, m = 1$ ) не приводятся, чтобы не загромождать изложение. Таким образом, для определения восьми выходящих производных имеем систему из пяти дифференциальных уравнений и трех функциональных.

Подставляя выражения (2.15) в системы (2.16), (2.17), имеем классические транспортные уравнения.

Продифференцируем первые пять уравнений системы (2.9) по  $\eta$   $k$  раз, а последние три  $k - 1$  раз, подставим  $\eta = 0$  и, выражая явно  $F_{1k}, F_{2k}, F_{3k}$  для случая  $l > 1, m > 1$ , будем иметь

$$C_{kt} + u_0 C_{kx} + v_0 C_{ky} + \left(k + \frac{1}{m}\right) \cdot (w_1 - z_{0x} u_1 - z_{0y} v_1) C_k + \frac{1}{m} (u_{0x} + v_{0y}) C_k + \left(1 + \frac{k}{m}\right) \cdot (w_k - z_{0x} u_k - z_{0y} v_k) C_1 = P_{4k}, \quad (2.18)$$

$$u_{kt} + u_0 u_{kx} + v_0 u_{ky} + u_k u_{0x} + v_k u_{0y} + k(w_1 - z_{0x} u_1 - z_{0y} v_1) u_k + (w_k - z_{0x} u_k - z_{0y} v_k) u_1 - F_{1k} = P_{5k},$$

$$v_{kt} + u_0 v_{kx} + v_0 v_{ky} + u_k v_{0x} + v_k v_{0y} + k(w_1 - z_{0x} u_1 - z_{0y} v_1) v_k + (w_k - z_{0x} u_k - z_{0y} v_k) v_1 - F_{2k} = P_{6k},$$

$$w_{kt} + u_0 w_{kx} + v_0 w_{ky} + u_k w_{0x} + v_k w_{0y} + k(w_1 - z_{0x} u_1 - z_{0y} v_1) w_k + (w_k - z_{0x} u_k - z_{0y} v_k) w_1 - F_{3k} = P_{7k},$$

$$S_{kt} + u_0 S_{kx} + v_0 S_{ky} + u_k S_{0x} + v_k S_{0y} + k(w_1 - z_{0x} u_1 - z_{0y} v_1) S_k + (w_k - z_{0x} u_k - z_{0y} v_k) S_1 = P_{8k},$$

$$F_{1k} = \frac{1}{2z_{0x} u_0} [(F_{30} - z_{0y} F_{20}) u_k + F_{10} (w_k - z_{0y} v_k) + P_{1k}] + \frac{1}{2z_{0x} w_0} [(z_{0x} F_{10} + z_{0y} F_{20}) w_k + F_{30} (z_{0x} u_k + z_{0y} v_k) + P_{3k}],$$

$$F_{2k} = \frac{1}{2z_{0y} v_0} [(F_{30} - z_{0x} F_{10}) v_k + F_{20} (w_k - z_{0x} u_k) + P_{2k}] + \frac{1}{2z_{0y} w_0} [(z_{0x} F_{10} + z_{0y} F_{20}) w_k + F_{30} (z_{0x} u_k + z_{0y} v_k) + P_{3k}],$$

$$F_{3k} = \frac{1}{2u_0} [(F_{30} - z_{0y} F_{20}) u_k + F_{10} (w_k - z_{0y} v_k) + P_{1k}] + \frac{1}{2v_0} [(F_{30} - z_{0x} F_{10}) v_k + F_{20} (w_k - z_{0x} u_k) + P_{2k}].$$

Аналогичные системы для случаев ( $l = 1, m = 1$ ), ( $l = 1, m > 1$ ), ( $l > 1, m = 1$ ) не приводятся, чтобы не затруднять изложение.

Функции  $P_{ik}, i = 1, 2, \dots, 8$  известным образом зависят от ранее полученных коэффициентов ряда (2.16) и не приводятся в виду громоздкости.

Начальные условия для дифференциальных уравнений (2.16), (2.17), (2.18) получаются, если первые пять функций из условий (2.10) дифференцировать  $k$  раз по  $\eta$  и полагать  $\eta = 0$ . Таким образом, в виде ряда (2.11) построено единственное решение о непрерывном примыкании газа к вакууму. Сходимость ряда (2.11) доказывает следующая

### Теорема 2.2.

Если  $C_{0z}(x, y, f(x, y)) \neq 0$ , то задача (2.8), (2.9), (2.10) имеет единственное решение.

Теорема доказывается сведением задачи (2.8), (2.9), (2.10) к характеристической задаче Коши стандартного вида [11]. Существование аналитических условий (2.8) гарантируется теоремой о неявной функции. Тогда задача (2.8), (2.9) является характеристической задачей Коши с аналитическими данными на характеристике кратности пять. Поэтому для получения единственного решения необходимо задать пять дополнительных условий. Такими условиями являются первые пять условий (2.10).

Системы (2.18) линейные, поэтому особенности в решении возникнут при возникновении особенностей у решений нелинейной системы транспортных уравнений. Кроме особенностей, связанных с нелинейностью систем (2.16), (2.17), у этого

решения возникают дополнительные особенности в моменты времени, когда на границе «газ-вакуум» обращаются в ноль функции  $z_{0x}, z_{0y}, u_0, v_0, w_0$ .

Таким образом, в виде ряда (2.11) построено единственное аналитическое решение о непрерывном приоткрытии газа к вакууму. В виде ряда (2.8) построен закон движения границы «газ-вакуум». Для нахождения

моментов времени, до которых сохраняется полученное течение, выписаны системы транспортных уравнений (2.16), (2.17). Выявлены дополнительные условия, при которых возникнут особенности у решений.

*Авторы благодарят С. П. Баутину за полезное обсуждение данной работы.* ■

### Литература

1. Ламб Г. Гидродинамика. М.-Л. : ОГИЗ, 1947. 452 с.
2. Ликтенштейн Л. Фигуры равновесия вращающейся жидкости. М. : Наука, 1973. 386 с.
3. Седов Л. И. Методы подобия и размерности в механике. М. : Наука, 1987. 432 с.
4. Сретенский Л. Н. Теория ньютоновского потенциала. М.-Л. : ОГИЗ, 1946. 320 с.
5. Богоявленский О. И. Методы качественной теории динамических систем в астрофизике и газовой динамике. М. : Наука, 1980. 320 с.
6. Баутин С. П., Дерябин С. Л. Математическое моделирование истечения идеального газа в вакуум. Наука, Новосибирск, 2005. 390 с. ISBN 5-02-032505-8.
7. Дерябин С. Л., Чуев Н. П. Сферически-симметричное истечение самогравитирующего идеального газа в вакуум // Прикладная математика и механика. 1994. Т. 58. Вып. 2. — С. 77–84.
8. Дерябин С. Л. Одномерное истечение самогравитирующего идеального газа в вакуум // Вычислительные технологии. 2003. Т. 8, № 4. С. 32–44.
9. Чуев Н. П. Построение трехмерной эволюционной дифференциальной модели политропного самогравитирующего газа // Вестник УрГУПС. № 1 (9), 2011. С. 14–21. ISBN 2079-0392.
10. Кочин Н. Е. Векторное исчисление и начала тензорного исчисления. М. : Наука, 1965.
11. Баутин С. П. Характеристическая задача Коши. Новосибирск: Наука, 2009. 368 с. ISBN 978-5-02-023309-6.

### References

1. Lamb G. *Gidrodinamika* [Hydrodynamics]. M.-L. : OGIZ, 1947. 452 s.
2. Likhtenshtein L. *Figury ravnovesija vrashchajushchejsja zhidkosti* [Figure of equilibrium of rotating fluid]. M. : Nauka, 1973. 386 s.
3. Sedov L. I. *Metody podobija i razmernosti v mekhanike* [Similarity methods and dimensionality in mechanics]. M. : Nauka, 1987. 432 s.
4. Sretensky L. N. *Teorija njutonovskogo potentsiala* [Theory of Newton potential]. M.-L. : OGIZ, 1946. 320 s.
5. Bogoyavlensky O. I. *Metody kachestvennoj teorii dinamicheskikh sistem v astrofizike i gazovoj dinamike* [Method of qualitative theory of dynamic systems in astrophysics and gas dynamics]. M. : Nauka, 1980. 320 s.
6. Bautin S. P., Deryabin S. L. *Matematicheskoe modelirovanie istechenija idealnogo gaza v vakuum* [Mathematical simulation of ideal gas effluence into vacuum]. Nauka, Novosibirsk, 2005. 390 s. ISBN 5-02-032505-8.
7. Deryabin S. L., Chuev N. P. *Sfericheski-simmetrichnoe istechenie samogravitirujushchego idealnogo gaza v vakuum* [Spherical- symmetrical effluence of self-gravitating ideal gas into vacuum] // *Prikladnaja matematika i mekhanika*. 1994. T. 58. Vyp. 2. — S. 77–84.
8. Deryabin S. L. *Odnomernoe istechenie samogravitirujushchego idealnogo gaza v vakuum* [One-dimensional effluence of self-gravitating ideal gas into vacuum] // *Vychislitelnye tekhnologii*. 2003. T. 8, № 4. S. 32–44.
9. Chuev N. P. *Postroenie trekhmernoj evoljutsionnoj differentsalnoj modeli politropnogo samogravitirujushchego gaza* [Construction of three dimensional evolutional differential model of polytropic self-gravitating gas] // *Vestnik UrGUPS*. № 1 (9), 2011. S. 14–21. ISBN 2079-0392.
10. Kochin N. E. *Vektornoe ischislenie i nachala tenzornogo ischislenija* [Vector calculus and fundamentals of tensor calculus]. M. : Nauka, 1965.
11. Bautin S. P. *Kharakteristicheskaja zadacha Koshi* [Characteristic Cauchy problem]. Novosibirsk: Nauka, 2009. 368 s. ISBN 978-5-02-023309-6.

УДК 639.4.015

*И. А. Добычин, М. Ю. Градинаров*

## **Кинематический анализ тележки грузового вагона как изменяемого твердого тела с внутренними степенями свободы**

UDC 639.4.015

*I. A. Dobychin, M. Yu. Gradinarov*

## **Kinematic analysis of a freight car's bogie**

### **Аннотация**

Статья посвящена разработке оригинальной математической модели тележки грузового вагона типа 18-100. Необрессоренная часть тележки, состоящая из двух колесных пар с буксами, на которые опираются две боковые рамы, рассматривается как изменяемое твердое тело с внутренними степенями свободы, определяемыми относительными возможными перемещениями тел системы в пределах зазоров буксовых узлах. Для описания деформации плоского базового четырехугольника тележки в процессе движения введены параметры перекоса тележки, названные сдвигом и депланацией. В результате построен аффинный репер тележки, названный естественным, и получен соответствующий ему метрический тензор, полностью определяющий геометрическое пространство тележки. Подробно описаны внутренние и внешние неголономные связи тележки и условия безотрывности движения тележки по рельсовому пути. Выписан переменный тензор инерции тележки как изменяемого твердого тела.

### **Ключевые слова:**

тележка грузового вагона, механика рельсовых экипажей, математическое моделирование, кинематический анализ.

### **Abstract**

The article is devoted to development of a mathematical model of a freight car bogie of a rail car 18–100. Bogie's unsprung part made of two wheel pairs with boxes and two side frames is viewed as a modified rigid body with inner degree of freedom defined by relative virtual displacement of system's bodies within axle box. For description of deformation of a bogie's plane quadrangle during movement parameters of a bogie's skew named as shift and deplanation are described. As a result bogie's affine reference stake called natural is designed and corresponding metric tensor that defines a bogie's geometric space is developed. Internal and external nonholonomic constraints of a bogie and conditions of a constant bogies' movement on rail track are described. Variable tensor of a bogie's inertia as a modified rigid body is given.

### **Key words:**

freight car's bogie, mechanics of rail vehicles, mathematic simulation, kinematic analysis.

**Иван Александрович Добычин** — д-р техн. наук, профессор; научно-производственное предприятие «Тормо»; Екатеринбург, Россия. Тел.: 8(919)-360-65-02.

**Михаил Юрьевич Градинаров** — инженер; научно-производственное предприятие «Тормо»; Екатеринбург, Россия. E-mail: urff@list.ru.

**Ivan A. Dobychin** — DSc, prof., Research & Development Production Enterprise «Tormo», Yekaterinburg, Russia. Tel.: 8(919)-360-65-02.

**Mikhail Yu. Gradinarov** — engineer, Research & Development Production Enterprise «Tormo», Yekaterinburg, Russia. E-mail: urff@list.ru.

Математическая модель тележки грузового вагона как изменяемого твердого тела впервые предложена в работе [1], в которой введены параметры перекоса тележки, построен естественный аффинный репер тележки, а также проведен геометрический и кинематический анализ тележки как механической системы с внутренними степенями свободы, а далее в работах [2–4], в которых развитие указанной модели продолжено в рамках системы «экипаж — рельсовый путь». В данной статье представлена уточненная модель тележки как изменяемого твердого тела для которого построен естественный невырождаемый аффинный репер и соответствующий ему метрический тензор, определяющий геометрию необращенной части тележки в процессе движения, проведен кинематический анализ системы с учетом неголономных связей колес с рельсами, выписаны условия безотрывности движения тележки по рельсовому пути и переменный тензор инерции тележки.

На рис. 1 приведена общая схема тележки грузового вагона. Размеры  $a_k, b_k$  ( $k=1, 2, 3, 4$ ) в общем случае переменные и представляют собой отклонения от номинальных размеров  $a, b$ , где  $2a, 2b$  — продольная и поперечная базы тележки соответственно. Разности

$$\Delta_k^a = |a_k^{\max} - a_k^{\min}|, \quad \Delta_k^b = |b_k^{\max} - b_k^{\min}|$$

представляют собой величины соответствующих зазоров в соединениях боковин с буксовыми узлами. Для тележек типа ЦНИИ-ХЗ:  $2a = 1,85$  м,  $2b = 2,036$  м; допустимые значения величин зазоров  $0,001 \leq \Delta_k^a \leq 0,008$ ;  $0,002 \leq \Delta_k^b \leq 0,007$  (м) (в действительности в два-три раза больше).

При движении тележки в составе вагона на площадках контакта боковин с буксами возникают переменные силы нормального давления и силы сухого (кулонова) трения, относительные движения площадок контакта могут проявиться в виде срывов, а взаимодействие — носить ударный характер. Кроме указанных

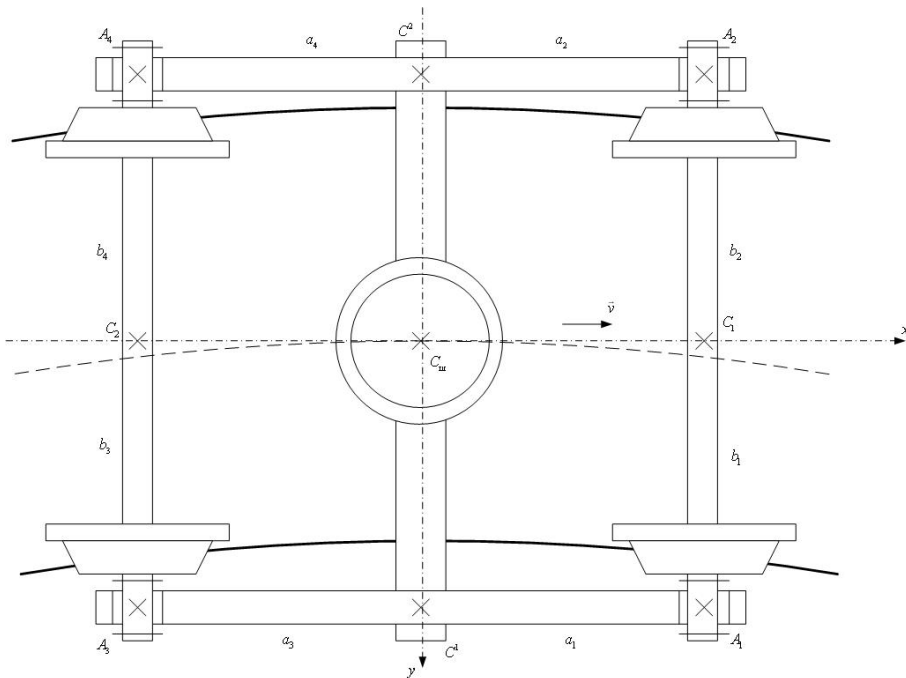


Рис. 1. Общая схема тележки грузового вагона

поступательных перемещений в рамках зазоров, колесные пары и боковины могут совершать малые сферические повороты относительно друг друга. Будем далее рассматривать необрессоренную часть тележки (называя ее для краткости тележкой) как изменяемое твердое тело, представляющее собой механическую систему с внутренними степенями свободы и соответствующими малыми движениями.

Такой подход согласуется с современными концепциями математического моделирования сложных механических систем с внутренними степенями свободы и с внутренними, порой скрытыми, движениями [5]. Он не исключает традиционного подхода — тележка как механическая система состоит из совокупности тел, положения и движения которых взаимосвязаны.

К необрессоренной части тележки следует добавить рельсовые нити, допускающие перемещения контактных сечений рельсов за счет упругих прогибов и кручения.

**Базовая расчетная модель тележки и основные обозначения**

Модельная схема тележки в базовом положении и основные системы координат и размеры приведены на рис. 2. Будем рассматривать движение тележки на криволинейном горизонтальном участке пути, в частности, на круговом участке пути с радиусом закругления  $R$ . На рис. 2  $O_i$ ,  $O$  — начала путевых систем координат  $[O_i \xi_i \eta_i \zeta_i \{ \bar{e}_i \}]$ ,  $[O \xi \eta \zeta \{ \bar{e}_0 \}]$  колесных пар и тележки в целом ( $i = 1, 2$  — номер колесной пары); центр  $\bar{O}$  лежит на середине хорды  $\bar{O}_1 \bar{O}_2$ . Собственные системы координат колесных пар  $[C_i x_i y_i z_i \{ \bar{e}_i \}]$  и боковин  $[C^j x^j y^j z^j \{ \bar{e}_{C^j} \}]$  имеют начало в центрах тяжести  $C_i$ ,  $C^j$  соответственно, где индекс  $j$  сверху ( $j = 1, 2$ ) означает номер боковины (боковой рамы) и рельса. Центры  $C^j$  расположены в вертикальных плоскостях, перпендикулярных осям

колесных пар и проходящих через точки  $A_{1j}, A_{2j} (j = 1, 2)$ , расположенные на этих осях. Расстояние от середины  $\hat{C}^j$  условных осей  $A_{1j}, A_{2j}$  до центров  $C^j$  составляет  $h\delta$ . Точки  $A_{ij}$  в базовом положении образуют прямоугольник со сторонами  $2a, 2b$ . Под базовыми значениями величин  $a, b$  будем понимать средние значения величин  $a_k, b_k$  (рис. 1), взятых в середине зазоров, то есть

$$\begin{cases} a = \bar{a} = \frac{1}{4} \sum a_k, & a_k = \frac{1}{2} (a_k^{\min} + a_k^{\max}); \\ b = \bar{b} = \frac{1}{4} \sum b_k, & b_k = \frac{1}{2} (b_k^{\min} + b_k^{\max}) \end{cases} \quad (1)$$

или их номинальные (конструктивные) значения.

Базовые положения центров  $C_i, C^j$  (то есть  $O'_i, O'^j$ ) расположены на расстоянии  $h_{O'_i} = h_A, h_{O'^j} = h_A - h_\delta$  от базовой плоскости пути, где  $h_A$  — расстояние от этой плоскости до геометрического центра  $A$ , а базовое положение центра тяжести  $C$  тележки находится между центрами  $O$  и  $A$  на расстоянии

$$\begin{aligned} \bar{O}O' &= h_{O'} = (1 - \lambda)h_A + \lambda(h_A - h_\delta), \\ \lambda &= \frac{m_{бр}}{m_{кп} + m_{бр}}, \end{aligned} \quad (2)$$

где  $m_{кп}, m_{бр}$  — массы каждой из колесных пар и каждой из боковых рам соответственно.

Положения путевых реперов  $\{ \bar{e}_{O_i} \}$  и  $\{ \bar{e}_{O^j} \}$  на криволинейной оси пути  $L$  задаются дуговыми координатами  $s_i$  и  $s$  (путевой репер тележки  $\{ \bar{e}_0 \}$  получается сдвигом репера  $\{ \bar{e}_0 \}$  вдоль поперечной оси на величину стрелы прогиба  $f_O$  дуги  $\bar{O}_1 \bar{O}_2$ ), углами поворота рельсовой колеи  $\Psi_O, \Psi_{O_i}$  и углами превышения  $\Phi_O, \Phi_{O_i}$ . При этом

$$\begin{cases} s_2 - s_1 = 2R\Delta\Psi_{O'}, & \Delta\Psi = \frac{\sqrt{a^2 + f_O^2}}{R} \approx \frac{a}{R}, & f_O = \frac{a^2}{2R}, \\ \Phi_{O'} = \Phi_O, & \Psi_{O_i} = \Psi_O + (-1)^{i-1} \Delta\Psi_{O'} = \Psi_O + (-1)^{i-1} \frac{a}{R}. \end{cases} \quad (3)$$

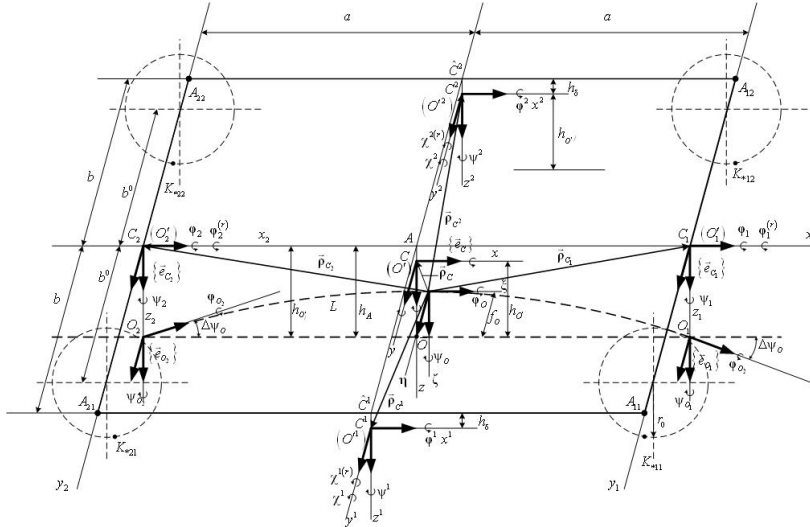


Рис. 2. Модельная схема тележки в базовом положении

На круговых участках пути  $R = 300 \div 1000$  м, следовательно,  $\Delta\psi_O = 0,007 \div 0,002$ .

Собственные системы координат поперечных сечений рельсов при движении колесных пар обозначим через  $[C_{ij}^O x_{ij}^O y_{ij}^O z_{ij}^O \{ \bar{e}_{C_{ij}} \}]$ , где центры  $C_{ij}^O$  в базовом положении находятся на расстоянии  $b_0$  от центров  $O_i$  в поперечном направлении, а реперы  $\{ \bar{e}_{C_{ij}} \}$  наклонены к реперам  $\{ \bar{e}_{C_i} \}$  на углы подклонники  $\gamma_{ij} = \gamma_j$  рельсовых нитей. Реперы  $\{ \bar{e}_{O_i} \}, \{ \bar{e}_{C_i} \}, \{ \bar{e}_{A_i} \}, \{ \bar{e}_{C_j} \}$  представляют собой векторы-столбцы из единичных ортов соответствующих систем координат [4]. Поступательные перемещения центров  $C, C_i, C_j, C_{ij}^O$  будем в соответствующих путевых системах координат обозначать в виде векторов-столбцов:

$$\{ \bar{u} \} = \begin{Bmatrix} x \\ y \\ z \end{Bmatrix}, \{ \bar{u}_i \} = \begin{Bmatrix} x_i \\ y_i \\ z_i \end{Bmatrix},$$

$$\{ \bar{u}^j \} = \begin{Bmatrix} x^j \\ y^j \\ z^j \end{Bmatrix}, \{ \bar{u}_{ij}^O \} = \begin{Bmatrix} x_{ij}^O \\ y_{ij}^O \\ z_{ij}^O \end{Bmatrix}, \quad (4)$$

а угловые перемещения собственных реперов  $\{ \bar{e}_{C_i} \}, \dots, \{ \bar{e}_{C_{ij}} \}$  относительно соб-

ственных путевых реперов  $\{ \bar{e}_{O_i} \}, \{ \bar{e}_{O_j} \}$  в виде «условных» векторов-столбцов:

$$\{ \bar{\vartheta} \} = \begin{Bmatrix} \varphi \\ \chi \\ \psi \end{Bmatrix}, \{ \bar{\vartheta}_i \} = \begin{Bmatrix} \varphi_i \\ 0 \\ \psi_i \end{Bmatrix},$$

$$\{ \bar{\vartheta}^j \} = \begin{Bmatrix} \varphi^j \\ \chi^j \\ \psi^j \end{Bmatrix}, \{ \bar{\vartheta}_{ij}^O \} = \begin{Bmatrix} \varphi_{pij}^O \\ \chi_{pij}^O \\ \psi_{pij}^O \end{Bmatrix}. \quad (5)$$

Абсолютные угловые перемещения путевых реперов будут

$$\{ \bar{J}_{O_i} \} = \begin{Bmatrix} \varphi_{O_i} \\ 0 \\ \psi_{O_i} \end{Bmatrix}, \{ \bar{J}_{O_j} \} = \begin{Bmatrix} \varphi_{O_j} \\ 0 \\ \psi_{O_j} \end{Bmatrix}, \quad (6)$$

где следует учесть (3). Отметим, что вектора (5), (6) перестают быть «условными» и обладают всеми векторными свойствами при достаточной малости входящих в их состав углов (когда все углы соизмеримы с  $\alpha$ , такими, что  $\sin \alpha \approx \alpha, \cos \alpha \approx 1 - \alpha^2/2 \approx 1$ ).

Радиусы-векторы в путевых системах координат будем обозначать через  $\bar{\rho}$ , а в собственных через  $\bar{r}$  с соответствующими индексами (например,  $\bar{\rho}_C, \bar{\rho}_{iC_i}, \bar{r}_{C_i}, \bar{r}_{iC_i}$  и т.п.). Повороты реперов

относительно друг друга будем обозначать матрицей сферического поворота  $\Pi = \Psi X \Phi$ , где  $\Psi$ ,  $X$ ,  $\Phi$  — матрицы поворотов вокруг вертикальной, поперечной и продольной осей на углы  $\psi$ ,  $\chi$ ,  $\varphi$  соответственно, снабжая ее соответствующими индексами. Например,  $\Pi_{C_i}^C$  означает матрицу поворота репера  $\{\bar{e}_{C_i}\}$  относительно репера  $\{\bar{e}_C\}$ . В общем случае

$$\Pi = \Psi X \Phi = \begin{bmatrix} \cos \psi & -\sin \psi & 0 \\ \sin \psi & \cos \psi & 0 \\ 0 & 0 & 1 \end{bmatrix} \times \begin{bmatrix} \cos \chi & 0 & \sin \chi \\ 0 & 1 & 0 \\ -\sin \chi & 0 & \cos \chi \end{bmatrix} \times \begin{bmatrix} 1 & 0 & 0 \\ 0 & \cos \varphi & -\sin \varphi \\ 0 & \sin \varphi & \cos \varphi \end{bmatrix}, \quad (7)$$

при этом  $\Pi^{-1} = \Pi^T$ ,  $\det \Pi = |\Pi| = |\Pi^{-1}| = 1$ . В (7)  $\Pi = \Pi_C^O$  — матрица поворота собственного репера  $\{\bar{e}_C\}$  тележки, относительно путевого репера  $\{\bar{e}_O\}$ . Если углы в (7) малые, то можно записать

$$\Pi = [\bar{E} + \bar{\Theta}] = \begin{bmatrix} 1 & 0 & 0 \\ 0 & 1 & 0 \\ 0 & 0 & 1 \end{bmatrix} + \begin{bmatrix} 0 & -\psi & \chi \\ \psi & 0 & -\varphi \\ -\chi & \varphi & 0 \end{bmatrix}, \quad \Pi^{-1} = \Pi^T = [\bar{E} - \bar{\Theta}].$$

Подробнее о матрицах сферических поворотов и их использовании при описании движения рельсовых экипажей говорится в работах [1, 4].

В качестве малых поступательных перемещений в рамках зазоров на площадках контакта боковин с буксами выберем отклонения действительных размеров  $a_k, b_k$  (рис. 1) от их средних значений  $a, b$  в виде  $a_{ij} = a + \Delta_{ij}^a, b_{ij} = b + \Delta_{ij}^b$ , где  $\Delta_{ij}^a, \Delta_{ij}^b$  — продольные и поперечные

отклонения соответствующих величин в узлах  $A_{ij}$  (рис. 2). Тогда положение узлов  $A_{ij}$  в собственных координатах колесных пар и боковин при перемещении (отклонении от их базовых положений (рис. 2) примет вид

$$\{\bar{r}_{iA_{ij}}\} = \begin{Bmatrix} 0 \\ (-1)^{j-1}b + \Delta_{ij}^b \\ 0 \end{Bmatrix}, \quad \{\bar{r}_{A_{ij}}^j\} = \begin{Bmatrix} (-1)^{j-1}a + \Delta_{ij}^a \\ 0 \\ -h_s \end{Bmatrix}. \quad (8)$$

Величины  $\Delta_{ij}^a, \Delta_{ij}^b$  будем считать внутренними параметрами модели тележки. Их можно интерпретировать двояко: как фиксированное отклонение от базовых размеров  $a, b$ , вызванных конструктивными несовершенствами, или считать их относительными малыми перемещениями, которым соответствуют внутренние степени свободы и внутренние движения системы; в последнем случае это внутренние переменные модели тележки. Используя переменные величины  $a_k, b_k$  (рис. 1), введем безразмерные параметры

$$\lambda_1 = \frac{a_1}{a_1 + a_3}, \quad \lambda_2 = \frac{a_2}{a_2 + a_4}, \quad \mu_1 = \frac{b_1}{b_1 + b_2}, \quad \mu_2 = \frac{b_3}{b_3 + b_4}, \quad k_1 = \frac{a_2 + a_4}{a_1 + a_3}, \quad k_2 = \frac{b_3 + b_4}{b_1 + b_2}, \quad (9)$$

откуда

$$\begin{cases} a_1 = 4a \frac{\lambda_1}{1 + k_1}, & a_2 = 4a \frac{\lambda_2 k_1}{1 + k_1}, \\ a_3 = 4a \frac{1 - \lambda_1}{1 + k_1}, & a_4 = 4a \frac{(1 - \lambda_1) k_1}{1 + k_1}, \\ b_1 = 4b \frac{\mu_1}{1 + k_2}, & b_2 = 4b \frac{1 - \mu_1}{1 + k_2}, \\ b_3 = 4b \frac{\mu_2 k_2}{1 + k_2}, & b_4 = 4b \frac{(1 - \mu_2) k_2}{1 + k_2}, \end{cases} \quad (10)$$

где  $a, b$  даны по (1) и предполагается, что  $a = \text{const}, b = \text{const}$ , а  $a_k^{\min} \leq a_k \leq a_k^{\max}, b_k^{\min} \leq b_k \leq b_k^{\max}$ . Тогда независимыми внутренними переменными вместо  $\Delta_{ij}^a$  и  $\Delta_{ij}^b$  будут шесть величин  $\lambda_1, \lambda_2, \mu_1, \mu_2, k_1, k_2$  с соответствующими ограничениями. Базовое положение (рис. 2) обеспечивается при  $\lambda_1 = \lambda_2 = \mu_1 = \mu_2 = 1/2, k_1 = k_2 = 1$ .

**Тележка как изменяемое тело.  
Сдвиг и депланация**

Представим, что в узлы  $A_{ij}$  базового плоского прямоугольника (см. рис. 2) помещены сферические шарниры. Тогда в процессе движения он может перекашиваться, превращаясь в параллелограмм — если перекокс происходит в базовой плоскости, или превращаясь в пространственный четырехугольник — если происходит нарушение плоскостности, то есть депланация. Перекок без депланации назовем сдвигом.

На рис. 3 показан перекошенный базовый прямоугольник тележки, образующий пространственный четырехугольник. Соединим между собой середины сторон этого четырехугольника. Известно, что  $C_1\hat{C}^2C_2\hat{C}^1$  образует параллелограмм

(это справедливо и для произвольного исходного плоского четырехугольника, то есть и тогда, когда учтены перемещения  $\Delta_{ij}^a, \Delta_{ij}^b$ ). Плоскость полученного параллелограмма назовем естественной плоскостью тележки и обозначим через  $\Pi_T$ . Далее, исходя из вершин  $A_{ij}$ , построим четыре параллелограмма, как показано на рис. 3. Противоположные к  $A_{ij}$  вершины этих параллелограммов совпадут попарно в точках  $A^*$  и  $A_*$ , расположенных на диагоналях  $A_{21}A_{12}$  и  $A_{22}A_{11}$  исходного пространственного прямоугольника. Полученные в результате проведенного построения плоские фигуры  $C_2A_*C_1A_*$  и  $\hat{C}^1A_*\hat{C}^2A_*$  также образуют параллелограммы (в частном случае исходного базового прямоугольника — ромбы) с углами  $\alpha = (\vec{i}^1, \vec{i}^2)$  и  $\beta = (\vec{j}_1, \vec{j}_2)$  при острых вершинах (рис. 3), где  $\vec{i}^1, \vec{i}^2$  — продольные единичные орты собственных реперов боковин  $\{\vec{e}_{Cj}\}$ , а  $\vec{j}_1, \vec{j}_2$  — поперечные единичные орты собственных реперов колесных пар  $\{\vec{e}_{Cj}\}$  ( $i, j = 1, 2$ ). Углы  $\alpha$  и  $\beta$  назовем углами взаимного (относительного) перекокса продольных осей боковых рам (боковин) и осей колесных пар соответственно.

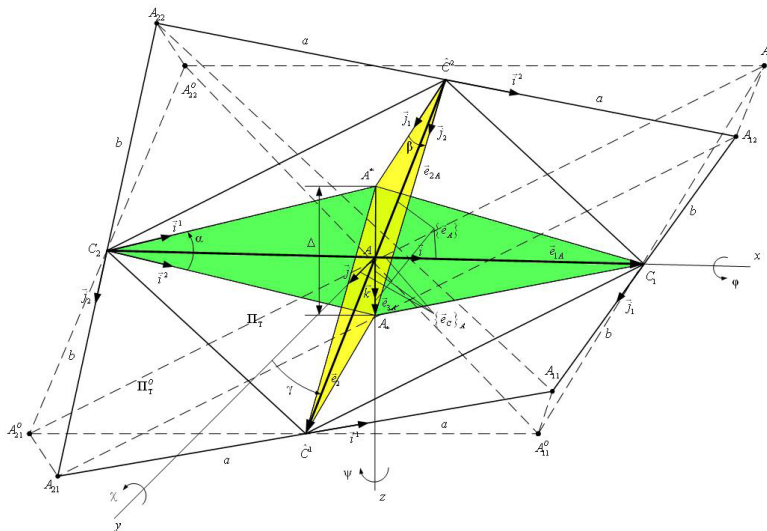


Рис. 3. Расчетная схема к описанию перекокса тележки ( $\gamma$  — угол сдвига (сдвиг),  $\Delta$  — депланация)

Рассмотрим тройку векторов  $\vec{e}_{1A} = \vec{C}_2\vec{C}_1$ ,  $\vec{e}_{2A} = \vec{C}^2\vec{C}^1$  и  $\vec{e}_{3A} = \vec{A}^* \vec{A}_*$ . Первые два из них расположены в плоскости  $Ax$  собственной системы координат тележки  $Sxuz$ , перенесенной в геометрический центр  $A$ , с репером  $\{\vec{e}_c\}_A = \{\vec{e}\} = (\vec{i}, \vec{j}, \vec{k})$ . Вектор  $\vec{e}_{3A}$  в рассматриваемом частном случае направлен вдоль оси  $Az$ .

Угол  $\gamma = (\vec{j}, \vec{e}_{2A})$  назовем углом сдвига, а проекцию вектора  $\vec{e}_{3A} = \vec{A}^* \vec{A}_*$  на ось  $Az$  обозначим через  $\Delta$  и назовем депланацией. На рис. 4 приведена схема к иллюстрации сдвига  $\gamma$  и депланации  $\Delta$  базовой прямоугольной площадки  $\Pi_t^0$ . Тройку векторов  $\{\vec{e}_A\} = (\vec{e}_{1A}, \vec{e}_{2A}, \vec{e}_{3A})^T$ , полностью характеризующую перекошенную базовую

площадку тележки  $\Pi_t^0$ , перешедшую в пространственный четырехугольник  $A_{21}A_{11}A_{12}A_{22}$ , назовем естественным аффинным репером тележки.

Связь между реперами  $\{\vec{e}_A\}$  и  $\{\vec{e}\}$ , как это видно из рис. 3, представляется в виде

$$\begin{aligned} \vec{e}_{1A} &= e_1 \vec{i}, \\ \vec{e}_{2A} &= e_2 (-\vec{i} \sin \gamma + \vec{j} \cos \gamma), \\ \vec{e}_{3A} &= e_{3z} \vec{k}, \end{aligned} \quad (11)$$

где

$$\begin{aligned} e_1 &= |\vec{e}_{1A}| = |C_1 C_2|, e_2 = |\vec{e}_{2A}| = |\hat{C}^2 \hat{C}^1|, \\ e_{3z} &= (\vec{A}^* \vec{A}_* \cdot \vec{k}) \equiv \Delta. \end{aligned}$$

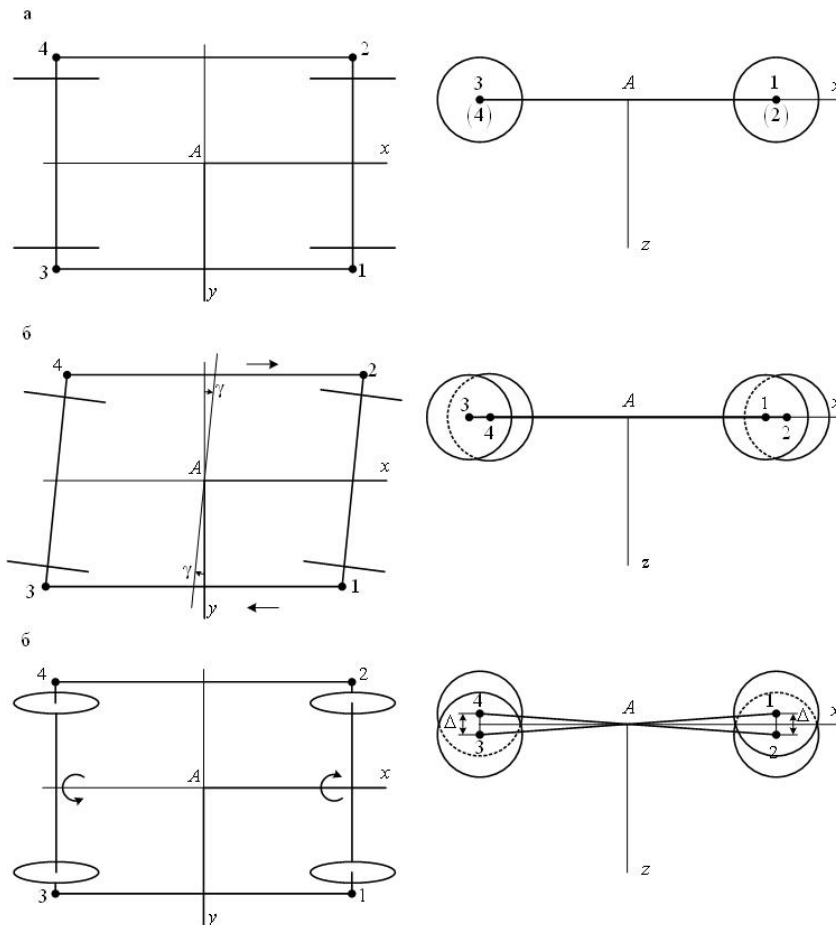


Рис. 4. Схема к иллюстрации сдвига  $\gamma$  и депланации  $\Delta$   
 а — недеформированное состояние; б — сдвиг  $\gamma$ ; в — депланация  $\Delta$

Учитывая, что сумма квадратов сторон параллелограмма равна сумме квадратов его диагоналей, найдем

$$e_1 = \sqrt{4a^2 - \Delta^2}, \quad e_2 = \sqrt{4b^2 - \Delta^2}. \quad (12)$$

Из (12) видно, что при отсутствии депланации ( $\Delta = 0$ ) базовая прямоугольная площадка  $\Pi_1^0$  остается плоской, но переходит в параллелограмм  $\Pi_T$ , определяемый только углом сдвига  $\gamma$  (рис. 3). Если сдвиг отсутствует ( $\gamma = 0$ ), то перекося определяется только величиной депланации  $\Delta$ .

Таким образом, угол сдвига  $\gamma$  и депланация  $\Delta$  являются независимыми параметрами, характеризующими перекося тележки в процессе движения. Эти параметры определяют две внутренние степени свободы тележки, как механической системы.

Углы взаимного перекося  $\alpha$  и  $\beta$  (рис. 3) легко находятся из соответствующих параллелограммов (в рассматриваемом частном случае это ромбы) в виде  $\operatorname{tg}\alpha = \Delta/e_1$ ,  $\operatorname{tg}\beta = \Delta/e_2$ ; так как величина  $\Delta$  мала по сравнению с базовыми размерами тележки  $2a$ ,  $2b$ , то вполне допустимо принять

$$\alpha \approx \operatorname{tg}\alpha = \frac{\Delta}{\sqrt{4a^2 - \Delta^2}} \approx \frac{\Delta}{2a},$$

$$\beta \approx \operatorname{tg}\beta = \frac{\Delta}{\sqrt{4b^2 - \Delta^2}} \approx \frac{\Delta}{2b}. \quad (13)$$

**Углы взаимных перекося и относительных поворотов осей колесных пар и боковых рам в общем случае**

Выше мы достаточно легко получили простые соотношения лишь потому, что ограничились частным случаем, когда  $a_k = a$ ,  $b_k = b$  ( $a$ ,  $b$  — усредненные величины (1)), и не учли относительных поступательных перемещений  $\Delta_{ij}^a, \Delta_{ij}^b$ , то есть  $a_k, b_k$  по (8). В общем случае (рис. 5) задача определения величин  $e_1, e_2, e_3$ , а также углов взаимного перекося осей боковых и колесных пар  $\alpha_v$  и  $\beta_v$ , которые, в свою очередь, необходимо разделить на углы относительных поворотов (перекося)

каждой из боковых и каждой из колесных пар  $\alpha_v, \beta_v$  ( $v = 1, 2$ ) по отдельности несколько усложняется.

Возьмем за основу уравнения связи между реперами  $\{\bar{e}_A\}$  и  $\{\bar{e}\}$  в виде (рис. 5)

$$\begin{cases} \bar{e}_1 = e_1 \bar{i}, \\ \bar{e}_2 = e_2 (\bar{i} \sin \gamma + \bar{j} \cos \gamma), \\ \bar{e}_3 = e_3 (\bar{i} \cos \alpha_* + \bar{j} \cos \beta + \bar{k} \cos \delta) \end{cases} \quad (14)$$

или

$$\{\bar{e}_A\} = A_{\text{aff}} \{\bar{e}\},$$

$$A_{\text{aff}} = \begin{bmatrix} e_1 & 0 & 0 \\ e_2 \sin \gamma & e_2 \cos \gamma & 0 \\ e_3 \cos \alpha_* & e_3 \cos \beta & e_3 \cos \delta \end{bmatrix}. \quad (14^*)$$

Для углов  $\alpha_* = (\bar{e}_1, \hat{\bar{e}}_3)$ ,  $\beta_* = (\bar{e}_2, \hat{\bar{e}}_3)$ ,  $\beta = (\bar{j}, \hat{\bar{e}}_3)$  и углы сдвига  $\gamma$  справедливы соотношения (рис. 5)

$$\begin{cases} e_3 e_1 \cos \alpha_* = \bar{a}_2^2 - \bar{a}_1^2, \\ e_3 e_2 \cos \beta_* = \bar{b}_2^2 - \bar{b}_1^2, \\ \cos \beta \cos \gamma = \cos \beta_* - \cos \alpha_* \cos \gamma. \end{cases} \quad (15)$$

Орты  $\bar{i}^v, \bar{j}^v$  ( $v = 1, 2$ ) взаимно перекошенных осей боковых и колесных пар представим в виде (рис. 5)

$$\bar{i}^v = \frac{\bar{e}_1 + (-1)^v \bar{e}_3}{2\bar{a}_v}, \quad \bar{j}^v = \frac{\bar{e}_2 + (-1)^v \bar{e}_3}{2\bar{b}_v}. \quad (16)$$

Углы относительных поворотов  $\alpha_v$  и  $\beta_v$  ( $v = 1, 2$ ) боковых и колесных пар соответственно найдем непосредственно в виде (рис. 5)

$$\bar{\alpha}_v = \frac{(\bar{e}_1 \times \bar{i}^v)}{e_1}, \quad \bar{\beta}_v = \frac{(\bar{e}_2 \times \bar{j}^v)}{e_2}.$$

Или, учитывая (15), (17), в виде ( $v = 1, 2$ )

$$\bar{\alpha}_v = (-1)^v \frac{(\bar{e}_1 \times \bar{e}_3)}{2e_1 \bar{a}_v},$$

$$\bar{\beta}_v = (-1)^v \frac{(\bar{e}_2 \times \bar{e}_3)}{2e_2 \bar{b}_v}. \quad (17)$$

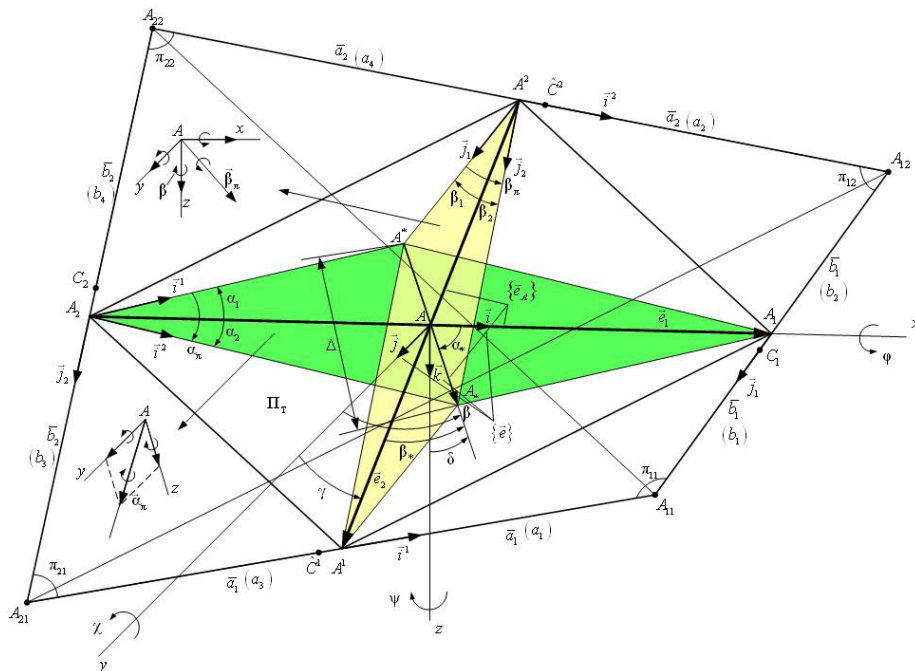


Рис. 5. Схема перекошенной площадки тележки и ее аффинный репер  $\{\vec{e}_A\}$  — аффинный репер;  $\gamma$  — угол сдвига;  $\Delta$  — депланация

Углы взаимных перекосов  $\alpha_\pi, \beta_\pi$ , как видно из рис. 5, определяются:

$$\begin{cases} \vec{\alpha}_\pi = \vec{i}^1 \times \vec{i}^2 = \vec{\alpha}_2 - \vec{\alpha}_1 = \\ = \frac{\vec{a}_2 + \vec{a}_1}{2e_1 \vec{a}_2 \vec{a}_1} (\vec{e}_1 \times \vec{e}_3), \\ \vec{\beta}_\pi = \vec{j}^1 \times \vec{j}^2 = \vec{\beta}_2 - \vec{\beta}_1 = \\ = \frac{\vec{b}_2 + \vec{b}_1}{2e_2 \vec{b}_2 \vec{b}_1} (\vec{e}_2 \times \vec{e}_3). \end{cases} \quad (18)$$

Далее, учитывая равенства (15), перепишем выражения для перекоса  $\vec{e}_3$  в (14) в виде

$$\vec{e}_3 = \frac{\vec{a}_2^2 + \vec{a}_1^2}{e_1} \vec{i} + \frac{1}{\cos \gamma} \left[ \frac{\vec{b}_2^2 - \vec{b}_1^2}{e_2} - \frac{\vec{a}_2^2 - \vec{a}_1^2}{e_1} \right] \vec{j} + \Delta \vec{k}, \quad (19)$$

где учтено, что  $e_3 \cos \delta = \Delta$  — депланация.

Для углов  $\vec{\alpha}_v, \vec{\beta}_v$  (17), используя (14) и (19), находим выражения ( $v = 1, 2$ )

$$\begin{cases} \vec{\alpha}_v = \frac{(-1)^v}{2\vec{a}_v} \times \\ \times \left[ -\Delta \vec{j} + \frac{1}{\cos \gamma} \begin{pmatrix} \vec{b}_2^2 - \vec{b}_1^2 \\ e_2 \\ -\frac{\vec{a}_2^2 - \vec{a}_1^2}{e_1} \sin \gamma \end{pmatrix} \vec{k} \right], \\ \vec{\beta}_v = \frac{(-1)^v}{2\vec{b}_v} \times \\ \times \left[ -\Delta \vec{i} \cos \gamma - \Delta \vec{j} \sin \gamma + \right. \\ \left. + \frac{1}{\cos \gamma} \begin{pmatrix} \vec{b}_2^2 - \vec{b}_1^2 \\ e_2 \\ -\frac{\vec{a}_2^2 - \vec{a}_1^2}{e_1} \sin \gamma \end{pmatrix} \vec{k} \right]. \end{cases} \quad (20)$$

Для величин  $e_1, e_2$  из рис. 5 найдем

$$\begin{cases} e_1^2 = \vec{a}_1^2 + \vec{a}_2^2 + 2\vec{a}_1 \vec{a}_2 \cos \alpha_\pi, \\ e_2^2 = \vec{b}_1^2 + \vec{b}_2^2 + 2\vec{b}_1 \vec{b}_2 \cos \beta_\pi, \end{cases} \quad (21)$$

а в нулевом приближении (учитывая малость углов  $\alpha_\pi, \beta_\pi$ :  $\cos \alpha_\pi \approx \cos \beta_\pi \approx 1$ )

$$\begin{aligned} e_1 &\approx e_1^0 = \bar{a}_1 + \bar{a}_2 = 2a, \\ e_2 &\approx e_2^0 = \bar{b}_1 + \bar{b}_2 = 2b. \end{aligned} \quad (22)$$

Для модуля вектора перекоса  $e_3$  из (19) и угла  $\delta = (\vec{k}, \vec{e}_3)$  (рис. 5)

$$\begin{cases} e_3^2 = \Delta^2 + \frac{1}{\cos^2 \gamma} \times \\ \times \left[ \left( \frac{\bar{a}_2^2 - \bar{a}_1^2}{e_1} \right)^2 + \left( \frac{\bar{b}_2^2 - \bar{b}_1^2}{e_2} \right)^2 - \right. \\ \left. - 2 \left( \frac{\bar{a}_2^2 - \bar{a}_1^2}{e_1} \right) \left( \frac{\bar{b}_2^2 - \bar{b}_1^2}{e_2} \right) \sin \gamma \right], \\ \Delta_1 = e_3^2 - \Delta^2 = e_3 \sin \delta, \\ \Delta = e_3 \cos \delta = \Delta_1 \operatorname{tg} \delta, \\ \delta = \arctg \frac{\Delta_1}{\Delta} = \arctg \sqrt{\frac{e_3^2 - \Delta^2}{\Delta}}. \end{cases} \quad (23)$$

Далее воспользуемся обозначениями (9), выражениями (10) и отношениями

$$\begin{aligned} \bar{a}_2 &= k_1 \bar{a}_1, \quad \bar{a}_1 = \frac{2a}{1+k_1}, \\ \bar{b}_2 &= k_2 \bar{b}_1, \quad \bar{b}_1 = \frac{2b}{1+k_2}. \end{aligned} \quad (24)$$

Тогда для  $e_1, e_2, e_3$  получаем

$$\begin{cases} e_1 = \frac{2a}{1+k_1} \sqrt{(1+k_1)^2 - k_1 \alpha_\pi^2}, \\ e_2 = \frac{2b}{1+k_2} \sqrt{(1+k_2)^2 - k_2 \beta_\pi^2}, \\ e_3 = \sqrt{\Delta^2 + \frac{16}{\cos^2 \gamma} \left[ \left( \frac{k_1-1}{k_1+1} \right)^2 \frac{a^4}{e_1^2} + \right.} \\ \left. + \left( \frac{k_2-1}{k_2+1} \right)^2 \frac{b^4}{e_2^2} - \left( \frac{k_1-1}{k_1+1} \right) \times \right. \\ \left. \times \left( \frac{k_2-1}{k_2+1} \right) \frac{a^2 b^2}{e_1 e_2} \sin \gamma \right], \end{cases} \quad (25)$$

где углы  $\alpha_\pi, \beta_\pi$  определены с использованием (18), (20) и (22) в виде (в

нулевом приближении)

$$\begin{cases} \alpha_\pi \approx \alpha_\pi^0 = \frac{k_1+1}{2k_1 a} \times \\ \times \sqrt{\Delta^2 \cos^2 \gamma + 4} \times \\ \times \left[ \left( \frac{k_2-1}{k_2+1} \right) b - \left( \frac{k_1-1}{k_1+1} \right) a \sin \gamma \right]^2, \\ \beta_\pi \approx \beta_\pi^0 = \frac{k_2+1}{2k_2 b} \times \\ \times \sqrt{\Delta^2 \cos^2 \gamma + 4} \times \\ \times \left[ \left( \frac{k_1-1}{k_1+1} \right) a - \left( \frac{k_2-1}{k_2+1} \right) b \sin \gamma \right]^2. \end{cases} \quad (26)$$

Для векторных выражений углов  $\bar{\alpha}_v, \bar{\beta}_v$  (20) в декартовом репере тележки  $\{\bar{e}\}$  получим

$$\begin{aligned} \{\bar{\alpha}_1\} &= \begin{Bmatrix} \alpha_{1x} \\ \alpha_{1y} \\ \alpha_{1z} \end{Bmatrix} = -\frac{k_1+1}{4a} \times \\ &\times \begin{Bmatrix} 0 \\ -\Delta \\ \frac{4}{\cos \gamma} \left( \frac{(k_2^2-1)b^2}{e_2} - \frac{(k_1^2-1)a^2}{e_1} \sin \gamma \right) \end{Bmatrix}, \\ \{\bar{\beta}_1\} &= \begin{Bmatrix} \beta_{1x} \\ \beta_{1y} \\ \beta_{1z} \end{Bmatrix} = -\frac{k_2+1}{4b} \times \\ &\times \begin{Bmatrix} \Delta \cos \gamma \\ -\Delta \sin \gamma \\ \frac{4}{\cos \gamma} \left( \frac{(k_2^2-1)b^2}{e_2} \sin \gamma - \frac{(k_1^2-1)a^2}{e_1} \right) \end{Bmatrix}, \quad (27) \\ \{\bar{\alpha}_2\} &= -\frac{\{\bar{\alpha}_1\}}{k_1}, \quad \{\bar{\beta}_2\} = -\frac{\{\bar{\beta}_1\}}{k_2}. \end{aligned}$$

$e_1, e_2$  следует взять из (25), (26).

Для углов  $\bar{\alpha}_\pi$  и  $\bar{\beta}_\pi$  в декартовых координатах и в первом приближении получим в соответствии с (18)

$$\{\bar{\alpha}_\pi\} = \{\bar{\alpha}_2\} - \{\bar{\alpha}_1\}, \quad \{\bar{\beta}_\pi\} = \{\bar{\beta}_2\} - \{\bar{\beta}_1\}, \quad (28)$$

где следует учесть выражения (27).

Векторные углы (27) определяют (входят) углы поворотов собственных реперов  $\{\bar{e}_C\}$  и  $\{\bar{e}_{C'}\}$  колесных пар и боковин соответственно, которые в общем случае определяются

в виде ( $i, j = 1, 2$ )

$$\{\bar{\vartheta}_i^{(r)}\} = \begin{Bmatrix} \varphi_i^{(r)} \\ \chi_i^{(r)} \\ \psi_i^{(r)} \end{Bmatrix} = \begin{Bmatrix} \beta_{ix} \\ -\chi + \beta_{iy} \\ \gamma + \beta_{iz} \end{Bmatrix},$$

$$\{\bar{\vartheta}^{j(r)}\} = \begin{Bmatrix} \varphi^{j(r)} \\ \chi^{j(r)} \\ \psi^{j(r)} \end{Bmatrix} = \begin{Bmatrix} \delta_{ix} \\ \alpha_{iy} \\ \alpha_{iz} \end{Bmatrix}, \quad (29)$$

где следует учесть выражения (27).

Угол галоширования тележки  $\chi$  в (29) учитывает «запрет» на галоширование собственных систем координат колесных пар, а углы  $\delta_j$  введены для учета возможности относительных маятниковых движений боковых рам вокруг продольных осей  $c^j x^j$ .

Для частного случая  $k_1 = k_2 = 1$  получаем

$$\{\bar{J}_i^{(r)}\} = \begin{Bmatrix} (-1)^i \frac{\Delta}{2e_2} \\ -\chi \\ \gamma \end{Bmatrix}, \{\bar{J}^{j(r)}\} = \begin{Bmatrix} \delta_j \\ (-1)^{j-1} \frac{\Delta}{2e_1} \\ 0 \end{Bmatrix}, \quad (30)$$

где  $e_1, e_2$  определены по (12).

Связь собственных реперов колесных пар и боковин с собственным репером тележки ( $\{\bar{e}\} \Rightarrow \{\bar{e}_C\}$ ) определяется в виде

$$\{\bar{e}_C\} = \Pi_C^O \{\bar{e}_C\}, \{\bar{e}_{Cj}\} = \Pi_C^{Cj} \{\bar{e}_C\}, \quad (31)$$

где  $\Pi_C^C = \Psi_i^{(r)} \mathbf{X}^T \Phi_i^{(r)}$ ,  $\Pi_C^{Cj} = \Psi^{j(r)} \mathbf{X}^{j(r)} \Phi^{j(r)}$  — матрицы сферических поворотов, определяемые углами (29) или (30).

#### Углы взаимного перекоса между колесными парами и боковыми рамами в узлах тележки

Углы  $\pi_{ij}$  взаимного перекоса между осями колесных пар и боковин (рис. 5) удобно представить как малые отклонения от их базового значения  $\pi/2$ , то есть положить

$$\pi_{ij} = \frac{\pi}{2} + \gamma_{ij}, \quad \cos \pi_{ij} = \cos \left( \frac{\pi}{2} + \gamma_{ij} \right) \approx -\sin \gamma_{ij} \approx -\gamma_{ij}. \quad (32)$$

Вычисляя углы  $\pi_{ij}$  по теореме косинусов из соответствующих «комплекс-

тующих» параллелограммов (основного  $A_1 A^2 A_2 A^1$  и присоединенных  $A_{11} A_1 A^* A^1, \dots, A_{21} A^1 A^* A_2$ ) и используя (32), найдем

$$\begin{cases} \gamma_{11} \approx \frac{e_1^2 + e_2^2 - 2e_1 e_2 \sin \gamma - 4(\bar{a}_1^2 + \bar{b}_1^2)}{8\bar{a}_1 \bar{b}_1}, \\ \gamma_{22} \approx \frac{e_1^2 + e_2^2 - 2e_1 e_2 \sin \gamma - 4(\bar{a}_2^2 + \bar{b}_2^2)}{8\bar{a}_2 \bar{b}_2}, \\ \gamma_{12} \approx \frac{e_1^2 + e_2^2 + 2e_1 e_2 \sin \gamma - 4(\bar{a}_2^2 + \bar{b}_1^2)}{8\bar{a}_2 \bar{b}_1}, \\ \gamma_{21} \approx \frac{e_1^2 + e_2^2 + 2e_1 e_2 \sin \gamma - 4(\bar{a}_1^2 + \bar{b}_2^2)}{8\bar{a}_1 \bar{b}_2}, \end{cases} \quad (33)$$

где следует учесть (24)–(26).

Углы (33) необходимы при исследовании динамического поведения тележки для учета и оценки сил сопротивления тележки параллелограммированию буксовых узлов.

#### Естественный аффинный репер и метрический тензор тележки

В рассматриваемом общем случае перекоса тележки (рис. 5), когда имеют место сдвиг  $\gamma$  и депланация  $\Delta$ , а переменные размеры  $a_k, b_k$  ( $k = 1 \dots 4$ ) определены через независимые внутренние параметры  $\lambda_1, \lambda_2, \mu_1, \mu_2, k_1, k_2$  по формулам (10), естественная плоскость тележки  $\Pi_T$  образуется параллелограммом  $A_2 A^1 A_1 A^2$ , (фигура  $C_2 \hat{C}^1 C_1 \hat{C}^2$  в общем случае — пространственный четырехугольник), который вместе с двумя другими параллелограммами  $A_1 A^* A_2 A^*$  и  $A^1 A^* A^2 A^*$  (в качестве координатных плоскостей) и тройкой векторов  $\bar{e}_1 = A_1 A_2, \bar{e}_2 = A^2 A^1, \bar{e}_3 = A^* A_*$  образуют естественный аффинный репер тележки  $\{\bar{e}_A\} = (\bar{e}_1, \bar{e}_2, \bar{e}_3)^T$ .

Орты собственного репера тележки  $\{\bar{e}\} = (\bar{i}, \bar{j}, \bar{k})^T$ , помещенного в центр  $A$  (рис. 5), таковы, что орт  $\bar{i}$  направлен по вектору  $\bar{e}_1$  ковариантного репера  $\{\bar{e}_A\}$ , а орт  $\bar{k}$  совпадает по направлению с вектором  $\bar{e}^3$  контравариантного аффинного репера  $\{\bar{e}^A\}$ , взаимного к реперу  $\{\bar{e}_A\}$ , то есть

$$\bar{i} = \frac{\bar{e}_1}{|\bar{e}_1|}, \quad \bar{j} = (\bar{k} \cdot \bar{i}), \quad \bar{k} = \frac{(\bar{e}_1 \cdot \bar{e}_2)}{|\bar{e}_1 \cdot \bar{e}_2|}. \quad (34)$$

Взаимный к реперу  $\{\bar{e}_A\}$ , или так называемый контравариантный репер  $\{\bar{e}^A\} = (\bar{e}^1, \bar{e}^2, \bar{e}^3)^T$ , образуется из векторов ковариантного репера  $\{\bar{e}_A\} = (\bar{e}_1, \bar{e}_2, \bar{e}_3)^T$  по формулам

$$\bar{e}^1 = \frac{\bar{e}_2 \cdot \bar{e}_3}{V}, \bar{e}^2 = \frac{\bar{e}_1 \cdot \bar{e}_3}{V}, \bar{e}^3 = \frac{\bar{e}_1 \cdot \bar{e}_2}{V}, \quad (35)$$

где  $V = \bar{e}_3(\bar{e}_1 \cdot \bar{e}_2) = \pm\sqrt{g}$ ,

$g = |g_{ij}| = |(\bar{e}_1 \cdot \bar{e}_2)|$ , — определитель так называемого метрического тензора  $\vec{G} = [g_{ij}]$ , полностью определяющего метрику описываемого геометрического пространства (то есть геометрию тележки как изменяемого твердого тела). При этом векторы контравариантного репера  $\{\bar{e}^A\}$  перпендикулярны плоскостям соответствующих параллелограммов, порождающих репер  $\{\bar{e}_A\}$ , и связаны с моментами этих параллелограммов как плоскостных элементов. Так, векторные произведения в (35) представляют моменты упомянутых плоскостных элементов, а векторы  $\bar{e}^1$  и  $\bar{e}^2$  напрямую связаны с углами относительных поворотов  $\bar{\alpha}_v, \bar{\beta}_v$  (17) и углами взаимных перекосов  $\bar{\alpha}_\pi, \bar{\beta}_\pi$  (18).

Отметим, что невырождающимся аффинным репером при движении тележки является смешанный аффинный репер  $(\bar{e}_1, \bar{e}_2, \bar{e}^3)$  (или соответствующий декартов репер (34)).

Используя выражения векторов собственного аффинного репера  $\{\bar{e}_A\}$  в декартовых координатах (14), выпишем компоненты метрического тензора  $\vec{G} = [g_{ij}]$  в виде

$$\left\{ \begin{array}{l} g_{11} = e_1^2, \quad g_{22} = e_2^2, \quad g_{33} = e_3^2, \\ g_{12} = g_{21} = e_1 e_2 \sin \gamma, \\ g_{23} = g_{32} = e_2 e_3 \cos \beta_*, \\ = \bar{b}_2^2 - \bar{b}_1^2 = 4b^2 \frac{k_2 - 1}{k_2 + 1}, \\ g_{31} = g_{13} = e_1 e_3 \cos \alpha_*, \\ = \bar{a}_2^2 - \bar{a}_1^2 = 4a^2 \frac{k_1 - 1}{k_1 + 1}, \end{array} \right. \quad (36)$$

где  $e_1, e_2, e_3$  определены выражениями (25), (26).

Определитель метрического тензора (36) имеет вид

$$g = \det \vec{G} = |\bar{e}_i \cdot \bar{e}_j| = e_1^2 e_2^2 \Delta^2 \sin^2 \gamma, \\ \sqrt{g} = V = e_1 e_2 \Delta \sin \gamma. \quad (37)$$

Более подробно об аффинных системах координат, плоскостных элементах и метрических тензорах см., например, работы [6, 7].

### Центр масс и тензор инерции тележки

Воспользуемся естественным аффинным репером  $\{\bar{e}_A\} = (\bar{e}_1, \bar{e}_2, \bar{e}_3)$  (рис. 5), в котором для узлов  $A_{ij}$  имеем выражения

$$\overline{AA_{ij}} = (-1)^{i-1} \bar{e}_1 + (-1)^{j-1} \bar{e}_2 + (-1)^{i-1} \bar{e}_3, \\ i, j = 1, 2. \quad (38)$$

Тогда радиусы — векторы  $\overline{AC_i}$  и  $\overline{AC^j}$  центров масс колесных пар  $C_i$  и боковин  $C^j$  — определим в виде

$$\overline{AC_i} = (1 - \mu_i) \overline{AA_{i1}} + \mu_i \overline{AA_{i2}}, \\ \overline{AC^j} = (1 - \lambda_j) \overline{AA_{1j}} + \lambda_j \overline{AA_{2j}} + \lambda h_8 \bar{k}^j,$$

где  $\mu_i, \lambda_j$  даны по (9) или, учитывая (38),

$$2\overline{AC_i} = (-1)^{i-1} \bar{e}_1 + \\ + (1 - 2\mu_i)[\bar{e}_2 + (-1)^{i-1} \bar{e}_3], \\ 2\overline{AC^j} = (-1)^{j-1} \bar{e}_2 + \\ + (1 - 2\lambda_j)[\bar{e}_1 + (-1)^{j-1} \bar{e}^3] + \lambda h_8 \bar{k}^j, \quad (39)$$

где  $k_j$  — орт репера  $\{\bar{e}_{C^j}\}$ .

Центр масс необрессоренной части тележки  $C$  определится как

$$\overline{AC} = \frac{1}{2}(1 - \lambda)(\overline{AC_1} + \overline{AC_2}) + \\ + \frac{1}{2}\lambda(\overline{AC^1} + \overline{AC^1}), \quad (40)$$

где  $\lambda$  определено выражением (2).

Примем теперь за начало отсчета центр масс тележки  $C$  и примем  $(\bar{k}^1 + \bar{k}^2) / 2 \approx \bar{k}$ . Далее учтем равенства (39), (40)

$$\overline{CA} \approx \bar{r}_A + \lambda k_8 \bar{k}^j, \quad \overline{CC_i} = \bar{r}_{C_i}, \quad \overline{CC^j} = \bar{r}_{C_j} \quad (41)$$

и связь между аффинным репером  $\{\bar{e}_A\}$  и собственным репером тележки  $\{\bar{e}_C\} = (\bar{i}, \bar{j}, \bar{k})^T$  в виде  $\{\bar{e}_A\} = A_{\text{aff}} \{\bar{e}_C\}$  (см. (14), (14\*)), где матрица  $A_{\text{aff}}$  имеет один из следующих видов:

$$A_{\text{aff}} = \begin{bmatrix} e_1 & 0 & 0 \\ e_2 \sin \gamma & e_2 \cos \gamma & 0 \\ e_3 \cos \alpha & e_3 \cos \beta & e_3 \cos \delta \end{bmatrix} = \begin{bmatrix} e_1 & 0 & 0 \\ e_2 \sin \gamma & e_2 \cos \gamma & 0 \\ \frac{\bar{a}_2^2 - \bar{a}_1^2}{e_1} \frac{1}{\cos \gamma} \begin{bmatrix} \frac{\bar{b}_2^2 - \bar{b}_1^2}{e_2} \\ -\frac{\bar{a}_2^2 - \bar{a}_1^2}{e_1} \sin \gamma \end{bmatrix} & \Delta \end{bmatrix} = \begin{bmatrix} e_1 & 0 & 0 \\ e_2 \sin \gamma & e_2 \cos \gamma & 0 \\ 4 \left( \frac{k_1 - 1}{k_1 + 1} \right) \frac{a^2}{e_1} \frac{4}{\cos \gamma} \begin{bmatrix} \left( \frac{k_2 - 1}{k_2 + 1} \right) \frac{b^2}{e_2} \\ -\left( \frac{k_1 - 1}{k_1 + 1} \right) \frac{a^2}{e_1} \sin \gamma \end{bmatrix} & \Delta \end{bmatrix}, \quad (42)$$

где учтены выражения (19) и (21)–(26).

В результате получим в репере  $\{\bar{e}_C\}$  положения центров  $A$ ,  $C_i$  и  $C^j$  в виде

$$\begin{cases} \{\bar{r}_A + \lambda h_8 \bar{k}\} = (x_A, y_A, z_A + \lambda h_8)^T = \\ = A_{\text{aff}}^T \{\overline{CA}\}_A, \\ \{\bar{r}_{C_i}\} = (x_{C_i}, y_{C_i}, z_{C_i})^T = \\ = \{\bar{r}_A\}_C + A_{\text{aff}}^T \{\overline{AC_i}\}_A, \\ \{\bar{r}_{C^j} + \lambda h_8 \bar{k}^j\} = \\ = \left( x_{C_j} - \lambda h_8 \frac{(k_1 + 1)\Delta}{4a}, y_{C_j} + \right. \\ \left. + \lambda h_8 \delta_j, z_{C_j} - \lambda h_8 \right)^T = \\ = \{\bar{r}_A\}_C + A_{\text{aff}}^T \{\overline{AC^j} - \lambda h_8 \bar{k}^j\}_A, \end{cases} \quad (43)$$

где учтено, что орт  $\bar{k}^j$  повернут по отношению к орту  $\bar{k}$  на угол  $\bar{\vartheta}^{j(r)}$  (29), а также (в аффинных координатах (см. (39), (40))

$$\begin{cases} \{\overline{CA}\}_A = \begin{Bmatrix} \lambda(\lambda_1 + \lambda_2 - 1) \\ (1 - \lambda)(\mu_1 + \mu_2 - 1) \\ (\lambda - 1)(\mu_1 + \mu_2) - \lambda(\lambda_1 + \lambda_2 - 1) \end{Bmatrix}, \\ \{\overline{AC_i}\}_A = \frac{1}{2} \begin{Bmatrix} (-1)^{i-1} \\ 1 - 2\mu_i \\ (-1)^{i-1}(1 - 2\mu_i) \end{Bmatrix}, \\ \{\overline{AC^j} - \lambda h_8 \bar{k}^j\}_A = \frac{1}{2} \begin{Bmatrix} 1 - 2\lambda_j \\ (-1)^{j-1} \\ (-1)^{j-1}(1 - 2\lambda_j) \end{Bmatrix}. \end{cases} \quad (43^*)$$

Отменим важный для практических расчетов частный случай, когда  $\lambda_j = \mu_j = 1/2$ ,  $k_1 = k_2 = 1$  и соответственно

$$\begin{cases} \{\bar{r}_A\} = \begin{Bmatrix} 0 \\ 0 \\ -\lambda h_8 \end{Bmatrix}, \quad \{\bar{r}_{C_i}\} = \begin{Bmatrix} (-1)^{i-1} \frac{e_1}{2} \\ (-1)^i \frac{\Delta}{2e_2} \lambda h_8 \\ -\lambda h_8 \end{Bmatrix}, \\ \{\bar{r}_{C^j}\} = \begin{Bmatrix} (-1)^j \frac{e_2}{2} \gamma - \frac{\Delta}{2e_1} (1 - \lambda) h_8 \\ (-1)^{j-1} \frac{e_2}{2} + \delta_j (1 - \lambda) h_8 \\ (1 - \lambda) h_8 \end{Bmatrix}, \end{cases} \quad (44)$$

где  $e_1, e_2$  даны выражениями (12) (можно принять  $e_1 \approx 2a, e_2 \approx 2b$ ).

Углы относительных поворотов  $\bar{\vartheta}_i^{(r)}$  и  $\bar{\vartheta}^{j(r)}$  в указанном случае определяются выражениями (30).

Пусть  $\bar{J}_{C_i}, \bar{J}_{C^j}$  тензоры инерции колесных пар и боковин, которые в соответствующих собственных системах координат имеют вид

$$\bar{J}_{C_i} = \begin{bmatrix} J_x & 0 & 0 \\ 0 & J_y & 0 \\ 0 & 0 & J_z \end{bmatrix}, \quad \bar{J}_{C^j} = \begin{bmatrix} J_x^* & 0 & 0 \\ 0 & J_y^* & 0 \\ 0 & 0 & J_z^* \end{bmatrix}. \quad (45)$$

Тензор инерции  $\bar{J}_C$  представим в виде суммы

$$\bar{J}_C = \bar{J}'_C + \bar{J}''_C = \begin{bmatrix} J_{Cx} & -J_{Cxy} & -J_{Cxz} \\ -J_{Cyx} & J_{Cy} & -J_{Cyz} \\ -J_{Czx} & -J_{Czy} & J_{Cz} \end{bmatrix}, \quad (46)$$

где  $\bar{J}'_C$  учитывает вклад, обусловленный относительными сферическими поворотами колесных пар и боковин,

и имеет вид

$$\vec{J}'_C = \sum_{i=1}^2 [\Pi_{C_i}^C \vec{J}_{C_i} \Pi_{C_i}^C] + \sum_{j=1}^2 [\Pi_{C_j}^{C'} \vec{J}_{C_j} \Pi_{C_j}^C], \quad (47)$$

где следует учесть выражения для матриц поворотов (31), а  $\vec{J}'_C$  учитывает вклад, обусловленный параллельным переносом соответствующих осей координат и вычисляется по формулам

$$\vec{J}''_C = m_{\text{кн}} \sum_{i=1}^2 \begin{bmatrix} y_{C_i}^2 + z_{C_i}^2 & x_{C_i} y_{C_i} & x_{C_i} z_{C_i} \\ y_{C_i} x_{C_i} & z_{C_i}^2 + x_{C_i}^2 & y_{C_i} z_{C_i} \\ z_{C_i} x_{C_i} & z_{C_i} y_{C_i} & x_{C_i}^2 + y_{C_i}^2 \end{bmatrix} + m_{\text{бп}} \sum_{j=1}^2 \begin{bmatrix} y_{C_j}^2 + z_{C_j}^2 & x_{C_j} y_{C_j} & x_{C_j} z_{C_j} \\ y_{C_j} x_{C_j} & z_{C_j}^2 + x_{C_j}^2 & y_{C_j} z_{C_j} \\ z_{C_j} x_{C_j} & z_{C_j} y_{C_j} & x_{C_j}^2 + y_{C_j}^2 \end{bmatrix}, \quad (48)$$

где координаты  $x_{C_i}$ ,  $z_{C_j}$  даны по (43) или (44).

Выпишем подробно компоненты тензора тележки  $\vec{J}_C$  для частного случая, когда  $\lambda_1 = \lambda_2 = \mu_1 = \mu_2 = 1/2$ ,  $k_1 = k_2 = 1$  и отсутствуют маятниковые повороты боковин ( $\delta_1 = \delta_2 = 1$ ):

$$\left\{ \begin{aligned} J_{C_x} &= 2(J_x + J_x^*) + 2m_{\text{кн}} \lambda^2 h_8^2 + 2m_{\text{бп}} [b^2 + (1 - \lambda)^2 h_8^2] - \frac{1}{2} \left( m_{\text{бп}} - \frac{J_z^* - J_x^*}{a^2} \right) \Delta^2, \\ J_{C_y} &= 2(J_y + J_y^*) + 2m_{\text{кн}} (\lambda^2 h_8^2 + a^2) + 2m_{\text{бп}} (1 - \lambda)^2 h_8^2 - \frac{1}{2} \left( m_{\text{кн}} - \frac{J_z^* - J_y^*}{b^2} \right) \Delta^2, \\ J_{C_z} &= 2(J_z + J_z^*) + 2(m_{\text{кн}} a^2 + m_{\text{бп}} b^2) + 2m_{\text{бп}} b^2 \gamma^2 + \frac{1}{2} \left( \frac{J_z^* - J_x^*}{b^2} - \frac{J_z - J_y}{a^2} - m_{\text{кн}} - m_{\text{бп}} \right) \Delta^2, \\ J_{C_{xy}} &= J_{C_{yx}} = 2(J_y - J_x - m_{\text{бп}} b^2) \gamma, \\ J_{C_{yz}} &= J_{C_{zy}} = 0, \quad J_{C_{zx}} = J_{C_{xz}} = 0. \end{aligned} \right. \quad (49)$$

В (52) учтена малость величин  $\gamma$ ,  $\Delta$ . Таким образом, получен перенесенный тензор инерции тележки  $\vec{J}_C = \vec{J}_C(\gamma, \Delta)$  как изменяемого твердого тела. В общем случае  $\vec{J}_C$  зависит также от параметров  $\lambda_1, \lambda_2, \mu_1, \mu_2, k_1, k_2$  и от углов  $\delta_1, \delta_2$ .

### Внутренние геометрические связи и степени свободы тележки

Основными соотношениями геометрических связей тележки являются уравнения, связывающие перемещения центра масс  $\vec{u}$  с перемещениями центров масс колесных пар  $\vec{u}_i$  и центров масс боковин  $\vec{u}^j$  (4). В путевой системе координат тележки, с одной стороны, радиус-вектор  $\vec{\rho}_{C_i}$  определяется выражением (рис. 2)

$$\{\vec{\rho}_{C_i}\} = \{\vec{\rho}_{O_i}\} + \Pi_{O_i}^O \{\vec{\rho}_{iO_i} + \vec{u}_i\}, \quad (50)$$

а с другой стороны,

$$\{\vec{\rho}_{C_i}\} = \{\vec{\rho}_{O'}\} + \{\vec{u}\} + \Pi_{C_i}^O \{\vec{r}_{C_i}\}. \quad (51)$$

Аналогично, для  $\{\vec{\rho}_{C_j}\}$ , с одной стороны, имеем

$$\{\vec{\rho}_{C_j}\} = \{\vec{\rho}_{O'}\} + \{\vec{u}^j\}, \quad (52)$$

а с другой,

$$\{\vec{\rho}_{C_j}\} = \{\vec{\rho}_{O'}\} + \{\vec{u}\} + \Pi_{C_j}^O \{\vec{r}_{C_j}\}. \quad (53)$$

Приравнивая (50) и (51), а также (52) и (53), получим уравнения связей, которые запишем в виде

$$\left\{ \begin{aligned} \{\vec{u}_i\} &= \Pi_{O_i}^O \{\vec{u}\} + \Pi_{C_i}^O \{\vec{r}_{C_i}\} - \{\overline{O'O_i}\}, \\ \{\vec{u}^j\} &= \{\vec{u}\} + \Pi_{C_j}^O \{\vec{r}_{C_j}\} - \{\overline{O'O^j}\}. \end{aligned} \right. \quad (54)$$

В (54)  $\{\vec{r}_{C_i}\}, \{\vec{r}_{C_j}\}$  даны по (43) или (44), с учетом (3)

$$\left\{ \begin{aligned} \{\overline{O'O_i}\} &= \{\vec{\rho}_{iO_i}\} - \Pi_{O_i}^O \{\vec{\rho}_{O'} - \vec{\rho}_{O_i}\} = \\ &= \left\{ \begin{aligned} &(-1)^{i-1} a \\ &a^2 / R \\ &-\lambda h_8 \end{aligned} \right\}, \\ \{\overline{O'O^j}\} &= \{\vec{\rho}_{O^j} - \vec{\rho}_{O'}\} = \\ &= \left\{ \begin{aligned} &0 \\ &(-1)^{j-1} b \\ &(1 - \lambda) h_8 \end{aligned} \right\}, \end{aligned} \right. \quad (55)$$

а матрицы поворотов имеют вид

$$\begin{aligned} \Pi_C^O &= \Psi_{\Delta_i \Psi_O}, \\ \Pi_{O_i}^O &= [\Pi_C^O]^T = \Phi^T X^T \Psi_{\Psi + \Delta_i \Psi_O}^T, \end{aligned} \quad (56)$$

где  $\Delta_i \Psi_O = (-1)^{i-1} a/R$  (углы  $\Delta_i \Psi_O$  — малые).

Прослеживая в процессе движения тележки связи между реперами по цепочкам  $\{\bar{e}_O\} \Rightarrow \{\bar{e}_{O_i}\} \Rightarrow \{\bar{e}_{C_i}\}$  и  $\{\bar{e}_O\} \Rightarrow \{\bar{e}_C\} \Rightarrow \{\bar{e}_{C_i}\}$ , получим основное матричное уравнение связи между углами сферических поворотов тележки и собственных реперов колесных пар в виде

$$\Pi_C^O = \Pi_{O_i}^O \Pi_{C_i}^O \Pi_C^{C_i}, \quad (57)$$

где  $\Pi_C^O = \Psi X \Phi$ ,  $\Pi_{O_i}^O = \Psi_{\Delta_i \Psi_O}$ ,  $\Pi_{C_i}^O = \Psi_i \Phi_i$ ,  $\Pi_C^{C_i} = [\Pi_C^C]^T = \Phi_i^{(r)T} X \Psi_i^{(r)T}$  — матрицы соответствующих сферических поворотов.

Аналогично, прослеживая связь между реперами по цепочкам  $\{\bar{e}_O\} \Rightarrow \{\bar{e}_{C_j}\}$  и  $\{\bar{e}_O\} \Rightarrow \{\bar{e}_C\} \Rightarrow \{\bar{e}_{C_j}\}$ , получим связь между углами сферических поворотов тележки и боковин в виде

$$\Pi_{C_j}^O = \Pi_C^O \Pi_{C_j}^C, \quad (58)$$

где  $\Pi_{C_j}^O = \Psi^j X^j \Phi^j$ ,  $\Pi_C^O = \Psi X \Phi$ ,

$$\Pi_{C_j}^C = \Psi^{j(r)} X^{j(r)} \Phi^{j(r)}.$$

Учитывая малость углов (29), (30) и малость углов  $\Delta_i \Psi_O$ , из (57) и (58) получаем выражения угловых перемещений собственных реперов колесных пар и боковин через угловые перемещения тележки в виде

$$\begin{aligned} \{\bar{\vartheta}_i\} &= \{\bar{\vartheta}\} - \{\bar{\vartheta}_O^O\} + \{\bar{\vartheta}_i^{(r)}\}, \\ \{\bar{\vartheta}^j\} &= \{\bar{\vartheta}\} + \{\bar{\vartheta}^{j(r)}\} \end{aligned} \quad (59)$$

или в развернутом виде (для частного случая (30))

$$\{\bar{\vartheta}_i\} = \begin{Bmatrix} \varphi_i \\ 0 \\ \psi_i \end{Bmatrix} = \begin{Bmatrix} \varphi + (-1)^{i-1} \frac{\Delta}{2e_2} \\ 0 \\ \psi + \gamma \end{Bmatrix},$$

$$\{\bar{\vartheta}^j\} = \begin{Bmatrix} \varphi^j \\ \chi^j \\ \psi^j \end{Bmatrix} = \begin{Bmatrix} \varphi + \delta_j \\ \chi + (-1)^j \frac{\Delta}{2e_1} \\ \psi \end{Bmatrix}. \quad (60)$$

В более общем случае в (59) необходимо учесть (29).

Учитывая уравнения внутренних связей (54) и (60) можно сделать заключение о количестве степеней свободы тележки как изменяемого твердого тела. Шесть внешних степеней свободы обеспечивают независимые перемещения репера  $\{\bar{e}_C\}$   $\{\bar{u}\} = (x, y, z)^T$  и  $\{\bar{\vartheta}\} = (\varphi, \chi, \psi)^T$ . Две внутренние степени свободы обеспечивают угол сдвига  $\gamma$  и депланация  $\Delta$ . Маятниковые угловые перемещения боковин  $\delta_1, \delta_2$  в общем не являются независимыми, так как между боковинами существует связь через рессорные комплекты и наддресорную балку. Вполне можно принять  $\delta_1 = \delta_2$ . К указанным степеням свободы необходимо добавить «волчковые» вращения колесных пар вокруг собственных осей  $C_j y_j$  с угловыми скоростями  $\dot{\theta}_i = \dot{\alpha}_i - \Omega$ , где  $\Omega = \dot{s} / r_0$  — номинальная угловая скорость колесных пар, согласованная со скоростью движения экипажа вдоль рельсовой колеи  $v_0 = \dot{s}$ , которую будем считать постоянной,  $r_0$  — номинальный радиус катания колес, а  $\dot{\alpha}_i$  — отклонения угловых скоростей колесных пар от номинальной. Таким образом, можно считать, что тележка как изменяемое твердое тело имеет (не считая  $\delta_1, \delta_2$ ) десять степеней свободы, которым соответствуют динамические переменные  $x, y, z, \varphi, \chi, \psi, \gamma, \Delta$  и дополнительно  $\theta_1, \theta_2$ .

Конечно, связи колес с рельсами, относящиеся к внешним связям тележки как геометрические односторонние, так и кинематические, в общем случае неинтегрируемые, то есть неголономные, заметно изменяют ситуацию. Число степеней свободы системы становится зависимым от ее динамического поведения. Неголономная динамика колесной пары рассмотрена в работе [8].

**Внешние геометрические связи и координаты точек мгновенного контакта колес с рельсами**

Связи необрессоренной части тележки со шкворневыми балками (см. рис. 1) в данной статье не рассматриваются. Связи тележки с рельсами как внешние геометрические связи можно описать в путевых системах координат колесных пар  $[O_i \xi_i \eta_i \zeta_i \{ \bar{e}_{O_i} \}]$  (см. рис. 2) в виде условий мгновенного контакта колес с рельсами [4, 8]

$$\{ \bar{\rho}_{i^*ij}^O \} = \{ \bar{\rho}_{i^*ij} \}, \{ \bar{e}_{3^*ij}^O \} = \{ \bar{e}_{3^*ij} \}. \quad (61)$$

Второму из условий (61), представляющему собой условие совпадения нормалей в точках контакта  $K_{*ij}^O = K_{*ij}$  на рельсе и колесе, можно удовлетворить в общем случае так же, как и для отдельной колесной пары [4, 8]. В результате для любого мгновенно фиксированного момента времени  $t$  получим углы забегания  $\alpha_{*ij}$  точек мгновенного контакта  $K_{*ij}$  на мгновенных кругах катания, углы  $\beta_{*ij}^O = \beta_{*ij}^O + \gamma_j + \varphi_{pij}^O$  на поверхностях поперечных сечений рельсов и углы  $\theta_{*ij}$  взаимного поворота локальных реперов  $\{ \bar{e}_{*ij} \}$  в точках  $K_{*ij}$  на колесах относительно локальных реперов  $\{ \bar{e}_{*ij}^O \}$  в точках  $K_{*ij}^O$  на рельсах в виде

$$\begin{cases} \operatorname{tg} \alpha_{*ij} = - \frac{\operatorname{tg} \psi_i \operatorname{tg} (\beta_{*ij} + \varphi_i)}{\sqrt{1 - \operatorname{tg}^2 \psi_i \operatorname{tg}^2 (\beta_{*ij} + \varphi_i)}}, \\ \operatorname{tg} \theta_{*ij} = \operatorname{tg} \psi_i \sqrt{\frac{1 + \operatorname{tg}^2 (\beta_{*ij} + \varphi_i)}{1 - \operatorname{tg}^2 \psi_i \operatorname{tg}^2 (\beta_{*ij} + \varphi_i)}} \end{cases} \quad (62)$$

и соответственно

$$\operatorname{tg} \bar{\beta}_{*ij}^O = \frac{\operatorname{tg} (\beta_{*ij} + \varphi_i)}{\sqrt{\cos^2 \psi_i - \sin^2 \psi_i \operatorname{tg}^2 (\beta_{*ij} + \varphi_i)}}, \quad (63)$$

где, с другой стороны,

$$\begin{cases} \operatorname{tg} \bar{\beta}_{*ij}^O = \operatorname{tg} (\beta_{*ij}^O + \gamma_j + \varphi_{pij}^O) = \\ = \frac{\operatorname{tg} \beta_{*ij}^O + \operatorname{tg} (\gamma_j + \varphi_{pij}^O)}{1 - \operatorname{tg} \beta_{*ij}^O \operatorname{tg} (\gamma_j + \varphi_{pij}^O)}, \\ \operatorname{tg} (\beta_{*ij}^O + \varphi_i) = \frac{\operatorname{tg} \beta_{*ij}^O + \operatorname{tg} \varphi_i}{1 - \operatorname{tg} \beta_{*ij}^O \operatorname{tg} \varphi_i}. \end{cases} \quad (64)$$

Углы  $\beta_{*ij}^O$  и  $\beta_{*ij}$  определены в виде

$$\operatorname{tg} \beta_{*ij}^O = f_j^{O'}(y_{i^*ij}^O), \operatorname{tg} \beta_{*ij} = f_j'(y_{i^*ij}), \quad (65)$$

где функции  $f_j^O$  описывают профили поперечных сечений рельсов, а  $f_{ij}$  — образующие поверхностей катания гребней колес.

Равенство (63) с учетом (64), (65) представляет собой уравнение связи между координатами  $y_{i^*ij}^O$  и  $y_{i^*ij}$  точек  $K_{*ij}^O$  и  $K_{*ij}$ ; представим его в виде

$$\begin{aligned} \mathfrak{N}_{i^*ij}(y_{i^*ij}^O, y_{i^*ij}, \varphi_{pij}^O, \psi_i, \varphi_i) = 0, \\ (i, j = 1, 2) \end{aligned} \quad (66)$$

где обозначено

$$\begin{aligned} \mathfrak{N}_{i^*ij} = \frac{f_j^{O'}(y_{i^*ij}^O) + \operatorname{tg}(\gamma_j + \varphi_{pij}^O)}{1 - f_j^{O'}(y_{i^*ij}^O) \operatorname{tg}(\gamma_j + \varphi_{pij}^O)} - \\ - \frac{f_j'(y_{i^*ij}) + \operatorname{tg} \varphi_i}{1 - f_j'(y_{i^*ij}) \operatorname{tg} \varphi_i}. \end{aligned} \quad (67)$$

Первое условие в (61) в путевой системе координат колесной пары имеет  $O_i \xi_i \eta_i \zeta_i$  вид

$$\xi_{i^*ij}^O = \xi_{i^*ij}, \eta_{i^*ij}^O = \eta_{i^*ij}, \zeta_{i^*ij}^O = \zeta_{i^*ij}. \quad (68)$$

Повторяя далее выкладки, подробно изложенные для отдельной колесной пары в работе [8], из последних двух уравнений в (68) найдем зависимости вида

$$\begin{cases} y_{i^*ij}^O = \tilde{y}_{i^*ij}^O [y_{i^*ij}, \bar{q}_{ij}^O(t)], \\ z_{i^*ij}^O = \tilde{z}_{i^*ij}^O [y_{i^*ij}, \bar{q}_{ij}^O(t)]. \end{cases} \quad (69)$$

Далее, используя уравнение поверхности сечения рельса  $z_{i^*ij}^O = f_j^O(y_{i^*ij}^O)$ , введя обозначение

$$\mathfrak{N}_{i^*ij}^O [y_{i^*ij}^O, q_{ij}^O(t)] = \tilde{z}_{i^*ij}^O - f_j^O(\tilde{y}_{i^*ij}^O) \quad (70)$$

и учитывая (60), получаем уже два уравнения связи  $(i, j = 1, 2)$

$$\begin{cases} \mathfrak{N}_{i^*ij} [y_{i^*ij}^O, y_{i^*ij}, \bar{q}_{ij}^O(t)] = 0, \\ \mathfrak{N}_{i^*ij}^O [y_{i^*ij}^O, \bar{q}_{ij}^O(t)] = 0, \end{cases} \quad (71)$$

где использованы обозначения (67), (70), а через  $\bar{q}_{ij}(t)$  и  $\bar{q}_{ij}^O(t)$  обозначены совокупности динамических переменных задачи движения тележки

$$\begin{cases} \bar{q}_{ij}^O(t) = (t, y_{pij}^O, z_{pij}^O, \varphi_{pij}^O, y_i, z_i, \varphi_i, \psi_i), \\ \bar{q}_{ij}(t) = (t, \varphi_{pij}^O, \varphi_i, \psi_i), \quad (i, j = 1, 2). \end{cases} \quad (72)$$

Равенства (71), по сути, являются системой двух нелинейных алгебраических уравнений относительно координат  $y_{i*ij}$  и  $y_{i*ij}^O$  для любого фиксированного момента времени.

Координата  $x_{i*ij}^O$  определяется непосредственно из первого уравнения в (68) в виде

$$x_{i*ij} = x_i - \sin \psi_i \cdot \left[ y_{i*ij} + f'_{ij}(y_{i*ij}) \frac{f'_{ij}(y_{i*ij}) + \operatorname{tg} \varphi_i}{1 - f'_{ij}(y_{i*ij}) \operatorname{tg} \varphi_i} \right]. \quad (73)$$

Также используются зависимости

$$\begin{cases} \begin{Bmatrix} x_{i*ij} \\ y_{i*ij} \\ z_{i*ij} \end{Bmatrix} = \begin{Bmatrix} f_{ij}(y_{i*ij}) \sin \alpha_{*ij} \\ y_{i*ij} \\ f_{ij}(y_{i*ij}) \cos \alpha_{*ij} \end{Bmatrix}, \\ \begin{Bmatrix} x_{i*ij}^O \\ y_{i*ij}^O \\ z_{i*ij}^O \end{Bmatrix} = \begin{Bmatrix} x_{i*ij}^O \\ y_{i*ij}^O \\ f_{ij}(y_{i*ij}^O) \end{Bmatrix}, \end{cases} \quad (74)$$

где следует учесть выражения (62), (64) и (65).

Динамические переменные в уравнениях (71) не являются независимыми как в рамках каждой из колесных пар через уравнения связей (68), так и между колесными парами в составе тележки через уравнения связей (54) и (59).

Для уточнения указанных зависимостей воспользуемся принципом мгновенной склерономизации связей колес с рельсами (по аналогии с работой [8]).

Воспользуемся снова уравнениями связей (68), считая, что координаты точек контакта  $K_{*ij}^O = K_{*ij}$  определены для фиксированного момента

времени  $t$ , принятого за начало малого шага  $[t, t + \tau]$ , и заморожены на этом шаге.

Из уравнений (68) найдем связь между  $\{\bar{u}_i\} = (x_i, y_i, z_i)^T$  и  $\psi_i, \varphi_i$  в виде (проведя усреднение по  $j = 1, 2$ )

$$\{\bar{u}_i\} = \frac{1}{2} \sum_j \{ \{\bar{p}_{i*ij}^O\} - \{\bar{p}_{iO'}\} - \Pi_{C_i}^O \{\bar{r}_{i*ij}\} \} \quad (75)$$

или в координатной форме

$$\begin{Bmatrix} x_i \\ y_i \\ z_i \end{Bmatrix} = \frac{1}{2} \sum_j \begin{Bmatrix} \xi_{i*ij}^O - x_{i*ij} \cos \psi_i - \\ -y_{i*ij} \sin \psi_i \\ \eta_{i*ij}^O - (x_{i*ij} \sin \psi_i + \\ + y_{i*ij} \cos \psi_i) \cos \varphi_i + \\ + z_{i*ij} \sin \varphi_i \\ \zeta_{i*ij}^O + h_{C_i} - (x_{i*ij} \sin \psi_i + \\ + y_{i*ij} \cos \psi_i) \sin \varphi_i - \\ -z_{i*ij} \cos \varphi_i \end{Bmatrix}. \quad (76)$$

Процедура определения координат точек мгновенного контакта колес с рельсами для отдельной колесной пары прописана в работе [8].

Мгновенные связи между динамическими переменными тележки  $\{\bar{u}\} = (x, y, z)^T$ ,  $\{\bar{\vartheta}\} = (\varphi, \chi, \psi)$  и  $\gamma, \Delta$  найдем из первого уравнения связей в (61), используя (54) и (75), в виде (проведя усреднение по  $i, j = 1, 2$ )

$$\begin{aligned} \{\bar{u}\} &= \frac{1}{4} \sum_{i,j} \{ \Pi_{O_i}^O \{\bar{p}_{i*ij}^O\} - \\ &- \Pi_{C_i}^O \{\bar{r}_{i*ij}\} + \{\bar{p}_{O_i} - \bar{p}_{O'}\} \}, \end{aligned} \quad (77)$$

где

$$\begin{aligned} \{\bar{r}_{i*ij}\} &= \{\bar{r}_{C_i}\} + \Pi_{C_i}^C \{\bar{r}_{i*ij}\}, \\ \Pi_{O_i}^O &= \Psi_{\Delta, \Psi_{O_i}} \Leftrightarrow \{\bar{\vartheta}_{O_i}^O\} = \\ &= (0, 0, (-1)^{i-1} a / R)^T, \\ \Pi_{C_i}^O &= \Psi_X \Phi \Leftrightarrow \{\bar{\vartheta}\} = (\varphi, \chi, \psi)^T, \\ \Pi_{C_i}^C &= \Psi_i^{(r)} X^T \Phi_i^{(r)} \Leftrightarrow \{\bar{\vartheta}_i^{(r)}\} = \\ &= \left( (-1)^i \frac{\Delta}{2e_2}, -\chi, \gamma \right)^T, \end{aligned}$$

$$\{\bar{p}_{O_i} - \bar{p}_{O'}\} = \left( (-1)^{i-1} \frac{e_1}{2}, \frac{\alpha^2}{R}, -\lambda h_\delta \right)^T,$$

$$\{\bar{r}_{C_i}\} \approx \left( (-1)^{i-1} \frac{e_1}{2}, (-1)^i \frac{\Delta}{2e_2} \lambda h_\delta, -\lambda h_\delta \right)^T.$$

В общем случае  $\bar{\vartheta}_i^{(r)}$  и  $\bar{r}_{C_i}$  следует брать по (29) и (43).

Моделирование рельсового пути в виде функций  $y_{pj}^O = \tilde{y}_{pj}^O[s(t)]$ ,  $z_{pj}^O = \tilde{z}_{pj}^O[s(t)]$ ,  $\varphi_{pj}^O = \tilde{\varphi}_{pj}^O[s(t)]$ , учитывающих неровности рельсовых нитей и определение функций  $f_{ij}(y_i)$  и  $f_j^O(y_j^O)$ , описывающих профили поверхностей катания колес и поверхности катания рельсов (по результатам измерений), рассмотрено в работе [8].

#### Основные кинематические уравнения движения тележки

Движение путевых реперов колесных пар  $\{\bar{e}_{O_i}\}$ , боковых  $\{\bar{e}_{O'_i}\}$  и тележки  $\{\bar{e}_{O'}\}$  (рис. 2) задается дуговыми координатами  $S_i$ ,  $S = (S_1 + S_2)/2$ , углами поворота  $\psi_0$  и превышения  $\varphi_0$  (3). Выпишем основные кинематические уравнения движения тележки и ее составных частей, ограничиваясь круговым участком пути [4].

Скорости и ускорения путевого репера тележки  $\{\bar{e}_{O'}\}$  имеют вид

$$\{\bar{v}_{O'}\} = \begin{Bmatrix} \dot{s} \\ 0 \\ 0 \end{Bmatrix},$$

$$\{\bar{a}_{O'}\} = \begin{Bmatrix} \ddot{s} \\ \frac{R - f_{O'}}{R^2} \dot{s}^2 \cos \varphi_O \\ -\frac{R - f_{O'}}{R^2} \dot{s}^2 \sin \varphi_O \end{Bmatrix},$$

$$\{\bar{\omega}_{O'}\} = \begin{Bmatrix} 0 \\ \frac{\dot{s}}{R} \sin \varphi_O \\ \frac{\dot{s}}{R} \cos \varphi_O \end{Bmatrix},$$

$$\bar{\Omega}_O \Leftrightarrow \{\dot{\bar{\omega}}_O\} = \begin{Bmatrix} 0 \\ \frac{\dot{s}}{R} \sin \varphi_O \\ \frac{\dot{s}}{R} \cos \varphi_O \end{Bmatrix}. \quad (78)$$

Скорости и ускорения собственно репера тележки  $\{\bar{e}_{C'}\}$  имеют следующий вид. Для  $\bar{v}_{C'}$ ,  $\bar{a}_{C'}$  в путевой системе координат  $O\bar{\xi}\eta\zeta$

$$\begin{cases} \{\bar{v}_{C'}\} = \{\bar{v}_{O'}\} + \{\dot{\bar{u}}\} + \bar{\Omega}_O \{\bar{u}\}, \\ \{\bar{a}_{C'}\} = \{\bar{a}_{O'}\} + \{\dot{\bar{u}}\} + 2\bar{\Omega}_O \{\dot{\bar{u}}\} + \\ + [\dot{\bar{\Omega}}_O + \bar{\Omega}_O^2] \{\bar{u}\}, \end{cases} \quad (79)$$

где  $\{\bar{v}_{O'}\} = \{\bar{v}_{O'}\} + \bar{\Omega}_O \{\bar{p}_{O'}\}$ ,  $\{\bar{a}_{O'}\} = \{\bar{a}_{O'}\} + [\dot{\bar{\Omega}}_O + \bar{\Omega}_O^2] \{\bar{p}_{O'}\}$  — скорость и ускорение базового положения центра масс  $O'$ .

Для  $\{\bar{\omega}\}$  в координатах  $Cx_{C'}$ уz имеем

$$\{\bar{\omega}\} = A_\omega \begin{Bmatrix} \dot{\varphi} \\ \dot{\chi} \\ \dot{\psi} + \dot{\psi}_O \end{Bmatrix}, \quad (80)$$

где  $\dot{\psi}_O = \dot{s} / R$ ,  $A_\omega$  — невырождающаяся матрица

$$A_\omega = \begin{bmatrix} 1 & 0 & -\sin \chi \\ 0 & \cos(\varphi + \varphi_O) & \cos \chi \sin(\varphi + \varphi_O) \\ 0 & -\sin(\varphi + \varphi_O) & \cos \chi \cos(\varphi + \varphi_O) \end{bmatrix},$$

$$|A_\omega| = \cos \chi.$$

Используя представление (80), имеем

$$\begin{cases} \{\bar{\omega}\} = A_\omega \{\dot{\bar{\vartheta}} + \dot{\bar{\vartheta}}_O\}, \\ \{\dot{\bar{\omega}}_C\} = A_\omega \{\ddot{\bar{\vartheta}}\} + \dot{A}_\omega \{\dot{\bar{\vartheta}} + \dot{\bar{\vartheta}}_O\}. \end{cases} \quad (81)$$

Угловые скорости колесных пар  $\{\bar{\omega}_i\}$  и боковых рам  $\{\bar{\omega}^j\}$  получим, используя векторные представления углов  $\bar{\vartheta}_i$  и  $\bar{\vartheta}^j$  (59), в виде

$$\begin{cases} \{\bar{\omega}_i\} = A_{\omega_i} \{\dot{\bar{\vartheta}} + \dot{\bar{\vartheta}}_O + \dot{\bar{\vartheta}}_i^{(r)}\}, \\ \{\bar{\omega}^j\} = A_{\omega_j} \{\dot{\bar{\vartheta}} + \dot{\bar{\vartheta}}_O + \dot{\bar{\vartheta}}^{j(r)}\}, \end{cases} \quad (82)$$

где матрицы имеют вид, схожий с  $A_\omega$  при замене  $\omega \Rightarrow \omega^i$ .

Скорости  $\bar{v}_{C_i}$  и ускорения  $\bar{a}_{C_i}$  вычисляются по формулам (в  $O\xi\eta\zeta$ )

$$\begin{cases} \{\bar{v}_{C_i}\} = \{\bar{v}_{C_i}\} + \dot{\bar{r}}_{C_i} + \bar{\Omega}_{C_i}^{(r)}\{\bar{r}_{C_i}\}, \\ \{\bar{a}_{C_i}\} = \{\bar{a}_{C_i}\} + \ddot{\bar{r}}_{C_i} + \\ + 2\bar{\Omega}_{C_i}^{(r)}\dot{\bar{r}}_{C_i} + [\bar{\Omega}_{C_i}^{(r)} + \bar{\Omega}_{C_i}^{(r)2}]\{\bar{r}_{C_i}\}, \end{cases} \quad (83)$$

где  $\bar{\Omega}_{C_i}^{(r)} \Leftrightarrow \{\bar{\omega}_{C_i}^{(r)}\} = \{\dot{\bar{\vartheta}}_i^{(r)}\}$ . Аналогично для  $\bar{v}_{C_i}$  и  $\bar{a}_{C_i}$ .

Для скоростей и ускорений точек мгновенного контакта  $K_{*ij}$  на колесах соответственно получаем (в  $O\xi\eta\zeta$ )

$$\begin{cases} \{\bar{v}_{*ij}\} = \{\bar{v}_{C_i}\} + \bar{\Omega}_{C_i}\{\bar{r}_{*ij}\}, \\ \{\bar{a}_{*ij}\} = \{\bar{a}_{C_i}\} + \dot{\bar{\Omega}}_{C_i} + \bar{\Omega}_{C_i}^2\{\bar{r}_{*ij}\}. \end{cases} \quad (84)$$

#### Условия безотрывного движения колесных пар и уравнения неголономных связей

Движение колесной пары будем считать безотрывным, если в каждый момент времени у каждого из колес имеется хотя бы одна точка непроникающего контакта с соответствующим рельсом, в которой выполнены геометрические условия (61). Кинематические условия непроникания предполагают, что в мгновенно фиксированных точках контакта  $K_{*ij}^O = K_{*ij}$  должны, кроме (61), выполняться условия [8]

$$((\bar{v}_{*ij} - \bar{v}_{*ij}^O) \cdot \bar{e}_{*ij}^O) = (\Delta\bar{v}_{*ij} \cdot \bar{e}_{*ij}^O) = 0, \quad (85)$$

где  $\Delta\bar{v}_{*ij} = \bar{v}_{*ij} - \bar{v}_{*ij}^O$  — относительные скорости точек  $K_{*ij}$ . В случае неподвижных рельсов  $\bar{v}_{*ij}^O = 0$ . При безотрывном движении условие (85) должно выполняться со знаком равенства.

Допустим, что в начальный момент времени ( $t = 0$ ) выполнены

условия (61) и условие (85) в виде ( $\bar{v}_{*ij}^O = 0$ )

$$(\bar{v}_{*ij}|_{t=0} \cdot \bar{e}_{3*ij}^O) = 0, \quad (\bar{e}_{3*ij}^O = \bar{e}_{3*ij}). \quad (86)$$

Тогда условием сохранения непроникающего контакта при последующем движении колесной пары можно считать условие  $(\dot{\bar{v}}_{*ij} \cdot \bar{e}_{3*ij}^O) = 0$  или  $(\bar{a}_{*ij} \cdot \bar{e}_{3*ij}^O) = 0$ , то есть условие равенства нулю нормальной составляющей относительного ускорения  $\Delta\bar{a}_{*ij} = \bar{a}_{*ij}$  (при  $\bar{a}_{*ij}^O = 0$ ) при мгновенно фиксированных нормальных ортах  $\bar{e}_{3*ij}^O = \bar{e}_{3*ij}$ .

Равенства

$$(\bar{v}_{*ij} \cdot \bar{e}_{3*ij}^O) = 0, \quad (\bar{a}_{*ij} \cdot \bar{e}_{3*ij}^O) = 0, \quad (j = 1, 2) \quad (87)$$

где  $\bar{a}_{*ij} = \dot{\bar{v}}_{*ij}$ , представляют собой уравнения неголономных (кинематических неинтегрируемых) связей, число которых совпадает с числом точек контакта; при этом контакт колеса с рельсом может быть одно, двух или многоточечным.

Условия (87) указывают, что вектора относительных скоростей и ускорений точек контакта  $K_{*ij}$  лежат в плоскостях площадок контакта  $\pi_{*ij}^O = \pi_{*ij}$  (см. рис. 2 работы [8]).

Равенства (86) могут быть использованы для доопределения начальных условий для дифференциальных уравнений движения тележки, а условия неголономных связей (87) — для определения мгновенных контактных сил между колесами и рельсами. Указанные вопросы выходят за рамки настоящей работы и будут рассмотрены в отдельной статье, посвященной динамическому анализу тележки грузового вагона на основе предложенной математической модели тележки. ■

#### Литература

1. Добычин И. А. Теоретическая механика с основами механики рельсовых экипажей. Екатеринбург : НПЦ «Уникум», 1998. 604 с.
2. Добычин И. А., Смольянинов А. В., Павлюков А. Э. Основы нелинейной механики рельсовых экипажей. Екатеринбург : НУУДО «Межотраслевой региональный центр», 1999. 265 с.
3. Добычин И. А., Смольянинов А. В., Юдакова Т. А. Моделирование необрессоренных частей рельсовых экипажей на примере тележки грузового вагона // Вестник Российской академии транспорта. Курган : КГУ, 1999, № 2. С. 136–149.

4. Добычин И. А., Смольянинов А. В., Павлюков А. Э. Теоретические основы нелинейной механики рельсовых экипажей. Екатеринбург : Изд-во Г. П. Калининна, 2009. 278 с. ISBN 978-5-901487-53-2.
5. Блехман И. И., Мышкис А. Д., Пановко Я. Г. Механика и прикладная математика (логика и особенности приложений математики). М. : 1990, 358 с.
6. Кильчевский Н. А. Курс теоретической механики. М. : Наука, 1977. 480 с.
7. Лурье А. И. Теория упругости. М. : Наука, 1970. 940 с.
8. Добычин И. А., Градинаров М. Ю. Неголономная динамика колесной пары // Вестник УрГУПС, 2012. № 1 (13). С. 31–36.

#### References

1. Dobychin I. A. Teoreticheskaja mekhanika s osnovami mekhaniki relsovykh ekipazhej [Engineering mechanics with fundamentals of vehicles' mechanics]. Ekaterinburg : NPC «Unikum», 1998. 604 s.
2. Dobychin I. A., Smolyaninov A. V., Pavlyukov A. E. Osnovy nelinejnoj mekhaniki relsovykh ekipazhej [The fundamentals of nonlinear mechanics of rail vehicles]. Ekaterinburg : NUUDO «Mezhotraslevoj regionalny tsentr», 1999. 265 s.
3. Dobychin I. A., Smolyaninov A. V., Yudakova T. A. Modelirovanie neobressorenykh chastej relsovykh ekipazhej na primere telezhki gruzovogo vagona [Simulation of unsprung parts of rail vehicles on the example of a freight car's bogie] // Vestnik Rossijskoj akademii transporta. Kurgan : KGU, 1999, № 2. S. 136–149.
4. Dobychin I. A., Smolyaninov A. V., Pavlyukov A. E. Teoreticheskie osnovy nelinejnoj mekhaniki relsovykh ekipazhej [Theoretical fundamentals of nonlinear mechanics of rail vehicles]. Ekaterinburg : Izd-vo G. P. Kalinina, 2009. 278 s. ISBN 978-5-901487-53-2.
5. Blekhnman I. I., Myshkis A. D., Panovko Ya. G. Mekhanika i prikladnaja matematika (logika i osobennosti prilozhenij matematiki) [Mechanics and applied mathematics (logic and peculiarities of mathematics' supplement)]. M. : 1990, 358 s.
6. Kilchevsky N. A. Kurs teoreticheskoy mekhaniki [Course of engineering mechanics]. M. : Nauka, 1977. 480 s.
7. Lurie A. I. Teorija uprugosti [Theory of elasticity]. M. : Nauka, 1970. 940 s.
8. Dobychin I. A., Gradinarov M. Yu. Negolonomnaja dinamika kolesnoj pary [Non-holonomic dynamics of a wheel pair] // Vestnik UrGUPS, 2012. № 1 (13). S. 31–36.

*Статья сдана в редакцию 4 мая 2012 года*

# МЕХАНИКА МАШИН И РОБОТОВ

*Х. Т. Туранов, О. В. Молчанова*

УДК 656.212.6.073.21

## Устойчивость вагона с наливным грузом при движении по кривому участку пути

*Kh. T. Turanov, O. V. Molchanova*

UDC 656.212.6.073.21

## The stability of the car with liquid bulk cargo when driving on uneven division way

### Аннотация

В статье рассмотрено аналитическое исследование реакции рельсовых нитей при перевозке цистерны с частично заполненной наливной жидкостью при движении подвижного состава по кривому участку пути. Дана оценка безопасности движения цистерны с остатками наливной жидкости по кривому участку пути на основе результатов расчета устойчивости вагона с наливным грузом поперек вагона относительно рельсовых нитей. Приведены результаты вычислительных экспериментов в системе MathCAD. Построены графические зависимости реакции рельсовых нитей при различных значениях вертикального переносного ускорения и вариации высоты сегмента жидкости. Доказано, что коэффициент устойчивости цистерны при высоте остатка наливной жидкости порядка 1,0 м находится на границе устойчивости, что подтверждает нарушение безопасности движения.

### Ключевые слова:

цистерна, частично заполненная жидкостью, угол поворота сегмента остатка наливной жидкости, динамические и математические модели колесных пар, реакций рельсовых нитей, коэффициент устойчивости вагона с наливным грузом.

### Abstract

In the article the analytical study of the reaction of rail thread in the carriage of tanks with a partially filled fill fluid when the motion of the rolling stock on the curved section of the path. The estimation is given to traffic safety of the tank with the remnants of the fill fluid along the crooked plot of the path on the basis of the results of the calculation of the sustainability of the car with liquid bulk cargo across the car on rail thread. Presents the results of computational experiments in the MathCAD. Built graphics depending on the reaction of rail thread for different values of the vertical transport acceleration and the variation of the height of segment of the liquid. It is proved, that the stability coefficient of the tank at a height of balance-fill fluid of the order of 1.0 m is located on the border of the stability which confirms the violation of traffic safety.

### Key words:

the tank, partially filled with liquid, the angle of rotation segment of the balance of the filling fluid, dynamic and mathematical models of wheel pairs, reactions rail thread, the coefficient of stability of a wagon with liquid bulk cargo.

**Хабибулла Туранович Туранов** — д-р техн. наук, профессор; кафедра «Станции, узлы и грузовая работа» Уральского государственного университета путей сообщения. Екатеринбург, Россия. E-mail: turanov@inbox.ru.

**Оксана Владимировна Молчанова** — канд. техн. наук, доцент; кафедра «Станции, узлы и грузовая работа» Уральского государственного университета путей сообщения. Екатеринбург, Россия. E-mail: okmolchanova@mail.ru.

**Khabibulla T. Turanov** — DSc, prof., «Stations, Junctions and Freight Work» Department, The Ural State University of Railway Transport. Yekaterinburg, Russia. E-mail: turanov@inbox.ru.

**Oksana V. Molchanova** — PhD, «Stations, Junctions and Freight Work» Department, The Ural State University of Railway Transport. Yekaterinburg, Russia. E-mail: okmolchanova@mail.ru.

Задачам устойчивости вагона с грузом поперек вагона посвящено ограниченное число работ [1, 2]. В частности, в [1] техническая задача устойчивости вагона с наливным грузом поперек вагона поставлена и решена без учета сил аэродинамического сопротивления и сил, возникающих от воздействия на вагон с грузом автосцепных устройств смежных вагонов. Оговоримся, что рассматриваемая нами задача является дальнейшим развитием поставленной и решенной в [1] задачи.

Отметим, что устойчивость цистерны, частично заполненной жидкостью, при движении подвижного состава по кривому участку пути представляет собой актуальную задачу в отрасли железнодорожного транспорта.

На основе вычисления требуется рекомендовать конкретные аналитические формулы для определения реакции рельсовых нитей при перевозке остатка жидкости в цистерне, позволяющие произвести оценку устойчивости движения.

Как и в [1], рассмотрим котел цистерны, частично заполненной жидкостью массой  $M$ , при движении подвижного состава по кривому участку пути (рис. 1).

Рельсовые нити железнодорожного пути испытывают силы тяжести наливной жидкости  $\bar{G} = M\bar{g}$  и порожней цистерны  $\bar{G}_T = M_T\bar{g}$  (где  $M_T = G_T 10^3 / g$  — масса порожней цистерны как материальной системы, кг), вертикальную  $\bar{I}_{ez}$  переносную силу инерции, возникающую из-за несоблюдения норм содержания пути [3], силу  $\bar{F}_{ac}$ , возникающую от воздействия на вагон с грузом автосцепных устройств смежных вагонов, а также силу аэродинамического сопротивления  $\bar{F}_{vy}$ .

Примем допущение, что наливная жидкость, как и в [1], является идеальной жидкостью. В момент захода цистерны на переходной участок

кривой жидкость приходит в движение относительно котла цистерны. Считаем, что при движении (повороте) жидкости относительно котла цистерны на угол  $\varphi$  она примет форму однородного кругового сегмента, а его свободная поверхность останется плоской (рис. 1).

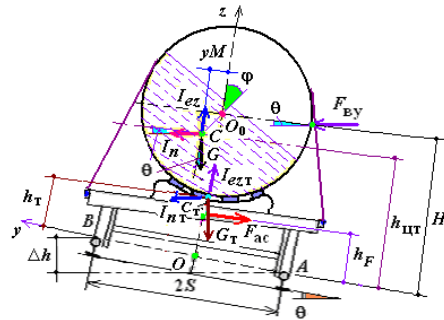


Рис. 1. Положение остатка наливной жидкости при движении подвижного состава по кривой  $C_1$  и  $C_2$  — центр масс остатка наливной жидкости и порожней цистерны;  $h_{цт}$  — высота центра масс наливной жидкости над уровнем головки рельса (УГР) с учетом наклона кузова относительно колесных пар из-за наличия комплектов пружин в тележке;  $yM$  — смещение центра масс наливной жидкости относительно оси  $z$ , характеризующее отклоненное положение свободной поверхности жидкости на угол  $\varphi$ ;  $h_t$  — высота центра масс порожнего вагона (1,44–1,57 м);  $h_r$  — высота точки приложения силы  $\bar{F}$  на вагон с грузом от УГР (1,06 м);  $H$  — расстояние от УГР до оси котла цистерны, что равносильно высоте точки приложения силы аэродинамического сопротивления на котел цистерны над УГР (2,8 м);  $D$  — внутренний диаметр котла цистерны (3 м);  $2D$  — расстояние между кругами катания колесной пары вагона колеи 1520 мм, равное 1,580 м;  $\Delta h$  — возвышение наружной рельсовой нити;  $\theta$  — угол наклона наружной рельсовой нити относительно внутренней

Дадим оценку безопасности движения подвижного состава при заполнении цистерны с остатками наливной жидкости по кривому участку пути, сравнительно с движением по прямому участку:

- определением давления колес на рельсовые нити  $\bar{Q}_A$  и  $\bar{Q}_B$  и силой отжатия наружной рельсовой нити на гребень колеса колесной пары вагона  $\bar{H}_B$ ;

\*Здесь и далее качество иллюстраций соответствует качеству предоставленных оригиналов.

– нахождением устойчивости цистерны от опрокидывания поперек вагона, используя коэффициент устойчивости от опрокидывания.

Длину хорды  $a$  (м), центральный угол  $\alpha$  (рад) и площадь  $A_{сж}$  (м<sup>2</sup>) сегмента жидкости (рис. 2) вычислим по формулам [4]

$$\begin{aligned} a &= 2\sqrt{2h_{сж}R - h_{сж}^2}; \\ \alpha &= 2\arcsin\left(\frac{a}{2R}\right); \\ A_{сж} &= \frac{R^2}{2}(\alpha - \sin\alpha), \end{aligned} \quad (1)$$

где  $R = 0,5D$  — внутренний радиус котла цистерны (м);  $h_{сж}$  — высота сегмента наливной жидкости (м).

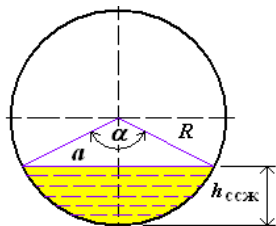


Рис. 2. К определению площади сегмента жидкости

Массу  $M$  (кг) и силу тяжести  $G$  (кН) остатка наливной жидкости определяют

$$M = \rho_{ж} A_{сж} L_{в}; \quad G = 10^{-3} Mg, \quad (2)$$

где  $\rho_{ж}$  — плотность наливной жидкости, кг/м<sup>3</sup>.

Находим проекции силы тяжести остатка наливной жидкости  $G$  (и/или тары вагона  $G_{т}$ ) на принятые оси координат. Силу аэродинамического сопротивления (кН), действующую с боковой стороны цистерны, определим по аэродинамической формуле [1], учитывая, что  $A$  — половина площади наветренной поверхности котла цистерны (м<sup>2</sup>) (например,  $A = 0,5\pi D_{н} L_{н}$ , где  $D_{н} = 3,08$  и  $L_{н} = 10,77$  —

наружные диаметр и длина котла цистерны модели 15-1443 для перевозки светлых нефтепродуктов (м)).

Считаем, что рельсовая нить, установленная с возвышением относительно внутренней, имеет наклон  $\zeta$  по положительному отсчету углов, а возвышение имеет угол наклона  $\theta$  противоположно положительному отсчету углов [2]. Пренебрегаем подуклонкой  $\alpha$  рельсовых нитей (то есть наклон рельсов внутри колеи) по отношению к верхней плоскости (постели) шпал.

Для решения прикладной задачи используем методы кинестатики (уравнения равновесия плоской системы динамических сил геометрической статики) [5] и последовательных приближений, систему MathCAD [6].

В относительном покое (равновесии) к действующим на систему активным силам и реакциям связей добавим переносную силу инерции. Применим условие относительного равновесия (покоя)

$$\sum_{k=1}^n \bar{F}_k + \sum_{k=1}^n \bar{R}_k + \bar{I}_e = 0,$$

то есть при относительном покое активные силы, реакции связей и переносная сила инерции уравновешиваются.

Переносная сила инерции равна  $\bar{I}_e = -M\bar{a}_e$ , а переносное ускорение  $\bar{a}_e = \bar{a}$ , так как ускорение Кориолиса при поступательном переносном движении равно нулю, то есть  $\bar{a}_c = 0$ .

Активные силы — силы тяжести остатка наливной жидкости и тары вагона  $\bar{G}$  и  $\bar{G}_т$ , вертикальной  $\bar{I}_{ez}$  переносной силы инерции, силы  $\bar{F}_{ac}$ , возникающей от воздействия на цистерну автосцепных устройств смежных вагонов, силы аэродинамического сопротивления  $\bar{F}_{в}$ , искомые реактивные силы — реакций наружного рельса на гребень колеса колесной пары вагона  $\bar{H}_B$  (равная по величине так называемой рамной силе), реакций рельсов на колеса вагона

$\bar{N}_A$  и  $\bar{N}_B$ , а также силы трения  $\bar{F}_{\text{трH}}$  (сила трения между боковыми гранями рельса и колес вагона),  $\bar{F}_{\text{трA}}$  и  $\bar{F}_{\text{трB}}$  (силы трения между поверхностями катания колес и рельсовыми нитями) действуют на цистерну. Движения цистерны с остатком наливной жидкости по кривому участку пути с ускорением условно учтем нормальными составляющими силы инерции при абсолютном движении остатка наливной жидкости  $\bar{I}_n$  и порожнего вагона  $\bar{I}_{\text{нт}}$ .

Динамическая модель с координатными осями  $Oy$  и  $Oz$  представлена на рис. 3.

Считаем, что при входе в кривой участок пути цистерна получает нормальное (поперечное) ускорение  $\bar{a}_n$ , одинаковое для всех ее точек:

$$a_n = \frac{v^2}{12,96\rho},$$

где  $v$  — скорость поезда (км/ч);  $\rho$  — радиус кривизны траектории в данной точке кривой (м);  $12,96 = 3,6^2$  — переводной коэффициент м/с в км/ч.

Предположим, что в течение некоторого отрезка времени нормальное составляющее полного ускорения остается постоянным. Остаток наливной жидкости приходит в движение относительно котла цистерны. Учтем,

что нормальные составляющие силы инерции  $\bar{I}_n = M\bar{a}_n$  остатка наливной жидкости массы  $M$  и порожней цистерны  $\bar{I}_{\text{нт}} = M_{\text{т}}\bar{a}_n$  массы  $M_{\text{т}}$  будут приложены к центру масс  $C$  остатка жидкости и порожней цистерны  $C_{\text{т}}$ , и направлены противоположно ускорению  $\bar{a}_n$  (см. рис. 3).

Предположим, что, так как движение цистерны установившееся, то есть  $\bar{a}_n = \text{const}$ , то жидкость по отношению к цистерне неподвижна, находится в относительном покое. Равнодействующая  $\bar{R}^*$  сил тяжести остатка наливной жидкости  $\bar{G} = M\bar{g}$  и инерции —  $\bar{I}_n = M\bar{a}_n$  — направлена по нормали к свободной поверхности жидкости и проходит через ось  $O_0$  цистерны [1].

Если  $\varphi$  — угол, образованный равнодействующими  $\bar{R}^*$  и  $\bar{R}_{\text{т}}^*$  с вертикальной осью  $z$ , соответствующий углу наклона свободной поверхности наливной жидкости, то справедливы соотношения (см. рис. 3)

$$R^* \cos(\varphi_0) = Mg; R^* \sin(\varphi_0) = Ma_n;$$

$$R_{\text{т}}^* \cos(\varphi_0) = M_{\text{т}}g; R_{\text{т}}^* \sin(\varphi_0) = M_{\text{т}}a_n;$$

$$\varphi_0 = \text{arctg}\left(\frac{a_n}{g}\right), \quad (3)$$

где  $R^*$  и  $R_{\text{т}}^*$  — равнодействующие сил

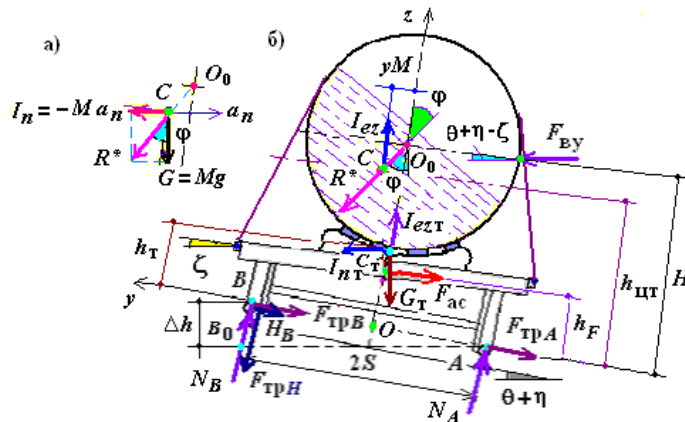


Рис. 3. Динамическая модель цистерны с остатками наливной жидкости при движении состава по кривому участку пути

тяжести остатка наливной жидкости, тары цистерны и нормальной силы инерции

$$R^* = M\sqrt{g^2 + a_n^2}, R_t^* = M_t\sqrt{g^2 + a_n^2}, \quad (4)$$

$\varphi_0 = \varphi + \theta$  — угол, образованный равнодействующими  $\bar{R}^*$  и  $\bar{R}_t^*$  с вертикалью, то есть с направлением сил тяжести  $\bar{G}$  и  $\bar{G}_t$ .

При плавном вхождении цистерны в кривой участок пути всегда соблюдается условие  $a_n < g$ . Это означает, что центр масс остатка наливной жидкости при этом условии всегда находится ниже оси  $Oy$  цистерны.

Определим максимальный угол поворота сегмента остатка наливной жидкости  $\varphi_0$  (рад) при ударном вхождении цистерны в кривой участок пути [1]:

$$\varphi_0 = \varphi + \theta = 2\arctg\left(\frac{a_n}{g}\right). \quad (5)$$

Это означает, что при ударном вхождении цистерны в кривой участок пути остаток наливной жидкости отклонится в ней на угол, в два раза больший, чем при плавном вхождении. Если соблюдается условие  $a_n > g$ , то центр масс остатка наливной жидкости поднимется выше оси  $Oy$  цистерны, что невозможно при плавном вхождении цистерны в кривой участок пути.

Мысленно перенесем силу  $\bar{R}^*$  в точку оси  $O_0$  цистерны.

Высоту центра масс остатка наливной жидкости  $h_{ит}$  относительно УГР (м) определим по формуле

$$h_{ит} = H - h_c \cos(\varphi_0), \quad (6)$$

где  $h_c$  — центр масс однородного кругового сегмента  $C$  [7], который находится от центра круга  $O_0$  на расстоянии  $h_c = O_0C$

$$h_c = \frac{4R(\sin \alpha_0)^3}{3(2\alpha_0 - \sin(2\alpha_0))}, \quad (7)$$

с учетом того, что  $R$  — радиус круга (внутренний радиус кола цистерны) (м),  $\alpha_0$  — половина центрального угла сегмента (рад) (см. формулу (2)).

Смещение  $yM$  центра масс  $C$  остатка жидкости относительно оси  $z$ , характеризующий отклоненное положение этой жидкости (см. рис. 3), определим по формуле

$$yM = h_c \operatorname{tg}(\varphi_0). \quad (8)$$

По величине смещение  $yM$  и  $zM$  центра масс  $C$  остатка жидкости относительно осей  $z$  и  $y$ , то есть по приращению координат центра масс жидкости можно выполнить расчеты по определению приращений динамических реакций рельсовых нитей. На этой основе оценим безопасность движения поезда, в составе которого имеются цистерны с наливными грузами.

Составим уравнение равновесия для цистерны с остатком наливной жидкости.

Поскольку силы, действующие на цистерну с остатком наливной жидкости, являются плоской системой сходящихся сил, то достаточно составить три уравнения равновесия, приравняв к нулю сумму проекций всех сил на ось  $y$  и взяв момент всех сил относительно точек  $B$  и  $A$  (рис. 3)

$$(R^* + R_t^*) \sin(\varphi_0) + F_{vy} \cos(\theta) - F_{ac} - 4H_B - 4(F_{тpA} + F_{тpB}) = 0; \quad (9)$$

$$\begin{aligned} &4N_A 2S - R_t^* \cos(\varphi_0) S + \\ &+ R_t^* \sin(\varphi_0) h_t + F_{vy} (\cos(\theta) H - \\ &- \sin \theta (S + R)) - R^* \cos(\varphi_0) S + \\ &+ R^* \sin(\varphi_0) H + (I_{Bez} + I_{ez}) S + \\ &+ I_{ez} (S - yM) - F_{ac} h_F = 0; \quad (10) \end{aligned}$$

$$\begin{aligned} &-4N_B 2S + R_t^* \cos(\varphi_0) S + \\ &+ R_t^* \sin(\varphi_0) h_t + F_{vy} (\cos(\theta) H - \\ &- \sin(\theta) (R - S)) + R^* \cos(\varphi_0) S + \\ &+ R^* \sin(\varphi_0) H - (I_{ezB} + I_{ez}) S - \\ &- I_{ez} (S + yM) - F_{ac} h_F + 4F_{тpH} \cdot 2S = 0. \end{aligned}$$

Из уравнений моментов сил (10) и (11) найдем реакции наружной  $\bar{N}_B$  и внутренней  $\bar{N}_A$  рельсовых нитей.

Из уравнения проекций всех сил на ось  $y$  (19) найдем  $\bar{H}_B$ . Количества уравнений равновесия недостаточно для определения неизвестных реакций связей  $\bar{H}_B$ ,  $\bar{N}_A$  и  $\bar{N}_B$ , поскольку составленные уравнения взаимозависимы. К уравнению равновесия присоединим формулу силы трения (закон Кулона)  $F_{тр} \leq fN$ , где  $f$  и  $f_B$  — коэффициенты трения при скольжении между поверхностями качения колес и рельсовых нитей и между боковой поверхностью наружного рельса и гранями колесных пар вагона, равные  $0,7f_{сц}$  ( $f_{сц}$  — коэффициент трения сцепления, известный для пар трения по справочным данным).

Задача разрешима, если воспользоваться методом последовательных приближений, находя реакцию связи  $\bar{N}_B$  из уравнения (11) без учета силы трения между боковыми гранями рельса и гребнями колес вагона  $\bar{F}_{трH}$ . Подставляя найденное значение  $\bar{N}_B$  в закон Кулона и находя  $\bar{F}_{трH}$ , а затем и  $\bar{H}_B$  из (14), определим новое значение реакции связи  $\bar{N}_B$ .

Повторяя описанную последовательность до тех пор, пока искомые значения  $\bar{N}_B$  не будут отличаться между собой, можно окончательно решить поставленную задачу.

Используя понятия удерживающего и опрокидывающего моментов [8], определим коэффициенты устойчивости цистерны с остатком наливной жидкости относительно наружной и внутренней рельсовых нитей при устойчивом равновесии.

Для определения силы давления колес на рельсовые нити  $\bar{Q}_A$  и  $\bar{Q}_B$  в точках  $A$  и  $B$  применим закон равенства действия противодействию механики.

Покажем решение задачи для частного случая, когда подвижной состав движется по прямому участку пути, то есть случай, когда угол  $\theta = 0$ . В данном случае возникает попереч-

ное переносное ускорение  $a_{ey}$  по следующим причинам: происходит боковой относ вагона с грузом из-за наличия бокового зазора между гребнями колес и рельсовыми нитями, значение которого доходит до 20 мм и более [9]; из-за зазора между буксой и челюстями боковых рам тележек, а также из-за наличия упругих элементов (комплектов пружин) между боковыми рамами и надрессорными балками [3].

Заменяя в уравнениях (10) и (11) нормальное ускорение  $a_n$  поперечным переносным ускорением  $a_{ey}$ , нормативное значение которого доходит до 0,46g и, соответственно, нормальные составляющие силы инерции  $|\bar{I}_n| = Ma_n$  и  $|\bar{I}_{нт}| = M_T a_n$ , поперечными переносными силами инерции  $|\bar{I}_{ey}| = Ma_{ey}$  и  $|\bar{I}_{нт}| = M_T a_{ey}$  с учетом того,

что  $G = Mg$ ,  $G_T = M_T g$ ,  $|\bar{I}_{ez}| = 10^{-3} Ma_{ez}$  и  $|\bar{I}_{езт}| = M_T a_{езт}$ , получим

$$N_A = \frac{1}{8S} ((M_T + M)(g - a_{ez})S - (M_T h_T + MH)a_{ey} - F_{vy}H + F_{ac}h_F)$$

или после несложных преобразований

$$N_A = \frac{(M_T + M)(g - a_{ez})S - (M_T h_T + MH)a_{ey} - F_{vy}H + F_{ac}h_F}{8S}; \quad (12)$$

$$N_B = \frac{1}{8S} ((M_T + M)(g - a_{ez})S + (M_T h_T + MH)a_{ey} + F_{vy}H - F_{ac}h_F),$$

или

$$N_B = \frac{(M_T + M)(g - a_{ez})S + (M_T h_T + MH)a_{ey} + F_{vy}H - F_{ac}h_F}{8S}; \quad (13)$$

$$H_B = \frac{(M + M_T)a_{ey} + F_{vy} - F_{ac} - 4(F_{трA} + F_{трB})}{4}. \quad (14)$$

Таким образом, соотношения (12) и (13) определяют реакции рельсовых нитей  $\bar{N}_A$  и  $\bar{N}_B$  с учетом веса порожней цистерны  $G_T = M_T g$ , вертикальной переносной силы инерции остатка наливной жидкости  $|\bar{I}_{ez}| = M a_{ez}$ , силы аэродинамического сопротивления  $\bar{F}_{vy}$  и силы, возникающей от воздействия на вагон с грузом автосцепных устройств смежных вагонов  $\bar{F}_{ac}$ .

Приращения нормальных реакций связей за счет поперечной переносной силы инерции  $\bar{I}_{ey}$ , то есть за счет поперечного ускорения  $a_{ey}$ , когда на цистерну не действуют сила аэродинамического сопротивления  $\bar{F}_{vy}$  и сила  $\bar{F}_{ac}$ , возникающая от воздействия на вагон с грузом автосцепных устройств смежных вагонов, равны

$$\begin{aligned} \Delta N_A &= N_A(a_n) - N_A(0) = \\ &= \frac{(M_T h_T + MH) a_{ey}}{8S}; \end{aligned} \quad (15)$$

$$\begin{aligned} \Delta N_B &= N_B(a_n) - N_B(0) = \\ &= \frac{(M_T h_T + MH) a_{ey}}{8S}. \end{aligned} \quad (16)$$

Эти приращения будут образовывать пару сил с моментом

$$\text{mom}_B(F) = \Delta N_B 8S = (M_T h_T + MH) a_{ey}$$

или

$$\text{mom}_A(F) = \Delta N_A 8S = (M_T h_T + MH) a_{ey},$$

или

$$\begin{aligned} \text{mom}_B(F) &= \text{mom}_A(F) = \\ &= (M_T h_T + MH) a_{ey}. \end{aligned} \quad (17)$$

Момент пары сил (17) стремится опрокинуть цистерну с остатком наливной жидкости: реакция  $\bar{N}_B$  в точке  $B$  увеличивается, реакция  $\bar{N}_A$  в точке  $A$  уменьшается. По этим данным оценим безопасность движения недогруженной цистерны, то есть когда цистерна заполнена остатком наливной жидкости при движении поезда, как по кривому, так и по прямому участку пути.

В момент начала опрокидывания реакция  $\bar{N}_A$  в точке  $A$  равна нулю, следовательно, опрокидывание цистерны возможно при поперечном ускорении

$$a_{ey} = \frac{(M_T + M)(g - a_{ez})S}{M_T h_T + MH}. \quad (18)$$

Когда состояние пути находится в отличном состоянии (идеальный случай), то есть вертикальная переносная сила инерции  $|I_{ez}| = M a_{ez} = 0$ ; последней формуле придадим вид

$$a_{ey} = \frac{(M_T + M)gS}{M_T h_T + MH}. \quad (19)$$

Итак, при движении подвижного состава по прямому участку пути сила отжатия рельсовой нити (так называемая рамная сила) появится лишь тогда, когда значение поперечного ускорения цистерны таково, что возникающие поперечные переносные силы инерции остатка наливной жидкости и порожней цистерны превышают силы сухого трения скольжения между поверхностями катания колесных пар и рельсовых нитей.

Поперечное ускорение, появляющиеся при движении цистерны по кривому участку пути, зависит от массы остатка наливной жидкости, но не зависит от заполнения котла цистерны. Мнение, что остатки жидкости вызывают сход цистерны с рельсов, если цистерна плавно входит в кривой участок пути, не имеет под собой научно доказанных оснований [1]. Если такие сходы наблюдаются, то по другим причинам, например, при нарушении плавности переходной кривой или несоблюдения норм содержания пути, когда вертикальное переносное ускорение цистерны с остатком наливной жидкости  $a_{ez}$  доходит до 0,66g, или при действии силы  $\bar{F}_{ac}$ , возникающей от воздействия на вагон с грузом автосцепных устройств смежных вагонов, или

из-за других дефектов в конструкциях вагона.

Полученные аналитические формулы служат для оценки безопасности движения недогруженной цистерны, то есть когда цистерна заполнена остатком наливной жидкости при движении поезда как по кривому, так и по прямому участкам пути.

Приведем результаты вычислений реакции рельсовых нитей  $N_A$  и  $N_B$  цистерны с остатком наливной жидкости при ее движении по кривому участку пути в виде макет-документов, полученных в вычислительной среде MathCAD [6, 10].

1. Параметры остатка наливной жидкости и цистерны модели 15-1443:  $R = 1,5$  м;  $L_B = 10$  м (длина котла цистерны с учетом средней длины его дна);  $\rho_{ж} = 800$  кг/м<sup>3</sup> (плотность жидкости);  $h = 0,45$  м (высота сегмента жидкости);  $M_T = 2,2 \cdot 10^4$  кг (масса порожнего вагона);  $G_T = 215,82$  кН (сила тяжести порожнего вагона);  $h_T = 1,5$  м;  $f_0 = 0,15$ ;  $f = 0,125$  (коэффициент трения при движении);  $H = 1,5 + 1,3$  м (высота точки приложения силы  $F_{вy}$  от УГР);  $c = 0,55$  (коэффициент воздушного сопротивления груза);  $\rho_0 = 1,26$  кг/м<sup>3</sup> (плотность воздуха).
  - 1.1. Заданные значения внешней силы:  $F_{ac} = 5$  кН (сила, приложенная к автосцепке и учитывающая воздействие смежных вагонов);  $h_F = 1,06$  (высота точки приложения силы  $\bar{F}_{ac}$  от УГР), м.
2. Кинематические параметры пути:  $S = 0,79$  м (половина расстояния между кругами катания колесной пары вагона колеи 1520 мм);  $\rho = 1000$  м (радиус кривизны кривой);  $v = 85$  км/ч (скорость поезда);  $\Delta h = 0,09$  или  $\Delta h = 0,15$ ;  $\theta = 0,095$  рад (5,423 град) (угол наклона наружной рельсовой нити относительно внутренней).
3. Вычисляя параметры остатка наливной жидкости по (1), (2)

и (3)–(7), получим:  $a_n = 0,557$  м/с<sup>2</sup>;  $\varphi = 0,057$  рад (3,253 град);  $\varphi_0 = 0,038$  рад (2,171 град);  $\alpha_0 = 0,795$  рад (45,573 град) (половина центрального угла сегмента);  $a = 2,142$  м (длина хорды сегмента наливной жидкости);  $\alpha = 1,591$  рад (91,146 град) (центральный угол сегмента жидкости);  $S_{сж} = 0,665$  м<sup>2</sup>;  $M = 5,319 \cdot 10^3$  кг;  $G = 52,179$  кН;  $h_C = 1,233$  м;  $h_{нт} = 1,568$  м;  $yM = 0,047$  м.

Результаты вычислений массы наливной жидкости при вариации ее высоты приведены на рис. 4.

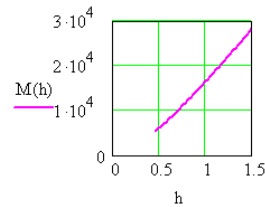


Рис. 4. Графическая зависимость  $M = f(h)$

4. Приведем вычисление переносных и нормальных сил инерции:  $I_{ez} = 24$  кН;  $I_{eзт} = 99,23$  кН;  $M_{ez} = 1,12$  кН·м;  $I_n = 2,9$  кН;  $I_{нт} = 12,3$  кН.
5. Вычисление силы аэродинамического сопротивления:  $A = 16,586$  м<sup>2</sup>;  $F_{вy1} = 2,3$  и  $F_{вy} = 8,3$  кН.
6. Вычисление равнодействующих сил тяжести остатка наливной жидкости, тары вагона и нормальной силы инерции по (4):  $R^x = 52,3$  и  $R_T = 232,4$  кН.
7. Результаты вычисления реакции рельсовых нитей  $N_A$ , и  $N_B$  методом последовательных приближений с использованием соотношений (9)–(11), кН:  $N_A = 5,06$ ,  $N_{B0} = 15,8$ ,  $H_{B0} = 0,9$ ,  $F_{трA} = 2,5$ ,  $F_{трB0} = 7,9$ ,  $F_{трH0} = 0,45$ ,  $N_{B1} = 16,7$ ,  $H_{B1} = 0,79$ ,  $F_{трH1} = 0,4$ ,  $N_{B4} = 16,6$ ,  $H_{B4} = 0,8$ ,  $F_{трH4} = 0,4$ ,  $H_{B5} = 16,6$ .

Как видно, в пятом шаге вычислений получили точное значение нормальной реакции наружной рельсовой нити.

8. Результаты вычисления реакции рельсовых нитей  $N_A$  и  $N_B$  по (12) и (13):  $\Delta N_A = 1,7$  и  $\Delta N_B = 25$  кН.
9. В результате вычислений по (15) и (16) приращение реакции рельсовых нитей  $\Delta N_A$  и  $\Delta N_B$  с учетом нормативного значения поперечного ускорения получилось равным  $\Delta N_A = \Delta N_B = 36$  кН.
10. Согласно результатам вычисления значения поперечного переносного ускорения, при котором возможно опрокидывание цистерны с остатком наливной жидкости по формуле (23) имеем  $a_{ey1} = 1,78$  или  $\frac{a_{ey1}}{g} = 0,182$  м/с<sup>2</sup>.

Графическая зависимость поперечного переносного ускорения  $a_{ey}$ , при котором возможно опрокидывание цистерны с остатком наливной жидкости, при наличии вертикального переносного ускорения ( $a_{ez} > 0$ ) вариации высоты сегмента жидкости  $h$  представлена на рис. 5.

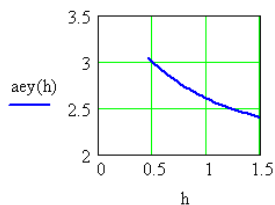


Рис. 5. Графическая зависимость  $a_{ey} = f(h)$

Как видно, с увеличением высоты сегмента жидкости  $h$  при наличии вертикального переносного ускорения  $a_{ez}$  значение поперечного переносного ускорения  $a_{ey}$ , при котором возможно опрокидывание цистерны с остатком наливной жидкости, уменьшается по нелинейному закону.

- 10.1. В результате вычислений по (19) значения поперечного переносного ускорения, при котором возможно опрокидывание цистерны с остатком наливной

жидкости (идеальный случай), получаем  $a_{ey2} = 4,46$  или  $\frac{a_{ey2}}{g} = 0,45$  м/с<sup>2</sup>.

Характер зависимости поперечного переносного ускорения  $a_{ey}$ , при котором возможно опрокидывание цистерны с остатком наливной жидкости, с увеличением высоты сегмента жидкости  $h$  при отсутствии вертикального переносного ускорения ( $a_{ez} > 0$ ) остается таким же, как и на рис. 5.

11. Вычисление коэффициентов устойчивости цистерны с остатком наливной жидкости относительно наружной и внутренней рельсовых нитей.

Согласно выполненным расчетам, удерживающий момент относительно наружной рельсовой нити равен  $M_{удB} = 230$ , опрокидывающий  $M_{опрB} = 198$  кН·м, коэффициент устойчивости относительно наружной рельсовой нити  $\eta_B = 1,16$ . Удерживающий момент относительно внутренней рельсовой нити равен  $M_{удA} = 266,6$ , а опрокидывающий  $M_{опрA} = 166,7$  кН·м, коэффициент устойчивости относительно наружной рельсовой нити  $\eta_B = 1,6$ .

12. Вычисление реакции рельсовых нитей при вариации высоты остатка наливной жидкости по формулам (10) и (11).

Графические зависимости реакции рельсовых нитей при различных значениях вертикального переносного ускорения ( $0,46 < a_{ez} < 0,66g$ ) и вариации высоты сегмента жидкости  $h$  представлены на рис. 6.

Как видно, с увеличением высоты остатка наливной жидкости в цистерне, когда вертикальное переносное ускорение незначительное ( $a_{ez} = 0,46g$ ), реакция наружной рельсовой нити увеличивается, а внутренней нити уменьшается, что соответствует действительности.

Анализ полученных графических зависимостей показывает, что с увеличением высоты остатка наливной жидкости в цистерне, когда вертикальное переносное ускорение имеет значительную величину ( $a_{ez} = 0,6g$ ), происходит уменьшение реакции наружной рельсовой нити, что является парадоксальным.

При значительном отклонений от норм содержания пути, чему соответствует вертикальное переносное ускорение  $a_{ez} = 0,6g$ , реакция внутренней рельсовой нити при высоте остатка наливной жидкости порядка 1,0 м имеет отрицательное значение, что показывает на то, что произойдет опрокидывание цистерны.

Отсюда ясно, что на значения реакции рельсовых нитей преобладающее влияние оказывают отклонения норм содержания пути, независимо от заполнения котла цистерны.

13. Вычисление коэффициентов устойчивости цистерны с остатком наливной жидкости относительно наружной и внутренней рельсовых нитей при вариации высоты сегмента остатка наливной жидкости при  $a_{ez}$  до 0,66g.

Графические зависимости коэффициентов устойчивости цистерны с остатком наливной жидкости при различных значениях вертикального переносного ускорения ( $0,46 < a_{ez} < 0,66g$ ) и вариации высоты сегмента жидкости  $h$  представлены на рис. 7.

Анализ полученных графических зависимостей показывает, что при значительном отклонений от норм содержания пути, чему соответствует вертикальное переносное ускорение  $a_{ez} = 0,6g$ , коэффициент устойчивости цистерны при высоте остатка наливной жидкости порядка 1,0 м находится на границе устойчивости, что подтверждает нарушение безопасности движения.

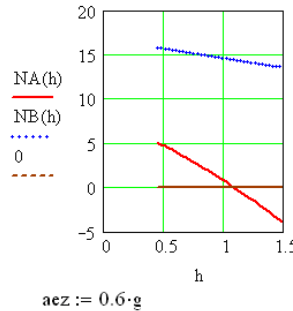
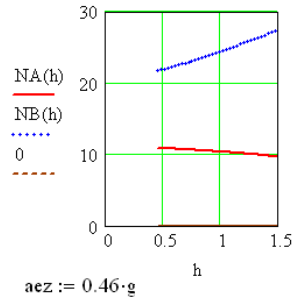


Рис. 6. Графическая зависимость  $N_A = f(h)$  и  $N_B = f(h)$

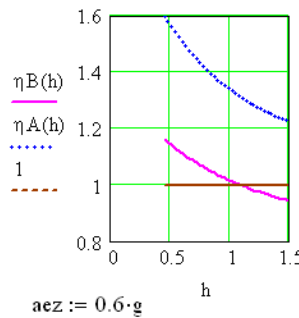


Рис. 7. Графическая зависимость  $\eta_B = f(h)$  и  $\eta_A = f(h)$

При заданных исходных данных, то есть при смещении центра масс остатка наливной жидкости в сторону наружной рельсовой нити на величину  $yM = 0,047$  м (47 мм), реакции рельсовых нитей соответственно получились равными  $N_A = 5,0$  и  $N_B = 15,6$  кН, что может нарушить безопасность движения поезда. Наружная рельсовая нить оказалась перегруженной дополнительной реакцией  $\Delta N_B = 36$ , а внутренняя — разгруженной дополнительной реакцией

такой же величины ( $\Delta N_A = 36$  кН) в случае вычисления по формулам (15) и (16).

С увеличением высоты остатка наливной жидкости в цистерне, когда вертикальное переносное ускорение незначительное ( $a_{ez} = 0,46g$ ), реакция наружной рельсовой нити увеличивается, а внутренней нити уменьшается, что соответствует действительности, в то время как когда вертикальное переносное ускорение имеет значительную величину ( $a_{ez} = 0,6g$ ), происходит уменьшение реакции наружной рельсовой нити, что является парадоксальным.

При значительном отклонении от норм содержания пути, чему соот-

ветствует вертикальное переносное ускорение  $a_{ez} = 0,6g$ , реакция внутренней рельсовой нити при высоте остатка наливной жидкости порядка 1,0 м имеет отрицательное значение, что показывает, что произойдет опрокидывания цистерны. Коэффициент устойчивости цистерны при высоте остатка наливной жидкости порядка 1,0 м находится на границе устойчивости, что подтверждает нарушение безопасности движения. Отсюда ясно, что на значения реакции рельсовых нитей преобладающее влияние оказывают отклонения норм содержания пути, независимо от заполнения котла цистерны. ■

### Литература

1. Комаров К. Л. Теоретическая механика в задачах железнодорожного транспорта / К. Л. Комаров, А. Ф. Яшин. — Новосибирск : Наука, 2004. — 296 с.
2. Туранов Х. Т., Ситников С. А. Моделирование нагруженности рельсовой колеи при несимметричном размещении общего центра тяжести негабаритного груза поперек вагона / Транспорт Урала, 2007, № 1. — С. 97–104. ISSN 1815-9400.
3. Туранов Х. Т. Теоретическая механика в задачах грузовых перевозок : монография. Новосибирск : Наука, 2009. — 374 с.
4. Бронштейн И. Н. Справочник по математике / И. Н. Бронштейн, К. А. Семендяев. — М. : Наука, 1980. — 976 с.
5. Лойцянский Л. Г. Курс теоретической механики. Т. II. Динамика / Л. Г. Лойцянский, А. И. Лурье. — М. : Наука, 1983. — 640 с.
6. Кирьянов Д. Самоучитель MathCAD 13. СПб : БХБ-Петербург, 2006. — 528 с.
7. Бать М. И. Теоретическая механика в примерах и задачах. Т. I / М. И. Бать, Г. Ю. Джанелидзе, А. С. Кельзон. М. : Наука, 1990. — С. 274–280.
8. Яблонский А. А. Курс теоретической механики / А. А. Яблонский, В. М. Никифорова. СПб : Изд-во «Лань», 1998. — 768 с.
9. Карпущенко Н. И. Боковой износ рельсов и безопасность движения / Н. И. Карпущенко, И. А. Котова // Путь и путевое хозяйство. № 5. 2005. — С. 9–11.
10. Расчет реакции рельсовых нитей при движении цистерны с остатками наливной жидкости по кривому участку пути : свид. 2007613977 Рос. Федерации.

### References

1. Komarov K. L. Teoreticheskaja mekhanika v zadachakh zheleznodorozhnogo transporta [Theoretical mechanics in problems of railway transport] / K. L. Komarov, A. F. Yashin. — Novosibirsk : Nauka, 2004. — 296 s. Komarov K. L.
2. Turanov Kh. T., Sitnikov S. A. Modelirovanie nagruzhennosti relsovoj kolei pri nesimmetrichnom razmeshchenii obshchego tsentra tjazhesti negabaritnogo gruzha poperek vagona [Simulation of gauge load with asymmetric gravity center of oversized cargo across a rail car] // Transport Urala, 2007, № 1. S. 97–104. ISSN 1815-9400.
3. Turanov Kh. T. Teoreticheskaja mekhanika v zadachakh gruzovykh perevozok [Theoretical mechanics in problems of freight transportations] : monografija. Novosibirsk : Nauka, 2009. — 374 s.
4. Bronshtein I. N. Spravochnik po matematike [Mathematics' manual] / I. N. Bronshtein, K. A. Semendaev. — M. : Nauka, 1980. — 976 s.
5. Loitsyansky L. G. Kurs teoreticheskoy mekhaniki [Course of theoretical mechanics]. Т. II. Dinamika / L. G. Loitsyansky, A. I. Lurie. — M. : Nauka, 1983. — 640 s.

6. Kiryanov D. Samouchitel MathCAD 13 [Manual for self-tuition MathCAD 13]. SPb : BHB-Peterburg, 2006.— 528 s.
7. Bat M.I. Teoreticheskaja mekhanika v primerakh i zadachah [Theoretical mechanics in case studies and problems]. T. I / M.I. Bat, G. Yu. Dzhanelidze, A. S. Kelzon. M. : Nauka, 1990. — S. 274–280.
8. Yablonsky A. A. Kurs teoreticheskoy mekhaniki [Course of theoretical mechanics] / A. A. Yablonsky, V. M. Nikiforova. SPb : Izd-vo «Lan», 1998. — 768 s.
9. Karpushchenko N. I. Bokovoj iznos relsov i bezopasnost dvizhenija [Rails' side wear and traffic safety] / N. I. Karpushchenko, I. A. Kotova // Put i putevoe hozjajstvo. № 5. 2005. — S. 9–11.
10. Raschjot reaktsii relsovykh nitej pri dvizhenii tsisterny s ostatkami nalivnoj zhidkosti po krivomu uchastku puti [Calculation of track rails during tank movement with a rest of bulk cargo on a curved track] : a. s. 2007613977 Ros. Federatsii.

*Статья сдана в редакцию 14 февраля 2012 года*

УДК 629.4.014.22

*А. П. Буйносов, В. А. Тихонов*

## **Выбор профиля поверхности катания бандажей колесных пар электровозов ВЛ11**

UDC 629.4.014.22

*A. P. Buinosov, V. A. Tikhonov*

## **Choice of wheel pairs tires' roll surface profile of electric locomotives vl11**

### **Аннотация**

В статье приведены методики определения наиболее эффективного профиля поверхности катания бандажей исходя из критерия максимального ресурса до обточки колесных пар и критерия оптимального соотношения величины износа гребня и нарастания проката по кругу катания в зависимости от толщины бандажей электровозов. Выполнен сравнительный анализ изнашивания колесных пар электровозов, приписанных к локомотивному депо Пермь-сортировочная, на основе полученных зависимостей линейной и полиномиальной зависимостей значений контролируемых параметров от пробега, определения 95%-ного ресурса бандажей до обточки. Полученные результаты позволяют утверждать, что не существует одного единственного наиболее эффективного профиля поверхности катания бандажей даже для одной серии электровозов (ВЛ11), приписанных к одному локомотивному депо Пермь-сортировочная и работающих в самых разных условиях на железных дорогах. Приведены рекомендации по применению наиболее эффективного профиля поверхности катания в зависимости от толщины бандажей.

### **Ключевые слова:**

бандаж, профиль, износ, полиномиальная регрессия, ресурс.

### **Abstract**

The detection methods of the most effective tires' roll surface profile based on maximum resource till wheel pair turning and criterion of optimum relationship of flange wear value and wheel rolling circle depending on thickness of electric locomotives' tires are adduced. The comparative analysis of wheel pairs' wear of electric locomotives belonging to locomotive depot Perm-marshalling yard on the base of dependences of linear relationship and polynomial relationship of controlled parameters on running detection of 95% resource till tires' turning is made. The received data show that there is not the most effective tires' roll surface profile for one class of electric locomotives (VL11) belonging to the same locomotive depot Perm-marshalling yard and working in different conditions at railways. There are given recommendations of use of the most effective roll surface profile depending on tires' thickness.

### **Key words:**

wheel tire, profile, wear, polynomial regression, resource.

**Буйносов Александр Петрович** — д-р техн. наук, доцент; кафедра «Электрическая тяга» Уральского государственного университета путей сообщения, Екатеринбург, Россия. E-mail: buinosov@mail.ru.

**Тихонов Виктор Артурович** — аспирант, ассистент; кафедра «Электрическая тяга» Уральского государственного университета путей сообщения, Екатеринбург, Россия. E-mail: va.tikhonov@yandex.ru.

**Alexander P. Buinosov** — DSc, associate professor, «Electric Traction» Department, The Ural State University of Railway Transport, Yekaterinburg, Russia. E-mail: buinosov@mail.ru.

**Viktor A. Tikhonov** — PhD, assistant, «Electric Traction» Department, The Ural State University of Railway Transport, Yekaterinburg, Russia. E-mail: va.tikhonov@yandex.ru.

Ресурс колесных пар определяется периодичностью технического обслуживания ТО-4, на котором производится обточка бандажей с целью восстановления профиля поверхности катания, и ремонтов ТР-3, на которых производится замена полностью изношенных бандажей. Срок службы при прочих равных условиях во многом зависит от профиля поверхности катания [1].

Поэтому выбор наиболее эффективного профиля исходя из критерия максимального использования ресурса бандажей очень важен и требует повышенного внимания.

В последние годы на магистральном железнодорожном транспорте уменьшилось количество обточек бандажей колесных пар электровозов по предельному износу гребней. Однако проблема повышенного износа колесных пар остается актуальной, поскольку параметрические отказы бандажей в настоящее время составляют еще значительную часть от общего числа отказов деталей и узлов электровозов [2].

В настоящее время на электровозах серии ВЛ11 приписки эксплуатационных локомотивных депо Свердловской железной дороги используются два профиля поверхности катания бандажа — профиль ГОСТ 11018–2000, рис. 3, и профиль ДМетИ (ЛР) с уменьшенной до 30 мм толщиной гребня.

На основании собранной статистической информации об износе колесных пар (декабрь 2010 — май 2011 гг.) выполнен сравнительный анализ изнашивания бандажей грузовых электровозов ВЛ11 приписки к эксплуатационному локомотивному депо Пермь-сортировочная. Наблюдения велись за всем эксплуатируемым парком электровозов ВЛ11 в двух- и трехсекционном исполнении.

В настоящее время существует методика сравнительного анализа, которая при изменении значений контролируемых параметров (прокат,

толщина гребня и бандажа) от пробега предполагает между ними линейную зависимость, используя которую определяется 90%-ный ресурс бандажей колесных пар до обточки и смены [3].

Однако при обточке колесных пар без выкатки из-под локомотива в депо не всегда полностью восстанавливают профиль поверхности катания бандажей, оставляя при этом «черновину» на рабочей поверхности гребня и по кругу катания [4]. Поэтому для более точного прогнозирования износа и определения ресурса бандажей колесных пар электровозов в эксплуатации целесообразно определять следующие параметры: прокат (разность между величиной проката оставляемого после обточки бандажа и прокатом на момент замера), износ гребня (разницу между замером толщины гребня и толщиной гребня, оставляемой при обточке) и уменьшение толщины бандажа (разницу между начальной толщиной бандажа и толщиной бандажа на момент замера) от пробега, отсчет которого производится от момента восстановления (обточки или смены) профиля бандажей. При этом все контролируемые параметры с увеличением пробега возрастают, что позволяет не только унифицировать методику анализа, но и сделать ее более наглядной.

Для определения наиболее эффективного профиля поверхности катания исходя из критерия максимального использования ресурса бандажей в ремонтном локомотивном депо Пермь велись наблюдения за 540 секциями электровозов ВЛ11, которые были разделены на пять групп: группа 1 — 81 секция электровозов, колесные пары которых были обточены по профилю ГОСТ 11018–2000, рис. 3, и имели начальную толщину бандажа  $90 \pm 2,1$  мм; группа 2 — 147 секций, колесные пары которых были обточены по профилю ДМетИ (ЛР) с толщиной бандажа  $90 \pm 4,2$  мм;

группа 3 — 83 секции с профилем ДМетИ (ЛР) и толщиной бандажа  $80 \pm 3,6$  мм; группа 4 — 101 секции с профилем ДМетИ (ЛР) и толщиной бандажа  $70 \pm 2,4$  мм; группа 5 — 128 секции с профилем ДМетИ (ЛР) и толщиной бандажа  $60 \pm 4,4$  мм.

Замеры контролируемых параметров производились на плановых осмотрах и ремонтах. По книгам регистрации эксплуатационных показателей и форм ТХО-5 для каждого значения определялся пробег локомотива до момента замера. Контролируемые параметры бандажей измерялись с помощью прибора КИП-03 [5], относительная погрешность которого не превышает 2–5 %.

Минимально необходимые объемы выборок контролируемых параметров бандажей колесных пар электровозов оценивались по методике [1], значения, полученные для доверительной вероятности  $v = 0,95$  и относительной ошибки  $w = 5\%$ , приведены в таблице 1.

Из таблицы 1 видно, что есть существенный избыток объема обработанной статистической информации по сравнению с минимально необходимой величиной, что повышает достоверность полученных результатов,

который, однако, оплачен большой работой по сбору исходных данных об износе бандажей колесных пар электровоза ВЛ11.

Выборки контролируемых параметров элементов механической части локомотивов (в том числе и бандажей колесных пар), подверженных износу, с высокой точностью описываются нормальным законом распределения [6]. При этом прогнозирование ресурса осуществляется на основании зависимостей среднего значения  $M_y$  и среднеквадратического отклонения  $\sigma_y$  от пробега  $L$ , полученных при аппроксимации эмпирических зависимостей  $M_y^*(L)$  и  $\sigma_y^*(L)$  соответственно. Другими словами, при прогнозировании ресурса отдельно для каждой зависимости математического ожидания и среднеквадратического отклонения от пробега, составляется функция:

$$y(L) = \begin{cases} M_y(L) - \text{при аппроксимации} \\ \text{зависимости } M_y^*(L); \\ \sigma_y(L) - \text{при аппроксимации} \\ \text{зависимости } \sigma_y^*(L). \end{cases} \quad (1)$$

В настоящее время для оценки ресурса бандажей колесных пар ис-

Таблица 1

Объемы выборок контролируемых параметров бандажей колесных пар электровозов ВЛ11

Тип профиля	Средняя начальная толщина бандажа, мм	Наименование	Объемы выборок, $N$	
			минимально необходимые	использованные при расчете
ГОСТ 11018–2000	90	Прокат	107	2526
		Износ гребня	168	2506
ДМетИ (ЛР)	90	Прокат	49	3585
		Износ гребня	86	3812
	80	Прокат	62	1938
		Износ гребня	145	1953
	70	Прокат	41	2480
		Износ гребня	143	2525
	60	Прокат	76	2849
		Износ гребня	154	2826

пользуется методика, основанная на аппроксимации линейной зависимостью изменений значений числовых характеристик контролируемых параметров от пробега [1, 7]:

$$y(L) = A + B \cdot L, \quad (2)$$

где  $A$  и  $B$  — коэффициенты, определяемые по существующей методике [1].

Результаты расчета коэффициентов уравнений линейных регрессий контролируемых параметров при различной начальной толщине бандажа приведены в таблицах 2 и 3.

Таблица 2

Коэффициенты уравнений линейной регрессии износа гребней бандажей колесных пар электровозов ВЛ11

Зависимость	Коэффициенты уравнений регрессии		Коэффициент корреляции, $R_{y1}$	Остаточная дисперсия, $S_0^2$ , мм <sup>2</sup>
	$A$ , мм	$B$ , мм/10 <sup>4</sup> км		
Профиль ГОСТ 11018-2000 (рис. 3)				
$M_y(L)$	0,162	0,478	0,935	0,293
$\sigma_y(L)$	0,342	0,106	0,705	0,160
Профиль ДМетИ (ЛР) при средней начальной толщине бандажа 90 мм				
$M_y(L)$	0,231	0,287	0,965	0,124
$\sigma_y(L)$	0,387	0,082	0,580	0,160
Профиль ДМетИ (ЛР) при средней начальной толщине бандажа 80 мм				
$M_y(L)$	-0,055	0,514	0,944	0,248
$\sigma_y(L)$	0,305	0,145	0,752	0,165
Профиль ДМетИ (ЛР) при средней начальной толщине бандажа 70 мм				
$M_y(L)$	0,087	0,410	0,930	0,262
$\sigma_y(L)$	0,343	0,140	0,823	0,151
Профиль ДМетИ (ЛР) при средней начальной толщине бандажа 60 мм				
$M_y(L)$	-0,023	0,512	0,944	0,261
$\sigma_y(L)$	0,219	0,222	0,811	0,223

Таблица 3

Коэффициенты уравнений линейной регрессии увеличения проката колесных пар электровозов ВЛ11

Зависимость	Коэффициенты уравнений регрессии		Коэффициент корреляции, $R_{y1}$	Остаточная дисперсия, $S_0^2$ , мм <sup>2</sup>
	$A$ , мм	$B$ , мм/10 <sup>4</sup> км		
Профиль ГОСТ 11018-2000 (рис. 3)				
$M_y(L)$	-0,159	0,293	0,779	0,362
$\sigma_y(L)$	0,157	0,156	0,796	0,183
Профиль ДМетИ (ЛР) при средней начальной толщине бандажа 90 мм				
$M_y(L)$	-0,056	0,176	0,957	0,085
$\sigma_y(L)$	0,127	0,156	0,940	0,090
Профиль ДМетИ (ЛР) при средней начальной толщине бандажа 80 мм				
$M_y(L)$	-0,116	0,214	0,847	0,181
$\sigma_y(L)$	0,099	0,153	0,920	0,091
Профиль ДМетИ (ЛР) при средней начальной толщине бандажа 70 мм				
$M_y(L)$	-0,054	0,099	0,702	0,150
$\sigma_y(L)$	0,133	0,082	0,721	0,119
Профиль ДМетИ (ЛР) при средней начальной толщине бандажа 60 мм				
$M_y(L)$	-0,106	0,259	0,861	0,217
$\sigma_y(L)$	0,192	0,143	0,750	0,172

Однако при линейной аппроксимации не учитывается ряд факторов: техническое состояние пути и локомотива, режим ведения поезда и другие. Их действие приводит к увеличению по времени периода приработки и более позднему наступлению периода нормальной эксплуатации, раннему наступлению периода усиленного износа. Опытным путем было установлено, что в различных депо для локомотивов разных серий наступление различных периодов происходит при неодинаковой величине износа бандажа. Применение линейной функции для всех без исключения случаев снижает точность прогноза износа бандажей колесных пар локомотивов.

Указанных недостатков лишена модель, основанная на полиномиальной функции. При этом зависимости математического ожидания  $M_y(L)$  и среднеквадратического отклонения  $\sigma_y(L)$  от пробега аппроксимируются в виде полиномов

$$y(L) = \sum_{i=0}^m (A_i \cdot L^i). \quad (3)$$

где  $A_i$  — коэффициенты полиномов;  $m$  — порядок полинома.

Оптимальная степень полинома определяется из условия монотонного возрастания функции на исследуемом интервале, а также минимальной величины дисперсии исходной выборки от аппроксимированной зависимости. Результаты расчета коэффициентов уравнений полиномиальных регрессий контролируемых параметров (износ гребня и увеличение проката) приведены в таблицах 4 и 5.

Сравнивая полученные данные, можно сделать вывод, что использование для описания изменения значений числовых характеристик, которые определяют зависимости значений контролируемых параметров от пробега полиномиальных функций, показывает более тесную статистическую связь между эмпирической

и аппроксимированной зависимостями. Это подтверждается меньшими значениями остаточных дисперсий и коэффициентами корреляции больше 0,735 в случае использования полиномиальных зависимостей  $M_x(L)$  и  $\sigma_x(L)$ .

В качестве подтверждения повышения точности прогнозирования при использовании полиномиальной модели используется статистическая гипотеза о равенстве остаточных дисперсий уравнений регрессии контролируемого параметра. Проверка производится по критерию Фишера ( $F$ -критерию):

$$F = \frac{S_{0\text{лин.}}^2}{S_{0\text{пол.}}^2}, \quad (4)$$

где  $S_{0\text{лин.}}^2$  — дисперсия выборки аппроксимированной линейной функцией;  $S_{0\text{пол.}}^2$  — то же, полиномиальной функцией.

Распределение Фишера табулировано, величина  $F$ -критерия зависит от уровня значимости  $\alpha$  и числа степеней свободы  $m$ . При  $F < F_{\alpha, m}$  различие остаточных дисперсий  $S_{0\text{лин.}}^2$  и  $S_{0\text{пол.}}^2$  можно считать случайным, то есть гипотеза принимается. В противном случае гипотеза отвергается и делается вывод, что между дисперсиями выборок от аппроксимированной линейной и полиномиальной функций имеются значительные различия, что свидетельствует о большей точности полиномиальной функции.

В тех случаях, когда расчетная величина  $F$ -критерия превышала табличное значение, принималась гипотеза о равенстве остаточных дисперсий и полиномиальная функция рассматривалась как равнозначный вариант линейной аппроксимации. При этом возможно с высокой точностью описать процесс изнашивания как с помощью линейного, так и с применением полиномиального вида аппроксимированной зависимостью.

Таблица 4

Коэффициенты уравнений полиномиальной регрессии износа гребней бандажей колесных пар электровозов ВЛ11

Зависимость	Уравнения регрессии	Коэффициент корреляции, $R_{y1}$	Остаточная дисперсия, $S_0^2$ , мм <sup>2</sup>
Профиль ГОСТ 11018–2000 (рис. 3)			
$M_y(L)$	$0,086 + 0,096 \cdot L - 0,002 \cdot L^2 + 2,874 \cdot 10^{-5} \cdot L^3$	0,978	0,194
$\sigma_y(L)$	$0,130 + 0,052 \cdot L - 0,001 \cdot L^2 + 1,229 \cdot 10^{-5} \cdot L^3$	0,868	0,121
Профиль ДМетИ (ЛР) при средней начальной толщине бандажа 90 мм			
$M_y(L)$	$0,157 + 0,041 \cdot L - 0,337 \cdot 10^{-3} \cdot L^2 + 2,493 \cdot 10^{-6} \cdot L^3$	0,970	0,132
$\sigma_y(L)$	$0,206 + 0,037 \cdot L - 0,790 \cdot 10^{-3} \cdot L^2 + 4,5,680 \cdot 10^{-6} \cdot L^3$	0,772	0,134
Профиль ДМетИ (ЛР) при средней начальной толщине бандажа 80 мм			
$M_x(L)$	$0,032 + 0,099 \cdot L - 0,007 \cdot L^2 + 0,261 \cdot 10^{-3} \cdot L^3 - 4,363 \cdot 10^{-6} \cdot L^4 + 2,927 \cdot 10^{-8} \cdot L^5$	0,998	0,073
$\sigma_y(L)$	$0,116 + 0,049 \cdot L - 1,049 \cdot 10^{-3} \cdot L^2 + 7,689 \cdot 10^{-6} \cdot L^3$	0,913	0,116
Профиль ДМетИ (ЛР) при средней начальной толщине бандажа 70 мм			
$M_y(L)$	$0,148 + 0,059 \cdot L - 1,439 \cdot 10^{-3} \cdot L^2 + 1,955 \cdot 10^{-5} \cdot L^3$	0,976	0,178
$\sigma_y(L)$	$0,167 + 0,050 \cdot L - 1,231 \cdot 10^{-3} \cdot L^2 + 1,118 \cdot 10^{-5} \cdot L^3$	0,907	0,126
Профиль ДМетИ (ЛР) при средней начальной толщине бандажа 60 мм			
$M_y(L)$	$0,027 + 0,134 \cdot L - 0,010 \cdot L^2 + 0,365 \cdot 10^{-3} \cdot L^3 - 5,468 \cdot 10^{-6} \cdot L^4 + 3,033 \cdot 10^{-8} \cdot L^5$	0,993	0,134
$\sigma_y(L)$	$0,174 + 0,048 \cdot L - 0,001 \cdot L^2 + 1,892 \cdot 10^{-5} \cdot L^3$	0,851	0,229

Таблица 5

Коэффициенты уравнений полиномиальной регрессии увеличения проката бандажей колесных пар электровозов ВЛ11

Зависимость	Уравнения регрессии	Коэффициент корреляции, $R_{y1}$	Остаточная дисперсия, $S_0$ , мм
Профиль ГОСТ 11018–2000, рис. 3			
$M_y(L)$	$0,113 + 0,391 \cdot 10^{-3} \cdot L^2 + 2,186 \cdot 10^{-8} \cdot L^4$	0,886	0,276
$\sigma_y(L)$	$0,171 + 0,020 \cdot L - 0,347 \cdot 10^{-3} \cdot L^2 + 4,588 \cdot 10^{-6} \cdot L^3$	0,812	0,201
Профиль ДМетИ (ЛР) при средней начальной толщине бандажа 90 мм			
$M_y(L)$	$-0,039 + 0,156 \cdot L + 3,050 \cdot 10^{-5} \cdot L^2$	0,957	0,089
$\sigma_y(L)$	$0,052 + 0,024 \cdot L - 0,141 \cdot 10^{-3} \cdot L^2$	0,964	0,074
Профиль ДМетИ (ЛР) при средней начальной толщине бандажа 80 мм			
$M_y(L)$	$-0,012 + 0,895 \cdot 10^{-3} \cdot L^2 - 5,345 \cdot 10^{-7} \cdot L^4 + 1,374 \cdot 10^{-10} \cdot L^6$	0,939	0,135
$\sigma_y(L)$	$0,022 + 0,031 \cdot L - 0,502 \cdot 10^{-3} \cdot L^2 + 4,218 \cdot 10^{-6} \cdot L^3$	0,947	0,086
Профиль ДМетИ (ЛР) при средней начальной толщине бандажа 70 мм			
$M_y(L)$	$0,044 + 0,263 \cdot 10^{-3} \cdot L^2 - 1,544 \cdot 10^{-7} \cdot L^4 + 3,529 \cdot 10^{-11} \cdot L^6$	0,966	0,058
$\sigma_y(L)$	$0,235 + 5,786 \cdot 10^{-5} \cdot L^2 + 1,900 \cdot 10^{-8} \cdot L^4$	0,735	0,124
Профиль ДМетИ (ЛР) при средней начальной толщине бандажа 60 мм			
$M_y(L)$	$0,014 + 0,015 \cdot L + 0,314 \cdot 10^{-3} \cdot L^2 - 1,635 \cdot 10^{-5} \cdot L^3 - 2,682 \cdot 10^{-7} \cdot L^4$	0,933	0,190
$\sigma_y(L)$	$0,013 + 0,061 \cdot L - 1,961 \cdot 10^{-3} \cdot L^2 + 2,146 \cdot 10^{-5} \cdot L^3$	0,860	0,149

Результаты проверки по критерию Фишера найденных уравнений регрессии для уровня значимости 0,05 приведены в таблицах 6 и 7.

Таким образом, гипотеза не принимается в большинстве случаев, что позволяет рассматривать полиномиальную аппроксимацию износа гребня от пробега как более точную

модель для прогнозирования износа бандажей колесных пар локомотивов по сравнению с линейной функцией, тогда как при рассмотрении нарастания проката от пробега можно использовать либо линейную, либо полиномиальную зависимости.

На основании выполненных расчетов коэффициентов линейной

Таблица 6

Результаты проверки гипотезы о равенстве остаточных дисперсий для зависимостей износа гребней бандажей колесных пар электровозов ВЛ11

Тип профиля	Средняя начальная толщина бандажа, мм	Зависимость	Расчетное значение критерия, $F$	Табличное значение критерия, $F_{\alpha, m}$	Гипотеза верна?
ГОСТ 11018–2000	90	$M_y(L)$	1,510	1,130	Нет
		$\sigma_y(L)$	1,322	1,130	Нет
ДМетИ (ЛР)	90	$M_y(L)$	0,939	1,130	Да
		$\sigma_y(L)$	1,194	1,130	Нет
	80	$M_y(L)$	3,397	1,130	Нет
		$\sigma_y(L)$	1,422	1,130	Нет
	70	$M_y(L)$	1,472	1,130	Нет
		$\sigma_y(L)$	1,198	1,130	Нет
	60	$M_y(L)$	1,948	1,130	Нет
		$\sigma_y(L)$	0,974	1,130	Да

Таблица 7

Результаты проверки гипотезы о равенстве остаточных дисперсий для зависимостей проката бандажей колесных пар электровозов ВЛ11

Тип профиля	Средняя начальная толщина бандажа, мм	Зависимость	Расчетное значение критерия, $F$	Табличное значение критерия, $F_{\alpha, m}$	Гипотеза верна?
ГОСТ 11018–2000	90	$M_y(L)$	1,312	1,130	Нет
		$\sigma_y(L)$	0,910	1,130	Да
ДМетИ (ЛР)	90	$M_y(L)$	0,955	1,130	Да
		$\sigma_y(L)$	1,216	1,130	Нет
	80	$M_y(L)$	1,341	1,130	Нет
		$\sigma_y(L)$	1,058	1,130	Да
	70	$M_y(L)$	2,586	1,130	Нет
		$\sigma_y(L)$	0,960	1,130	Да
	60	$M_y(L)$	1,142	1,130	Нет
		$\sigma_y(L)$	1,154	1,130	

и полиномиальной регрессии построены эмпирические и аналитические зависимости среднего значения и среднеквадратического отклонения контролируемых параметров бандажей колесных пар электровозов от пробега. На рис. 1–6 приве-

дены зависимости среднего значения и среднеквадратического отклонения износа гребня от пробега бандажей, имеющих профиль по ГОСТ 11018–2000, рис. 3 и ДМетИ (ЛР) при средней начальной толщине бандажа 90 и 70 мм.

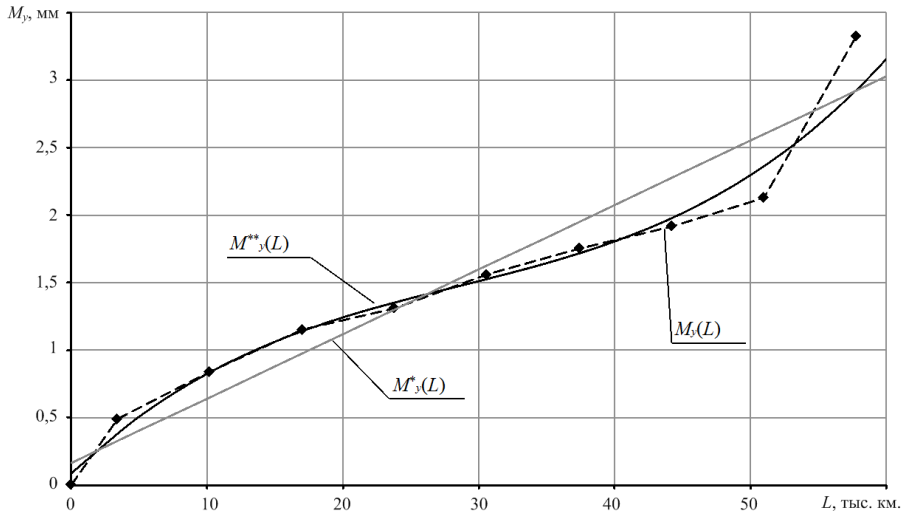


Рис. 1. Зависимость среднего значения износа гребня бандажей колесных пар, обточенных по профилю ГОСТ 11018–2000, рис. 3, от пробега

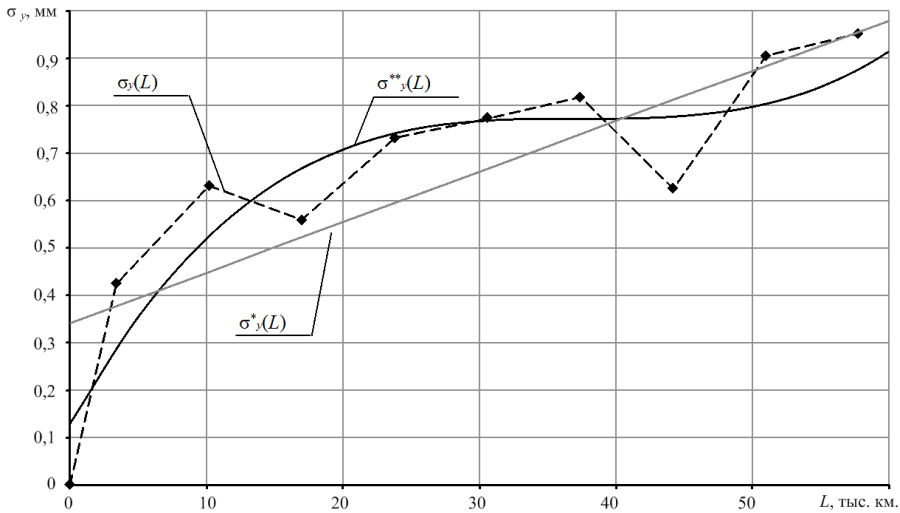


Рис. 2. Зависимость от пробега среднеквадратического отклонения величины износа гребня бандажей колесных пар, обточенных по профилю ГОСТ 11018–2000, рис. 3

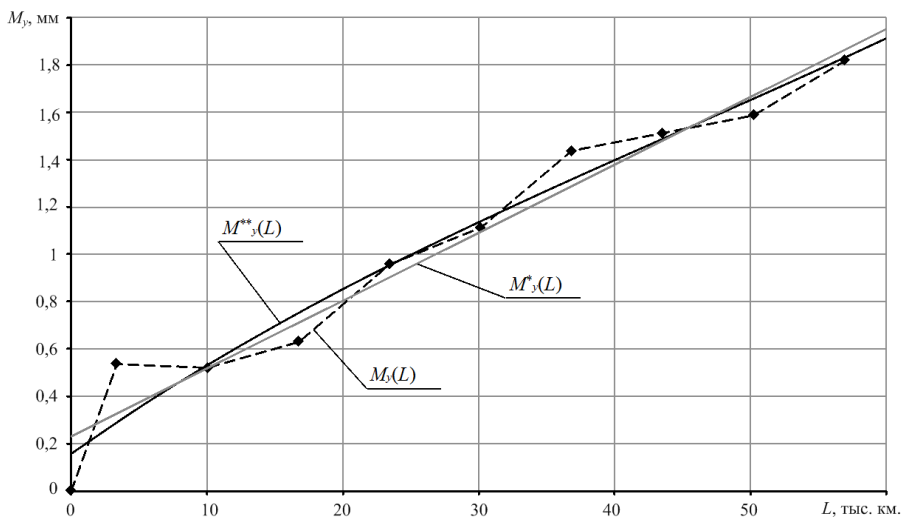


Рис. 3. Зависимость от пробега среднего значения износа гребня бандажей колесных пар, обточенных по профилю ДМетИ (ЛР) при средней начальной толщине бандажа 90 мм

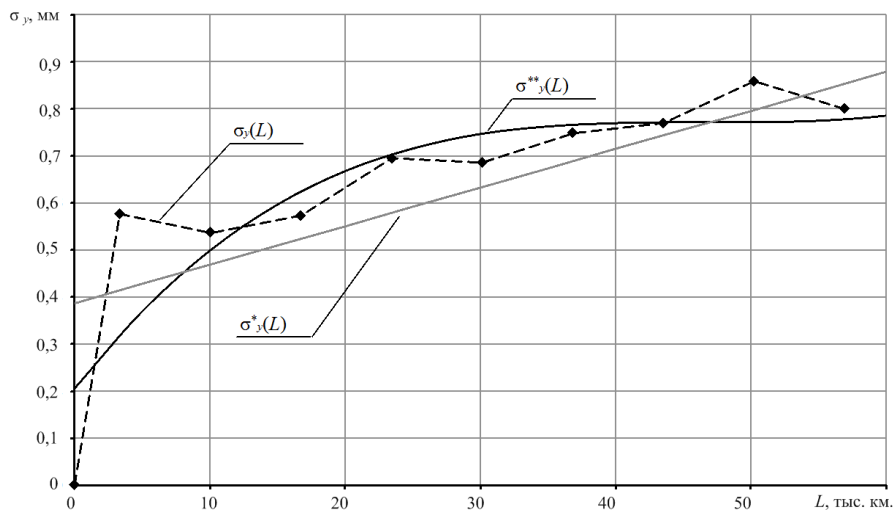


Рис. 4. Зависимость от пробега среднеквадратического отклонения увеличения износа гребня бандажей, обточенных по профилю ДМетИ (ЛР) при средней начальной толщине бандажа 90 мм

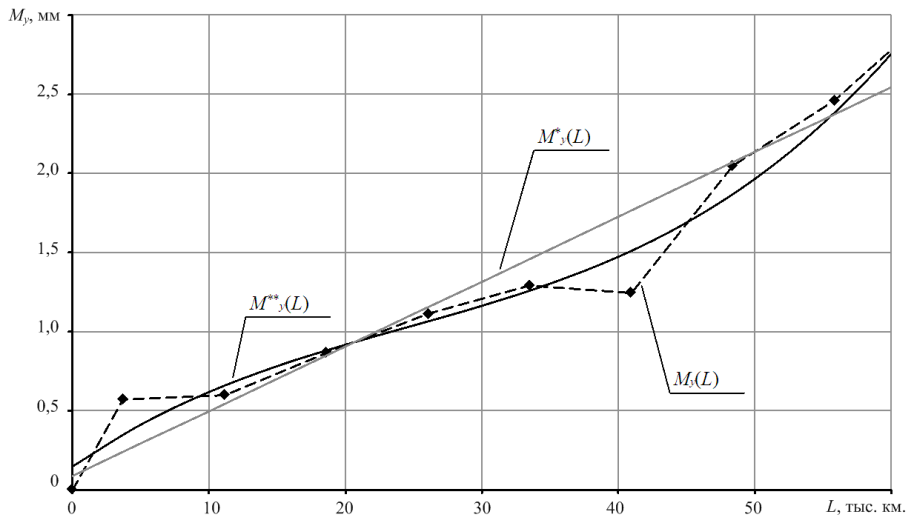


Рис. 5. Зависимость от пробега среднего значения износа гребня бандажей колесных пар, обточенных по профилю ДМетИ (ЛР) при средней начальной толщине бандажа 70 мм

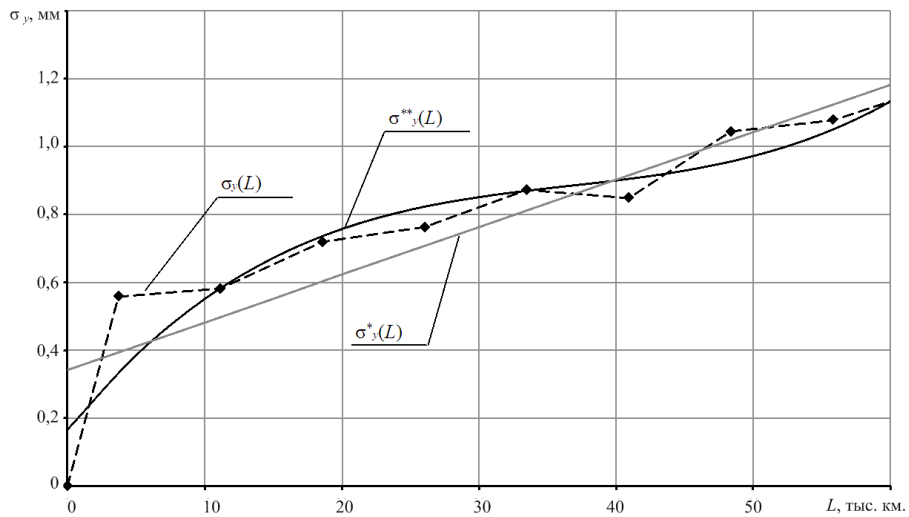


Рис. 6. Зависимость от пробега среднеквадратического отклонения увеличения износа гребня бандажей, обточенных по профилю ДМетИ (ЛР) при средней начальной толщине бандажа 70 мм

Используя полученные зависимости  $M_y(L)$  и  $\sigma_y(L)$ , можно осуществить прогнозирование процесса изнашивания и определить как полный, так и остаточный ресурсы бандажей колесных пар электровозов ВЛ11.

При расчете было установлено, что ресурс по предельной величине нарастания проката превышает ресурс по предельному износу гребня в 1,2–1,5 раза для всех рассмотренных вариантов пары «профиль поверхности катания — толщина бандажа». Таким образом, целесообразно в дальнейшем исследовании принять в качестве единственного лимитирующего ресурс бандажей фактора предельный износ гребня.

Выход контролируемых параметров за установленный допуск классифицируется как отказ работы бандажа, или предельный износ. Установленная предельная величина износа гребня для электровозов серии ВЛ11 составляет 8 мм для профиля ГОСТ 11018–2000 и 5 мм — для профиля ДМетИ (ЛР) с гребнем толщиной 30 мм. Для износа гребня вероятность отказа возрастает с увеличением пробега  $L$  и при заданном его значении в общем случае равна [1, 8]:

$$P(L) = \int_{Y_{\text{доп}}}^{M_y(L)+3\sigma_y(L)} f_y(L) dy. \quad (5)$$

При полиномиальной форме зависимостей  $M_y(L)$  и  $\sigma_y(L)$ :

$$\begin{aligned} M_y(L) &= \sum_{i=0}^m (A_i \cdot L^i), \\ \sigma_y(L) &= \sum_{i=0}^n (B_i \cdot L^i), \end{aligned} \quad (6)$$

где  $A_i$  и  $B_i$  — коэффициенты полиномов зависимостей соответственно среднего значения и среднеквадратического отклонения износа гребня бандажей колесных пар локомотивов от пробега.

Тогда функция плотности распределения примет вид

$$P(L) = \frac{1}{\sqrt{2\pi}} \int_{Y_{\text{доп}}}^{\sum_{i=0}^m (A_i \cdot L^i) + 3 \sum_{i=0}^n (B_i \cdot L^i)} \frac{1}{\sum_{i=0}^n (B_i \cdot L^i)} \cdot e^{-\frac{\left[ Y - \sum_{i=0}^m (A_i \cdot L^i) \right]^2}{2 \sum_{i=0}^n (B_i \cdot L^i)}} dy. \quad (7)$$

Переносной электронный прибор КИП-03 (относительная погрешность составляет 2–5%) с программным обеспечением на ПЭВМ по сравнению с универсальным шаблоном УТ-1М (погрешность 10% и более) позволяет более точно производить замеры контролируемых параметров, имея величину [9]. При выполнении восстановления контролируемых параметров бандажей при пробеге до достижения величины наработки, равной 95%-го полного ресурса, вероятность отказа бандажа до этого момента не превысит 5%. При этом отклонение измеренного значения контролируемого параметра от реальной величины также окажется в пределах  $\pm 5\%$ , что покрывается интервалом относительной погрешности прибора КИП-03.

На основании выполненных расчетов строятся зависимости  $P(L)$  и по ним определяется  $\gamma\%$ -ный ресурс колесных пар, то есть такой пробег, которому соответствует вероятность безотказной работы или вероятность отказа  $P = 1 - \gamma$ . Результаты выполненных расчетов по прогнозированию ресурса бандажей приведены в таблице 8.

Из [10] следует, что рациональный профиль поверхности катания бандажа определяется по отношению:

$$K = \frac{\Delta}{\delta}, \quad (8)$$

где  $\Delta$  — величина износа гребня по толщине, мм;  $\delta$  — нарастание проката по кругу катания, мм.

Сравнение полученного значения коэффициента с установленными  $K_0$  [1, 10], которые составляют:  $K_0 = 0,466$  для профиля ГОСТ 11018–2000, рис. 3 и  $K_0 = 0,364$  для профиля ДМетИ (ЛР), позволяет сделать выводы о целесообразности применения того или иного типа профиля поверхности катания при различных эксплуатационных условиях электровозов.

Статистическая обработка собранного материала позволила рассчитать зависимость величины увеличения проката от износа гребня. Примеры полученных зависимостей приведены на рис. 7–9.

Значения коэффициентов  $K$ , определенные в результате расчета, приведены для различных групп бандажей в табл. 9.

Таблица 8

Ресурс до обточки бандажей колесных пар электровозов ВЛ11, по предельной величине износа гребня

Тип профиля	Средняя начальная толщина бандажа, мм	Тип регрессии	Ресурс бандажей, тыс. км	Средний ресурс бандажей, тыс. км
ГОСТ 11018–2000	90	Линейная	80,7	78,1
		Полиномиальная	75,5	
ДМетИ (ЛР)	90	Линейная	98,2	94,5
		Полиномиальная	90,8	
	80	Линейная	60,7	58,0
		Полиномиальная	55,3	
	70	Линейная	58,2	55,5
		Полиномиальная	52,7	
	60	Линейная	53,3	52,2
		Полиномиальная	51,6	

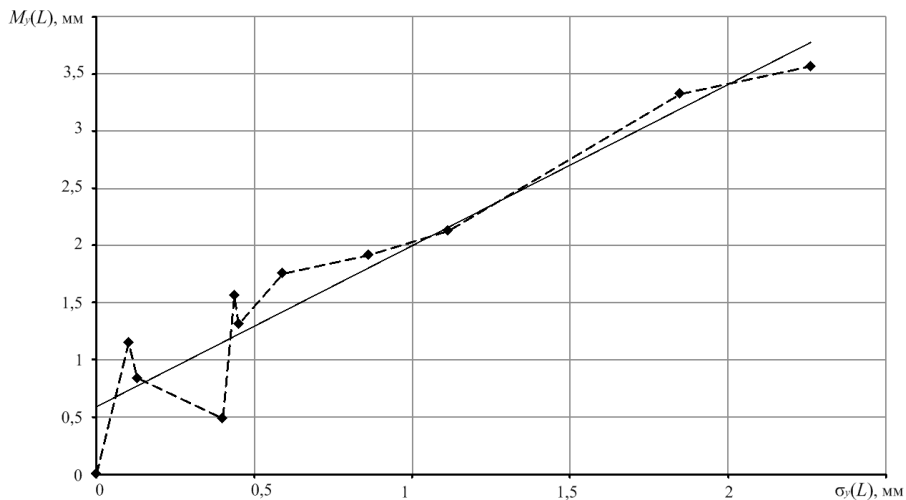


Рис. 7. Зависимость средней величины износа гребня от величины нарастания проката бандажей колесных пар, обточенных по профилю ГОСТ 11018–2000, рис. 3 при начальной толщине бандажа  $90 \pm 2,1$  мм

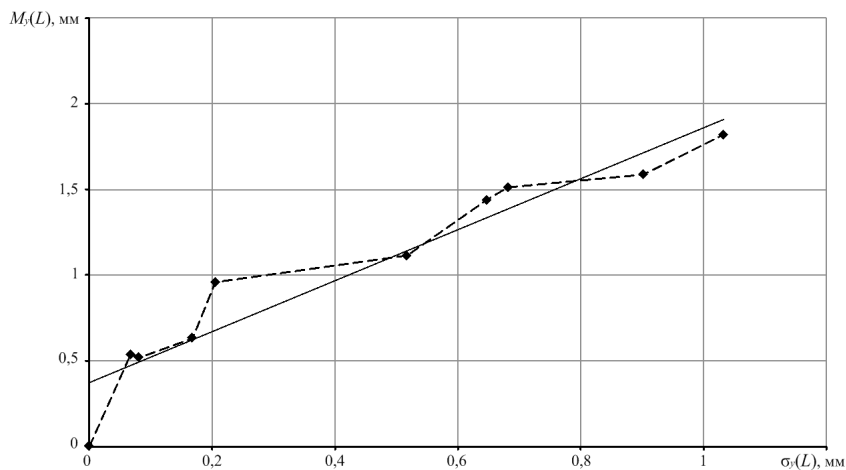


Рис. 8. Зависимость средней величины износа гребня от величины нарастания проката бандажей колесных пар, обточенных по профилю ДМетИ (ЛР) при начальной толщине бандажа  $90 \pm 4,2$  мм

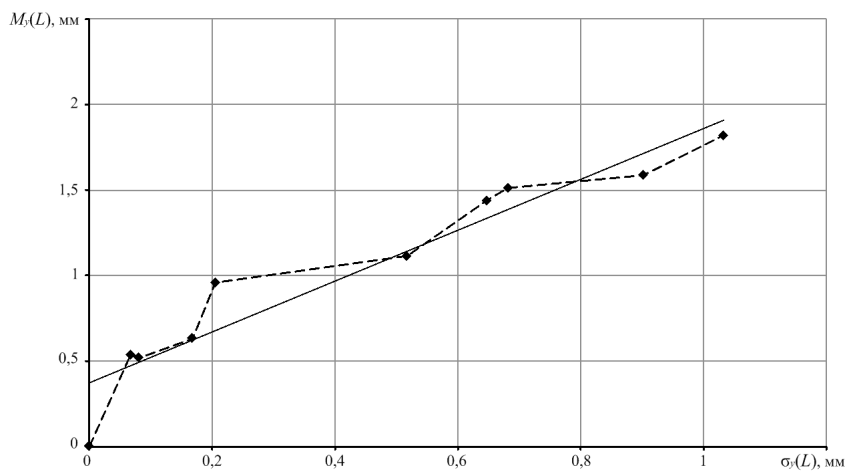


Рис. 9. Зависимость средней величины износа гребня от величины нарастания проката бандажей колесных пар, обточенных по профилю ДМетИ (ЛР) при начальной толщине бандажа  $70 \pm 2,4$  мм

Таблица 9

Значения коэффициентов отношения величины износа гребня к величине проката бандажей колесных пар электровозов ВЛ11

Тип профиля	Средняя начальная толщина бандажа, мм	Значение $K$	
		оптимальное $K_0$	фактическое $K_{\Phi}$
ГОСТ 11018–2000	90	0,466	0,709
	90	0,364	0,577
ДМетИ (ЛР)	80	0,364	0,446
	70		
	60		

Из таблицы 7 следует, что при средней начальной толщине бандажа 90 мм разница между оптимальным и фактическим значениями коэффициента  $K$  для профиля ДМетИ (ЛР) составляет 0,213, тогда как для профиля ГОСТ 11018–2000, рис. 3  $K_{\Phi} - K_0 = 0,243$ . Поэтому при толщине бандажа 90 мм и выше целесообразно применение профиля бандажа по ДМетИ (ЛР).

При средней начальной толщине бандажа 80 мм и ниже и профилем ДМетИ (ЛР)  $K_{\Phi} - K_0 = 0,102$ , тогда как для колесных пар с профилем по ГОСТ 11018–2000, рис. 3 значение этой величины составляет 0,02. Таким образом, для реализации максимального ресурса колесных пар при средней начальной толщине бандажа от 80 мм до предельно допустимой (45 мм) применение обточкой бандажей по профилю ГОСТ 11018–2000, рис. 3 более эффективно.

Износ бандажей электровозов ВЛ11, приписанных к локомотивному депо Пермь-сортировочная, в основном лимитируется предельной величиной износа гребня колесных пар. При этом средняя интенсивность увеличения износа гребня бандажей, обточенных по профилю ДМетИ (ЛР), в 1,67 раза ниже по сравнению с колесными парами по профилю ГОСТ 11018–2000, рис. 3.

Из проведенных исследований исходя из критерия максимального использования ресурса бандажей можно сделать следующие выводы:

- 1) при средней начальной толщине бандажа 90 мм при обточке восстановление конфигурации колесных пар электровозов ВЛ11 необходимо производить по профилю ДМетИ (ЛР) (при этом по сравнению с профилем по ГОСТ 11018–2000, рис. 3 ресурс до обточки увеличивается более чем на 20%);
- 2) при средней начальной толщине бандажа 80 мм и менее до предельно допустимой величины (45 мм) обточку колесных пар необходимо производить по профилю ГОСТ 11018–2000, рис. 3.

Таким образом, не существует одного единственного наиболее эффективного профиля поверхности катания бандажей даже для одной серии электровозов (ВЛ11), приписанных к одному локомотивному депо Пермь-сортировочная и работающих в самых разных условиях на трех железных дорогах; использование для обточки колесных пар только профиля ГОСТ 11018–2000, рис. 3 или ДМетИ (ЛР) в качестве одного единственного без учета толщины бандажей колесных пар не принесет ожидаемых результатов. ■

### Литература

1. Буйносов А. П. Основные причины интенсивного износа бандажей колесных пар подвижного состава и методы их устранения. — Екатеринбург : Изд-во УрГУПС, 2009. — 224 с. ISBN 978-5-94614-148-2.
2. Буйносов А. П., Худояров Д. Л., Пышный И. М. Выбор профиля поверхности катания бандажей колесных пар промышленных тепловозов // Транспорт Урала. 2011. № 1 (28). — С. 64–69. ISSN 1815-9400.
3. Горский А. В., Буйносов А. П. Анализ износа бандажей // Железнодорожный транспорт. 1991. № 1. — С. 46–47. ISSN 0044-4448.
4. Горский А. В., Буйносов А. П., Наговицын В. С., Клинский В. С. Экономичная обточка // Локомотив. 1992. № 4. — С. 26–27. ISSN 0869-8147.
5. Буйносов А. П. Автоматизированный контроль параметров колесных пар тягового подвижного состава // Железнодорожный транспорт. 2010. № 7. — С. 52–53. ISSN 0044-4448.
6. Буйносов А. П., Худояров Д. Л., Балдин В. Л. Математическая модель повышения ресурса бандажей колесных пар электровозов // Ремонт, восстановление, модернизация. 2011. № 4. — С. 43–48. ISSN 1684-2561.

7. Горский А. В., Буйносов А. П. Влияние профиля на ресурс бандажа // Локомотив. 1990. № 6. — С. 27–28. ISSN 0869-8147.
8. Буйносов А. П., Тихонов В. А. Повышение износостойкости колесных пар электроподвижного состава за счет обработки гребней триботехническим составом // Транспорт Урала. 2011. № 3(30). — С. 59–64. ISSN 1815-9400.
9. Буйносов А. П. Повышение ресурса бандажей колесных пар электровозов в результате изменения технологии их обточки // Автоматизация и современные технологии. 1992. № 8. — С. 23–25. ISSN 0869-4931.
10. Буйносов А. П. Повышение долговечности бандажей колесных пар электровозов в условиях эксплуатации. Дисс... на соиск. научн. ст. канд. техн. наук. — М., 1992.— 336 с.

#### References

1. Buinosov A. P. Osnovnye prichiny intensivnogo iznosa bandazhej kolesnykh par podvizhnogo sostava i metody ikh ustraneniya [Main reasons of intensive wear of wheel pairs' tires of rolling stock and methods of their elimination]. — Ekaterinburg : Izd-vo UrGUPS, 2009. — 224 s. ISBN 978-5-94614-148-2.
2. Buinosov A. P., Khudoyarov D. L., Pyshny I. M. Vybor profilja poverkhnosti katanija bandazhej kolesnykh par promyshlennykh teplovozzov [Choice of wheel pairs tires' roll surface profile of industrial diesel locomotives] // Transport Urala. 2011. № 1 (28). — S. 64–69. ISSN 1815-9400.
3. Gorsky A. V., Buinosov A. P. Analiz iznosa bandazhej [The analysis of tires' wear] // Zheleznodorozhny transport. 1991. № 1. — S. 46–47. ISSN 0044-4448.
4. Gorsky A. V., Buinosov A. P., Nagovitsyn V. S., Klinsky V. S. Ekonomichnaja obtochka [Economical turning] // Lokomotiv. 1992. № 4. — S. 26–27. ISSN 0869-8147.
5. Buinosov A. P. Avtomatizirovanny kontrol parametrov kolesnykh par tjavogogo podvizhnogo sostava [Automated control of wheel pairs' parameters of traction rolling stock] // Zheleznodorozhny transport. 2010. № 7. — S. 52–53. ISSN 0044-4448.
6. Buinosov A. P., Khudoyarov D. L., Baldin V. L. Matematicheskaja model povysheniya resursa bandazhej kolesnykh par elektrovozzov [Mathematical model of resource increase of wheel pairs' tires of electric locomotives] // Remont, vosstanovlenie, modernizatsija. 2011. № 4. — S. 43–48. ISSN 1684-2561.
7. Gorsky A. V., Buinosov A. P. Vlijanie profilja na resurs bandazha [Profile's influence on tire resource] // Lokomotiv. 1990. № 6. — S. 27–28. ISSN 0869-8147.
8. Buinosov A. P., Tikhonov V. A. Povyszenie iznosostojkosti kolesnykh par elektro-podvizhnogo sostava za schet obrabotki grebnej tribotekhnicheskim sostavom [Increase of wear resistance of the electric rolling stock wheelsets by treating flanges with tribotechnical composition] // Transport Urala. 2011. № 3 (30) — S. 59–64. ISSN 1815-9400.
9. Buinosov A. P. Povyszenie resursa bandazhej kolesnykh par elektrovozzov v rezultate izmeneniya tekhnologii ih obtochki [Increase of resource of wheel pairs' tires of electric locomotives as a result of process and turning change] // Avtomatizatsija i sovremennye tekhnologii. 1992. № 8. — S. 23–25. ISSN 0869-4931.
10. Buinosov A. P. Povyszenie dolgovechnosti bandazhej kolesnykh par elektrovozzov v uslovijakh ekspluatatsii [Increase of wheel pairs' durability of electric locomotive during operation]. Diss... na soisk. nauchn. st. kand. tehn. nauk. — М., 1992.— 336 с.

*Статья сдана в редакцию 5 марта 2012 года*

УДК 62-83

*А. А. Шапран***Проблема устойчивости системы  
двухканального управления электрическим приводом**

UDC 62-83

*A. A. Shapran***Problem of stability of electric  
drive two-channel control system****Аннотация**

Статья посвящена решению проблемы построения оптимальной по быстродействию системы управления электрическим приводом и изложен подход к его реализации. Целью поставленной задачи является управление работой двигателя постоянного тока по каналу якорной цепи и по каналу цепи возбуждения одновременно, что дает возможность плавного регулирования скорости в широком диапазоне при минимуме затрат на управление. Разработка такой системы и синтез закона управления должны обеспечить качественное функционирование в сочетании с высокими динамическими свойствами приводимого механизма. Поскольку такие системы работают в тяжелых динамических режимах, то к ним предъявляются повышенные требования, в первую очередь по устойчивости. В статье обоснован метод исследования условий устойчивости системы, призванный на решение поставленной задачи и позволяющий определить области изменения параметров настройки системы, обеспечивающие ее устойчивую работу.

**Ключевые слова:**

оптимизация, быстродействие, устойчивость.

**Abstract**

The article is devoted to solution of a problem of building the optimal by response speed electric drive control system. It is also stated the approach to its realization. The aim is to control direct current motor operation simultaneously on the channel of anchor chain and on the channel of energizing circuit, which gives the opportunity of stepless speed control in a wide band with minimum expenses on control. Development of such a system and synthesis of control law must provide qualitative functioning in combination with high dynamic characteristics of operated mechanism. Due to the fact that such systems operate in hard dynamic modes, in the first place there are enhanced requirements on stability towards them. The article gives the justification of an investigation method of a system stability conditions, which is aimed at solving the set task and allows to define the areas of change of system adjustment parameters, providing its stable functioning.

**Key words:**

optimization, response speed, stability.

**Александр Андреевич Шапран** — канд. техн. наук, ст. научн. сотр.; кафедра «Мехатроника» Уральского государственного университета путей сообщения, Екатеринбург, Россия. Тел.: +7 (343) 243-07-16.

**Aleksander A. Shapran** — PhD, senior research officer; «Mechatronics» chair of the Ural State University of Railway Transport, Ekaterinburg, Russia. Tel.: +7 (343) 243-07-16.

Основным требованием, предъявляемым к высокоинерционным приводам, в особенности к тем из них, что работают в режиме переменных нагрузок, остается требование по быстродействию. Проблема обеспечения высокого быстродействия приводов сводится к построению оптимальной по быстродействию системы или, по меньшей мере, системы, включающей в себя элементы оптимизации. При этом для приводов постоянного тока с независимым и смешанным возбуждением такая система подразумевает управление как по якорной цепи, так и по цепи независимого возбуждения. Подход к построению такой системы имеет в своей основе релейный принцип регулирования параметров цепи возбуждения, который, в свою очередь, обеспечивается параллельным включением управляющих элементов различной чувствительности, где ступенчатый характер управления сглаживается благодаря динамическим свойствам системы, дающим возможность плавного перехода на очередную ступень управления. Но именно динамические свойства системы определяют условия ее устойчивости как основной показатель работоспособности. Тогда решение задачи оптимизации ставит вопрос нахождения области возможных изменений параметров системы, отвечающей ее устойчивой работе. Отсюда возникает задача исследования системы двухканального управления электроприводом с целью нахождения области допустимых значений параметров, обеспечивающих оптимизацию по быстродействию не нарушающих условий устойчивости.

Работа такой системы основана на взаимодействии обоих каналов управления. При этом угловая скорость приводного двигателя определяется по известной формуле:

$$\omega = \frac{U_{\text{я}} - I_{\text{я}} R_{\text{я}}}{C\Phi},$$

где  $C$  — конструктивная постоянная двигателя;  $\Phi$  — магнитный поток;  $U_{\text{я}}$  — напряжение питания якорной цепи;  $I_{\text{я}}$  — ток якоря;  $R_{\text{я}}$  — сопротивление цепи якоря.

При неизменных параметрах цепи возбуждения, а следовательно, при постоянстве магнитного потока  $\Phi$ , скорость вращения привода в статическом режиме может быть найдена как

$$\omega_1 = K_{\text{д}}^U U_{\text{я}},$$

где  $K_{\text{д}}^U$  — коэффициент передачи двигателя по напряжению питания якорной цепи, и в динамическом режиме описывается дифференциальным уравнением:

$$T_{\text{д}} \frac{d\omega_1}{dt} + \omega_1 = K_{\text{д}}^U U_{\text{я}},$$

где  $T_{\text{д}}$  — постоянная времени приводного двигателя.

При неизменных параметрах канала управления по якорной цепи скорость привода в статическом режиме определяется выражением

$$\omega_2 = \frac{K_{\text{д}}^B}{\Phi},$$

где  $K_{\text{д}}^B$  — коэффициент передачи двигателя по напряжению возбуждения.

А поскольку  $\Phi = k_1 I_{\text{в}}$ , или  $\Phi = k_1 k_2 U_{\text{в}}$ , где  $k_1$  и  $k_2$  — соответствующие коэффициенты пропорциональности, то

$$\omega_2 = \frac{K_{\text{в}}}{U_{\text{в}}},$$

где  $K_{\text{в}} = \frac{K_{\text{д}}^B}{k_1 k_2}$  — коэффициент передачи цепи возбуждения, а  $U_{\text{в}}$  и  $I_{\text{в}}$  — соответственно напряжение и ток возбуждения.

В динамическом режиме скорость вращения привода по каналу возбуждения будет иметь выражение:

$$T_B \frac{d\omega_2}{dt} + \omega_2 = \frac{K_B}{U_B},$$

где  $T_B$  — постоянная времени цепи возбуждения двигателя.

А поскольку скорость вращения привода как управляемая величина системы в силу физических законов представляет собой произведение управляемых величин  $\omega_1$  и  $\omega_2$  каждого из каналов, то структурная схема системы будет иметь вид, подобный изображенному на рис. 1 (схема изображена для одной ступени управления).

Для анализа системы можно допустить, что по обоим каналам управления регуляторы осуществляют П-законы регулирования. Например, по каналу якорной цепи передаточная функция регулятора, если пренебречь его инерционностью, имеет выражение

$$W_{р\grave{a}}(p) = \frac{U_{\text{я}}(p)}{\varepsilon_1(p)} = K_{p1},$$

а передаточная функция регулятора по каналу возбуждения:

$$W_{р\text{в}}(p) = \frac{U_B(p)}{\varepsilon_2(p)} = K_{p2}.$$

При этом управляющее воздействие по каналу возбуждения формируется в результате нелинейной операции деления:

$$U_1 = \frac{K_B}{U_B},$$

осуществляемой технологически в самом объекте управления.

Динамика канала управления по цепи якоря определяется передаточной функцией:

$$W_1(p) = \frac{\omega_1(p)}{\varepsilon_1(p)} = \frac{K_{p1} K_d^U}{T_d p + 1},$$

обеспечивающей при постоянных значениях параметров цепи возбуждения устойчивую работу системы.

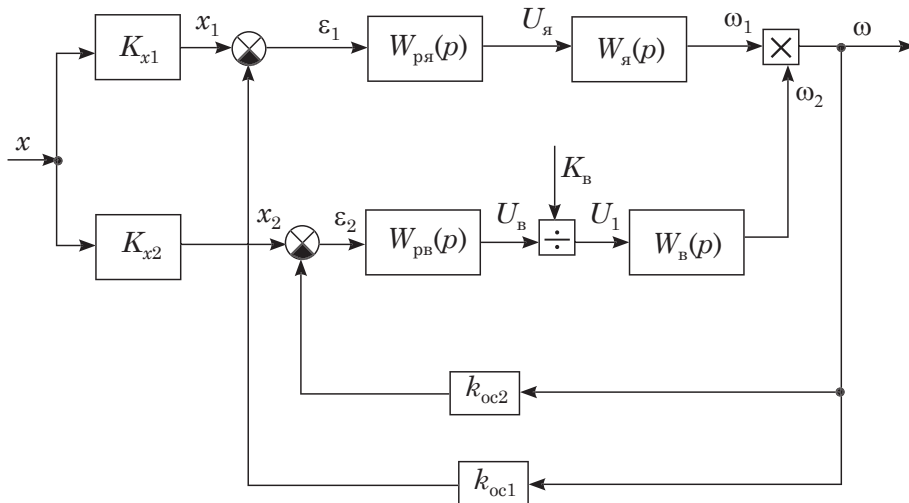


Рис. 1

$W_{р\grave{a}}(p)$  — передаточная функция регулятора канала управления по якорной цепи;  $W_{р\text{в}}(p)$  — передаточная функция регулятора канала управления по цепи возбуждения;  $W_{\text{я}}(p)$  — передаточная функция двигателя по якорной цепи;  $W_{\text{в}}(p)$  — передаточная функция двигателя по цепи возбуждения;  $K_{x1}$  и  $K_{x2}$  — коэффициенты пропорциональности задания по каждому из каналов соответственно;  $k_{oc1}$  и  $k_{oc2}$  — коэффициенты цепи обратной связи каждого из каналов соответственно;  $x$  — задающее воздействие (заданная скорость вращения);  $x_1$  и  $x_2$  — задающие воздействия каждого из каналов;  $\varepsilon_1$  и  $\varepsilon_2$  — ошибки регулирования каждого из каналов

Динамика канала управления по цепи возбуждения определяется выражениями

$$\begin{cases} W_2(p) = \frac{\omega_2(p)}{U_1(p)} = \frac{1}{T_B p + 1}; \\ U_1 \frac{K_B}{U}; U_1 = \frac{K_B}{U_B}; U_B = K_{p2} \varepsilon_2, \end{cases}$$

также обеспечивающими устойчивую работу. А потому динамика всей системы и в первую очередь ее устойчивость будет определяться нелинейным характером формирования управляемой величины из составляющих по каждому из каналов

$$\omega = \omega_1 \cdot \omega_2.$$

Поскольку

$$\omega_1 = \frac{K_d^U K_{p1}}{T_d p + 1} \varepsilon_1,$$

$$\text{а } \omega_2 = \frac{K_B}{(T_B p + 1) U_B} = \frac{K_B}{(T_B p + 1) K_{p2} \varepsilon_2},$$

$$\text{то } \omega = \frac{K_1}{T_d p + 1} \varepsilon_1 \frac{K_2}{(T_B p + 1) \varepsilon_2},$$

$$\text{где } K_1 = K_{p1} K_d^U; K_2 = \frac{K_B}{K_{p2}}.$$

Для анализа устойчивости используется прямой метод Ляпунова. Уравнение движения системы будет иметь выражение

$$(T_d p + 1)(T_B p + 1)\omega \varepsilon_2 = K_1 K_2 \varepsilon_1,$$

или

$$(T_1 p^2 + T_2 p + 1)\omega \varepsilon_2 = K \varepsilon_1,$$

$$\text{где } K = K_1 K_2; T_1 = T_d T_B; T_2 = T_d + T_B.$$

А так как  $\varepsilon_1 = X_1 - k_{oc1}$ , а  $\varepsilon_2 = X_2 - k_{oc2}$ , то при  $X = 0$  (состояние равновесия движения системы) имеем

$$\varepsilon_1 = -k_{oc1} \omega; \varepsilon_2 = -k_{oc2} \omega,$$

и уравнение движения примет вид

$$(T_1 p^2 + T_2 p + 1)k_{oc2} \omega = K k_{oc1},$$

или

$$k_{oc2} T_1 \frac{d^2 \omega}{dt^2} + k_{oc2} T_2 \frac{d \omega}{dt} + k_{oc2} \omega = K k_{oc1}.$$

Введя обозначения

$$y_1 = \omega, y_2 = \frac{dC_1}{dt} = \frac{d\omega}{dt},$$

$$\frac{dy_2}{dt} = \frac{d^2 y_1}{dt^2} = \frac{d^2 \omega}{dt^2},$$

получим

$$k_{oc2} T_1 \frac{dy_2}{dt} + k_{oc2} T_2 y_2 + k_{oc2} y_1 = K k_{oc1},$$

тогда движение системы управления опишется системой дифференциальных уравнений:

$$\frac{dy_1}{dt} = y_2,$$

$$\frac{dy_2}{dt} = \frac{K k_{oc1}}{k_{oc2} T_1} - \frac{1}{T_1} y_1 - \frac{T_2}{T_1} y_2.$$

Для данной системы функция Ляпунова  $V$  будет иметь вид

$$V = y_1^2 + y_2^2.$$

Для рассматриваемой задачи функция Ляпунова всегда положительна. Тогда для устойчивости движения системы необходимо и достаточно, чтобы производная функции Ляпунова по времени была отрицательна, то есть чтобы  $\frac{dV}{dt} < 0$ .

Производная функции Ляпунова находится как

$$\frac{dV}{dt} = \frac{dV}{dy_1} \frac{dy_1}{dt} + \frac{dV}{dy_2} \frac{dy_2}{dt},$$

$$\text{где } \frac{dV}{dy_1} = 2y_1, \frac{dV}{dy_2} = 2y_2,$$

тогда

$$\frac{dV}{dt} = 2y_1y_2 + 2y_2 \left( \frac{Kk_{oc1}}{k_{oc2}T_1} - \frac{1}{T_1} C_1 - \frac{T_2}{T_1} y_2 \right).$$

Совершенно очевидно, что движение системы не может считаться устойчивым в целом, так как знак функции Ляпунова в общем случае будет зависеть от характера протекания переходного процесса в системе (апериодический или колебательный), а также от соотношения между собой значений  $K$ ,  $k_{oc1}$ ,  $k_{oc2}$ ,  $T_1$  и  $T_2$ .

Для приведенных выше исходных уравнений движения отдельных элементов системы и, следовательно, их передаточных функций процесс в системе всегда остается апериодическим. Это значит, что при  $X = 0$ ,  $y_1$  всегда отрицателен и при единичном ступенчатом воздействии на входе изменяется в пределах от  $-1$  до  $0$ , то есть нарастает. Отсюда следует, что  $\frac{dy_1}{dt}$  всегда положителен.

Будем считать, что обратная связь каждого канала управления системы единичная, то есть  $k_{oc1} = k_{oc2} = 1$ , что зачастую имеется в реальной системе. Для простоты рассуждений допустим, что и  $K = 1$ . При таких допущениях выражение производной функции Ляпунова примет вид

$$\frac{dV}{dt} = 2y_1y_2 + \frac{2}{T_1} C_2 - \frac{2}{T_1} y_1y_2 - \frac{2T_2}{T_1} y_2^2.$$

Постоянные времени двигателя по обоим каналам управления  $T_d$  и  $T_b$  для большинства реальных объектов, как правило, меньше единицы, причем  $T_b > T_d$ , так как канал управления двигателем по возбуждению

обладает значительно большей инерционностью, чем по якорной цепи. А ввиду того, что  $T_1 = T_d T_b$ , а  $T_2 = T_d + T_b$ , то  $T_1 < T_2$ .

Анализ полученного выражения функции Ляпунова обнаруживает тяжелые условия устойчивости. Собственно, для принятых значений постоянных времени  $T_d$  и  $T_b$  движение системы всегда остается неустойчивым. Для устойчивости системы необходимо, чтобы постоянная времени объекта управления по возбуждению была, как минимум, равна единице, а постоянная времени объекта по каналу якорной цепи меньше ее не менее, чем в два раза, то есть  $T_b = 1$ ,  $T_d = 0,5$ . В этом случае  $\frac{dV}{dt} = 0$ , а система встает на границу устойчивости. Такие значения постоянных времени свойственны только двигателям большой и средней мощности. Но именно для последних и ставится задача достижения высокого быстродействия. Кроме того, улучшение условий устойчивости может быть достигнуто увеличением коэффициента передачи регулятора по каналу возбуждения —  $K_{p2}$  так, чтобы общий коэффициент передачи системы был менее единицы. В противном случае условия устойчивости остаются достаточно жесткими.

Нахождение области допустимых изменений параметров системы в первую очередь коэффициентов передачи, отвечающей устойчивому состоянию движения системы, а также анализ ее функционирования на различных ступенях управления по возбуждению могут стать предметом дальнейшего исследования. ■

### Литература

1. Кутыева Д. Ю., Новикова Н. Б., Шапран А. А. Синтез оптимальной по быстродействию системы управления электроприводом : сб. научн. тр. «Безопасность движения, совершенствование конструкций вагонов и ресурсосберегающие технологии в вагонном хозяйстве». Екатеринбург : Изд-во УрГУПС, 2010.
2. Кутыева Д. Ю., Шапран А. А. Построение системы оптимизации режимов работы металлорежущих станков : сб. научн. тр. «Электрическая тяга». Екатеринбург : Изд-во УрГУПС, 2008.

3. Шапран А. А., Новикова Н. Б. Задача построения системы двухканального управления электрическим приводом постоянного тока // Вестник УрГУПС, № 4. 2011. ISSN 2079-0392.
4. Белов М. П., Новиков В. А., Рассудов Л. Н. Автоматизированный электропривод типовых производственных механизмов и технологических комплексов. М. : Academia, 2009.

**References:**

1. Kutyeva D.Ju., Novikova N.B., Shapran A.A. Sintez optimalnoj po bystrodejstvu sistemy upravlenija elektroprivodom [Synthesis of optimal by response time electric drive control system] : sb. nauchn. tr. «Bezopasnosts dvizhenija, sovershenstvovanie konstruktsij vagonov i resursosberegajushchie tekhnologii v vagonnom hozjajstve». Ekaterinburg : Izd-vo UrGUPS, 2010.
2. Kutyeva D.Ju., Shapran A.A. Postroenie sistemy optimizatsii rezhimov raboty metallorehushchikh stankov [Construction of operation modes optimization system of metal-cutting machining stations] : sb. nauchn. tr. «Elektricheskaja tjaga». Ekaterinburg : Izd-vo UrGUPS, 2008.
3. Shapran A.A., Novikova N.B. Zadacha postroenija sistemy dvukhkanalnogo upravlenija elektricheskim privodom postojannogo toka [Task of building a two-channel control system by direct current drive] // Vestnik UrGUPS, №4. 2011. ISSN 2079-0392.
4. Belov M.P., Novikov V.A., Rassudov L.N. Avtomatizirovannyj elektroprivod tipovykh proizvodstvennykh mekhanizmov i tekhnologicheskikh kompleksov. [Automatic electric drive of typical industrial mechanisms and technological complexes] M. : Academia, 2009.

*Статья сдана в редакцию 13 апреля 2012 года*

# ОРГАНИЗАЦИЯ И ЛОГИСТИКА

УДК 656.073

*З. С. Акманова, С. Н. Корнилов,  
А. Н. Рахмангулов, О. В. Фридрихсон*

## Механизм оптимизации времени продвижения контейнерного потока

UDC 656.073

*Z. S. Akmanova, S. N. Kornilov,  
A. N. Rakhmangulov, O. V. Fridrikhson*

## Container flow progressing time optimization mechanism

### Аннотация

В статье приведен анализ эффективности использования парка вагонов и контейнеров, выявлены факторы его нерационального использования. Приведены основные направления ускорения контейнерных перевозок, предложенные собственниками подвижного состава и железнодорожной инфраструктуры. Разработан механизм ускорения контейнерного потока, в основе которого лежат организационно-технические мероприятия, реализуемые грузоотправителем и грузополучателем. Механизм позволяет учесть структуру схемы доставки грузов в контейнерах, учитывает зоны ответственности участников процесса доставки согласно положениям международных правил Incoterms. Для оптимизации времени продвижения контейнерного потока разработана экономико-математическая оптимизационная модель, позволяющая принимать оперативные решения по перераспределению контейнерного потока, ускорению или замедлению переработки потока между элементами системы с целью максимизации суммарной прибыли участников процесса продвижения.

### Ключевые слова:

контейнерные перевозки, ускорение контейнерного потока, зоны ответственности процесса продвижения контейнеров.

### Abstract

In the article the efficiency analysis of rolling stock and containers' use is made, factors of inefficient use are deduced. The main directions of container flow acceleration proposed by rolling stock and railway infrastructure owners are stated. Container flow acceleration mechanism is developed. It is based on organizational and technical measures of consignor and consignee.

Mechanism allows to take into account scheme structure of container cargo delivery and responsibility zones of delivery participants according to international Incoterms rules. For container flow processing time optimization economic-mathematical optimization model is developed. A model allows to make operational decisions for container flow redistribution, acceleration or retardation of container flow between system elements for consolidated profit maximization of progressing process participants.

### Key words:

container shipment, container flow acceleration, responsibility zones of container flow progressing.

**Сергей Николаевич Корнилов** — д-р техн. наук, профессор, заведующий кафедрой «Промышленный транспорт» Магнитогорского государственного технического университета им. Г.И. Носова; Магнитогорск, Россия. E-mail: kornilov\_sn@mail.ru.

**Александр Нельевич Рахмангулов** — канд. техн. наук, доцент кафедры «Промышленный транспорт», Магнитогорского государственного технического университета им. Г.И. Носова; Магнитогорск, Россия. E-mail: prtrans@mail.ru.

**Зоя Сергеевна Акманова** — канд. пед. наук, доцент кафедры «Математика» Магнитогорского государственного технического университета им. Г.И. Носова, профессор РАЕ; Магнитогорск, Россия. E-mail: azs@mail.ru.

**Олег Владимирович Фридрихсон** — ассистент кафедры «Промышленный транспорт», Магнитогорского государственного технического университета им. Г.И. Носова; Магнитогорск, Россия. E-mail: fridrikhsonov@yandex.ru.

**Sergey N. Kornilov** — DSc, prof., head of «Industrial transport» department, Magnitogorsk State Technical University named after G.I. Nosov. E-mail: kornilov\_sn@mail.ru.

**Alexander N. Rakhmangulov** — PhD, associate professor, «Industrial transport» department, Magnitogorsk State Technical University named after G.I. Nosov. E-mail: prtrans@mail.ru.

**Zoya S. Akmanova** — PhD, associate professor, «Mathematics» department, Magnitogorsk State Technical University named after G.I. Nosov, prof. of RANH. E-mail: azs@mail.ru.

**Oleg V. Fridrikhson** — assistant, «Industrial transport» department, Magnitogorsk State Technical University named after G.I. Nosov. E-mail: fridrikhsonov@yandex.ru.

Сокращение продолжительности оборота вагонов и контейнеров, уменьшение времени их непроизводительного простоя являются актуальными научно-практическими задачами. Комплексные мероприятия по повышению эффективности использования подвижного состава предложены Министерством транспорта РФ, ОАО «РЖД», ОАО «Трансконтейнер», ОАО ПГК. Однако несмотря на наличие финансового и административного ресурсов, решение поставленных задач значительно усложняется. По данным годового отчета ОАО «РЖД» за 2010 г., средний оборот вагонов, по сравнению с 2009 г., увеличился в 1,8 раза и составил 13,44 сут. Статистические данные по результатам работы филиалов ОАО «РЖД» свидетельствуют о значительном превышении нормативного времени на выполнение грузовых операций с вагонами и контейнерами на путях необщего пользования (ПНП) (рис. 1).

Основные причины нерационального использования вагонов и контейнеров: несовершенство законодательной базы, децентрализация управления перемещением вагонов по территории страны [1], изменение системы оплаты за пользование собственниками ПНП частными вагонами и контейнерами, недостаточно проработанный методологический аппарат управления взаимодействием участников транспортного рынка России.

ОАО «РЖД» провел мониторинг удовлетворенности потребителей транспортных услуг качеством железнодорожных контейнерных перевозок. Оценка степени удовлетворенности клиентов проводилась по пятибалльной шкале: 1 — значительно ниже среднего, 2 — незначительно ниже среднего, 3 — средний уровень удовлетворенности, 4 — незначительно выше среднего, 5 — значительно выше среднего (рис. 2).

Как следует из рис. 2, потребители транспортной услуги не удовлет-

ворены качеством контейнерных перевозок, но несмотря на доказанную эффективность данного вида транспортирования, используют для перевозки готовой продукции сложившиеся схемы с участием железнодорожных и автомобильных операторов.

В настоящее время наблюдается дисбаланс интересов собственников ПНП и собственников подвижного состава. В свое время МПС обладало единоличным правом управления вагонным парком и было обязано предоставить порожний подвижной состав грузоотправителям. В существующих условиях задачи обеспечения вагонами и контейнерами под погрузку готовой продукции, снижения времени непроизводительного простоя и ускорения оборота парка актуальны для всех участников транспортного процесса.

ОАО «РЖД» совместно с дочерним предприятием ОАО «Трансконтейнер» разработало новую технологию ускорения контейнерных перевозок, прежде всего за счет:

- формирования местных контейнерных поездов, осуществляющих перевозки контейнеров между контейнерными площадками грузоотправителей и интермодальными центрами (станциями примыкания);
- ускорения маршрутных поездов, осуществляющих перевозки контейнеров между интермодальными центрами, терминалами-хабами, крупными терминалами;
- использования ускоренных контейнерных поездов между терминалами в морских портах и пограничными переходами.

Данная технология предполагает отказ от формирования поезда на станции отправления и перенос части подготовительных операций по формированию составов на локальные контейнерные терминалы. Это позволит сократить время на переработку состава на участковых и сортировочных станциях.

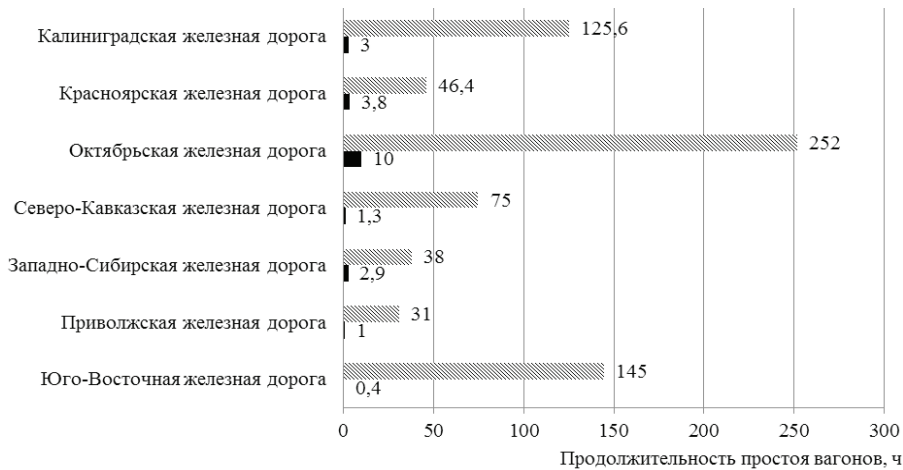


Рис. 1. Сравнение нормативного времени на выполнение грузовых операций и фактического простоя вагонов на ПНП по филиалам ОАО «РЖД»  
 ▨ — фактический простой вагонов, ч; ■ — норма простоя вагонов, ч

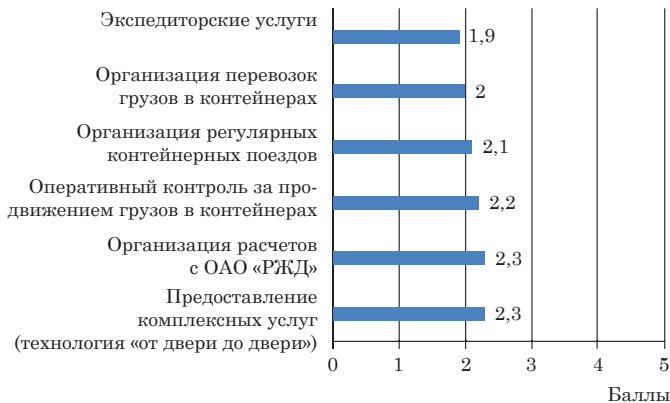


Рис. 2. Оценка степени удовлетворенности клиентов качеством железнодорожных контейнерных перевозок

Предлагаемая технология организации перевозок основывается на доставке грузов не от станции отправления к станции назначения, а с терминала на терминал.

Грузоотправители и грузополучатели, в свою очередь, также заинтересованы в ускорении доставки готовой продукции в контейнерах, поскольку в этом случае они смогут получить дополнительную прибыль за счет ускорения оборачиваемости оборотных средств и повышения сохранности грузов [2].

Для определения зон ответственности грузоотправителя и грузополу-

чателя при продвижении контейнерного потока, распределения расходов на доставку и рисков при порче, потере или утрате груза предлагается использовать нормы Incoterms–2010. Документ вступил в силу в 2011 году и существенно упростил и расширил возможности участников транспортно-коммерческого обмена.

В новой редакции документа количество терминов уменьшено с 13 до 11. Но при этом создано два новых базисных условия поставки (БВП): DAP — delivered at place (поставка до пункта) и DAT — delivered at terminal (поставка до терминала),

которые будут использоваться как мультимодальные. Четыре наименее используемых в практике БУП были отменены (DAF, DES, DEQ и DDU).

В новой версии Incoterms–2010 для БУП FOB (франко-борт), CFR (стоимость и фрахт) и CIF (стоимость, страхование и фрахт) затраты и риски переходят от грузоотправителя к грузополучателю после полной погрузки груза на борт. В Incoterms–2010 грузоотправитель несет ответственность за груз и его доставку только до борта судна.

Кроме того, положения «Incoterms–2010» могут быть использованы при организации не только международных, но и внутрироссийских перевозок.

Мероприятия по ускорению отправки контейнеров с предприятия: приоритетная погрузка контейнеро-пригодной продукции в контейнеры, первоочередная обработка групп вагонов с контейнерами, приоритетный пропуск грузов в контейнерах по внутризаводским станциям, ускорение процедуры оформления сопроводительной документации, выделение отдельных локомотивов для обработки локальных контейнерных складов и контейнерной площадки. При реализации данных мероприятий могут возникнуть затраты, связанные с оплатой дополнительного простоя вагонов прямого парка на ПНП.

На станциях опрavelения и назначения контейнерный поток ускоряется за счет повышения приоритетности обработки и пропуска контейнерного поезда, для чего требуются дополнительные договоренности с представителями железной дороги по вопросам предоставления ниток графика движения, использования резервов маневровых и поездных локомотивов. Ускорение контейнерного потока возможно осуществить, используя метод структурной технологии [4]. Дополнительные затраты, возникающие на станциях отправления и назначения, связаны

с приоритетной обработкой вагонов с контейнерами.

Сокращение времени доставки достигается при заключении договоров с Центром фирменного транспортного обслуживания (ЦФТО) на управление контейнерным парком, погрузку, выгрузку и продвижение контейнеров. Стоимость данных операций регламентируется прейскурантом ЦФТО. В пунктах перегрузки — за счет сокращения времени выполнения операций. Для этого требуется согласовать с региональными распределительными центрами и портами предоставление «зеленых коридоров» и осуществление приоритетной обработки вагонов с контейнерами.

Предлагаются следующие мероприятия по ускорению контейнерного потока:

- присвоение грузам в контейнерах более высокого приоритета обработки;
- согласование с участниками схемы доставки оптимального размера группы вагонов с контейнерами для отправки;
- согласование наличия и использования резервов пропускной, провозной и перерабатывающей способностей элементов схемы доставки.

Каждый из этапов обработки контейнеров характеризуется продолжительностью выполнения операций. Суммарные затраты времени на доставку продукции рассчитываются по формуле

$$T_{\text{общ}} = T_{\text{п}} + T_{\text{доп}}, \quad (1)$$

где  $T_{\text{п}}$  — время доставки готовой продукции от грузоотправителя к грузополучателю, ч;  $T_{\text{доп}}$  — дополнительные задержки, возникающие в процессе доставки, ч.  $T_{\text{п}}$  принимается как условно постоянная величина, поскольку каждый из ее этапов (подготовка к перевозке  $T_{\text{о}}$ , доставка и обработка на станции примыкания

грузоотправителя  $T_{c.o.}$ , транспортировка  $T_d$ , переработка в пунктах перегрузки  $T_{пер}$ , выполнение операций на станции назначения  $T_{c.n.}$ ) регламентируется нормативными документами. Суммарные затраты времени на доставку  $T_{п}$  рассчитываются по формуле (2). Каждая из дополнительных операций требует время на выполнение  $T_{доп}$ .

$$T_{п} = T_o + T_{c.o.} + T_d + T_{пер} + T_{c.n.} \quad (2)$$

Затраты на осуществление процесса доставки готовой продукции рассчитываются как суммарные затраты на каждом этапе продвижения продукции:

$$Z_{п} = Z_o + Z_{c.o.} + Z_d + Z_{пер} + Z_{c.n.}, \quad (3)$$

где  $Z_o$  — затраты, связанные с подготовкой продукции к отправке (средства крепления, оплата труда персонала упаковочной и погрузочной зон, перемещение подвижного состава под погрузку по ПНП и пр.);  $Z_{c.o.}$  — затраты, связанные с отправкой сборного или маршрутного поезда на станцию примыкания грузоотправителя и работу с ним на станции (эксплуатация выводного локомотива, технический и коммерческий осмотр и пр.), руб.;  $Z_d$  — затраты на транспортировку продукции в составе сборного или маршрутного поезда по инфраструктуре ОАО «РЖД» (тариф на перевозку в соответствии с условиями «Прейскуранта № 10-01»), руб.;  $Z_{пер}$  — затраты, связанные с операциями в пунктах перевалки (расформирование поездов, формирование групп вагонов (контейнеров) по направлениям, хранение грузов на складах временного хранения), руб.;  $Z_{c.n.}$  — затраты, связанные с приемом сборного или маршрутного поезда на станции примыкания грузополучателя и работой с ним на станции (эксплуатация выводного локомотива, технический и коммерческий осмотр и пр.), руб.

В настоящее время  $Z_{п}$  принимается как величина условно-постоянная, поскольку финансовые затраты на выполнение погрузочно-разгрузочных операций, транспортировку, операции на станции примыкания регламентированы договорами на оказание услуг. Тем не менее, как показала практика, часто возникают случаи превышения затрат на доставку  $Z_{п}$ .

В настоящее время общесистемные затраты на доставку отгруженной продукции (в абсолютных единицах — в рублях, в удельных единицах — в рублях на тонну доставленной продукции) зависят от объемов перевозок  $Q$  и тарифов на оказание экспедиционных услуг. Данный подход имеет существенный недостаток, поскольку дополнительные затраты денежных средств и времени не подлежат планированию, управлению и корректировке, а воспринимаются грузоотправителем по факту их возникновения. Исключается возможность точного планирования финансовых показателей, поскольку все дополнительные затраты компенсируются прибылью от реализации готовой продукции. Кроме того, не учитываются потери грузополучателя, возникающие из-за задержек в пути следования.

Для сокращения  $T_{доп}$  разработан механизм ускорения контейнерного потока. Прежде всего, разрабатываются схемы доставки грузов [3], состоящие из следующих элементов: ПНП, станции отправления и назначения, пути общего пользования, пункты перегрузки. Механизм ускорения представляет собой последовательность организационно-технических мероприятий, которые будут выполнены в каждом из элементов схемы продвижения грузов в контейнерах. Отличительная особенность разработанного механизма заключается в том, что он позволяет оценить возможные дополнительные прямые и косвенные затраты на ускорение и учитывает

зоны ответственности грузоотправителя и грузополучателя за ускорение по всем элементам схемы доставки.

Для оценки затрат грузоотправителя (грузополучателя) по реализации механизма ускорения контейнерного потока предлагается использовать комплексный показатель — удельные финансовые затраты на ускорение доставки 1 тонны  $i$ -го груза, по элементам выбранной схемы доставки, на 1 ч —  $K_i$ , измеряющийся в руб./т·ч:

$$K_i = \sum_{j=1}^j \frac{c_j^{(i)}}{t_j^{(i)} \cdot q_j^{(i)}}, \quad (4)$$

где  $t_j^{(i)}$  — продолжительность выполнения  $j$ -й операции, ч;  $q_j^{(i)}$  — мощность грузопотока, проходящего  $j$ -ю операцию, т;  $c_j^{(i)}$  — стоимость выполнение  $j$ -й операции, руб.

Грузоотправитель при заключении договора на продажу готовой продукции включает транспортные расходы в стоимость контракта. При этом все дополнительные затраты, возникшие в процессе доставки продукции (БУП DDP), компенсируются его прибылью. При использовании БУП EXW все затраты компенсируются из прибыли грузополучателя. При реализации иных условий поставки дополнительные затраты распределяются между продавцом и покупателем согласно описанию конкретного БУП в Incoterms–2010. Например, при использовании БУП DAT затраты на доставку, в том числе дополнительные, до места перегрузки контейнеров несет грузоотправитель. После доставки на терминал, затраты и риски переходят к грузополучателю.

На основе предложенного подхода разработана экономико-математическая оптимизационная модель ускорения контейнерного потока. Целевая функция модели имеет следующий вид:

$$F(\Pi) = \sum_{i=1}^m \Pi_i = \sum_{i=1}^j \Pi_{\text{сущ.схемы}} + \sum_{j=1}^j \Pi_{\text{конт.схемы}} \rightarrow \max, \quad (5)$$

где  $\Pi_i$  — прибыль от реализации продукции, руб.;  $\Pi_{\text{сущ.схемы}}$  — прибыль от реализации продукции, доставленной грузополучателю по традиционным (существующим) схемам доставки, руб.;

$$\sum_{i=1}^I \Pi_{\text{сущ.схемы}} = \sum_{i=1}^I \pi_i \cdot \frac{365}{T_{\text{об } i}}, \quad (6)$$

$\Pi_{\text{конт.схемы}}$  — прибыль от реализации продукции, доставленной грузополучателю в контейнерах, руб.;

$$\sum_{j=1}^J \Pi_{\text{конт.схемы}} = \sum_{j=1}^J \pi_j \cdot \frac{365}{T_{\text{об } j}}, \quad (7)$$

$\pi_i$  — прибыль от реализации продукции  $i$ -го сортамента, доставленной грузополучателю по традиционным (существующим) схемам доставки, руб.;  $\pi_j$  — прибыль от реализации контейнеропригодной продукции  $j$ -го сортамента, доставленной грузополучателю в контейнерах, руб.;  $T_{\text{об } i}$  — время операционного цикла переработки продукции  $i$ -го сортамента, доставленной грузополучателю по традиционным (существующим) схемам доставки, дней;  $T_{\text{об } j}$  — время операционного цикла переработки контейнеропригодной продукции  $j$ -го сортамента, доставленной грузополучателю в контейнерах, дней; 365 — количество дней в году.

В свою очередь, прибыль от реализации каждой партии груза определяется по формулам (8) и (9)

$$\begin{aligned} \pi_i &= B_i - C_i - Z_{\text{сущ}} = \\ &= B_i - C_i - Z_{\text{п}} - Z_{\text{дон}}, \end{aligned} \quad (8)$$

$$\begin{aligned} \pi_j &= B_j - C_j - Z_{\text{пред}} = \\ &= B_j - C_j - Z_{\text{п}}' - Z_{\text{уск}}, \end{aligned} \quad (9)$$

где  $V_i, V_j$  — выручка от реализации  $i$ -го и  $j$ -го (контейнеропригодного) типа продукции соответственно, руб.;  $C_i, C_o$  — себестоимость производства  $i$ -го и  $j$ -го (контейнеропригодного) типа продукции соответственно, руб.;  $Z_{\text{сущ}}, Z_{\text{пред}}$  — суммарные затраты на доставку продукции по традиционной схеме и с использованием контейнеров, соответственно, руб.;  $Z_{\text{п}}$  — постоянные затраты на доставку грузов грузополучателю в контейнерах, руб.;  $Z_{\text{уск}}$  — затраты на ускорение доставки грузов в контейнерах, руб.

Время операционного цикла переработки контейнеропригодной продукции  $j$ -го сортамента:

$$T_{\text{об}j} = T_{\text{норм}} - T_{\text{уск}} \quad (10)$$

Затраты на ускорение контейнерного потока:

$$F(Z_{\text{уск}}) = \lim_{t \rightarrow 0} \sum_{j=1}^5 K_j \cdot q \cdot \tau, \quad (11)$$

где  $q$  — объем контейнерного грузопотока, подлежащий ускорению, т;  $\tau$  — требуемая величина времени ускорения, ч.

На целевую функцию экономико-математической модели ускорения контейнерного потока накладываются следующие ограничения:

### Литература

1. Давыдов А.В., Рубежанский П. Н. Методические подходы к измерению показателей системы управления перевозочным комплексом // Транспорт Урала, 2010. № 1 (24). С. 19–22. ISSN 2079-0392.
2. Русаков А. С. Регулирование расчетно-платежных отношений в региональной системе промышленного железнодорожного транспорта // Транспорт Урала, 2007. № 1 (12). С. 7–14. ISSN 1815-9400.
3. Югова Д. И. Моделирование продолжительности логистических цепей при организации контейнерных перевозок // Вестник УрГУПС, 2010. № 4 (8). С. 72–81. ISSN 2079-0392.
4. Трофимов С. В. Научно-методические основы функционирования и развития промышленных транспортных системы: автореф. дис. ... на соиск. научн. ст. докт. техн. наук, МИИТ, 2004. — 46 с.

### References

1. Davydov A.V., Rubezhansky P. N. Metodicheskie podkhody k izmereniju pokazatelej sistemy upravlenija perevozochnym kompleksom [Methodological approaches to indicators measurement of transportation complex control system] // Transport Urala, 2010. № 1 (24). S. 19–22. ISSN 2079-0392.

$$\begin{cases} Z_{\text{уск}} < \Delta\Pi; \\ Q_{\text{сущ}} + Q_{\text{пред}} = Q_{\text{потреб}}, \end{cases} \quad (12)$$

где  $\Delta\Pi$  — изменение прибыли в результате ускорения контейнерного потока по выбранной схеме доставки, руб.;  $Q_{\text{сущ}}$  — грузопоток, переработанный по существующим схемам доставки, т;  $Q_{\text{пред}}$  — грузопоток, переработанный по предложенным контейнерным схемам доставки, т;  $Q_{\text{потреб}}$  — годовой план отгрузки готовой продукции, т.

Предложенная модель позволяет оптимизировать схему доставки контейнеров с продукцией по критерию максимизации прибыли грузоотправителя, оптимизировать время доставки, принимать оперативные решения по перераспределению контейнерного потока, ускорению или замедлению переработки потока между элементами системы. Кроме того, оптимизационная модель адаптивна к изменению качественных и количественных характеристик участников, что позволяет в оперативном режиме корректировать параметры перерабатываемых потоков как на отдельных элементах, так по всей схеме доставки в целом. ■

2. Rusakov A. S. Regulirovanie raschetno-platezhnykh otnoshenij v regionalnoj sisteme promyshlennogo zheleznodorozhnogo transporta [Regulation of calculation and payments in regional system of industrial railway transport] // Transport Urala, 2007. № 1 (12). S. 7–14. ISSN 1815-9400.
3. Yugova D. I. Modelirovanie prodolzhitelnosti logisticheskikh tsepej pri organizatsii kontejnernykh perevozok [Simulation of logistic chains duration at container shipment organization] // Vestnik UrGUPS, 2010. № 4 (8). S. 72–81. ISSN 2079-0392.
4. Trofimov S. V. Nauchno-metodicheskie osnovy funktsionirovanija i razvitija promyshlennykh transportnykh sistemy [Methodological fundamentals of operation and development of industrial transport systems]: avtoref. dis. ... na soisk. nauchn. st. dokt. tehn. nauk, MIIT, 2004. — 46 s.

*Статья сдана в редакцию 18 марта 2012 года*

# ОРГАНИЗАЦИЯ ОБРАЗОВАТЕЛЬНОГО ПРОЦЕССА

*С. Л. Усольцева*

УДК 37.037.2

## Индивидуализация учебного процесса как основа повышения физической подготовленности студентов

*S.L. Usoltseva*

UDC 37.037.2

## Study process optimization as the basis of students' physical training improvement

### Аннотация

В статье предложены рекомендации по оптимизации учебно-тренировочного процесса физического воспитания студентов с помощью его индивидуализации и компьютеризации. Разнообразие методических приемов физического воспитания может быть увеличено за счет использования конкретных технологий развития физических качеств и освоения двигательных навыков, заимствованных из подготовки в спорте высших достижений. Суть заключается не в копировании объемов и интенсивности тренировочной работы спортсменов в практику физического воспитания, а в использовании наработанных ими путем многих проб и ошибок наиболее удачных технологий.

### Ключевые слова:

оптимизация, индивидуализация, компьютеризация учебного процесса; физическая подготовленность студентов, доминирующие физические качества, корреляционные связи.

### Abstract

In the article they are given the recommendations on optimization of study process of students' physical training by means of its individualization and computerization. The diversity of physical training teaching methods can be increased at the expense of using specific technologies to develop physical skills and assimilate motor habits, borrowed from training in sport. The essence is not in copying the amount and intensity of sportsmen's training into students' physical training but in applying the best technologies which were got by trial and error.

### Key words:

optimization, individualization, study process computerization, students' physical training, dominant physical qualities, correlation connections.

Приоритетным направлением в индивидуализации содержания учебного процесса по физическому воспитанию в вузах должны стать задачи, направленные на поддержание и укрепление здоровья студентов, развитие профессионально-значимых физических качеств. Исследования, проводимые многими учеными для оценки состояния здоровья студентов, говорят о том, что в последние годы резко возросло число студентов с низким уровнем физической подготовленности [3]. Это проявляется в невысоком уровне развития основных физических качеств и слабой адаптации к физическим нагрузкам. Однако организм человека уникален — в отличие от других живых организмов он адаптируется к изменяющимся условиям жизни только на основе культурных механизмов. Именно поэтому

**Светлана Леонидовна Усольцева** — канд. техн. наук, доцент; кафедра «Физическое воспитание» Уральского государственного университета путей сообщения; Екатеринбург, Россия. E-mail: atevss.75@mail.ru.

**Svetlana L. Usoltseva** — PhD, associate professor; «Physical training» chair of the Ural State University of Railway Transport, Ekaterinburg, Russia. E-mail: atevss.75@mail.ru.

эффективность и целесообразность использования того или иного воздействия следует определять для каждого человека индивидуально.

Основной фактор изменения физического и психического здоровья человека — это специально организованный процесс, в ходе которого реализуются физические нагрузки, предъявляемые организму в определенных формах, объемах и интенсивностях с учетом индивидуальных особенностей организма и мотивации занимающихся [1, 2, 4]. Отсюда следует, что эффективность и качество учебного процесса по физическому воспитанию в вузах зависят также от уровня индивидуализации учебно-воспитательных воздействий, основанного на учете индивидуальных физических возможностей студентов и их личных интересов при выборе форм двигательной активности.

В научной и методической литературе достаточно широко освещается вопрос о комплексном применении средств для развития физических качеств. Совершенствование уровня физической подготовленности рассматривается как процесс постоянного одновременного развития основных физических качеств. Относительно содержания учебно-тренировочного процесса по физическому воспитанию студентов отделения общей физической подготовки имеются различные точки зрения. Некоторые авторы считают, что для достижения разносторонней физической подготовленности студентов используемые средства должны быть соотнесены с динамикой физической работоспособности студентов в учебном году [2, 4, 5]. Однако то количество часов, которое отведено в обязательном курсе на дисциплину «Физическая культура», не обеспечивает необходимый недельный объем тренировочной нагрузки. Поэтому выбор упражнений и дозирование нагрузок должны обеспечивать не только высокие достижения

в кратчайшие сроки, но и создавать предпосылки для дальнейшего удержания и роста результатов в течение продолжительного времени. Это позволит эффективно повысить уровень физической подготовленности и формирования двигательных навыков студентов [4, 8].

В качестве главного основания использования в нашем исследовании технологии, направленной на развитие доминирующих физических качеств, выступает научная парадигма, которая раскрывает закономерности комплексного развития физических качеств, их взаимосвязь, подтверждая наличие этих связей не только в отдельных видах спорта, но и в общей физической подготовке. Иначе говоря, воздействуя на одно физическое качество, мы также влияем на другие [7].

Исходя из этого применение в учебном процессе по физическому воспитанию технологии, направленной на развитие доминирующих физических качеств, позволит повысить уровень физической подготовленности студентов. Разработанные нами экспериментальные комплексы упражнений с акцентом на развитие базовых (кондиционных) качеств соответствуют требованиям, предъявляемым к воздействию на уровень физической подготовленности студентов.

Для проведения исследования было сформировано две группы студентов: экспериментальная и контрольная. В начале исследования нами были протестированы 495 студентов первого курса по основным тестам учебной программы по физической культуре. Данное исследование помогло определить, соответствуют ли выделенные выше основные физические качества (быстрота, сила, выносливость) с полученными результатами двигательной подготовленности студентов. Для этого нами были проведены контрольные тесты для определения уровня развития силы, быстроты, выносливости.

Исследование проводилось в течение трех лет, во время обучения студентов с первого по третий курс. Экспериментальную группу составили студенты электротехнического факультета. В контрольную группу вошли студенты электромеханического факультета. Результаты тестов, определяющие уровень физической подготовленности внутри каждой группы, показали значительные различия, но средние данные были практически одинаковы. Полученные данные позволили сделать вывод, что в процессе воспитания физических качеств студентов необходим индивидуальный подход.

Занятия в той и другой группах проводились в первой половине дня (до 13.00) как на стадионе, так и на беговой дорожке в манеже. Такие условия проведения исследования можно назвать уравниваемыми.

Какое физическое качество является доминирующим на определенном уровне физического развития студентов, можно выявить с помощью изучения уровня развития физических качеств, функционального состояния адаптационных возможностей организма (УФС) и степени сформированности двигательных навыков.

1. С целью выявления наиболее эффективных изменений в развитии физических качеств у студентов использовались батареи тестов, которые состояли из двух частей. В первый день — бег на 30 м с высокого старта, прыжок в длину с места, поднимание туловища из положения лежа на спине, согнув ноги, подтягивание на высокой перекладине, во второй — бег на 100 м с высокого старта, удержание тела в висе на согнутых руках, бег на 3000 м. Место проведения: манеж и стадион.
2. Функциональное состояние (УФС) адаптационных возможностей организма исследовалось в лабораторных условиях, в кабинете врача. По полученным данным

в соответствии с методикой был выполнен расчет показателей индекса УФС по формуле Р. М. Бавевского (1988):

$$\text{УФС} = (0,011 \cdot \text{ЧСС} + 0,014 \times \times \text{СД} + + 0,008 \cdot \text{ДД} + 0,014 \cdot W + + 0,009 \cdot P + 0,009 \cdot L) - 0,27,$$

где ЧСС — пульс за минуту; ДД — диастолическое давление; СД — систолическое давление;  $W$  — возраст;  $L$  — рост;  $P$  — вес.

Характеристика индекса функционального состояния адаптационных возможностей организма: а) индекс УФС  $\geq 1,9$  — удовлетворительная адаптация, которая обозначает высокие или достаточные функциональные возможности организма; б) от  $< 1,9$  до  $2,1$  — напряжение механизмов адаптации и свидетельствует, что достаточные функциональные возможности обеспечиваются за счет функциональных резервов; в) от  $< 2,1$  до  $2,3$  — рассматривается как неудовлетворительная адаптация и говорит о снижении функциональных возможностей организма.

3. Уровень сформированности двигательного навыка по данным С. В. Начинской (2005) и др. можно определить с помощью метода корреляционных плеяд. Этот метод позволяет выявить корреляционную взаимосвязь между различными видами двигательной деятельности, что косвенно поможет определить степень сформированности временных связей, которые обуславливают двигательный навык. Следуя этой теории, можно предположить, что на начальном этапе формирования двигательного навыка корреляционные связи в той или иной плеяде будут многочисленны и слабо сопряжены, т.е. коэффициент корреляционных плеяд будет колебаться от 0,7 до 0,8. Дальнейшее

улучшение технических характеристик, вне сомнения, будет отражаться на росте результатов, в то время как функциональные возможности могут оставаться на прежнем уровне. В таких случаях в плеяде произойдет разрыв слабовыраженных связей и образование новых более сильных связей степенью корреляции 0,8–1,0. Таким образом, образование или распад корреляционных связей между различными двигательными действиями, которые мы решаем в процессе учебной деятельности, закономерны, они будут зависеть от степени сформированности двигательных навыков. При формировании двигательных навыков в центральной нервной системе последовательно сменяются три стадии протекания нервных процессов: иррадиация возбуждения, концентрация возбуждения, автоматизация двигательного навыка [4].

При рассмотрении данных физической подготовленности исследуемых групп на констатирующем этапе существенных различий не выявлено. Так, по результатам контрольных тестов в беге на 30 и 100 м разница между контрольной и экспериментальной группами составила 0,14 с ( $P > 0,05$ ), а между показателями в беге на 3000 м — 17,0 с ( $P > 0,05$ ). Примерно такие же различия и в прыжках в длину с места и подтягивании на высокой перекладине.

Полученные результаты показали, что у студентов контрольной и экспериментальной групп в начале эксперимента уровень физической подготовленности был практически одинаковым.

В результате использования различных средств физической культуры и спорта человек повышает свою двигательную подготовленность, которая характеризуется повышенной работоспособностью.

Она обычно оценивается по уровню результатов контрольных тестов. К компонентам, обуславливающим уровень общей физической подготовленности студентов, относятся: мотивация, физическое совершенство, теоретические знания, индивидуальные особенности и формирование двигательных умений и навыков. Проявление подготовленности, всех ее компонентов связано со многими внешними условиями и воздействиями. Выявить значение и уровень развития каждого физического качества — увидеть, что является ведущим, что поддерживающим, что требует улучшения, что мешает.

Далее мы провели сравнительное изучение особенностей взаимосвязей исследуемых показателей вследствие различной направленности используемых комплексов упражнений. Само по себе улучшение показателей физической подготовленности — это результат целого ряда адаптивных перестроек организма на комплекс психофизических воздействий. Это собственные физические упражнения, общеразвивающие и специальные упражнения; психические нагрузки, которые формируют волевую и психоэмоциональную сферу; комплекс теоретических знаний по физической культуре; воздействия внешней среды и т.д., которые проявляются в улучшении функциональных возможностей, кондиционных физических качеств и сформированности двигательных действий и навыков. Исследуя уровень физической подготовленности студентов с помощью контрольных тестов, мы определяем комплексное развитие всех вышеуказанных составляющих.

Уровень сформированности двигательного навыка установили с помощью метода корреляционных плеяд. Это позволило косвенно установить степень сформированности временных нервно-мышечных связей, определяющих двигательный навык.

В нашем исследовании экспериментальная группа была разделена на три подгруппы с определенной направленностью на воспитание силы («С»), быстроты («Б»), выносливости («В»).

Анализ корреляционных взаимосвязей (по методу корреляционных плеяд) по разнонаправленным подгруппам проводился по всем контрольным тестам и показал, что общее число значимых взаимосвязей к концу исследования уменьшается. Уровень развития физических качеств (результат) оценивался по пятибалльной системе. В подгруппе «С» (рис. 1) в начале эксперимента обнаружены взаимосвязи между бегом на 100 м и прыжком в длину с места; прыжком в длину с места и подтягиванием; подтягиванием и бегом на 100 м. Наличие относительно низкого коэффициента корреляции  $r$  между результатами бега на 100 м и прыжком в длину с места  $r = 0,75$ , подтягиванием на высокой перекладине и прыжком в длину с места  $r = 0,72$  может указывать на тот факт, что эти временные связи не жестко детерминируют развитие вышеперечисленных физических качеств, определенных с помощью тестов (рис. 1). Результат в беге оценивается как 1 балл, в прыжках в длину — 3, в под-

тягивании — 4. Высокий коэффициент корреляции ( $r = 0,92$ ) между подтягиванием и бегом на 100 м можно расценивать как факт привлечения силовых групп мышц верхнего плечевого пояса в беге, что указывает на первую стадию формирования двигательного навыка — иррадиацию (от лат. *irradiare* — сиять, испускать лучи. Распространение, расширение (о волнах, очагах возбуждения, болевых ощущениях)) процессов возбуждения на неспецифичные этому виду деятельности группы мышц. Результаты контрольных испытаний и низкий коэффициент корреляции  $r$  показывают, что скоростно-силовые качества, определяемые с помощью этих тестов (бег 100 м, прыжок в длину с места), на самом деле не являются доминирующими в физической подготовленности этих студентов, хотя двигательно-координационные навыки присутствуют и имеют определенное развитие.

В конце эксперимента в подгруппе «С» (рис. 1) обнаружены корреляционные связи разорвались и определились новые, где результаты в беге на 30 и 100 м тесно коррелируют друг с другом, и показатели в этих видах контрольных нормативов значительно улучшены. Их изменения произошли не только за счет улучшения

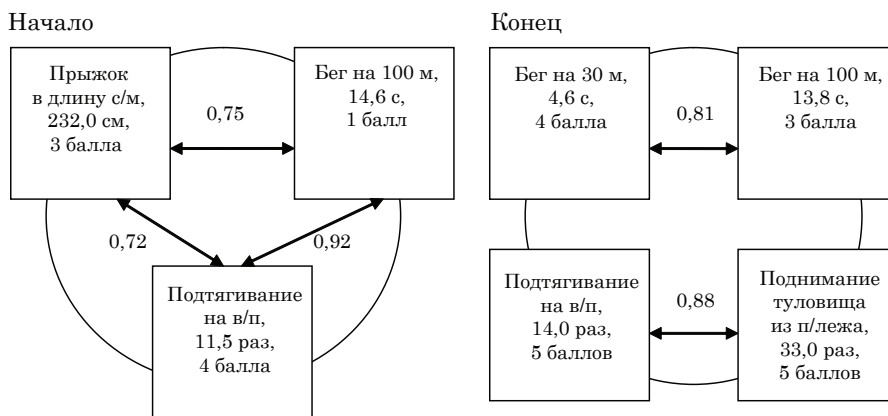


Рис. 1. Корреляционные связи в подгруппе «С»

В квадрате показаны: название теста, результат, оценка этого результата в баллах.  
 В круге показаны: корреляционные связи между признаками и теснота этих связей

координационных возможностей, но и за счет снижения процессов иррадиации и перехода в следующую стадию — концентрацию двигательного навыка.

Можно утверждать, что результат вырос за счет улучшения силовых показателей, о чем свидетельствуют данные тестов на силу — 5 баллов. Появилась взаимосвязь между упражнениями на подтягивание и удержание в висе  $r = 0,88$ . Ясно, что при наличии высокого уровня развития силовых качеств и тесной корреляционной связи между выявленными признаками студенты этой подгруппы еще не перешли в стадию стабилизации и автоматизации навыка. Сам факт указывает на наличие определенного потенциала в управлении двигательными действиями, что дает предпосылки к дальнейшей работе в этом направлении.

Рассматривая результаты тестов бега на 30 и 100 м (рис. 2) в подгруппе «Б», мы видим, что в начале эксперимента эти результаты тесно коррелируют ( $r = 0,86$ ).

Качество «быстрота» детерминировано генетически до 80% и в процессе тренировки может улучшиться на 11–13%. Показанный результат свидетельствует, что у студентов, отобранных в эту подгруппу, доминируют скоростные качества.

Если отталкиваться от теории формирования двигательных навыков, раскрывающей три фазы его формирования, можно предположить, что двигательный навык в подгруппе «Б» находится на первой стадии — иррадиации процессов возбуждения. Это свидетельствует о наличии определенного потенциала в управлении двигательными действиями и, соответственно, их дальнейшем улучшении. Для этой же группы характерно проявление силовых качеств, что наблюдается в тесной взаимосвязи между упражнениями на подтягивание и поднимание туловища из положения лежа  $r = 0,86$  (рис. 2). То есть в ответ на мышечные усилия в области брюшного пресса рефлекторно происходит возбуждение центров, ответственных за разные виды двигательной деятельности (подтягивание и поднимание туловища из положения лежа), ввиду иррадиации процессов возбуждения в ответ на физическую нагрузку, так как тонус мышечных групп при подтягивании и поднимании туловища из положения лежа, на которые возложены основные функциональные нагрузки, по данным тестирования находятся в относительно хорошем состоянии и соответствуют уровню выше среднего — 4-м баллам. Рассматривая упражнения с точки зрения формирования двигательного навыка,

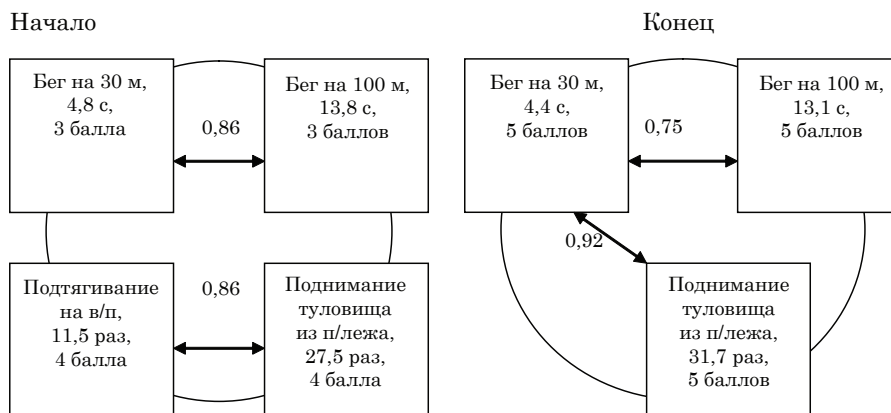


Рис. 2. Корреляционные связи в подгруппе «Б»

можно сказать, что этот навык находится на первой стадии формирования — иррадиации процессов возбуждения. Следовательно, у таких студентов есть определенный функциональный резерв для развития данного качества, который должен пройти еще две стадии — концентрации, стабилизации и автоматизации двигательного навыка.

Улучшение результата в беге на 30 и 100 м в конце эксперимента и снижение показателей коэффициента корреляции  $r = 0,75$  (см. рис. 2) указывает на то, что студент перешел в более высокую стадию формирования двигательного навыка — стадию концентрации. Так как эти связи не разорваны, можно утверждать, что студент еще не перешел в третью стадию — стабилизации и автоматизации навыка, что дает предпосылки к дальнейшей работе в этом направлении. Высокий корреляционный коэффициент и связь между упражнениями бег 30 м и поднятие туловища из положения лежа показывают  $r = 0,92$  (рис. 2), что развитие мышечного корсета, удерживающего внутренние органы в функциональном состоянии при активном беге, является физиологически обоснованным фактом.

В подгруппе «В» в начале эксперимента значимые корреляционные взаимосвязи между контрольными упражнениями не обнаружены. Результаты практически по всем контрольным тестам не превышают 3-х баллов. Полученные данные свидетельствуют, что в этой подгруппе уровень развития физических качеств соответствует в основном среднему. Учитывая корреляционный анализ и результаты тестов, можно предположить, что формирование двигательного навыка в подгруппе «В» находилось на первой стадии — иррадиации процессов возбуждения, но существовавшие корреляционные связи между исследуемыми физическими качествами, образованные при обучении в школе, носили краткосрочный

характер. Возможно, они были разрушены вследствие длительного перерыва в систематических занятиях физическими упражнениями, связанного с летними каникулами.

В конце исследования в подгруппе «В» отмечено образование четырех корреляционных связей между исследуемыми признаками (рис. 3). Так, обнаруженные взаимосвязи между бегом на 30 м и прыжком в длину с места; бегом на 100 м и прыжком в длину с места; удержанием в висе и подтягиванием имеют низкий уровень корреляции. Связь между бегом на 100 и 30 м носит более высокий уровень.

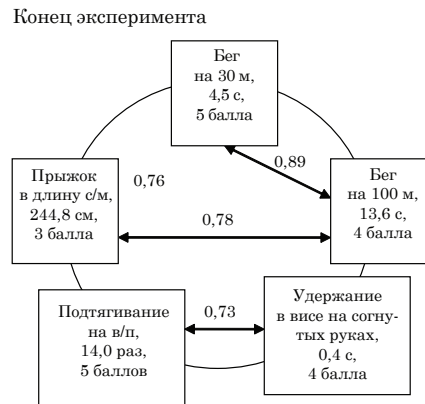


Рис. 3. Корреляционные связи в подгруппе «В»

Полученные данные контрольных тестов в конце исследования свидетельствуют об улучшении результатов по всем показателям, кроме удержания в висе. В этой подгруппе мы наблюдаем первую стадию — иррадиацию процессов возбуждения, при которой в формирование двигательного навыка включается большое количество ненужных мышечных групп, что и ведет к образованию многочисленных новых корреляционных связей между исследуемыми признаками.

Таким образом, на фоне общего повышения уровня развития образуются краткосрочные связи,

которые в процессе дальнейшей тренировки могут быть разрушены. Для подгруппы «В» благодаря повышению уровня физической подготовленности характерно образование новых связей между исследуемыми показателями, что свидетельствует о начальной стадии формирования двигательных навыков. Направленное воздействие на доминирующее качество (выносливость) позволило повысить уровень функционального состояния, улучшились координационные возможности, что также отразилось на повышении и скоростных и силовых и скоростно-силовых качеств. В подгруппах «С» и «Б» наблюдается более выраженная дифференциация во взаимосвязях показателей двигательной подготовленности.

Наряду со специфическим влиянием каждый вид деятельности оказывает и общее воздействие на физическую подготовленность и функциональное состояние занимающихся. Можно предположить, рост результатов, в основном, обусловлен улучшением координационных способностей и укреплением условно-рефлекторных связей. Косвенно это проявляется в улучшении техники и экономизации движений.

Анализируя соотношение сдвигов основных показателей физической подготовленности юношей экспериментальной (ЭГ) и контрольной (КГ)

групп в конце исследования, можно отметить, что налицо значительное увеличение показателей общей, скоростной и силовой выносливости, взрывной силы (таблица 1).

Подводя итоги оценки двигательных показателей обеих групп, можно сказать, что за весь период обучения в контрольном тесте бег на 30 м в ЭГ результат повысился на 0,4 с, ( $P < 0,05$ ). В КГ прирост составил 0,1 с, изменения не достигли статистически значимого уровня ( $P > 0,05$ ).

Оценивая уровень развития выносливости, мы отмечаем улучшение показателей у всех испытуемых. Такое сопоставление динамики полученных результатов позволяет полагать, что для повышения уровня работоспособности особое значение имеют не только объем и интенсивность занятий, но и непосредственная направленность влияния физических упражнений конкретно на те или иные органы и системы.

По всем параметрам тестирования студенты экспериментальной группы статистически достоверно превзошли юношей контрольной группы ( $P < 0,05$ ). Причиной данных изменений, на наш взгляд, является изменение содержательной части занятий за счет разделения студентов на подгруппы с определенной двигательной направленностью и введения дополнительного комплекса

Таблица 1

Исходные и конечные данные тестирования двигательной подготовленности в экспериментальной и контрольной группах

Контрольные нормативы	ЭГ	КГ	P	ЭГ	КГ	P
	n = 30	n = 20		n = 30	n = 20	
	$\bar{X}_1 \pm m_1$	$\bar{X}_1 \pm m_1$		$\bar{X}_2 \pm m_2$	$\bar{X}_2 \pm m_2$	
Бег 30, м/с	4,9 ± 0,1	4,8 ± 0,1	< 0,05	4,5 ± 0,1	4,7 ± 0,1	> 0,05
Бег 100, м/с	14,3 ± 0,1	14,1 ± 0,1	< 0,05	13,6 ± 0,1	14,1 ± 0,1	< 0,05
Прыжок в длину с места, м	230,6 ± 3,9	233,0 ± 2,5	< 0,05	233,0 ± 2,5	233,5 ± 3,2	> 0,05
Подтягивание, раз	11,7 ± 0,5	11,1 ± 0,2	< 0,05	13,4 ± 0,1	11,4 ± 0,1	> 0,05
Бег 3000 м/мин	13,1 ± 0,2	13,3 ± 0,2	< 0,05	12,4 ± 0,2	13,5 ± 0,2	> 0,05

упражнений на развитие «доминирующего» физического качества.

Результаты педагогического эксперимента дают основание утверждать, что рационально построенные занятия по физическому воспитанию с акцентированным воздействием на доминирующие физические качества стимулируют повышение уровня физической подготовленности студентов в целом. По данным исследования наблюдается увеличение показателей физической

подготовленности студентов экспериментальной и контрольной групп. Однако в экспериментальной группе повышение уровня развития физических качеств более значимы. Причиной данных изменений, на наш взгляд, является изменение содержательной части занятий за счет разделения на подгруппы с определенной двигательной направленностью и применения методики, направленной на воспитание доминирующих физических качеств. ■

### Литература

1. Бальсевич В. К. Основные положения Концепции интенсивного инновационного преобразования национальной системы физкультурно-спортивного воспитания детей, подростков и молодежи России // Теория и практика физической культуры. 2002. № 3. С.33—35.
2. Виленский М.Я. Физическая культура в гуманитарном образовательном пространстве вуза // Физическая культура: воспитание, образование, тренировка. 1996. № 1. С. 27–32.
3. Косолапов М. С. Мониторинг состояния здоровья, качества и образа жизни населения России. Влияние поведенческих факторов риска на здоровье населения. Тезисы докладов Всероссийской научно-практической конференции. М. : Первый МГМУ им. И.М. Сеченова, 2011. С. 172–174.
4. Лубышева Л. И. Технология реализации инновационных проектов совершенствования систем физического воспитания на региональном уровне — 2003. URL: <http://lib.sportedu.ru/press/fkvot> (дата обращения: 3.03.2003).
5. Усольцева С. Л. Актуализация доминирующих физических качеств как средство повышения уровня двигательной подготовленности студентов : дис. ... на соиск. уч. ст. канд. пед. наук. Екатеринбург : УрГПУ, 2006. с. Защищена: 25.12.2006.
6. Усольцева С. Л. Эффективность реализации индивидуально-дифференцированного подхода в процессе совершенствования физической подготовленности студентов / Здоровье, физическое развитие и образование: состояние, проблемы и перспективы : материалы рег. науч.-практ. конф., Екатеринбург, 14–17 апр. 2005 г. / Рос. гос. проф. — пед. ун-т. — Екатеринбург, 2005. С. 127–129.
7. Усольцева С. Л. Влияние упражнений силовой направленности на развитие физических качеств и формирование двигательных навыков студентов / Физическая культура и детско-юношеский спорт как средство развития дополнительного образования: опыт, перспективы, сотрудничество : материалы Всерос. науч.—практ. конф., Екатеринбург, 18 апр. 2006 г. / Урал. гос. пед. ун-т. — Екатеринбург, 2006. С. 50–52.
8. Усольцева С. Л. Доминирующие физические качества как основа повышения физической подготовленности студентов / В. И. Прокопенко, С. Л. Усольцева, А. В. Симонов // Образование и наука : Изв. УрО РАО, Прил. № 3, октябрь, 2006. С. 48–60.
9. Усольцева С. Л. Проблемы совершенствования физической подготовленности студентов в современных условиях / Физическая культура в системе жизнедеятельности человека : материалы Всерос. науч.—практ. конф. Оренбург, 1–2 марта, 2005 г. / Оренбург. пед. ун-т, 2005. С. 81–82.

### References

1. Balsevich V. K. Osnovnye polozhenija Kontseptsii intensivnogo innovatsionnogo preobrazovanija natsionalnoj sistemy fizkulturno-sportivnogo vospitanija detej, podrostkov i molodezhi Rossii [Basic regulations of intensive innovative reformation of a

- national system of physical training and sports education up of children, teenagers and youth in Russia] // Теория и практика физической культуры. 2002. № 3. С.33–35.
2. Vilenskij M.Ja Fizicheskaja kultura v gumanitarnom obrazovatelnom prostranstve vuza [Physical culture in humanitarian educational environment of University] // Fizicheskaja kultura: vospitanie, obrazovanie, trenirovka. 1996. № 1. С. 27–32.
  3. Kosolapov M.S. Monitorirovanie sostojanija zdorovja, kachestva i obraza zhizni naselenija Rossii. Vlijanie povedencheskikh faktorov riska na zdorovje naselenija. [Monitoring of health, quality and lifestyle of population in Russia] Tezisy dokladov Vserossijskoj nauchno–prakticheskoj konferentsii. M.: Pervyj MGIMU im. I.M. Sechenova, 2011. С. 172–174.
  4. Lubysheva L.I. Tehhnologija realizatsii innovatsionnykh proektov sovershenstvovaniya sistem fizicheskogo vospitanija na regionalnom urovne–2003. [Technology of innovative projects realization of physical education systems' improvement on a regional level] URL: <http://lib.sportedu.ru/press/fkvot> (data obravenija. 3.03.2003).
  5. Usoltseva S.L. Aktualizatsija dominirujushchikh fizicheskikh kachestv kak sredstvo povyshenija urovnja dvigatelnoj podgotovlennosti studentov [Update of dominating physical qualities as a tool of improving students' motor training level]: dis. ... na soisk. uch. st. kand. ped. nauk. Ekaterinburg : UrGPU, 2006. s. Zashchishchena: 25.12.2006.
  6. Usoltseva S.L. Effektivnost realizatsii individualno–differentsirovannogo podkhoda v protsesse sovershenstvovaniya fizicheskoy podgotovlennosti studentov [Efficiency of fulfilling individual and differential approach in the process of improving students' physical training] / Zdorovje, fizicheskoe razvitie i obrazovanie: sostojanie, problemy i perspektivy : materialy reg. nauch.-prakt. konf., Ekaterinburg, 14–17 apr. 2005 g. / Ros. gos. prof.-ped. un-t. – Ekaterinburg, 2005. С. 127–129.
  7. Usoltseva S.L. Vlijanie uprazhnenij silovoj napravlennosti na razvitie fizicheskikh kachestv i formirovanie dvigatelnykh navykov studentov [Influence of strength exercises on development of students' physical qualities and motor skills] / Fizicheskaja kultura i detsko-junosheskij sport kak sredstvo razvitija dopolnitelnogo obrazovanija: opyt, perspektivy, sotrudnichestvo : materialy Vseros. nauch.-prakt. konf., Ekaterinburg, 18 apr. 2006 g. / Ural. gos. ped. un-t. – Ekaterinburg, 2006. С. 50–52.
  8. Usoltseva S.L. Dominirujushchie fizicheskie kachestva kak osnova povyshenija fizicheskoy podgotovlennosti studentov [Dominating physical qualities as the basis of increasing students' physical training] / V.I. Prokopenko, S.L. Usoltseva, A.V. Simonov // Obrazovanie i nauka : Izv. UrO RAO, Pril. № 3, oktjabr, 2006. С. 48–60. ISSN?
  9. Usoltseva S.L. Problemy sovershenstvovaniya fizicheskoy podgotovlennosti studentov v sovremennykh uslovijakh [Problems of improving students' physical training in modern circumstances] / Fizicheskaja kultura v sisteme zhiznedejatelnosti cheloveka : materialy Vseros. nauch.-prakt. konf. Orenburg, 1–2 marta, 2005 g. / Orenburg. ped. un-t, 2005. С. 81–82.

*Статья сдана в редакцию 29 марта 2012 года*

# БЕЗОПАСНОСТЬ ЖИЗНЕДЕЯТЕЛЬНОСТИ

УДК 658.345

*Д. С. Крупенин, О. Р. Ильясов*

## Исследование влияния водного баланса организма и ряда физиологических реакций на электрическое сопротивление тела человека

UDC 658.345

*D. S. Krupenin, O. R. Ilyasov*

## Investigation of an influence of body water balance and number of physiological reactions on electrical resistance of a human body

### Аннотация

Сопротивление тела человека является одним из ведущих факторов, от которого существенно зависит величина тока, протекающего через человека, и тем самым опасность его поражения. В данной статье приведены результаты двух экспериментов, показывающих изменение сопротивления тела человека в результате физической нагрузки. В одном эксперименте испытуемый проделывал тяжелые физические упражнения, не употребляя воду, в другом — с употреблением воды. На графиках показано изменение сопротивления тела человека на фоне обезвоживания тканей испытуемого и ряда других физиологических реакций организма. Авторы делают предположение, что изменение сопротивления тела человека в процессе физической нагрузки зависит от водного баланса организма. Так, при кратковременной физической нагрузке сопротивление тела падает из-за увеличения скорости кровотока, объема сосудов и перераспределения жидкости в организме, а после длительной физической нагрузки происходит потеря влаги из организма, в результате чего сопротивление тела увеличивается.

Таким образом, показана важность учета такого параметра, как водный баланс организма в процессе проведения экспериментов по измерению электрического сопротивления тела человека.

### Ключевые слова:

электробезопасность, электротравма, электрическое сопротивление тела, гидратация тканей, поражение электрическим током.

### Abstract

Resistance of a human body is one of the leading factors, which current magnitude, flowing through a person, depends on and can cause electrical injury. In the article there are the results of two experiments, showing the change of a human body resistance after physical activity. In one experiment the person under test was doing hard physical activities without drinking water, in the other test — with water. In the graphs it is shown the change of a human body resistance in the setting of a person's tissues dehydration and a number of other body physiological reactions. The authors assume that the change of a human body resistance during the physical activity depends on a body water balance. Thus, during a short-term physical activity a human body resistance goes down because of increase of circulation time, tubules volume and body liquid redistribution; but after a long-term physical activity there is desiccation in a body, which leads to body resistance increase.

Thus, it is shown the importance of such a parameter as body water balance during testing on measuring a human body electrical resistance.

### Key words:

electrical safety, electrical accident, electrical resistance of a body, hydration of tissues, electric injury.

**Денис Сергеевич Крупенин** — аспирант; кафедра «Техносферная безопасность» Уральского государственного университета путей сообщения; Екатеринбург, Россия. E-mail: uralcarbon@yandex.ru.

**Олег Рашитович Ильясов** — д-р биол. наук, доцент; кафедра «Техносферная безопасность» Уральского государственного университета путей сообщения; Екатеринбург, Россия. E-mail: ilyasov3@rambler.ru.

**Denis S. Krupenin** — post-graduate student; «Technospheric safety» chair of the Ural State University of Railway Transport; Ekaterinburg, Russia. E-mail: uralcarbon@yandex.ru.

**Oleg R. Ilyasov** — DSc, associate professor; «Technospheric safety» chair of the Ural State University of Railway Transport; Ekaterinburg, Russia. E-mail: ilyasov3@rambler.ru.

Тело человека — проводник электрического тока, а электрическое сопротивление тела человека является переменной величиной. Эта величина имеет нелинейную зависимость от состояния кожи, параметров электрической цепи, физиологических факторов и состояния окружающей среды.

Сопротивление тела человека — это один из ведущих факторов, от которого существенно зависит величина тока, протекающего через человека, и тем самым опасность его поражения.

Основываясь на данных, полученных нами в предыдущих исследованиях [1], была поставлена задача изучения влияния водного баланса организма на электрическое сопротивление тела человека с учетом различных физиологических реакций организма, возникающих при изменении водного баланса.

С целью выявления характера влияния электрического сопротивления от физической нагрузки, проведена серия предварительных измерений на одном испытуемом. Измерения проводились в течение трех летних месяцев, по два-три раза в неделю; серия измерений электрического сопротивления на одном испытуемом (муж., 21 год, вес 62 кг) непосредственно перед тяжелыми физическими упражнениями, длившимися от часа до полутора, и сразу по их окончании. Измерения проводились в дневное время, с 12.00 до 16.00 ч. Электрическое сопротивление замерялось при напряжении 7 В в ди-

апазоне частот от 50 Гц до 20 кГц для определения величины емкостной составляющей от рогового слоя кожи и мембран клеток на высоких частотах тока из общего сопротивления тела. Площадь дисковых электродов экспериментальной установки составила 12,5 см<sup>2</sup>. Температура воздуха в тренажерном зале в летние месяцы — +25–28 °С. У испытуемого замерялось артериальное давление (тонометр ОТК V 90, цена деления 1 мм рт. ст.) и температура тела (термометр Normal Glas 360, цена деления 0,1 °С).

В одной серии (26 измерений в течение двух месяцев) тестируемый выполнял физические упражнения, не потребляя дополнительно воду и теряя при этом в среднем 800 г в весе в течение тренировки и 600–650 калорий энергетических затрат. В другой серии (11 измерений в течение одного месяца) тестируемый потреблял пол-литра воды.

Первая серия измерений — контрольная, эталон для сравнения изменения сопротивления тела человека с экспериментальным вторым вариантом. В экспериментальных измерениях ставится вопрос о степени влияния водного баланса тела человека на его электрическое сопротивление. Для этого необходимо проследить зависимость изменения сопротивления во время занятий спортом без употребления жидкости и при дополнительном употреблении жидкости.

Цель первой части эксперимента — определение контрольного характера изменения электрического

Таблица 1

Изменение сопротивления тела человека в зависимости от частоты тока перед физическими (спортивными) упражнениями (26 измерений)

$R_{\text{тела}}$	Частота переменного тока $f$ , Гц											
	50	100	150	200	400	600	1000	2000	4000	6000	10000	20000
$R_1$ , Ом	700000	175000	116667	77778	38889	25000	16279	9091	5185	3763	2672	1750

сопротивления тела до и после физической нагрузки. Результаты измерений приведены в таблицах 1 и 2 ( $f$  — частота переменного тока,  $R1$  и  $R2$  — сопротивление тела человека до и после физической нагрузки соответственно).

Коэффициент корреляции для выборки при этом составляет  $R^2 = 0,986$ , что подтверждает высокую достоверность измерений.

Коэффициент корреляции выборки составляет  $R^2 = 0,995$ , что подтверждает высокую достоверность измерений.

Важно отметить, что величина сопротивления в несколько МОм при частоте 50 Гц справедлива только для небольших напряжений. При напряжении в 40 В происходит пробой рогового слоя кожи, что уменьшает емкостную составляющую общего сопротивления тела  $Z$ . Однако проведение лабораторных измерений при напряжении выше 40 В может быть опасным. Используя генератор синусоидального тока высокой частоты, мы можем безопасно исключить емкостную составляющую сопротивления тела. Эта тенденция представлена в таблицах в виде уменьшения электрического сопротивления с ростом

частоты тока. Математически это доказывается с помощью формулы определения модуля полного сопротивления тела человека:

$$Z = \sqrt{\left(r_b + \frac{2r_n}{1 + \omega^2 r_n^2 C_n^2}\right)^2 + \left(\frac{2\omega r_n^2 C_n}{1 + \omega^2 r_n^2 C_n^2}\right)^2}, \quad (1)$$

где  $C_n$  — наружная емкостная составляющая сопротивления кожи;  $r_b$  — внутреннее активное сопротивление тканей и органов,  $r_n$  — наружное активное сопротивление кожи;  $\omega$  — частота переменного тока [2].

Из формулы (1) видно, что с возрастанием  $\omega$  модуль сопротивления уменьшается, так как при  $\omega = 2\pi f \rightarrow \infty$ ,  $Z \rightarrow r_b$ .

На частоте порядка 10–20 кГц полное сопротивление наружного слоя кожи мало и его можно принять с некоторыми допущениями равным нулю, то есть при  $f = 10\text{--}20$  кГц полное сопротивление тела человека равно внутреннему:  $Z = r_b$  Ом.

Для сравнения полученных данных сведем их в один график (рис. 1) и приведем данные в таблице 3 ( $f$  — частота переменного тока,  $R1$  и  $R2$  — сопротивление тела человека до и после физической нагрузки соответственно).

Таблица 2

Изменение сопротивления тела человека в зависимости от частоты тока после занятий спортом (26 измерений)

$R_{\text{тела}}$	Частота переменного тока $f$ , Гц											
	50	100	150	200	400	600	1000	2000	4000	6000	10000	20000
$R2$ , Ом	3500000	1000000	466667	259259	116667	77778	46667	25926	14894	10606	7609	4730

Таблица 3

Усредненные результаты измерений в первой части опыта

$R_{\text{тела}}$	Частота переменного тока $f$ , Гц											
	50	100	150	200	400	600	1000	2000	4000	6000	10000	20000
$R1$ , Ом	700000	175000	116667	77778	38889	25000	16279	9091	5185	3763	2672	1750
$R2$ , Ом	3500000	1000000	466667	259259	116667	77778	46667	25926	14894	10606	7609	4730
$R2/R1$	5,00	5,71	4,00	3,33	3,00	3,11	2,87	2,85	2,87	2,82	2,85	2,70

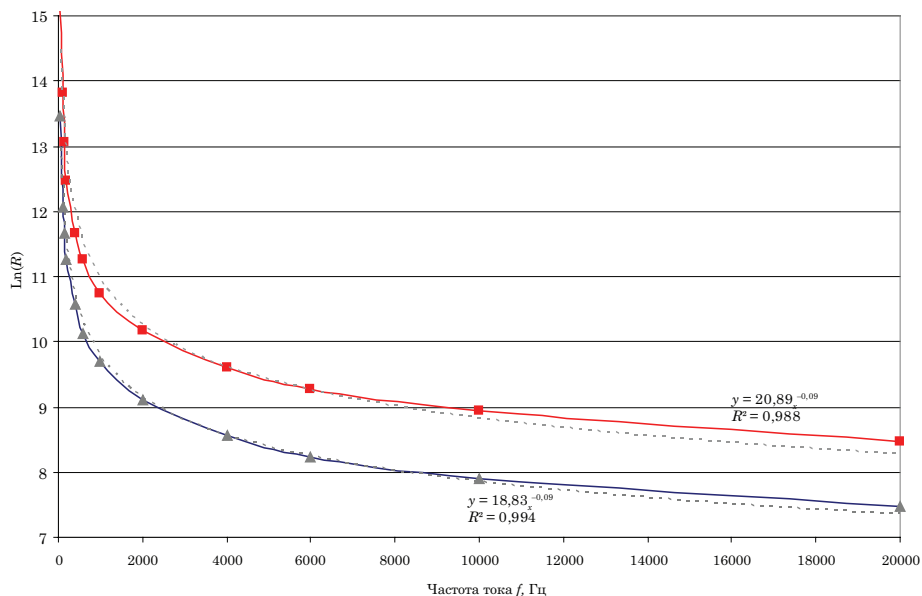


Рис. 1. Усредненные результаты измерений опыта 1  
 R1 — сопротивление тела до физической нагрузки;  
 R2 — сопротивление тела после физической нагрузки  
 —▲— R1, Ом; —■— R2, Ом;  
 - - - - - степенная функция R1; - - - - - степенная функция R2

Как видно из таблицы 3 и рис. 1, среднее значение сопротивления тела при частоте 50 Гц увеличилось в пять раз, а при частоте 20 кГц — в 2,7. При этом коэффициент корреляции двух усредненных кривых, описанных формулами (перед и после физической нагрузки), составляет  $R^2 = 0,998$ . Увеличилась не только активная, но и емкостная составляющая сопротивления тела человека. Это обстоятельство может быть обусловлено обезвоживанием тканей, вследствие чего электропроводимость изолирующего слой между обкладками конденсатора (который образуется в виде рогового слоя кожи между электродом и внутренними тканями человека) снижалась.

Несмотря на увеличение сопротивления тела человека в результате физической нагрузки, обезвоживание не может выступать в качестве рекомендуемого мероприятия для улучшения электробезопасности, так как в организме происходят негативные

процессы, нарушающие стабильную работу организма.

Человек чрезвычайно остро ощущает изменения содержания воды в организме и может прожить без нее всего несколько суток. При потере воды до 2% веса тела (1–1,5 л) появляется жажда, при утрате 6–8% наступает полубморочное состояние, при нехватке 10% появляются галлюцинации. Потеря свыше 20% воды для организма может привести к необратимым последствиям. Поэтому важно соблюдать питьевой режим [3].

Правильный питьевой режим подразумевает сохранение физиологического водного баланса — это уравновешивание поступления и образования воды с ее выделением.

Суточная потребность взрослого человека в воде — 30–40 г на 1 кг веса тела. Считается, что в среднем человек потребляет суммарно в сутки 2,5 л воды, столько же выводится из организма.

Обезвоживание (гипогидрия, гипогидратация, эксикоз) развивается в тех случаях, когда выделение воды превышает ее поступление в организм (отрицательный водный баланс). Это может быть при нарушении поступления воды в организм (водное голодание, нарушение глотания, атрезия пищевода, коматозное состояние и др.) или при повышенной ее потере (понос, рвота, кровопотеря, потеря жидкости с экссудатом — ожог и др.), а также при сочетании этих состояний. При обезвоживании теряется в первую очередь внеклеточная жидкость и ионы натрия, а при более тяжелой его степени — калий и внутриклеточная жидкость.

Обезвоживание влечет за собой тяжелые последствия, связанные с уменьшением объема циркулирующей крови (гиповолемия) и повышением ее вязкости, что может вызвать тяжелое нарушение кровообращения и микроциркуляции, коллапс.

Нарушение кровообращения приводит к развитию гипоксии тканей, от которой в первую очередь страдает центральная нервная система. Это может проявляться помрачением сознания, галлюцинациями, развитием коматозного состояния. При этом также нарушаются функции нервных центров, ритм дыхания, повышается температура тела [3].

Помимо изменившегося сопротивления тела человека, после физической нагрузки в организме происходят также и другие физиологические изменения. Нами были проведены исследования по выявлению взаимосвязей функционирования сердечно-сосудистой системы и электрического сопротивления тела человека.

Результаты серии экспериментов взаимосвязей работы сердечно-сосудистой системы человека и сопротивления тела человека до и после физической нагрузкой приведены на рис. 2.

В процессе работы установлено, что пульс в каждом из 26-ти замеров

до физической нагрузки находится в пределах 60–70 сокращений в мин. Таким образом, функция сердечно-сосудистой системы в этих условиях в процессе исследования резко не менялась.

Как видно на рис. 2, при длительных физических нагрузках (полтора-два часа) частота сердечных сокращений увеличивается (в среднем с 66 до 97 сокращений в мин), электрическое сопротивление тела человека также растет. Возможно, вследствие возникающих физиологических реакций организма в процессе физической нагрузки происходит увеличение электрического сопротивления тела человека.

Учащение пульса происходит за счет укорочения диастолы и сердечной паузы, что имеет для организма определенные последствия: во-первых, период времени между двумя систолами является временем отдыха сердечной мышцы и укорочение периода может нарушить равновесие в физико-химических процессах, происходящих в мышечных волокнах сердца, что, в свою очередь, может привести к утомлению сердца. Во-вторых, во время диастолы желудочки наполняются кровью. При слишком большом укорочении этого периода при данной скорости венозного притока будет недостаточно для совершенного наполнения, и желудочки могут начать выбрасывать меньшее количество крови [3].

Температура тела испытуемого менялась в среднем с 36,9 до 37,1 °С (рис. 3). Так как температура тела испытуемого изменялась незначительно, следовательно, мы не можем предполагать, что именно температура оказала существенное влияние на электрическое сопротивление тела человека.

Однако косвенное влияние на изменение электрического сопротивления тела температура оказать способна. Основным механизмом регуляции теплоотдачи служит изменение

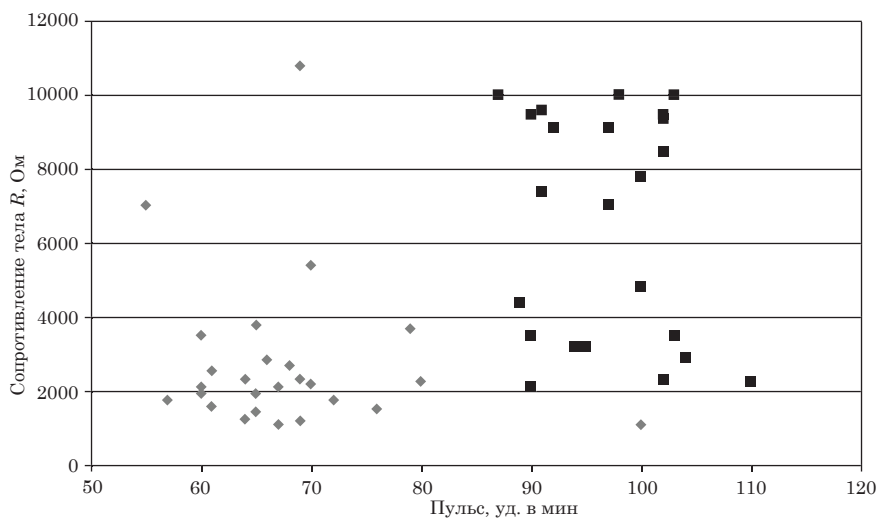


Рис. 2. Влияние пульса на электрическое сопротивление тела человека (при частоте 20 кГц) до и после физической нагрузки

◆ — перед занятием спортом; ■ — после занятия

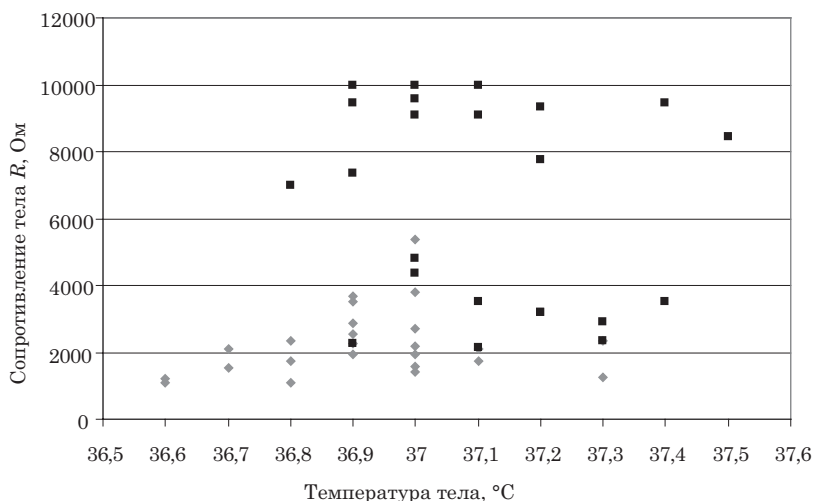


Рис. 3. Температура тела до и после физической нагрузки при переменном токе 20 кГц

◆ — перед физической нагрузкой; ■ — после физической нагрузки

объема крови, поступающей в периферические сосуды. Богатое кровообращение в коже и подкожной жировой клетчатке способствует переносу тепла к поверхности тела, где происходит его выделение. Кроме того, теплоотдача повышается при потоотделении. Потовые экзокринные железы контролируются симпатической нервной системой, которая реагирует на холинергическую стимуляцию. Потеря

тепла с потом может быть огромной — за 1 ч может испаряться более 1 л жидкости. Уровень теплоотдачи при потоотделении также зависит от влажности окружающего воздуха. Чем больше влажность, тем меньше возможность потери тепла этим путем.

Тяжелая или длительная физическая нагрузка может привести к повышению температуры тела. Выраженное повышение температуры

тела при физической нагрузке обычно компенсируется гипервентиляцией, а также расширением сосудов кожи, приводящим к потере тепла. Однако эти компенсаторные механизмы могут не выдерживать, что приводит к гиперпирексии, а затем к тепловому удару. Многие из этих отрицательных моментов тяжелой физической нагрузки (например, бег на длинную дистанцию) можно предотвратить, если назначать подобные упражнения только при температуре воздуха ниже 27,8 °С и только при обеспечении обильного питья до и во время забега [3].

Таким образом, повышение температуры тела и как следствие увеличение объема крови в периферических сосудах (в коже и подкожной жировой клетчатке) способно оказать влияние и на электрическое сопротивление тела человека.

Другим измеряемым физиологическим параметром было артериальное давление.

Артериальное давление испытуемого менялось с 137/87 до 130/85 мм рт. ст., при этом электрическое сопротивление тела менялось в большом

диапазоне. Можно предположить, что на изменение сопротивления тела человека артериальное давление сильного влияния не оказывает.

Изменение артериального давления, особенно в начальном периоде работы, происходит волнообразно, что объясняется запаздыванием местного и рефлекторного расширения периферического русла по отношению к увеличивающемуся объему циркуляции.

При относительно легкой работе давление нарастает пропорционально мощности работы; при более выраженной работе, достигнув определенного уровня, артериальное давление стабилизируется, несмотря на дальнейшее увеличение мощности выполняемой работы. При очень напряженной и длительной работе, вызывающей резкое утомление, систолическое давление может снижаться. Оно понижается в тот момент, когда частота сердечных сокращений достигает 180 уд/мин [3].

Во второй части исследования влияния водного баланса на электрическое сопротивление тела человека была сделана серия из 7 заме-

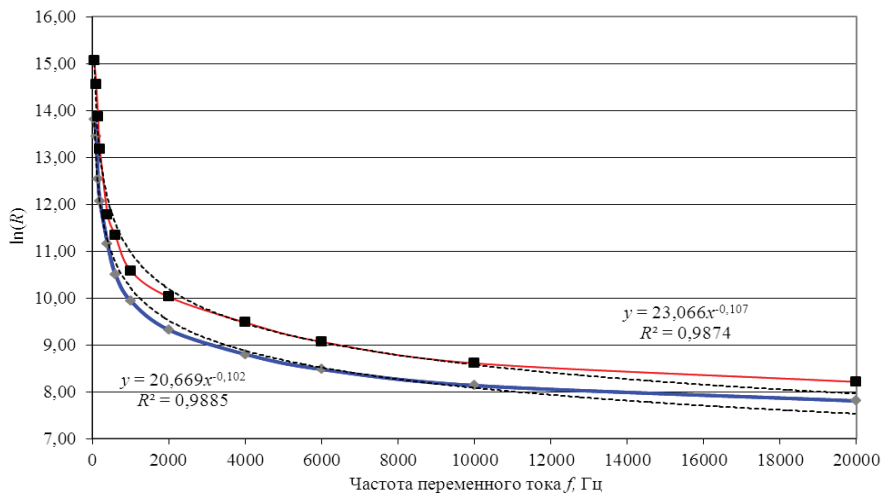


Рис. 4. Изменение сопротивления тела человека во второй части эксперимента (с дополнительным употреблением воды)  
 —●—  $R1$  — сопротивление тела перед физической нагрузкой  
 —■—  $R1$  — сопротивление тела после физической нагрузки;  
 - - - - - степенная функция  $R1$ ; - - - - - степенная функция  $R2$

ров (с приемом жидкости в объеме полулитра). Результаты измерений приведены на рис. 4 и в таблице 4.

Как видно из рис. 4 и таблицы 4, среднее значение сопротивления тела при частоте 150 Гц увеличилось в 3,75 раз, а при частоте 20 кГц — в 1,5 раза. При этом коэффициент корреляции двух усредненных графиков (перед физической нагрузкой и после нее) составляет  $R^2 = 0,99$ . Как и в первой части опыта, увеличились активная и емкостная составляющие сопротивления тела человека.

Теперь сравним две части опыта: без употребления воды и с дополнительным употреблением воды (рис. 5, таблица 5).

$R11$  — сопротивление тела перед физической нагрузкой в первой части эксперимента;  $R12$  — сопротивление тела после физической нагрузки в первой части эксперимента;  $R21$  — сопротивление тела перед физической нагрузкой во второй части эксперимента;  $R22$  — сопротивление тела после физической нагрузки во второй части эксперимента.

Таблица 4

Результаты измерений во второй части опыта

$R_{\text{тела}}$	Частота переменного тока $f$ , Гц									
	150	200	400	600	1000	2000	4000	6000	10000	20000
$R1$ , Ом	280000	175000	70000	36842	20896	11200	6667	4828	3415	2456
$R2$ , Ом	1050000	525000	131250	84000	39623	22581	13125	8678	5490	3684
$R2/R1$	3,75	3,00	1,88	2,28	1,90	2,02	1,97	1,80	1,61	1,50

Таблица 5

Сравнение соотношения сопротивлений до и после физической нагрузки ( $R2/R1$ ) в двух частях опыта (с употреблением воды и без)

$R2/R1$	Частота переменного тока $f$ , Гц									
	150	200	400	600	1000	2000	4000	6000	10000	20000
Без употребления воды	4,00	3,33	3,00	3,11	2,87	2,85	2,87	2,82	2,85	2,70
С употреблением воды	3,75	3,00	1,88	2,28	1,90	2,02	1,97	1,80	1,61	1,50

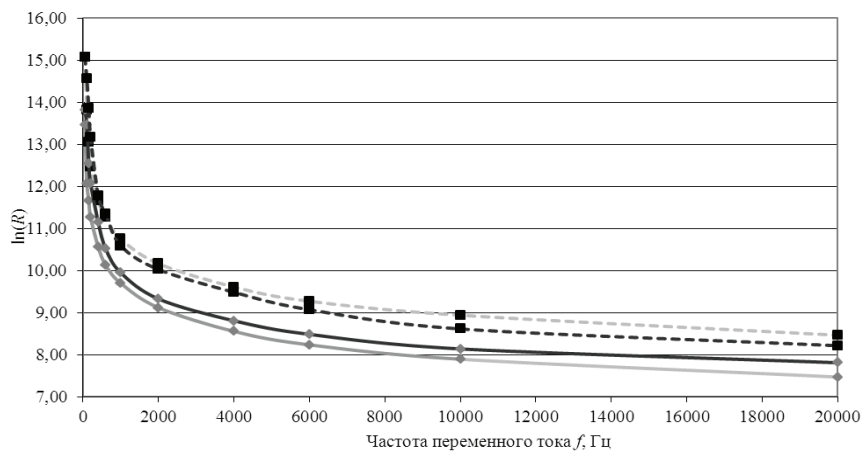


Рис. 5. Изменение сопротивления тела человека в двух частях эксперимента (с употреблением воды и без)

Как видно из рис. 5 и таблицы 5, дополнительное употребление жидкости (воды) существенно изменяет внутреннее сопротивление тела человека ввиду большой гидратации органов и тканей.

На основе полученных результатов эксперимента можно предположить, что большой вклад в величину внутреннего сопротивления тела человека оказывает количество жидкости в организме.

Однако В.И. Королькова [5] и некоторые другие ученые показывают, что сопротивление тела человека уменьшается при физической нагрузке. В этом случае важно заметить, что изменение сопротивления зависит от условий проведения эксперимента, в частности от продолжительности физической нагрузки. Известно, что при увеличении скорости кровотока (как при физической нагрузке) происходит увеличение электропроводности крови. Так как во время систолы не только увеличивается объем сосудов из-за увеличения массы крови, но и скорость ее перемещения, то изменения импеданса определяют совокупностью этих явлений.

Стоит отметить, что измерения проводились после окончания довольно продолжительных (1–1,5 ч) тяжелых физических нагрузок, в течение которых происходило обезвоживание тканей организма. Следовательно, можно сделать вывод, что в начале тренировки сопротивление тела падает из-за наполнения тканей кровью (что подтверждают результаты В.И. Корольковой). В процессе тренировки, без дополнительного приема жидкости, на фоне потери влаги из организма (через пот, дыхание, диффузию воды через поверхность кожи) кровь густеет, за счет чего электропроводность уменьшается.

Помимо сгущения, в крови увеличивается содержание кислорода от обильных физических упражне-

ний, уменьшается рН крови, уменьшается содержание натрия, увеличивается показатель сахара.

Также содержание влаги в организме оказывает влияние на верхний роговой слой кожи — эпидермис. А. Тишков [6] показал, что сопротивление кожи при снятии эпидермиса у трупа падает с 200 кОм до 700 Ом [6]. Сопротивление ткани зависит не только от толщины эпидермиса, но и от сухости — при смазывании кожи сопротивление ее падает на 40%. Измерив электрическое сопротивление рогового слоя эпидермиса, физики получили невероятные, на первый взгляд, величины: каждый квадратный сантиметр кожи имеет сопротивление от нескольких миллиардов до сотен миллиардов Ом. Значительное — в несколько сот и даже тысяч раз — изменение электрического сопротивления эпидермиса оказалось связано с диффузией воды (причем непосредственно через кожу, а не через потовые железы) в процессе регулирования температуры тела. Транспортировка жидкости через кожу, благодаря которой организм может сбросить в окружающее пространство до 12,9 ккал своей тепловой мощности, определяется тонусом расположенных в коже кровеносных сосудов. Чем сильнее они наполняются кровью, тем интенсивнее испаряется влага через верхний роговой слой кожи. Заряд, естественно, станет стекать быстрее, а напряженность электрического поля при этом снизится.

Нужно отметить важность учета баланса жидкости в организме при проведении исследований электрического сопротивления тела человека в тяжелых условиях труда и нагревающем микроклимате, учитывать также фактор времени как определяющий показатель изменения биофизических и биохимических процессов в живом организме как единой динамично меняющейся системы. ■

### Литература

1. Крупенин Д. С. Баланс жидкости в организме при проведении исследований электрического сопротивления тела человека // Молодые ученые — транспорту — 2009 : Сб. научн. тр.; В 3-х ч. Екатеринбург : Изд-во УрГУПС, 2009. С. 264–272. ISBN 978-5-94614-138-3.
2. Кузнецов К.Б., Мишарин А. С. Электробезопасность в электроустановках железнодорожного транспорта : учеб. пособие для вузов / К. Б. Кузнецов. М. : Маршрут, 2005. 253 с., ISBN 5-98035-199-0.
3. Федюкович Н. И. Анатомия и физиология человека : уч. для учащихся медицинских училищ. Ростов-на-Дону : Феникс, 2003. 416 с.
4. Зайко Н.Н., Быць Ю. В., Атаман А. В. и др. Патологическая физиология : уч. для студентов мед. вузов. Киев : «Логос», 1996. 135 с.
5. Королькова В. И. Электробезопасность на промышленных предприятиях. М. : Машиностроение, 1970. — 520 с.
6. Тишков И. П. О сопротивлении человеческого тела электрическому току. СПб : Изд-во ВММА, 1986. — 58 с.
7. Белов С. В., Ильницкая А. В., Козьяков А. Ф. и др. Безопасность жизнедеятельности : учеб. для вузов / Под общ. ред. С. В. Белова. — 8-е изд., стер. — М. : Высш. шк., 2008. — 616 с. ISBN 978-5-06-004171-2.
8. Вайлов А. М. Электрическое сопротивление тела человека / Вопросы электротехники и электроники // Труды МИИТ. — М. : Изд-во «Транспорт», 1969. — Вып. 299. С. 19–24.
9. Девисилов В. А. Охрана труда : учебник. — 3-е изд., испр. и доп. — М. : Форум : ИНФРА-М, 2007. — 448 с. (Профессиональное образование). ISBN 978-5-91134-111-4 (Форум), ISBN 978-5-16-002984-9 (ИНФРА-М).

### References

1. Krupenin D. S. Balans zhidkosti v organizme pri provedenii issledovanij elektricheskogo soprotivlenija tela cheloveka [Balance of body liquid when doing research of electrical resistance of a human body] // Molodye uchenye — transportu-2009 : Sb. nauchn. tr.; V 3-h ch. Ekaterinburg: Izd-vo UrGUPS, 2009. S. 264–272. ISBN 978-5-94614-138-3.
2. Kuznetsov K. B., Misharin A. S. Elektrobezopasnost v elektroustanovkakh zheleznodorozhnogo transporta [Electrical safety in railway transport electrical installations] : ucheb. posobie dlja vuzov / K. B. Kuznecov. M. : Marshrut, 2005. 253 s., ISBN 5-98035-199-0.
3. Fedjukovich N. I. Anatomija i fiziologija cheloveka [Human anatomy and physiology] : uch. dlja uchawihsjia medicinskih uchiliw. Rostov-na-Donu : Feniks, 2003. 416 s.
4. Zajko N. N., Byts Ju. V., Ataman A. V. i dr. Patologicheskaja fiziologija [Physiopathology] : uch dlja studentov med. vuzov. Kiev : «Logos», 1996. 135 s.
5. Korolkova V. I. Elektrobezopasnost na promyshlennykh predpriyatijakh. [Electrical safety on industrial enterprises]. M. : Mashinostroenie, 1970. — 520 s.
6. Tishkov I. P. O soprotivlenii chelovecheskogo tela elektricheskomu toku. [On electric current resistance of a human body] SPb : Izd-vo VMMA, 1986. — 58 s.
7. Belov S. V., Ilnitskaja A. V., Kozjakov A. F. i dr. Bezopasnost zhiznedejatelnosti [Safety of vital activities] : ucheb. dlja vuzov / Pod obw. red. S. V. Belova. — 8-e izd., ster. — M. : Vyssh. shk., 2008. — 616 s. ISBN 978-5-06-004171-2.
8. Vajlov A. M. Elektricheskoe soprotivlenie tela cheloveka [Electrical resistance of a human body] / Voprosy elektrotehniki i elektroniki // Trudy MIIT.— M. : Izd-vo «Transport», 1969.— Vyp. 299. S. 19–24.
9. Devisilov V. A. Okhrana truda [Labour safety] : uchebnik. — 3-e izd., ispr. i dop. — M. : Forum : INFRA-M, 2007. — 448 s. (Professionalnoye obrazovaniye). ISBN 978-5-91134-111-4 (Forum), ISBN 978-5-16-002984-9 (INFRA-M).

*Статья сдана в редакцию 15 апреля 2012 года*

# ДИСКУССИОННАЯ ТРИБУНА

УДК 26: 261.7

ББК 86.2

*Е. П. Пьяных*

## Религия и церковь в истории России

UDC 211.5

LBC 63.3

*Е. P. Pjanykh*

## Religion and church in the history of Russia

### Аннотация

Статья посвящена проблеме особенностей русской религиозности. Феномен православности анализируется в исторической динамике. Показывается, что на Руси и в России доминировало преимущественно обрядоверие, преобладание внешней, культовой стороны религиозности. В настоящее время в России активно возрождается именно религиозная форма — культ. На современном этапе православие и церковь в России выявляют традиционные тенденции: идеологическое обслуживание и поддержка власти; недостаточное внимание к духовным потребностям прихожан; нравственная несостоятельность многих представителей духовенства.

Утверждение о национально-религиозном ренессансе и втором Крещении является в большей степени идеологемой, когда «идея верь» выдается за подлинную веру, внешне (храмовое, обрядовое) благочестие — за истинную христианскую религиозность.

### Ключевые слова:

религия, религиозность, церковь, вера, христианство, православие, обрядоверие, русская православная церковь.

### Abstract

The article is devoted to the problem of peculiarities of Russian religiousness. The orthodoxy phenomenon is being analyzed in historic dynamics. It is shown that in Rus and Russia faith in rites, prevalence of religion outer cult side predominated. Nowadays this religious form — cult is actively reviving in Russia. At the present step the orthodoxy and church in Russia show up the traditional tendencies: ideological servicing and State power support; lack of attention to church people's spiritual needs; moral inconsistency of many clergy representatives.

The statement of national-religious renaissance and the second christening is ideologeme to a considerable degree, when «the idea of faith» is claimed as true faith, surface (patronal, ritual) piety as true Christian religiousness.

### Key words:

religion, religiousness, church, faith, Christianity, orthodoxy, faith in rites, Russian Orthodox church.

**Елена Павловна Пьяных** — канд. философ. наук, доцент; кафедра философии и истории Уральского государственного университета путей сообщения; Екатеринбург, Россия. E-mail: lena.cogito@yandex.ru.

**Elena P. Pjanykh** — PhD, associate professor; «Philosophy and history» chair of the Ural State University of Railway Transport, Ekaterinburg, Russia. E-mail: lena.cogito@yandex.ru.

Актуальность рассмотрения проблем религиозности и церкви обусловлена тенденцией возрастания роли религиозного фактора в государственной и общественной жизни России в последние двадцать лет. В обществе укореняется идея, что религия необходима как основа национального самосознания и культуры, как носительница ценностей. Вся история России демонстрирует теснейшую связь православия и национальной идентичности. Православие вступает едва ли не единственным символом своеобразия и национальной образа жизни. Сотрудничество церкви и государственных структур обретает почти средневековые формы, когда российские государи без согласования с патриархом не могли принять ни одного важного государственного решения. При этом налицо факт критического падения уровня морали и нравственности современных россиян. Можно ли говорить сегодня о религиозности как об «органической сущности» русского духа, как это утверждалось целой плеядой отечественных мыслителей? Вопрос этот актуален еще и потому, что именно с этим качеством русского народа связываются и сегодня надежды на национальное возрождение России.

Еще один интересный аспект проблемы религиозности исследован М. Вебером в известной работе «Протестантская этика и дух капитализма», посвященной выявлению обусловленности «хозяйственного мышления» определенной религиозной направленностью народа. Вебер обнаружил и доказал наличие связи капиталистического способа хозяйствования с рациональной этикой аскетического протестантизма. Протестантская проповедь упорного, постоянно физического или умственного труда, понимание труда как поставленной богом цели всей жизни человека, истолкование успехов в труде как божественной благодати — все эти за-

поведи протестантизма серьезно повлияли на формирование капиталистического (рационального) способа производства. В свою очередь, демократические институты власти возникали как следствие развития рыночной экономики. Значение европейской Реформации XVI в. состоит не только в попытках «исправления» католической церкви. Самое важное, на наш взгляд, достижение Реформации касается именно понимания труда как «богоугодного», «спасительного» занятия человека. В противовес католической точке зрения моральное значение мирского профессионального труда и религиозное воздаяние за него в протестантской этике чрезвычайно возросли. Все законные занятия считаются божественным призванием. По словам Лютера, «труд монаха и священника в глазах божиих ничуть не превыше труда крестьянина или домохозяйки». «Единственным средством стать угодным богу считается не пренебрежение мирской нравственностью с высот монашеской аскезы, а исключительно выполнение мирских обязанностей так, как они определяются для каждого человека его местом в жизни; тем самым эти обязанности становятся для человека его «призванием» [1]. Протестантская этика с ее ценностью труда как такового, заповедями дисциплины, неуклонного соблюдения собственных обязанностей, аскетичности в быту оказала большое влияние на формирование современной деловой этики.

В свете данных наблюдений возникает следующий вопрос: какие ценности способна укоренить в сознании россиян русская православная церковь (РПЦ) и способна ли она в ее нынешнем виде побудить людей прислушаться к тем ценностям, которые она проповедует: к идеям духовности, милосердия, любви к ближнему? Ответ на данный вопрос следует искать в истории русского православия.

Прежде чем начать экскурс в далекое прошлое, определим наиболее значимые для данной темы понятия и сформулируем исходные тезисы. Христианская религиозность представляет собой двуединство веры и культа. Вера как внутренняя сторона религиозности представляет реальное содержание наличного религиозного опыта, в котором бог открывается человеку. Сторона внешняя являет собой систему догматов, священное писание и предание, определенные священнодействия и культ. Религиозный человек принимает для себя специфический способ бытия-в мире и, несмотря на значительное разнообразие историко-религиозных форм, этот способ всегда узнаваем. Независимо от исторического контекста, в котором пребывает религиозный человек и независимо от его конфессиональной принадлежности, он всегда верует в существование абсолютной реальности, священные истоки жизни.

Эволюция христианства закономерно вела к определенному смещению смысловых акцентов и переносу центра внимания с вопросов вероучения и культа к проблемам практического воздействия на образ жизни и поведения верующих. Эти проблемы ставятся уже в самом священном писании. Один из главнейших пунктов христианства — евангельское обращение, призывающее: «Итак, будьте совершенны, как совершен Отец ваш Небесный!» (Мф. 5; 48) ставит перед человеком абсолютный идеал совершенства, цель и задачу личного самоусовершенствования. Человек же предназначен к тому, чтобы исполниться в качестве Человека. Эту мысль хорошо, на наш взгляд, выразил Николай Кузанский: «Человек есть бог, только не абсолютно, а относительно; соответственно и у творческой деятельности человека нет другой конечной цели, кроме человека. Он не выходит за свои пределы, когда творит...» [2]. Будучи верующим,

человек обретает в своей вере стимул к делам, дела же должны свидетельствовать о вере и укреплять ее, «ибо как тело без духа мертво, так и вера без дел мертва» (Иак. 2; 14). Л. Толстой подтверждает это библейское положение: «Вера есть познание человеком такого своего положения в мире, которое обязывает его к известным поступкам» [3]. Отсюда следует и большую ценность представляет «жизнь-в-вере», а не формальная, внешняя религиозность. Выглядеть христианином еще не значит быть им.

Исследования свидетельствуют, что крещение Руси на всем протяжении древнерусской истории не произвело коренного перелома в сознании общества. Рассказы о принятии Русью христианской веры попали на страницы летописей гораздо позже самого события. Интерес древних книжников к принятию христианства возрос, когда эта религия утвердилась как господствующая идеология.

Выбор веры был обусловлен во многом политическими соображениями правящих кругов. «Распространив свою власть практически на все славянско-русские земли, Владимир неизбежно должен был придерживаться какой-то... «общенациональной» политической программы, которая, по условиям того времени, выражалась в религиозной форме» [4].

Принятие христианских норм не было психологическим насилием для новообращенных, которые привыкли к элементарному противопоставлению добра и зла. Под покровом христианства долгое время (вплоть до XVIII в.) сохранялось язычество. Не отвергались важнейшие элементы языческих верований и обрядов: последние частью продолжали самостоятельное существование, частью соединялись с христианской обрядностью. Целостное христианское учение в своей ритуальной и символической парадигме соответствовало логике более древних культов, которые были не отменены, но преобразены

христианством в новом синтетическом единстве. Общая масса русского народа, будучи вполне христианизированной, продолжала до XVIII в. придерживаться суевренных обрядов старого языческого богослужения (особенно в семьях).

Этот феномен сосуществования языческих и христианских верований принято называть двоеверием или обрядовверием. Православию удалось победить язычество лишь благодаря поддержке власти, продуманной организации (чего не было у языческих культов) и, конечно, благам культуры (письменность, изобразительное искусство), которые оно несло с собой.

В народном понимании христианство оценивалось не как религия, претендующая на духовную монополию, и уж тем более не как вера и духовность, оно принималось сообразно с языческой традицией. Христианизация замедлялась и «неискренностью многих служителей церкви, о чем повествует «Слово о лжепророках» (XVIII в.) — факт констатации неблагополучия, а именно: несоблюдения христианских запретов в поведении, увлечении гаданием и волшебством и участия в оргиях, достаточно наглядно показывает, что кризис мировоззрения на Руси в XIII в. не был явлением актуальным, а вера христианская соперничала с бытовым атеизмом» [5].

Отметим и тот немаловажный факт, что христианство с момента принятия его Древней Русью сразу же стало тесно смыкаться с государственной властью. Об этом говорят и факты канонизации церковью политических деятелей, связанных с княжескими династиями и превращенных в объект религиозного поклонения (св. Ольга, св. Владимир, св. Борис и Глеб). Политизация религии не была случайным явлением для Руси. Само принятие христианства было актом прежде всего политическим, и избрана была именно восточная модель христианства,

дающая преимущество светскому правителю над духовным. Приняв союз с государством, церковь обрела политическую власть и взяла на себя обязательство оправдания государственной власти. Приспособив веру в бога к политике, она тем самым поставила под вопрос нравственную состоятельность самой веры.

Таким образом, следует различать факт принятия христианства Древней Русью как историческое событие, имевшее большое политическое и культурное значение, и зарождение собственно христианской религиозности и веры в широких кругах русского народа как событие его духовной жизни. Крещение Руси означало для народа прежде всего оформление церкви как социального института, создание церковной организации и иерархии в противовес разрозненным языческим культам.

Новая христианская религиозность получает своеобразные национальные черты уже в Киевский период (IX–XIII). Это, во-первых, крайне элементарное понимание сущности христианства основной массой русского народа (как аристократической элитой, так и широкими народными массами), сводящее веру к обрядоверию. К. Кавелин полагал, что православие было воспринято русскими преимущественно с формальной, внешней, обрядовой стороны, потому что они (русские) по степени своего развития «были не способны подняться до внутреннего духовного содержания христианства» [6].

Источники сообщают очень мало сведений о характере религиозности простого народа, но достаточно говорят о русских князьях и вообще об аристократическом меньшинстве, наиболее просвещенном и наиболее прочно «христианизированном». Успехов и глубины этого процесса не стоит преувеличивать: «христианизация» была изначально делом элиты. Набожность, измеряемая усердием к домашней и общественной

молитве у князей, к строению церквей (большой частью, не из мотивов религиозности, а в значительной степени из житейского тщеславия), путешествиям к святым местам и некоторым другим делам внешнего благочестия, сразу сделалась характерной чертой русской элиты. Этим был поставлен знак равенства между обрядной и нравственной праведностью, формой и содержанием религиозности. Русский человек демонстрировал особый тип христианина, усердно исполнявшего обряд, но мало осознающего богословские и моральные основы исповедуемой им религии. Объяснение этого феномена довольно простое: язычество было укоренено в природной, естественной жизни; христианство же долго было иностранной религией, для своего принятия оно требовало просвещения. Грубые языческие пороки — пьянство, доходившее до крайностей, обычай многоженства и беспорядочная легкость разводов, случаи жестокости, в том числе и среди духовенства — были велики и требовали вековых исправительных усилий. Христианская церковь сыграла, несомненно, большую положительную роль как в полном уничтожении некоторых из этих пороков (например, ликвидировала многоженство), так и в их смягчении (возвышении женщины как полноправной личности, помощь холопским людям и др.).

Во-вторых, в этот период зажглись очаги подлинной, гармоничной религиозности в лице древнерусских святых, своеобразно усвоивших классические христианские традиции жизни-в-вере, что будет способствовать в дальнейшем развитию лучших черт русской религиозности. В лице Феодосия Печерского — родоначальника русского монашества — христианская духовность, сохранив аскетическую византийскую традицию, усилила евангельский элемент, который ставил во главу угла действительную любовь, служение людям, милосердие.

Аскетический идеал требовал умерщвления плоти, отвращения от житейских благ и радостей. Проповедь аскетизма и отсутствие в этот период учения о мирской христианской нравственности создавали у наиболее чутких религиозных людей разлад в их совести и порывы к тому, чтобы хотя бы перед смертью формально принять монашеское пострижение, поскольку вся полнота христианской святости и едва ли не единственный путь спасения усматривался именно в идеальных образцах монастырских добродетелей. Отсюда, в-третьих, невозможность быть подлинным христианином для рядового русского мирянина из-за отсутствия учения о мирской христианской нравственности, которое сочетало бы заповеди веры с потребностями повседневной будничной жизни, по причине богословского «молчания».

С XIII в. начинается своя история Московское царство. На протяжении XIII–XV вв. вновь наблюдается преобладание формальной стороны религиозности. Но элементарные познания по части христианского вероучения были чужды не только мирянам и низшему духовенству, но и монашеству и представителям высшей иерархии. Иностранцы путешественники в этот период утверждают, что миряне не знали ни евангельской истории, ни символа веры, ни главнейших молитв, в том числе «Отче наш», объясняя свое невежество тем, что эта высокая наука не для них.

XV в. — золотой век русской святости, давший более всего преподобных русской церкви. Но в это время русская святость переживает свой первый раскол, к которому приводит борьба двух течений русского монашества — нестяжательства и иосифлянства.

Победу в этой борьбе одержали последние во главе с Иосифом Волоцким. И это не случайно, так как именно иосифлянство в силу своих особенностей более соответствовало, на наш

взгляд, сущности русской религиозности. Во-первых, иосифлянство отличалось большей ограниченностью и строгостью в соблюдении обрядов и устава. Во-вторых, для иосифлян характерна строгость к грешнику, нетерпимость к еретикам, яркий религиозный национализм, что соответствовало складывающимся в то время представлениям о Руси как единственной хранительнице христианства во всей его чистоте. В-третьих, немалую роль в победе иосифлян сыграли накопление богатства ради социальной организации благотворительности (хотя скоро вотчинно-монастырский быт стал противоречить монашескому обету), а также поддержка самодержавной власти. Система Иосифа Волоцкого — психологическое подчинение христианства нуждам мира сего — слишком очевидно соответствовала утилитарной психологии московского государства.

В свою очередь, нестяжатели, руководимые Нилом Сорским, жили исконной духовной традицией православия — процессом духовного и нравственного сложения христианской личности. Если Иосиф Волоцкий повелел печься прежде о телесном благообразии, а уж потом о внутреннем мире, то Нил Сорский взамен внешней нагрузки предписал своим ученикам систему «внутреннего делания», — путь борьбы за спасение души. Это «делание сердечное», сосредоточенная внутренняя работа духа над самим собой, состоящая в том, чтобы «умом блюсти сердце» от вредных, грешных помыслов и страстей, а также евангельские добродетели (любовь, кротость, всепрощение) нестяжателей, их духовная свобода и собственная бедность, независимость от светской власти были непонятны, а следовательно, не слишком популярны у больших масс народа и духовенства.

XVI в. характеризуется в первую очередь упадком традиционной монашеской религиозности. «Царь Иван

прямо указал на этот упадок Стоглавomu собору: «В монастыри постригаются не ради спасения души, а покоя ради телесного, чтобы всегда бражничать» [7]. Кроме того, это век правления Ивана Грозного, для которого набожность сочеталась с жестокостью (опричнина была задумана им как монашеский орден). Но и в те времена на Руси разврат и жестокость легко уживались с обрядовой строгостью. Впрочем, как и в более поздние, и нынешние времена.

XVII в. является во многом переломным в истории русской религиозности. В это время вскрывается кризис московского православия, прежде всего официальной церкви, которая не могла выполнить роль «духовного врача», хранителя нравственного здоровья народа. В 1636 г. девять нижегородских протопопов подают патриарху Иосафу доклад, в котором дают весьма печальную картину русских церковных нравов. Начинают с указания на царящие в храмах «мятеж церковный и ложь христианскую», то есть на непорядки и несоблюдение духа веры, обвиняют духовенство в лености и нерадении. Также церковники отмечают неясность, невнятность и небрежность богослужения, отчего прихожане не могут приобрести пользы душевной от пребывания в храме. В самой церкви во время службы прихожане шумят, ходят, разговаривают и даже сквернословят.

Ввиду того, что при беспорядочной службе (многогласии) и непорядке в храме прихожане не получают никакого христианского воспитания, их нравственный и духовный уровень остается очень низким, хотя они официально и числятся православными. Нравственное состояние населения тоже очень печально — оно часто пьянствует, предается разврату; ругань молодежи и стариков постоянно оскорбляет уши как посторонних, так и самих членов семьи, причем дети часто не уважают родителей. Вместо

благочестивого времяпровождения русский люд по праздникам предаётся кулачным боям. Все это, по мнению нижегородских священников, — результат отсутствия должного христианского воспитания, которое население должно получать в церкви [8].

Таким образом, самой насущной проблемой после Смуты стала реформа церкви. Реформу проводили не архиереи, а священники: протопоп Иван Неронов, духовник юного царя Алексея Михайловича Стефан Вонифатьев, знаменитый Аввакум. Ревнители благочестия действовали по двум направлениям: во-первых, в области «социального христианства», под которым подразумевались устные проповеди и непосредственная работа среди паствы: закрытие кабаков, устройство богаделен, приютов для сирот; во-вторых, они занимались исправлением обрядов и собственно богослужебных книг.

Иван Неронов стал предтечей подлинно реформационного движения, стремившегося сделать из «богоизбранного народа Третьего Рима» народ подлинного христианства. Представители этого движения хотели стать христианами не только «на бумаге», но и на деле, и были готовы провести в жизнь свои идеалы и реформировать русскую православную церковь на практике; они получили название боголюбцев. Боголюбцы хотели добиться того, чтобы красота внешняя, церковная, стала красотой внутренней, гармонией общения верующей души с богом, требовавшей соответствия мыслей и дела с божественным словом.

Но это первое крупное сознательное движение за подлинную христианскую религиозность было встречено с неодобрением как церковной иерархией и значительными кругами консервативного и косного духовенства, заинтересованного большей частью в своем житейском спокойствии и доходах, чем в вопросах веры, так и широкими народными массами.

Таким образом, назрела реформа церкви. Патриарх Никон принял опыт обрядовой и книжной реформы, ориентируясь на греческую веру. Реформа Никона привела к новому расколу религиозности. Раскольники и старообрядцы, не принявшие нововведений, ушли в леса, чтобы сохранить в чистоте свою веру. «Старообрядчество заслуживает внимания как одно из проявлений основных свойств русского народа, — писал Н. О. Лосский. — В нем выразилась глубокая религиозность в сочетании с силою чувства и воли, ведущими к поразительному фанатизму и экстремизму» [9].

Приверженность к прошлому русского православия, к молитвенному подвигу предыдущих поколений русских святителей и святых, духовников и мирян играла большую роль в русском расколе и вдохновляла вождей сопротивления никоновским новшества. Но, отколовшись от церкви, старообрядцы иногда в значительной степени изменяли более важные черты традиционного русского православия, чем те, которые пострадали в результате реформ Никона. Говоря о старом обряде, вожди сопротивления Никону и епископату вели своих последователей не обратно к древнемосковской вере, а к вере новой, основанной на желании более активной, более целостной религиозной жизни, чем та, которую они находили в своих приходах. Именно со второй половины XVII в., с раскола, начинается собственно народное религиозное движение.

Раскол в известном смысле оторвал от церкви ее лучшие силы, для которых внешний уклад и быт не были самодовлеющими ценностями. События, предшествовавшие расколу, сам раскол свидетельствовали о рассогласовании формы и содержания массовой русской религиозности, их несоответствии друг другу. Отдельно существовал обряд, участие в котором не воспитывало под-

линно христианских чувств; с другой стороны, вера не находила соответствующего оформления в силу косности и пассивности самой церковной жизни.

Раскол можно рассматривать как попытку русской Реформации. В Западной Европе Реформация привела к образованию протестантского движения, формированию новых принципов веры. В России защитники старого благочестия были поставлены вне церкви; это отлучение могло только еще более утвердить их уверенность в том, что проблема обряда чрезвычайно важна и имеет большое догматическое и богословское значение. И, как показывают данные современных этнографических исследований, в старообрядческих поселениях в России и за рубежом соблюдались принципы, очень схожие с протестантскими: аскеза в быту, упорный труд, привычка полагаться только на себя, собственные способности. Демидовы, Морозовы и другие крупные российские предприниматели были старообрядцами, в управлении и собственности которых находилось 64 % российской промышленности.

XVIII в. принес реформы Петра I, коснувшиеся и русской православной церкви. Произошло ведомственное включение церкви в государство («Ведомство Православного Исповедания»). В результате этого «первосвятители наши, — констатирует Н.М. Карамзин, — уже только были угодниками Царей и на кафедрах языком Библейским произносили им слова похвальные. Для похвал мы имеем стихотворцев и придворных; главная обязанность Духовенства есть учить народ добродетели... Церковь подчиняется мирской власти и теряет свой характер священный; усердие к ней слабеет, а с ним и вера...» [10].

XIX в. зажег два новых духовных костра — Саров и Оптина пустынь, — но одновременно происходит «бюрократизация» монашества:

«в сущности, то было только номинальное монашество, кроме видимого «образа» или одежды здесь мало оставалось монашеского. Это ученое «черное» духовенство всегда меньше всего было носителем аскетического начала. Обеты молчаливо преступались по невыполнимости. Монашество для «ученых» перестает быть путем послушания и подвига, становится для них ... путем ко власти и чести...» [11].

Несмотря на развитие духа секуляризации, уже в XVIII в. все настойчивее выдвигается религиозная идея как основа новой идеологии. Те религиозные мыслители, которые связали себя с православной церковью, становятся вождями и вдохновителями большого и творческого движения, которое ищет в религиозном, церковном сознании ответа на все сложные вопросы жизни. Славянофилы верили в особый тип культуры, возникающий на духовной почве православия. Мыслители религиозно-культурного ренессанса прилагали все усилия для реформации традиционного православия. Отчетливо видя недостатки официально церкви, накрепко привязавшей себя к самодержавию, они резко выступали против того, что называли русской «религиозной обывательщиной» или бытовым православием. Последнее широко распространилось в народе, далеко, естественно, от всех разногласий. Бытовое православие, отличаясь повышенным вниманием к обрядовой стороне религии, отнюдь не способствовало упрочнению в народе христианской нравственности. Наоборот, внешнее истовое почитание святых нередко сопровождалось нравственной недостаточностью, душевной черствостью и жестокостью — «срастание греха с внешним благочестием».

О диалоге между официальной церковью и интеллигенцией не могло быть и речи: воинствующая агрессивность интеллигенции по отношению

к религии и церкви, с одной стороны, и тесная связь церкви с государственной властью, с другой, полностью исключали его возможность. Что же касается истории отношений официальной церкви и движения религиозно-культурного ренессанса, то здесь попытки наладить общение предпринимались. Известно, что религиозно ориентированные писатели и философы не раз обращались к представителям церкви с предложениями о совместном обсуждении мировоззренческих проблем.

С этой целью в 1901–1903 гг. были устроены религиозно-философские собрания в Петербурге. Но результат их оказался крайне ограниченным: лишь некоторые церковнослужители как частные лица примкнули к новому движению. Ответной реакции со стороны официальной церкви не последовало.

Совершенно оторванные от современности, не отвечающие сколь-нибудь удовлетворительно на вопросы реальной жизни людей церковности России и религия вообще не могли не стать предметом оживленных общественных дискуссий. Не случайно в России начала века стали появляться многочисленные религиозно-философские общества, кружки, организации и издания, прозванные богоискательскими, но на самом деле занимавшиеся не «поисками бога», а поисками ответов на актуальные вопросы, определением адекватных реальности форм религиозной жизни и выяснением действительного значения христианства в наступившей эпохе. Важное место в этом процессе занимала московская религиозная философия; более других ориентированная на традиционные ценности православия она стремилась максимально соединить собственно религиозную интеллектуальную деятельность с решением ряда смежных задач, стоявших в тот момент: выработка новых идеологических основ русской государственности.

Православный патриотизм, национализм — это идеологическое течение может быть охарактеризовано как мирнообновленческое, — его приверженцы последовательно отстаивали в политических дискуссиях необходимость и возможность создания мощного национального государства путем постепенных преобразований. Выразителем взглядов такого рода и идеологическим центром христианско-либерального национализма должно быть названо московское книгоиздательство «Путь». Участие в определении новых духовных основ в русской общественной и государственной жизни, формировании новой национальной идеологии, основанной на началах христианской религиозности, патриотизма представлялось учредителям «Пути» их важной задачей. Они стремились возродить православие в качестве активной социальной и культурной силы, чтобы с его помощью решить насущные проблемы России.

До «неоправославного ренессанса» начала XX в. православие никогда не было связано с каким-либо общественным движением, мечтавшим улучшить народную жизнь или способствовать духовному и социальному прогрессу. «Религиозность русского народа и кроткая благостность духовенства, казалось бы, должна была выразиться в проповеди социального христианства, в учении о том, что принципы христианства следует осуществлять не только в личных индивидуальных отношениях, но и в законодательстве и в организации общественных и государственных учреждений» [12]. Славянофилы (Хомяков, Аксаков) были сторонниками этой идеи. Но достаточно серьезных организаций и движений социального христианства в православной России не было. Не случайно многие представители дворянства начала прошлого века, искавшие в христианстве социально-преобразующей силы, обращались к католичеству (М. Лунин,

П. Чаадаев, В. Печерин и др.). Великая социально-терапевтическая сила христианства не была использована — слишком несостоятельной, не имевшей собственной позиции, лишенной свободного духовного развития оказалась русская церковь.

Религия и церковь существовали и на протяжении всего советского периода. Об этом свидетельствует и деятельность церкви во время Великой Отечественной войны, восстановление и открытие храмов в послевоенные годы, подъем религиозности в 1960–1970-е годы. 1980-е годы, особенно 1986–1987, — время поднятия статуса русской православной церкви в глазах советской общественности, ему способствовали выступления в средствах массовой информации таких видных деятелей науки и культуры как С. А. Аверинцев, Д. С. Лихачев, Б. Раушенбах.

В 1988 году состоялся неофициальный семинар по проблемам христианства в России. В центре внимания участников оказались следующие вопросы: церковь не подготовлена к встрече с человеком, воспитанным в атеистическом обществе; у церкви нет концепции человека-мирянина; проблемой церкви является и то, что среди традиционно-церковного люда широко распространено обрядоверие, отрицательное отношение к любой внехрамовой общественной христианской деятельности; опасения внушает также политическая ангажированность русской православной церкви.

Любопытен документ, опубликованный в 1990 году Советом по делам религий, в котором безымянный автор попытался определить течения внутри русской православной церкви. Основное течение среди мирян — «религиозные конформисты» — люди, выполняющие церковные обряды «на всякий случай», — это большинство; вторая категория верующих — «обрядоверы» (18%), посещающие богослужения и исполняющие все обряды,

но не принимающие активного участия в приходской жизни; самая малая по количеству (0,3%) категория верующих — «религиозные активисты» — активные прихожане. Аналогичным образом разделяется и духовенство: первая категория — духовенство, облеченное властью, заинтересованное в сохранении статус-кво, пассивное; вторая группа — требователи: чаще всего священники старше сорока-пятидесяти лет, которые не имеют ни желания, ни сил заниматься подлинно пастырским служением; и третья группа — «обновленцы», стремящиеся к активизации приходов и мирян, миссионерской и благотворительной деятельности, демократизации внутренней жизни церкви [13].

С момента интронизации нынешнего патриарха Кирилла основной тезис его выступлений: РПЦ прошла этап восстановления и строительства, теперь наступает период всеобщего воцерковления, второго крещения Руси. Но и на современном этапе православие и церковь в России выявляют традиционные тенденции: идеологическое обслуживание и поддержка власти; недостаточное невнимание к духовным потребностям прихожан; нравственная несостоятельность многих представителей духовенства.

Во-первых, продолжается срастание церкви с государством, упрочение ее экономических позиций. Происходит передача церкви в собственность находящегося у государства церковного имущества. Церковь вновь, как и в Средние века, оказывается крупнейшим собственником. РПЦ в различных документах (начиная с послания Архиерейского собора 2000 года, где заявлено, что передача церковной собственности церкви еще и не начиналась) заявила претензии на 443 монастыря, 12 665 приходов и около 2 млн га земли. По оценкам экспертов, если РПЦ сумеет добиться передачи всей собственности, права

на которую она заявляет, она получает имущество, сопоставимое по стоимости с активами ОАО «Газпром», РАО «ЕЭС России», РАО «РЖД». Мнение, что «церковь — это просто организация, которая управляет массами в своих интересах и зарабатывает денежку, причем весьма хорошую денежку» довольно распространено не только в среде неверующих или сомневающихся, но и среди истовых прихожан.

Во-вторых, среди прихожан по-прежнему преобладает обрядоверие которое и в доказательствах не нуждается. Даже на пасху в храмы приходит меньше 5% населения — это главный православный праздник и пик посещаемости церквей.

В среде самих священнослужителей наметился определенный раскол. «Еще немного — и спастись в миру будет проще, чем в монастыре. Монахи искушаются самодурством архиереев, архиереи — своей неограниченной властью, священники — необходимостью выстраивать слишком неформальные отношения с бизнесом и чиновниками. Все это было и раньше, но тогда у церкви были тактические задачи: надо было строиться, восстанавливаться — можно было пойти и на компромиссы. Теперь же мы хотим воцерковлять Россию, а такие дела делаются только по логике сердца и без всяких компромиссов. Теперь церкви нужны не исполнители, а настоящие духовные авторитеты — такие, какими были отец Иоанн Кронштадтский или святитель Николай Сербский. А где их взять при таком церковном устройстве?» [14].

В-третьих, русская православная церковь превращается (или уже превратилась) в организацию, управляемую по законам светского менеджмента. Ставка делается на бюрократические методы управления, присутствует тотальная отчетность, например, о количестве участников крестных ходов, крещеных и отпетых мирян с приложением фотографий.

Подобное администрирование заполняет религиозный вакуум, заменяет деятельность духовно сильных наставников, миссионерство.

Функционерство было бы оправдано в том случае, если бы за ним стояли истинные ценности и идеи, сплачивавшие народ, и дающие импульс к развитию. Пример с протестантизмом уже приводился. Конфуцианские ценности (коллективизм, привычка ставить благополучие группы выше благополучия индивида) также сыграли немалую роль в экономическом расцвете Китая и Южной Кореи. Однако несмотря на огромные исторические возможности, русская православная церковь подобных ценностей не создала, хотя и декларировала (например, соборность как аналог коллективизма).

Знаменитая «русская идея» как порождение православной традиции «Москва — Третий Рим» мало сочетается с проектами какой-либо модернизации России. «Русская идея» рассматривалась в трудах отечественных философов, писателей и публицистов как некая формальная структура мысли, тип мышления или ментальность русского народа. В этом смысле «русская идея» оказывается даже синонимом антиевропейского национализма, реализуемого не столько в теории, сколько в попытках блокирования всех попыток осуществить в России социально-экономическую модернизацию.

В предмет данной статьи не входит сравнительный анализ ветвей христианства, но все же хотелось бы остановиться на проблеме связи типа религии и разновидности политического режима. Протестантизм в целом делает акцент на том, что человек одинок перед богом, его спасение достигается только верой, при этом человек не нуждается в церковных (католических) установлениях и посредниках между собой и богом. Кальвинизм делает упор на то, что государственной власти дозволяется управлять

лишь внешним поведением человека, но она не может вмешиваться в мир внутренний, в душу. Таким образом, утверждается идея человека-индивидуалиста. Этот индивидуалист не знает о своей предначертанной судьбе и в этой ситуации беспомощен. Чтобы преодолеть беспомощность, люди должны заниматься трудом, делом. Бог помогает только тем, кто сам себе помогает. Выше уже говорилось о том, что данная религиозная традиция серьезно повлияла на развитие капитализма и демократии в странах Западной Европы. Не случайно, самый высокий уровень жизни и наиболее развитые демократические институты в тех странах, где распространен именно протестантизм (США, Канада, Австралия, страны Северной Европы).

Православие, по крайней мере, в его традиционном российском варианте, не пыталось стимулировать личную активность индивида. Вместо этого утверждалось исключительное значение земной власти. Н. Бердяев отмечал, что «русское религиозное призвание, призвание исключительное, связывается с силой и величием русского государства, с исключительным значением русского царя» [15]. Вместо концепции личности мирянина и его земного призвания — идеология самодержавия. Царь как наместник бога на земле должен был заботиться не только об интересах царства, но и о спасении

душ своих подданных. Если можно во всем полагаться на государство и его главу, примириться со своим местом в мире, то о какой преобразующей силе личного «Я» может идти речь? Между тем как любые общественно-политические изменения в норме должны генерироваться «снизу», со стороны гражданского общества, представляющего собой сферу личной свободы людей.

В качестве вывода можно отметить, что утверждение о национально-религиозном ренессансе и втором крещении является в большей степени идеологемой, когда «идея веры» выдается за подлинную веру, внешне (храмовое, обрядовое) благочестие за истинную христианскую религиозность. Русская православная церковь превращается в корпорацию, управляемую в соответствии с «системой менеджмента качества». При этом показателями «качества» является не снижение количества сирот при живых родителях, стариков, оставленных в приютах при дееспособных детях, а количество возводимых храмов, часто в помещениях, отнятых у тех же сирот и стариков. В условиях доминирования тенденции к материальному «возрождению», формализации религиозности, при практическом отсутствии каких-либо идей, способных действительно сплотить нацию и заставить ее работать на собственное благо, говорить о неоправданном ренессансе преждевременно. ■

### Литература

1. Вебер М. Протестантская этика и дух капитализма // Избранные произведения. М. : «Прогресс», 1990. С. 97.
2. Кузанский Н. О предположениях. Соч. В 2 т. Т. 1. М., 1979. С. 259–260.
3. Толстой Л. Н. Что такое религия и в чем сущность ее? // ПСС. М., 1992. Т. 35. С. 170.
4. Гумилев Л. Н. От Руси до России. М., 1994. С. 57.
5. Гумилев Л. Н. Древняя Русь и Великая Степь. М., 1992. С. 342.
6. Кавелин К. Д. Мысли и заметки о русской истории // Кавелин К. Д. Наш умственный строй. М. : Правда, 1989. С. 201.
7. Карташев А. В. Очерки по истории русской церкви. В 2-х т. Т. 1. М. : Наука, 1991. С. 407.
8. Зеньковский С. А. Русское старообрядчество: духовные движения XVII века. Репринтное воспроизведение. М. : Церковь, 1995. С. 83–83.
9. Лосский Н. О. Характер русского народа. В 2-х кн. М. : Ключ, 1990. Кн. 2. С. 58.
10. Карамзин Н. М. О древней и новой России в ее политическом и гражданском отношении / Карамзин Н. М. История государства российского. В 4-х кн. Ростов-на-Дону. Кн. 4. Т. 10–12. С. 485.

11. Флоровский Г. Пути русского богословия. Вильнюс, 1991. С. 340–341.
12. Лосский Н. О. Характер русского народа. В 2-х кн. М. : Ключ, Кн. 1. С. 141.
13. Поспеловский Д. В. Русская православная церковь в XX в. М. : Республика, 1995. С. 408.
14. Цит. по: Соколов-Митрич Д. Камень отца Павла // Русский репортер, 2011. № 13. С. 30.
15. Бердяев Н. И. Русская идея // Вопросы философии, 1990. № 1. С. 81.

#### References

1. Veber M. Protestantskaja etika i dukh kapitalizma [Protestant ethic and spirit of kapitalism] // Izbrannye proizvedenija. M. : «Progress», 1990. S. 97.
2. Kuzanskij N. O predpolozhenijakh. [About assumptions] Soch. V 2 t. T. 1. M., 1979. S. 259–260.
3. Tolstoj L. N. Chto takoe religija i v chem sushchnost yeye? [What is religion and what is its essence?] // PSS. M., 1992. T. 35. S. 170.
4. Gumilev L. N. Ot Rusi do Rossii. [From Rus to Russia] M., 1994. S. 57.
5. Gumilev L. N. Drevnjaja Rus i Velikaja Step. [Ancient Rus and Great Steppe] M., 1992. S. 342.
6. Kavelin K. D. Mysli i zametki o russkoj istorii [thought and notes on Russian history] // Kavelin K. D. Nash umstvennyj stroj. M. : Pravda, 1989. S. 201.
7. Kartashev A. V. Oчерки по истории русской церкви. [Essays on Russian church history] V 2-h t. T.1. M. : Nauka, 1991. S. 407.
8. Zenkovskij S. A. Russkoe staroobryadchestvo: dukhovnye dvizhenija XVII veka. Reprintnoe vosproizvedenie. [Russian Old Belief: religious moments of XVII century. Reprint reproduction.] M. : Tserkov, 1995. S. 83–83.
9. Losskij N. O. Kharakter russkogo naroda. [Russian people's character] V 2-h kn. M. : Kljuch, 1990. Kn. 2. S. 58.
10. Karamzin N. M. O drevnej i novej Rossii v ee politicheskom i grazhdanskom otnoshenijakh [About ancient and new Russia in its political and civil perspective] / Karamzin N. M. Istorija gosudarstva rossijskogo. V 4-h kn. Rostov-na-Donu. Kn. 4. T. 10–12. S. 485.
11. Florovskij G. Puti russkogo bogoslovija. [Ways of Russian theology] Vilnjus, 1991. S. 340–341.
12. Losskij N. O. Kharakter russkogo naroda. [Russian people's character]. V 2-h kn. M. : Kljuch, Kn. 1. S. 141.
13. Pospelovskij D. V. Russkaja pravoslavnaja tserkov v XX vtre. [Russian Orthodox church in XX century] M. : Respublika, 1995. S. 408
14. Cit. по: Sokolov-Mitrich D. Kamen ottsa Pavla [Stone of Father Pavel] //Русский репортер, 2011. № 13. С. 30.
15. Berdjaev N. I. Russkaja ideja [Russian idea] // Voprosy filosofii, 1990. № 1. S. 81.

*Статья сдана в редакцию 24 апреля 2012 года*

УДК 230.112

*И. А. Никулин*

## Православие в истории России

*Отзыв на статью Е. П. Пьяных «Религия и церковь в истории России»*

UDC 230.112

*I.A. nikulin*

## Orthodoxy in the history of Russia

*Review on the article «Religion and church in the history of Russia» by E.P. Pjanykh*

Нельзя не согласиться с автором [1] в том, что сегодня проблема взаимодействия Церкви и государства становится весьма актуальной. Однако трудно себе представить, что в нашем «обществе укореняется идея о том, что религия необходима как основа национального самосознания и культуры, как носительница ценностей». Российское общество весьма секуляризовано, намного сильнее чем, например, ближайшие соседи — Украина, Белоруссия или Польша. Однако, конечно, это современная ситуация. Само же Православие или Восточное христианство действительно лежит в основе российской цивилизации, в основе ее исторического и культурного бытия. Этот тезис трудно оспорить. Однако автор статьи обращает свое внимание что сегодня «сотрудничество церкви и государственных структур обретает почти средневековые формы, когда российские государи без согласования с патриархом не могли принять ни одного важного государственного решения». Действительно, в истории России было время, когда светская власть во многом зависела от власти церковной и наоборот. Хотя именно русские государи

чаще влезали в дела церковные, чем Церковь в дела государства. Сегодня же скорее видно, как государство вмешивается в дела Церкви и попытается использовать ее в своих интересах, чем наоборот. Церковь ни разу серьезно не повлияла на государство, будь то внешняя или внутренняя политика. Если Е. П. Пьяных имеет в виду столь обсуждаемое введение преподавания основ православной культуры в средней школе, то замечу, что основы религии изучаются в большинстве цивилизованных стран мира.

Автор пишет: «Исследования свидетельствуют о том, что крещение Руси на всем протяжении древнерусской истории не произвело коренного перелома в сознании общества». Какие исследования свидетельствуют? Смею заверить, что историографическая традиция совсем не так однозначна, как нам пытаются представить: одни историки полагают так, а другие иначе. Мы полагаем, что такой перелом был. И совсем не нужно переставлять крещение Руси как одномоментное событие, датируемое 988 г. Крещение Руси — это длительный процесс, который начался задолго до 988 г. и закончился,

**Иван Александрович Никулин** — канд. богословия, преподаватель; Екатеринбургская православная духовная семинария. Екатеринбург, Россия. E-mail: nikulinivan@yandex.ru.

**Ivan A. Nikulin** — PhD, lecturer; Ekaterinburg Orthodox theological Seminary. Ekaterinburg, Russia. E-mail: nikulinivan@yandex.ru. Авторская орфография сохранена.

в основном, лишь к монгольскому нашествию [2, 3].

В статье странным выглядит и князь Владимир. Его «выбор веры» был обусловлен во многом политическими соображениями правящих кругов. «Распространив свою власть практически на все славяно-русские земли, Владимир неизбежно должен был придерживаться какой-то... общенациональной политической программы, которая, по условиям того времени, выражалась в религиозной форме», — пишет автор, ссылаясь на Л. Н. Гумилева. Однако концепция выглядит странной хотя бы в связи с тем, что христианизация всей Руси растянулась на несколько веков и, более того, она не раз становилась причиной междоусобиц и конфликтов. Разве язычество изложило себя к тому времени как религия?

Интересна фраза автора: «Под покровом христианства долгое время (вплоть до XVIII века) сохранялось язычество». А что произошло в XVIII веке? Исчезло двоеверие? Или сегодня бытовая магия (в каком-то смысле язычество) не привлекают большую часть нашего современного общества?

Некоторые выводы вообще говорят о полном незнании автором сути дела. Например, Е. П. Пьяных пишет: «Само принятие христианства было актом, прежде всего политическим, и избрана была именно восточная модель христианства, дающая преимущество светскому правителю над духовным». В момент принятия Русью христианства западная и восточная модели христианства еще находились на пути формирования. В X веке западные короли весьма охотно влезали в дела Церкви, влияя, например, на выбор епископов; не сильно волновал их и Папа Римский. Ошибочно проецировать одну эпоху на другую, объяснять явления прошлого через реалии будущего. И та и другая модель в этом отношении давали

одинаковые возможности для развития отношений князя и митрополита. Причины принятия христианства из Византии гораздо более сложны и многообразны.

Весьма поверхностны высказывания автора касательно спора иосифлян и нестяжателей. Здесь Е. П. Пьяных оказалась в плену историографического мифа, несостоятельность которого убедительно показывают исследования последних десятилетий. Например, Нил Сорский и Иосиф Волоцкий между собой находились в очень хороших отношениях (тогда как автор уверенно пишет: «Победу в этой борьбе одержали последние (нестяжатели — *Авт.*) во главе с Иосифом Волоцким»). Они представляли собой два пути развития монашества — общежительный и особножительный. Эти типы устройства монастырей появились на самой заре христианского монашества, еще в IV в. в Египте. Споры между преп. Иосифом и преп. Нилом не выходили за рамки внутрицерковной дискуссии по сугубо церковному вопросу. Острота этим спорам была придана вмешательством государства тогда, когда государство попыталось воспользоваться этими спорами для достижения своих целей. По большому счету, движение иосифлян и нестяжателей оформилось лишь после смерти преп. Нила (1508 г.) и преп. Иосифа (1515 г.) и носило сложный противоречивый характер [4].

Так можно дискутировать практически по каждому пункту исторической части.

Однако перейдем к современности, к которой и обращено размышление автора. И здесь поднимается еще одна важная проблема, которую автор не замечает... Что имеет в виду под понятием «Церковь»? Определений этого понятия множество. Однако стоит обратить внимание, что «Церковь» — это люди, конечно, не просто крещеные, но, как сейчас говорят, практикующие веру-

ющие, они часть общества, пусть небольшая, но его часть. Государство сегодня старается взаимодействовать со всеми общественными организациями и обществом в целом, и что плохого, когда государство общается со своим обществом и участвует в его жизни? Какое у нас общество — такая и Церковь, потому что она состоит не из инопланетян, а из тех же людей — искореженных, с болью переживших трудный XX в. Духовенство же — это вчерашние прихожане. Они не берутся «из воздуха». Поэтому, когда человек приступает к серьезной статье, ему важно определить, что он имеет в виду под важнейшими понятиями, тем более что существует различное их толкование.

Тезис автора — «Церковь вновь, как и в Средние века, оказывается крупнейшим собственником» — вообще выглядит смешным. В Средние века, в XV–XVII вв., Русская Церковь была крупнейшим феодалом государстве. Про день сегодняшний же Е. Пьяных пишет: «По оценкам экспертов, если РПЦ сумеет добиться передачи всей собственности, права на которую она заявляет, она получит имущество, сопоставимое по стоимости с активами ОАО «Газпром», РАО «ЕЭС России», РАО «РЖД» (эти крупнейшие компании вкладывают в ВВП России всего 8, 3, 2,5 % соответственно — *Авт.*). Даже если Церкви передадут все земли, на которые она претендует (а это в современных условиях вряд ли произойдет), она станет только лишь «одной из» десятка, а то и более крупных собственников. И что плохого и предосудительного, если 3 % практикующих верующих будут владеть 3 % земли? Разве они не члены общества? В чем тут средневековье?

Обратимся и к концепции М. Вебера, точнее, к попытке автора перенести ее на российскую почву. Автор пишет: «Православие, по крайней мере, в его традиционном российском варианте, не пыталось сти-

мулировать личную активность индивида». Разве можно сказать, что Византия, оплот восточного христианства, не была одним из самых развитых государств в мире? Более того, именно Византийская культура стала причиной европейского возрождения, и собственно западная цивилизация была создана на обломках Византии. Кроме того, Православие не мешало грекам контролировать и держать в руках большую часть торговли в Османской империи. Но это не аргументы. Если бы автор статьи пообщался с современными практикующими верующими, то выяснилось бы, что большинство из них — ответственные граждане, налогоплательщики, родители двух, трех и более детей. Их волнует будущее России, они порядочны на работе и в быту. Если бы автор удосужился провести социологическое исследование в среде практикующих христиан, то выводы о роли Церкви могли быть иными. Нельзя судить о Церкви по людям, которые в нее никогда не заходили или зашли однажды, чтобы только принять крещение.

Конечно, у современной Церкви есть проблемы, как и у современного общества. Кто без греха, пусть первым бросит камень... Есть в Церкви люди, которые не понимают сущность церковной жизни. Но в современном обществе и государстве их также хватает... Что — упразднить государство? Оставить демократию, у которой тоже есть свои изъяны?

В целом хочется отметить, что статья имеет много штампов, которые заимствованы далеко не из новейших исследований по истории России и истории Русской Церкви. Ставя под сомнения историческую часть философской работы, направляется и недоверие к полученным результатам авторского размышления. Автору, на наш взгляд, следует внимательнее относиться к фактам и не делать поспешных выводов. В пример можно поставить очень

взвешенное размышление на подобную тему [6].

Наше современное общество очень разобщено. Это наблюдается и в вопросе взаимодействия Церкви и общества, Церкви и научного сообщества (хотя отдельные примеры взаимодействия есть, например, в [5]) и т.д. Каждая из частей общества

замыкается в себе, рассматривает другие части с изначальной позиции противника. Можно сказать в некотором смысле, что эхо гражданской войны еще звучит и будет звучать, пока мы не будем прислушиваться друг к другу, стараться понять друг друга, построить конструктивный диалог всех социальных институтов. ■

#### Литература

1. Пьяных Е.П. Религия и Церковь в истории России // Вестник УрГУПС, № 2, 2012. — С. 95–107. ISSN 2079-0392.
2. Рапов О.М. Русская церковь в IX — первой трети XII вв. Принятие христианства. М. : Высшая школа, 1988. 415 с.
3. Назаренко А.В. Русская церковь в X — первой трети XV века / Православная энциклопедия: Русская Православная Церковь. М. : ЦНЦ «Православная энциклопедия», 2000. С. 59–60.
4. Плигузов А.И. Poleмика в Русской Церкви первой трети XVI столетия. М. : Индрик, 2002. 415 с. ISBN 5-85759-152-X.
5. Мангилев Петр, прот. Отчет о Всеросс. научн.-практ. конф. «Православие в судьбе Урала и России: история и современность» (Екатеринбург, 18–20 апреля 2010 г.) // Вестник Екатеринбургской духовной семинарии, 2011. Вып. 1. С. 182–188. ISSN 2224-5391.
6. Линченко А. Православная Церковь и государство в современной России. Сайт «Липецкий институт управления». URL: <http://www.lmi48.ru/index.php/component/content/article/122> (дата обращения: 19.05.2012).

#### References

1. Pjanykh E. P. Religija i tserkov v istorii Rossii [Religion and church in history of Russia] // Vestnik UrGUPS, № 2, 2012. — S. 95–107. ISSN 2079-0392.
2. Rapov O. M. Russkaja tserkov v IX — pervoj treti XII v. Prinjatje khristianstva. [Russian church in IX – first third of XII century. Christianity adoption] M. : Vysshaja shkola, 1988. 415 s.
3. Nazarenko A. V. Russkaja tserkov v X — pervoj treti XV veka [Russian church in X — first third of XV century]. / Pravoslavnaja entsiklopedija : Russkaja Pravoslavnaja Tserkov. M. : CNC «Pravoslavnaja entsiklopedija», 2000. S. 59–60.
4. Pliguzov A. I. Polemika v Russkoj Tserkvi pervoj treti XVI stoletija. [Polemics in Russian church in the first third of XVI century] M. : Indrik, 2002. 415 s. ISBN 5-85759-152-X.
5. Mangilev P., prot. Otchet o Vseross. nauchn.-prakt. konf. «Pravoslavie v sudbe Urala i Rossii: istorija i sovremennost» [Report on All-Russian scientific-research conference ‚Orthodoxy in fate of the Urals and Russia’: history and modern times] (Ekatereburg, 18–20 aprelja 2010 g.) // Vestnik Ekaterinburgskoj dukhovnoj seminarii, 2011. Vyp. 1. S. 182–188. ISSN 2224-5391.
6. Linchenko A. Pravoslavnaja Tserkov i gosudarstvo v sovremennoj Rossii. [The Orthodox church and state in modern Russia] Sajt «Lipetskij institut upravlenija». URL: <http://www.lmi48.ru/index.php/component/content/article/122> (data obrashchenija: 19.05.2012).

*Статья сдана в редакцию 15 мая 2012 года*

## Уважаемые коллеги!

### Информирую вас о требованиях, предъявляемых к оформлению статей.

При наборе используйте Word-2003 или Word-2007; шрифт (по всему тексту, в том числе в рисунках и таблицах) — тип Times, размер шрифта — 14, межстрочное расстояние — 1,5, абзацный отступ — 1,25 (1,27) см, поля — 2 см; расстановка переносов по всему тексту — автоматическая.

Набор формул: простые формулы и сочетания символов ( $x^2 < y^2$ ;  $E = mc^2$ ;  $a^2 + b^2 = c^2$ ;  $Q_{i-1}$ ;  $\psi_j$ ) — только в текстовом режиме, сложные

$$(s^2 = \frac{1}{n-1} \left[ \sum_{j=1}^e x_j^2 n_j - \frac{1}{n} \left( \sum_{j=1}^e x_j n_j \right)^2 \right]; \left( \frac{\sigma_a}{[n]} \right)$$

или  $S_i^m$ ) — только в редакторе формул (встроен в Word).

Написание букв: русские (а, б, в, А, Б, В), греческие (Θ, Σ, Ω, Ψ, α, β, δ, ε, λ, π), а также цифры и функции (1, 2, 3; I, II, III; max, lg, sin и т. п.) пишутся только прямо; латинские (a, b, n, A, B, N и т. д.) — только курсивом. Исключение — курсив во вспомогательном тексте (слова «Таблица» и «Рис.», примечания в рисунках и ссылки в тексте на эти примечания).

Оформление текста: левый верхний край — инициалы, фамилия; заголовков — все буквы ПРОПИСНЫЕ, жирные, расположение — по центру набора; таблиц и рисунков: в таблицах размер шрифта — на полтора-два размера меньше, чем в основном тексте (11,5–12), расположение текста в «шапке» таблицы — по центру, в столбцах — по ширине; межстрочное расстояние — 1; слово «Таблица» — курсивное начертание, в правый край таблицы; название таблицы — начертание нормальное (прямое), расположение — по центру таблицы. В рисунках (графи-

ках, диаграммах): размер подрисуночной подписи — 14, расположение — по центру набора, слово «Рис.» — курсив, название рисунка — нормальное начертание, описание рисунка (экспликация) — нормальное начертание, условные обозначения — курсивное начертание, их расшифровка — нормальное. Расположение таблиц и рисунков — строго после ссылки на них.

Кроме того, рисунки обязательно прилагаются к материалу (один рисунок — один файл; формат — \*.jpg).

Ссылки на литературу в тексте пишутся в квадратных скобках ([1], [1, 2] или [3–5]); нумерация сквозная. Список литературы/источников оформляется по ГОСТ 7.0.5–2008.

В конце статьи обязательно ставится дата отсыла материала в редакцию.

Объем статьи — не более 14-ти страниц.

Название файла: Фамилия. Первое слово заголовка. Многоточие. Последнее слово заголовка (Сидоров. Синтез... электроприводом).

К материалу (статье) обязательно прилагаются (отдельным файлом): УДК, сведения об авторе, аннотация, ключевые слова (название файла: УДК 000. Сидоров. Синтез... электроприводом).

Материалы для очередного номера журнала «Вестник УрГУПС» принимаются до 30 числа первого месяца квартала (до 30-го января, 30-го апреля, до 30-го июля, до 30-го октября). Материалы, поступившие в редакцию после 30-го числа, будут опубликованы только в следующем номере.

Успешной работы!

*Л. Барышникова,  
литературный и выпускающий  
редактор журнала «Вестник УрГУПС»*